

Virginia Niculescu

CALCUL PARALEL

Proiectare și dezvoltare formală a
programelor paralele

2005

Familiei mele

Cuprins

Prefață	ix
I Fundamente	1
1 Noțiuni generale	3
1.1 Clasificări ale sistemelor paralele	3
1.1.1 Clasificarea lui Flynn	3
1.1.2 Alte clasificari	8
1.2 Criterii de performanță ale sistemelor paralele	11
1.3 Rețele de interconectare a procesoarelor	12
1.3.1 Topologii de bază	13
1.3.2 Problema includerii	17
1.3.3 Comunicația în rețele	19
1.4 Niveluri la care poate apare paralelism	20
1.5 Clasificarea algoritmilor paraleli	22
1.6 Modelul standard PRAM	24
1.7 Măsurarea performanței algoritmilor paraleli	27
1.7.1 Complexitatea-timp	28
1.7.2 Accelerația	28
1.7.3 Eficiența	32
1.7.4 Costul și volumul de lucru	32
1.7.5 Paralelism limitat și nelimitat	33
1.7.6 Teorema lui Brent	34
1.7.7 Clasa problemelor NC	37
2 Construcția programelor paralele	39
2.1 Etape în dezvoltarea programelor paralele	40
2.1.1 Partiționarea	41
2.1.2 Analiza comunicației	43
2.1.3 Aglomerarea	44
2.1.4 Maparea	47

II	Proiectare	49
3	Paradigme	51
3.1	Master/Slave	51
3.2	Work Pool	53
3.3	Paralelism al datelor	53
3.4	Pipeline	54
3.5	Divide&impera	54
3.6	Alte clasificări	55
4	Tehnici	57
4.1	Tehnica paralelizării directe	59
4.2	Tehnica arbore binar	62
4.3	Tehnica dublării recursive	64
4.4	Contractia arborescentă	67
4.5	Tehnica reducerii ciclice par-impar	72
4.6	Tehnica divide&impera	75
4.7	Algoritmii generici ASCEND și DESCEND	78
4.8	Tehnica calculului sistolic (pipeline)	82
4.9	Tehnica par-impar	89
4.10	Prefix paralel – Scan	94
4.11	Branch-and-Bound	100
4.12	Adaptarea algoritmilor paraleli	101
4.13	Șabloane de programare (Skeletons)	107
4.14	Câteva algoritmi paraleli remarcabili	108
	4.14.1 Sortare bitonică	108
	4.14.2 Înmulțire matriceală	112
4.15	Memorie partajată versus memorie distribuită	115
	4.15.1 Programare paralelă bazată pe transmitere de mesaje	115
	4.15.2 Programare paralelă bazată pe memorie partajată	120
	4.15.3 Memorie partajată distribuită	121
III	Dezvoltare formală	123
5	Modelul UNITY	125
5.1	Prezentarea generală a teoriei	125
	5.1.1 Separarea noțiunilor: programe și implementări	125
5.2	Notăția programelor UNITY	126
	5.2.1 Instrucțiunea de atribuire	126
	5.2.2 Secțiunea assign	127
	5.2.3 Secțiunea initially	128
	5.2.4 Exemple	128
	5.2.5 Secțiunea always	130

5.3	Reguli de demonstrare	130
5.3.1	Noțiuni de bază	130
5.3.2	Un model al execuției programului	131
5.3.3	Concepte fundamentale	132
5.3.4	Un exemplu complet – împărțire întreagă	134
5.4	Maparea programelor pe arhitecturi	138
5.5	Aplicații	138
5.5.1	Eliminare Gauss-Jordan nedeterministă	138
5.5.2	Inversa unei matrice și rezolvare de sistem liniar	142
5.5.3	Înmulțirea matricelor booleene	144
6	Dezvoltare formală din specificații	153
6.1	Descrierea metodei	153
6.1.1	Construcția programelor paralele	155
6.1.2	Specificații funcționale	155
6.1.3	Invarianți	156
6.1.4	Corectitudinea	157
6.1.5	Notația programelor	158
6.1.6	Reguli de demonstrare	159
6.1.7	Procese de comunicație	163
6.1.8	Complexitatea	163
6.1.9	Regula ParSeq	167
6.2	Distribuția datelor	168
6.2.1	Distribuții simple	168
6.2.2	Distribuții multivoce	175
6.3	Aplicații	179
6.3.1	Operații prefix	179
6.3.2	Înmulțire matriceală	182
6.3.3	Polinomul de interpolare Lagrange	186
7	Formalismul Bird-Meertens – BMF	195
7.1	Omeomorfisme pe liste	198
7.1.1	Extragere	199
7.1.2	Aproape-omeomorfisme	201
7.2	Implementare	203
7.2.1	Sortare prin numărare	204
7.3	Tipuri de date categoriale	208
7.3.1	Tipul arbore binar omogen	210
8	Structuri de date pentru paralelism	213
8.1	Structuri de date <i>PowerList</i>	214
8.1.1	Definiții	214
8.1.2	Principiul inducției pentru <i>PowerList</i>	216
8.1.3	Operatori, relații și funcții	216

8.1.4	Complexitatea funcțiilor definite pe <i>PowerList</i>	218
8.1.5	Maparea pe hipercuburi	219
8.1.6	Aplicații	219
8.2	Structuri de date <i>ParList</i>	222
8.2.1	Definiții	222
8.2.2	Un principiu al inducției pentru <i>ParList</i>	224
8.2.3	Operatori, relații și funcții	226
8.2.4	Aplicații	227
8.3	Structuri de date <i>PList</i>	230
8.3.1	Definiții	230
8.3.2	Un principiu al inducției pentru <i>PList</i>	232
8.3.3	Aplicații	234
8.4	Transformarea Fourier rapidă	235
8.4.1	Cazul $n=2^k$	236
8.4.2	Cazul n prim	238
8.4.3	Cazul $n = r_1 r_2 \dots r_p$	238
8.5	Structuri de date n -dimensionale	241
8.5.1	Definiții	241
8.5.2	Un principiu al inducției pentru <i>PowerArray</i>	242
8.5.3	Operatori, relații și funcții	243
8.5.4	Aplicații	246
8.5.5	Evaluarea relațiilor de recurență	248
IV	Modele	253
9	Modele de calcul paralel	255
9.1	Caracteristicile unui model de calcul paralel ideal	255
9.2	Clasificarea modelelor	261
9.2.1	Paralelism implicit	263
9.2.2	Descompunere implicită	271
9.2.3	Descompunere explicită	274
9.2.4	Mapare explicită	276
9.2.5	Comunicație explicită	279
9.2.6	Totul explicit	282
	Anexă – Noțiuni de teoria grafurilor	287
	Bibliografie	290
	Index	300

Prefață

În timp ce multe probleme de mare interes practic cer tot mai multă putere de calcul, viteza componentelor calculatoarelor se apropie de limitele posibile. Este în general acceptat și chiar dovedit faptul că aceste probleme ce necesită calcul intensiv nu vor putea fi rezolvate prin creșterea continuă a performanțelor calculatoarelor individuale, ci singura soluție viabilă este folosirea calculului paralel.

Mașinile paralele, constând din mii de procesoare, oferă o putere de calcul foarte mare pentru aplicații complexe. Comunitatea potențialilor utilizatori crește foarte puternic și datorită rețelelor globale, care aduc hard, soft și expertize din surse dispersate geografic. Totuși, calculul paralel nu a devenit deocamdată, o cale de rezolvare mai rapidă a problemelor, cu o foarte largă răspândire.

În acest moment programarea paralelă este proiectată, în general, pentru tipuri speciale de arhitecturi și de aceea mutarea unui program de pe o arhitectură pe alta, necesită rescrierea lui aproape în întregime. Singura cale de a depăși această problemă și de a folosi paralelismul pe scară largă, este de a distruge această conexiune strânsă dintre soft și hard.

Scopul principal al paralelismului este performanța, dar aceasta este în același timp și sursa principală a dificultăților legate de paralelism. Pentru a proiecta o soluție paralelă eficientă, programatorul trebuie să descompună problema într-o colecție de procese care se pot executa simultan, să mapeze procesele pe procesoarele disponibile, să sincronizeze procesele, să organizeze comunicațiile, etc. Pentru acestea s-au dezvoltat numeroase familii particulare de algoritmi, limbaje și tehnici de implementare, pentru diferite tipuri de arhitecturi.

Criza programării secvențiale a evidențiat necesitatea abstractizării și ascunderii detaliilor nivelului de jos de programare. În programarea paralelă, necesitatea abstractizării este și mai acută, datorită complexității programelor paralele. Dacă programatorii de aplicații, consideră abstractizarea foarte necesară, totuși implementatorii programelor paralele sunt de părere că aceasta intră în conflict cu performanța. Reconcilierea dintre abstractizare și performanță, pare a fi calea prin care programarea paralelă s-ar putea impune mai mult în viitor.

În procesul de dezvoltare a unui program se pot identifica trei etape:

Specificarea. Construirea formală a unei descrieri a problemei care trebuie să fie rezolvată. Această descriere exprimă esența problemei. Specificația trebuie să ajute la demonstrarea formală a corectitudinii programului rezultat în final.

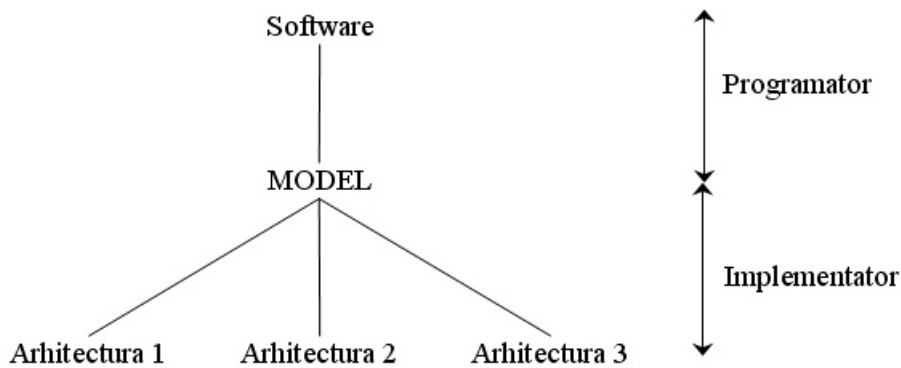


Figura 1: Rolul modelului în calculul paralel

Proiectarea. Sarcina de a crea un “program”, care să satisfacă specificația problemei și care să poate fi implementat eficient pe o arhitectură țintă.

Implementarea. Maparea programului pe resursele de calcul disponibile pentru execuția sa. Aceasta trebuie să fie făcută folosind instrumente și tehnici, care au fost verificate formal.

Proiectarea este o etapă fundamentală nu doar pentru aplicațiile de dimensiuni mari, dar și în cazul algoritmilor. Paradigme precum programarea structurată, proiectarea “top-down” sau “bottom-up” sunt bine cunoscute. La nivel de algoritm, pentru programarea secvențială, sunt de asemenea bine cunoscute tehnici de programare precum: greedy, backtraking, branch-and-bound, sau programarea dinamică. Ele direcționează construcția programelor, permit stăpânirea complexității oferind un cadru științific și matematic și, de asemenea, permit realizarea unor bune documentații.

Pentru programarea paralelă, faza de proiectare este poate chiar mai importantă decât în cazul programării secvențiale, datorită gradului ridicat al complexității programelor paralele. Putem analiza, și în acest caz, diferite paradigme consacrate, precum și tehnici de programare care ghidează construcția algoritmilor paraleli.

În programarea secvențială, faza de implementare este realizată de obicei de un compilator capabil să producă cod optimizat pentru o arhitectură țintă. Asemenea compilatoare sunt posibile, deoarece majoritatea arhitecturilor secvențiale sunt similare la nivele înalte de abstractizare și diferențele de la nivelele de jos pot fi rezolvate de către compilator. În plus, datorită arhitecturilor similare, limbajele de nivel înalt pot fi proiectate, fără a sacrifica strategiile de compilare eficiente. Aceasta permite programatorilor de programe secvențiale, luxul de a se concentra asupra corectitudinii și complexității abstracte a programelor, lăsând compilatorului sarcina de a le implementa eficient și corect.

Arhitecturile paralele sunt foarte diferite unele de altele, chiar și la nivele înalte de abstractizare. O posibilă abordare este de a lăsa limbajul să reflecte particularitățile arhitecturii – dar aceasta nu este totuși, o soluție prea bună. O altă abordare ar fi de a face abstracție de considerațiile arhitecturale și de a construi un limbaj de programare

bazat pe noțiunile abstracte ale paralelismului. Aceasta permite programatorului să se concentreze asupra a *ceea ce trebuie făcut*, mai degrabă decât asupra *cum se poate face pe o anumită arhitectură*.

În concluzie, este importantă rezolvarea conflictului dintre soft și hard în programarea paralelă prin decuplarea semanticii programelor de potențialele lor implementări. Aceasta se poate face printr-un *model de calcul paralel*. Un model furnizează programatorului o singură mașină paralelă abstractă, permițând diferite implementări pe arhitecturi concrete, diferite (Figura 1).

Un program paralel poate implica multe procese cu interacțiuni complexe. Este cunoscut faptul că gradul înalt de complexitate al unui program paralel face extrem de dificilă dezvoltarea lui. Un model de proiectare a programelor paralele trebuie să poată pune la dispoziție mecanisme prin care să se poată stăpâni complexitatea și care să permită *verificarea formală* a corectitudinii programelor paralele. Aceasta conduce la necesitatea folosirii metodelor formale, adică folosirea de instrumente și tehnici bazate pe modele matematice de calcul.

În general, pentru dezvoltarea algoritmilor paraleli s-a folosit mai degrabă intuiția decât *metode formale de derivare*. Folosirea unor astfel de metode, poate ușura mult procesul de derivare a algoritmilor paraleli, asigurându-se în același timp și corectitudinea lor. Derivarea corectă este esențială, datorită depănării greoaie a programelor paralele. Intuiția nu poate fi întotdeauna folosită cu succes, iar folosirea unei metode formale poate conduce la obținerea unor variante eficiente, chiar dacă nu atât de evidente.

Există mai multe modele pentru calculul paralel (care vor fi analizate în Capitolul 9), fiecare cu propria metodă de derivare a algoritmilor, mai riguroasă sau mai puțin riguroasă. Modelele se diferențiază prin gradul lor de abstractizare, și prin urmare, și metodele de derivare a algoritmilor pot fi mai generale sau particularizate pentru anumite variante de programare paralelă.

Cartea își propune să prezinte atât tehnici de proiectare cât și metodologii de dezvoltare formală a programelor paralele și este dedicată atât studenților de la secțiile de informatică și calculatoare, cât și tuturor celor interesați de aprofundarea problemelor legate de calculul paralel.

Prima parte a cărții tratează fundamentele calculului paralel și ale proiectării programelor paralele. Primul capitol introduce noțiunile fundamentale ce intervin în calculul paralel: tipuri de arhitecturi, tipuri de rețele de interconectare, măsuri ale performanței, caracteristici ale algoritmilor paraleli, etc. În cel de-al doilea capitol se evidențiază etapele de bază ale construcției programelor paralele.

A doua parte formată din capitolele 3 și 4 tratează paradigme și tehnici de proiectare ale programelor paralele. Sunt analizate tehnici precum: dublarea recursivă, divide&impera, arbore binar, pipeline, etc. Cititorul poate găsi numeroase exemple care ilustrează aceste tehnici, dar care reprezintă și soluții paralele pentru unele probleme foarte des întâlnite.

Cea de-a treia parte a cărții prezintă diferite modele de dezvoltare formală a programelor paralele.

UNITY "Unbounded Nondeterministic Iterative Transformations" reprezintă o teorie, care este în același timp și un model de calcul și un sistem de demonstrare. Această

teorie are ca scop introducerea unei metodologii de dezvoltare de programe, care să fie independentă de arhitectura secvențială sau paralelă, pe care se vor implementa.

În Capitolul 6 se prezintă o metodă de dezvoltare corectă a programelor paralele, pornind de la specificații. Metoda prezentată folosește procese parametrizate și structurarea pe nivele a programelor. Distribuția datelor este determinantă în construcția programelor paralele și este aici analizată formal.

Proprietățile programării funcționale fac ca aceasta să aducă avantaje importante pentru programarea paralelă, făcând posibilă dezvoltarea programelor prin transformări riguroase și exploatănd mecanisme de abstractizare a datelor. Capitolul 7 prezintă o abordare funcțională de dezvoltare a programelor paralele, care combină abstractizarea și performanța într-un mod sistematic. Este folosit formalismul BMF cu structura de bază lista, cu operatorul de concatenare ca și constructor.

Algoritmii recursivi intervin în rezolvarea unei mari varietăți de probleme, constituindu-se astfel într-o clasă importantă de probleme. *PowerList*, *ParList* și *PList* sunt teorii bazate pe structuri de date liniare, ce pot fi folosite cu succes în descrierea funcțională simplă a programelor paralele care sunt de natură Divide&Impera. Folosind tehnici formale se pot deriva descrieri succinte pentru programele paralele, plecând de la specificații. Capitolul 8 descrie acest formalism.

Ultimul capitol face o analiză și o clasificare generală a modelelor de calcul paralel existente, plecând de la caracteristicile pe care un asemenea model trebuie să le satisfacă.

Notății folosite

Notăția pentru exprimarea cuantificărilor diferă puțin de cea folosită în mod uzual în matematică. Formatul general este:

$$(\odot k : Q : E),$$

unde \odot este un cuantificator, de exemplu \sum , \max , \forall etc., k este o listă de variabile legate, Q este un predicat care descrie domeniul variabilelor, iar E este o expresie care conține variabilele k . Tipul de bază al variabilelor este tipul întreg.

Această notație are avantajul clarității, în cazul în care domeniul variabilelor este exprimat prin mai multe relații.

Mulțimile sunt notate în mod similar cu cuantificările. Notația

$$V = \{i, j : i^2 + j^2 = a^2 : (i, j)\}$$

specifică mulțimea tuturor perechilor de întregi de pe cercul cu centrul în origine și de rază a . Cardinalul mulțimii V este notat cu $|V|$.

Aplicația funcțiilor este notată prin punct $(.)$. Are prioritate maximă și este asociativă la stânga. De exemplu, $f.a.b$ este echivalent cu $(f.a).b$. Vom folosi această notație doar pentru funcțiile care exprimă algoritmi sau au legătură cu derivarea programelor; pentru funcțiile care exprimă formule matematice vom folosi notația clasică.

Pentru funcțiile anonime se folosește o abstractizare lambda. De exemplu, $(\lambda n \cdot n^2)$ reprezintă funcția care returnează pătratul argumentului său.

Derivarea demonstrațiilor este făcută cu următorul stil de notație, datorat lui W.F.H. Feijen:

$$\begin{aligned} & E_0 \\ = & \{ \text{explicația egalității} \} \\ & E_1 \\ \geq & \{ \text{explicația inegalității} \} \\ & E_2 \end{aligned}$$

unde $E_i, 0 \leq i < 3$ sunt expresii. În acest fel, derivarea $E_0 \geq E_2$ este făcută prin intermediul expresiei intermediare E_1 .

Pentru operațiile cu numere întregi, notăm operația *modulo* cu $\%$.

Mulțimea numerelor $\{0, 1, \dots, n - 1\}, n > 0$ se va nota cu \bar{n} .

Listă de figuri

1	Rolul modelului în calculul paralel	x
1.1	Arhitectura uniprocessor SISD.	4
1.2	Arhitectura SIMD.	5
1.3	Arhitectura MISD – arhitectura sistolică.	5
1.4	Arhitectura MIMD cu memorie partajată.	7
1.5	Multicalculator bazat pe transmitere de mesaje.	8
1.6	Clasificarea lui Hocney.	10
1.7	(a) – Rețeaua liniară(lanț); (b) – rețeaua ciclică(inel).	13
1.8	Rețeaua arbore binar pentru $n = 15$	14
1.9	(a) Rețeaua grilă cu $M = 4$ și $N = 6$. (b) Rețeaua tor cu $M = 4$ și $N = 6$	14
1.10	Rețeaua fluture pentru $k = 3$	15
1.11	Rețeaua hipercub.	16
1.12	Rețeaua amestecare perfectă pentru $n = 8$	17
1.13	(a)Ciclu hamiltonian într-o grilă 4×5 ; (b) scufundarea unui inel într-o grilă 5×5 cu dilatare 2; (c) ciclu hamiltonian într-un tor 5×5	18
1.14	Două cicluri hamiltoniene ale hipercubului de ordin 3.	19
1.15	Scufundarea unei grile 4×4 într-un hipercub de ordin 4.	19
1.16	Niveluri ale paralelismului.	21
1.17	Dependența performanței de numărul de procesoare.	24
1.18	Exemplificarea legii lui Amdahl.	30
1.19	Accelerația în funcție de numărul de procesoare.	31
1.20	Volumul de lucru.	33
1.21	Rețea de calcul, cu adâncimea 7, pentru adunarea a 8 numere.	36
1.22	Rețea de calcul, cu adâncimea 3, pentru adunarea a 8 numere.	37
2.1	Etape în dezvoltarea programelor paralele.	40
2.2	Tehnicile de partiționare a datelor prin “tăiere” și “încrêțire”.	42
2.3	Efectul suprafață-volum.	45
3.1	Paradigma “Master/Slave”.	52
3.2	Paradigma “Work Pool”.	53
3.3	Structura pipeline.	54
4.1	Rețea de calcul de tip arbore binar.	62

4.2	Tehnica “pointer-jumping”	65
4.3	Construirea arborelui de acoperire minim.	67
4.4	Operațiile <i>rake</i> pentru calcularea expresiei $E = ((2 * 3) + (4 + 5 * 6)) * 2 = 80$	71
4.5	Rețele de calcul pentru relația de recurență de ordin $n = 4$	73
4.6	Tipul 1 de calcul pipeline.	82
4.7	Tipul 2 de calcul pipeline.	83
4.8	Tipul 3 de calcul pipeline.	83
4.9	Înmulțire matriceală pe un tablou sistolic.	88
4.10	Sortare prin transpoziție par-impair.	89
4.11	Interclasare par-impair a două liste sortate.	90
4.12	Actualizarea aproximărilor în metoda Jacobi.	92
4.13	Actualizarea aproximărilor în metoda Gauss-Seidel.	92
4.14	Avansarea frontului de aproximări în metoda Gauss-Seidel.	93
4.15	Colorarea grilei de noduri în cazul metodei roșu-negru.	93
4.16	Rețeaua de calcul secvențial pentru sumele prefix.	95
4.17	Rețeaua de calcul folosind algoritmul prefix sus-jos.	96
4.18	Rețeaua de calcul folosind algoritmul prefix impar-par.	97
4.19	Rețeaua de calcul folosind algoritmul prefix Ladner-Fisher.	98
4.20	Sortarea rapidă pe un hipercub cu 4 procesoare.	104
4.21	Sortarea bitonică pentru o secvență de $n = 8$ elemente.	109
4.22	Intrarea datelor în comparatori după o amestecare.	111
4.23	Sortarea bitonică pe interconexiunea amestecare perfectă.	112
4.24	Deplasarea datelor în Algoritmii lui Canon.	113
4.25	Partiționarea matricelor în submatrice pentru algoritmul lui Strassen.	115
4.26	Transmiterea unei date între două procese.	116
4.27	Modelul SPMD de crearea a proceselor (MPI).	117
4.28	Modelul MPMD de crearea a proceselor (PVM).	117
4.29	Barieră de sincronizare folosind o actualizare a unui contor.	119
4.30	Barieră de sincronizare folosind o comunicație cu structură de tip arbore binar.	119
4.31	Barieră de sincronizare folosind o comunicație cu structură de tip fluture.	119
6.1	Calculul operației prefix – structura comunicației.	182
6.2	Interpolare Lagrange cu distribuții simple	187
6.3	Distribuția datelor pentru $m = 9$ și $M = 3$	189
6.4	Interpolare Lagrange cu distribuții multivoce	191
7.1	Sortare prin numărare – programul SM pentru $p \leq n$	206
7.2	Sortare prin numărare – programul DM pentru $p \leq n$	207
8.1	Rețeaua de calcul pentru $[x_0, x_1, x_2, x_3; f]$	229
8.2	Structura arborescentă pentru matricea M	243
8.3	Transpunerea unei matrice	246
9.1	Un superpas BSP.	275

Partea I

Fundamente

Capitolul 1

Noțiuni generale ale calculului paralel

1.1 Clasificări ale sistemelor paralele

Spre deosebire de calculatoarele secvențiale unde modelul de calcul von Neumann este unic și foarte simplu conceptual, în domeniul calculului paralel coexistă mai multe modele de arhitecturi care trebuie avute în vedere. Nevoia de ordonare a determinat, ulterior, propunerea a numeroase clasificări, câteva dintre ele fiind consacrate de către comunitatea științifică. Clasificarea propusă de M. Flynn [61] este cea mai populară, probabil și datorită simplității ei.

1.1.1 Clasificarea lui Flynn

Clasificarea lui Flynn [61] se realizează preponderent pe baza definirii și utilizării noțiunilor de flux de instrucțiuni și flux de date. Conform acestei clasificări avem următoarele categorii de calculatoare:

1. *Sisteme de calcul cu flux unic de instrucțiuni și flux unic de date (SISD - "Single Instruction Single Data")* în care un flux unic de instrucțiuni operează asupra unui singur flux de date. Acest tip de arhitectură corespunde sistemelor de calcul mono-procesor, clasice. Totuși ele nu exclud paralelismul în totalitate (organizări de tip look-ahead, pipeline, blocuri funcționale ale microprocesoarelor moderne, ...).

Calculatoarele SISD pot avea mai multe unități funcționale de exemplu: coprocesoare matematice, unități vectoriale, procesoare grafice și de intrare-ieșire. Aceste calculatoare se încadrează în categoria SISD atâta timp cât au doar un procesor. Exemple de calculatoare SISD care folosesc paralelismul sunt: CDC 6600 care are multiple unități funcționale, CDC 7600 care are o unitate aritmetică de tip pipeline, Cray-1 care suportă procesarea vectorială.

2. *Sisteme de calcul cu un flux de instrucțiuni și fluxuri de date multiple (SIMD - "Single Instruction Multiple Data")* în care un singur flux de instrucțiuni operează

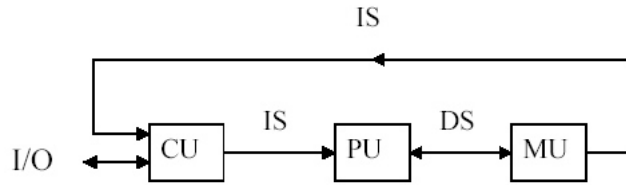


Figura 1.1: Arhitectura uniprocessor SISD (IS – flux de instrucțiuni, DS – flux de date, CU – unitate de control, PU – procesor, MU – memorie).

asupra mai multor fluxuri de date. Această clasă presupune existența unor elemente de procesare identice (PE) și capabile să execute aceeași instrucțiune pe seturi diferite de date și care sunt dirijate de către o unitate de control (CU). Modelele SIMD pot varia în funcție de modul de transmitere a datelor între elementele de procesare. Elementele de procesare pot comunica între ele printr-o memorie partajată sau prin intermediul unității de control.

Execuția instrucțiunilor este sincronă, în sensul că fiecare PE care execută o instrucțiune în paralel trebuie să termine execuția respectivei instrucțiuni înainte ca o nouă instrucțiune să fie lansată în execuție.

Tablourile de procesoare sunt exemple tipice de mașini SIMD. Un tablou de procesoare este format dintr-o unitate de control care decodifică instrucțiunile și transmite semnale control către mai multe elemente de procesare care lucrează cu datele locale. O unitate centrală, însă, nu poate comanda un număr mare de procesoare, decât cu adoptarea unor soluții costisitoare. Fiecare PE se poate găsi într-o stare fie activă, fie inactivă în timpul unui ciclu de execuție. Dacă un PE se găsește într-o stare inactivă atunci el nu execută instrucțiunea care i-a fost trimisă de către unitatea centrală. Selectarea PE active se face pe baza unor scheme de mascare. Aceste scheme pot depinde de adresele elementelor de procesare sau de datele lor locale.

Procesarea vectorială poate fi executată pe un tablou de procesoare. Prin procesare vectorială se înțelege prelucrarea informației reprezentată sub formă de vectori. O operație vectorială presupune operanzi sub forma de vectori, iar rezultatul obținut este în general tot un vector. Pe un tablou de procesoare, dacă o operație este de tip scalar atunci ea va fi executată de unitatea centrală, iar dacă operația este de tip vectorial atunci ea va fi executată de către elementele de procesare.

Calculatoarele vectoriale prezintă caracteristici specifice pentru procesarea vectorială și se încadrează tot în clasa mașinilor SIMD.

Exemple de calculatoare care corespund acestei categorii sunt: ILLIAC-IV, PEPE, BSP, STARAN MPP, DAP și Connection Machine(CM-1).

3. *Sisteme de calcul cu fluxuri multiple de instrucțiuni și flux unic de date (MISD - "Multiple Instruction Single Data")* în care mai multe fluxuri de instrucțiuni

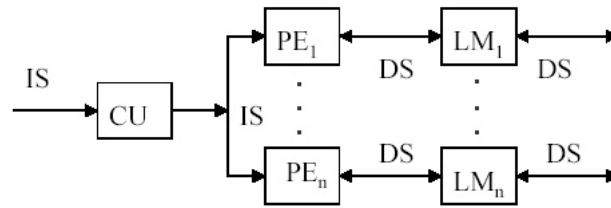


Figura 1.2: Arhitectura SIMD (IS – flux de instrucțiuni, DS – flux de date, CU – unitate de control, PE – element de procesare, LM – memorie locală).

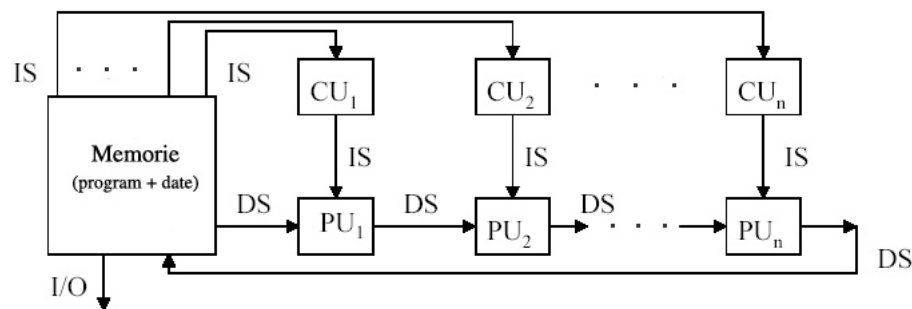


Figura 1.3: Arhitectura MISD – arhitectura sistolică (IS – flux de instrucțiuni, DS – flux de date, CU – unitate de control, PU – procesor).

operează asupra aceluiași flux de date. Această clasă pare a fi vidă, cu toate că în ea ar putea fi cuprinse structuri specializate de calcul. Execuția simultană a mai multor operații asupra aceleiași date este dificil de definit: poate fi stabilită o ordine de execuție a operațiilor și care este rezultatul final? De aceea, în timp ce unii consideră acest model arhitectural pur teoretic, alții consideră că arhitecturile sistolice s-ar încadra în această categorie.

O arhitectură sistolică constă dintr-o mulțime de elemente de procesare, sincronizate și construite pentru un scop precis, care sunt interconectate într-o rețea cu structură fixă. Fiecare PE “pompează” în mod regulat datele în interior și în exterior, de fiecare dată executând un anumit calcul simplu. Funcția unui asemenea PE și schema de interconectare depinde în general de problema care se rezolvă. Simplitatea elementelor de procesare și uniformitatea șablonului de interconectare permite mașinilor sistolice cu un număr mare de elemente de procesare să fie implementate pe un singur chip folosind tehnologia VLSI (“Very Large System Integration”). Sarcinile de calcul se divid în două clase mari: calcule propriu-zise și operații de I/O.

În general o mașină sistolică poate fi definită ca o rețea de calcul care are următoarele proprietăți:

- i Simplitate și regularitate: mașina constă într-un număr mare de elemente de procesare simple cu interconexiuni simple și omogene.
- ii Sincronicitate: Datele sunt calculate ritmic fiind dirijate de un ceas global.
- iii “Pipelining”: La fiecare pas rezultatul unui calcul executat de către un PE devine intrare pentru un PE vecin.

Rețeaua de interconectare poate fi liniară, caz în care putem considera că avem un calculator pipeline, sau poate fi mai complexă - de exemplu bidimensională.

Aceste tipuri de arhitecturi au fost încadrate în diferite exemple din literatură atât în clasa SISD cât și în SIMD.

4. *Sisteme cu fluxuri multiple de instrucțiuni și fluxuri multiple de date (MIMD - “Multiple Instruction Multiple Data”)* sunt sistemele la care mai multe fluxuri de instrucțiuni operează simultan asupra unor fluxuri de date diferite. Fluxurile de instrucțiuni pot fi identice (SPMD - “Single Program Multiple Data”) sau nu, dar ele nu se execută sincron. Această clasă include toate formele de configurații multi-procesor, de la rețelele de calcul de uz general până la masivele de procesoare. Ele pot fi cu memorie comună sau distribuită. Aceste tipuri de sisteme reprezintă cele mai folosite arhitecturi paralele.

Calculatoarele MIMD, sau calculatoarele cu unități de control (CPU) multiple, constau într-un număr de elemente de procesare, care pot fi indexate individual. Fiecare are propriul indice și memorie locală unde pot fi stocate atât datele cât și programul. Elementele de procesare sunt complet programabile și pot executa propriul program.

Arhitecturile MIMD cu memorie partajată permit fiecărei unități de procesare să acceseze o memorie globală prin intermediul unei rețele de interconectare. Procesele care se execută în paralel pot să își partajeze date pentru diferite scopuri, inclusiv pentru a-și sincroniza activitatea. Această partajare a datelor pune programatorilor două probleme importante: sincronizarea accesului la date și menținerea consistenței. Câteva caracteristici care le diferențiază de calculatoarele MIMD cu memorie distribuită sunt:

- Comunicarea se face prin intermediul memoriei comune.
- Întârzierea (“latency”) datorată accesului la memorie poate fi mare și variabilă.
- Coliziunile sunt posibile la accesarea memoriei.

Într-o arhitectură MIMD cu memorie distribuită unitățile de procesare sunt conectate printr-o rețea de interconectare. Fiecare unitate de procesare are propria memorie locală; dacă o anumită dată memorată în memoria unei unități de calcul este dorită de o alta, atunci data trebuie să fie trimisă explicit de la o unitate de procesare la cealaltă. Calculatoarele MIMD cu memorie distribuită au câteva caracteristici de bază care le diferențiază:

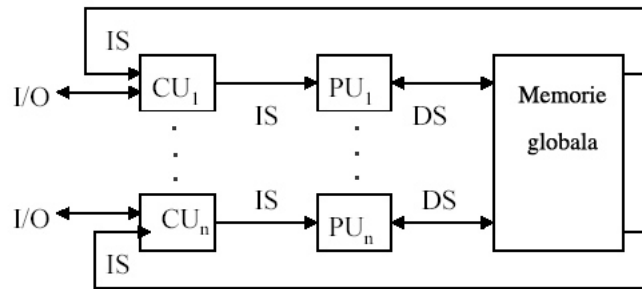


Figura 1.4: Arhitectura MIMD cu memorie partajată (IS – flux de instrucțiuni, DS – flux de date, CU – unitate de control, PU – procesor).

- Comunicarea se face prin soft, folosind instrucțiuni de transmitere de date (“send/receive”).
- Mesajele de dimensiuni mari pot ascunde întârzierea (“latency”).
- Este necesar un management atent al comunicațiilor pentru a evita interblocările.

Principala proprietate a sistemelor cu memorie distribuită, care le avantajează față de cele cu memorie comună, este *scalabilitatea*. Scalabilitatea referă posibilitatea de a crește eficiența prin creșterea numărului de procesoare. Deoarece nu există nici un element care ar putea duce la strangularea comunicațiilor, cum este accesul la memoria comună, sistemele cu memorie distribuită pot avea, cel puțin în principiu, un număr nelimitat de procesoare.

Clasificări mai detaliate ale acestor calculatoare sunt date de Hockney [90] și Bell [15]. Exemple de calculatoare care corespund categoriei MIMD sunt: Cray-2, Cay X-MP, HEp, IBM 370/168 MP, Univac 1100/80, Tandem/16, IBM 3081/3084, iPCS.

Sisteme Cluster. Rețelele de calculatoare au devenit în ultimii ani o alternativă foarte atractivă pentru înlocuirea costisitoarelor supercalculatoare. Ele s-au dovedit a fi utile chiar și în domeniul calculului de înaltă performanță (“High-Performance Computing”), unde performanța este crucială. Sistemele de tip cluster reprezintă un exemplu de acest tip care a avut un deosebit succes în ultimul timp. Acestea presupun interconectarea de stații de lucru de performanță ridicată prin intermediul unor strategii clasice de interconectare (de exemplu: Ethernet sau Linux OS). În anumite cazuri, memoria acestor stații de lucru poate fi gestionată în așa fel încât tehnici specifice arhitecturilor cu memorie partajată să poate fi folosite. Sistemele cluster sunt sisteme scalabile, pot fi adaptate în funcție de buget și de nevoile de calcul și permit execuția eficientă atât a aplicațiilor secvențiale, cât și a celor paralele. Câteva exemple de asemenea sisteme sunt: Berkeley NOW, HPVM, Beowulf, Solaris-MC.

Poate fi considerată o nouă clasă, hibridă, de sisteme paralele: SIMD-MIMD. Aceste sisteme numite și SAMD (“Synchronous-Asynchronous Multiple Data”), sunt în mod

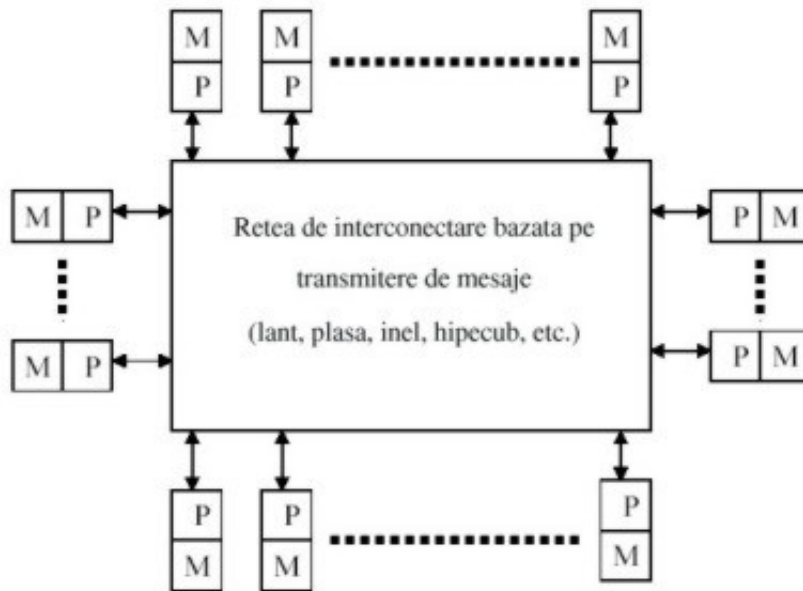


Figura 1.5: Multicalculator bazat pe transmitere de mesaje (P – procesor, M – memorie).

esențial calculatoare MIMD care au în plus următoarele caracteristici:

- Permit asigurarea sincronizării proceselor.
- Sincronizarea proceselor poate fi menținută fără un consum mare de timp, prin faptul că există un “ceas” uniform pentru toate procesoarele.

În timp s-a dezvoltat și o a doua generație de abstractizări pentru aceste clase. Câteva dintre acestea sunt:

- Relaxarea sistemelor de calcul SIMD astfel încât sincronizarea să nu mai apară după fiecare pas-instrucțiune, ci doar ocazional. Rezultatul este modul de lucru SPMD (“Single Program Multiple Data”), care se poate executa pe mașini SIMD, dar poate fi folosit eficient și pe alte arhitecturi.
- Modul de tratare a transmiterii mesajelor, al clasei MIMD cu memorie distribuită, poate fi lărgit pentru a se permite o dezvoltare mai simplă a softului prin adăugarea de concepte cum ar fi: spații partajate asociative (“tuple spaces”) pentru comunicație, sau comunicație mapată în memorie astfel încât operațiile “send” și “receive” se aseamănă cu accesul la memorie (“put/get”).

1.1.2 Alte clasificări

Clasificarea lui Schwartz

Schwartz a introdus o clasificare a calculatoarelor paralele utilizate în cercetare [151]. El utilizează pentru aceasta noțiunea de *granulație* prin care se înțelege numărul de

procesoare din sistem. Conform acestei clasificări, calculatoarele sunt cu granulație brută (cele care conțin câteva zeci de procesoare), medie (sute de procesoare) și cu granulație fină (cu mii și zeci de mii de procesoare).

Clasificarea lui Handler

Handler propune o notație elaborată pentru exprimarea paralelismului calculatoarelor [83]. Clasificarea lui Handler compară calculatoarele pe trei nivele distincte: unitatea de control a procesorului (PCU), unitatea aritmetică (ALU) și nivelul circuitului de bit (BLC). PCU corespunde procesorului sau CPU, ALU corespunde unei unități funcționale sau unui element de procesare într-un tablou de procesoare, iar BCL corespunde logicii necesare realizării operațiilor pe bit în ALU.

Taxonomia lui Handler folosește trei perechi de întregi pentru a descrie un calculator:

$$calculator = (k * k', d * d', w * w')$$

unde:

k = numărul de PCU;

k' = numărul de PCU care pot fi aranjate în pipeline;

d = numărul de ALU controlate de fiecare PCU;

d' = numărul de ALU care pot fi aranjate în pipeline;

w = numărul de biți ai cuvântului din ALU sau ai elementului de procesare (PE);

w' = numărul de segmente pipeline din toate ALU sau dintr-un singur PE.

Următoarele reguli și operatori sunt folosiți pentru a arăta relațiile dintre diferitele elemente ale calculatorului:

- Operatorul $*$ este folosit pentru a indica faptul că unitățile sunt legate în pipeline cu un singur flux de date în toate unitățile.
- Operatorul $+$ poate fi folosit pentru a arăta că unitățile nu sunt legate în pipeline, ci lucrează independent pe fluxuri diferite de date.
- Operatorul v poate fi folosit pentru a indica faptul că calculatorul poate lucra în moduri diferite.
- Simbolul \sim indică rangul valorilor pentru un parametru.

De exemplu, calculatorul Cray-1 este un calculator cu un singur procesor pe 64 de biți, care are 12 unități funcționale, dintre care 8 pot fi înălțuite pentru a forma un pipeline. Unitățile funcționale au între 1 și 14 segmente care pot fi deasemenea legate în pipeline. Descrierea lui Handler pentru acesta este:

$$Cray-1 = (1, 12 * 8, 64 * (1 \sim 14))$$

Descrierea lui Handler este foarte potrivită descrierii procesoarelor de tip pipeline. Este, de asemenea, bine adaptată descrierii paralelismului pentru un singur procesor, dar nu tocmai potrivită descrierii varietății de paralelism care poate apare într-un calculator multiprocesor.

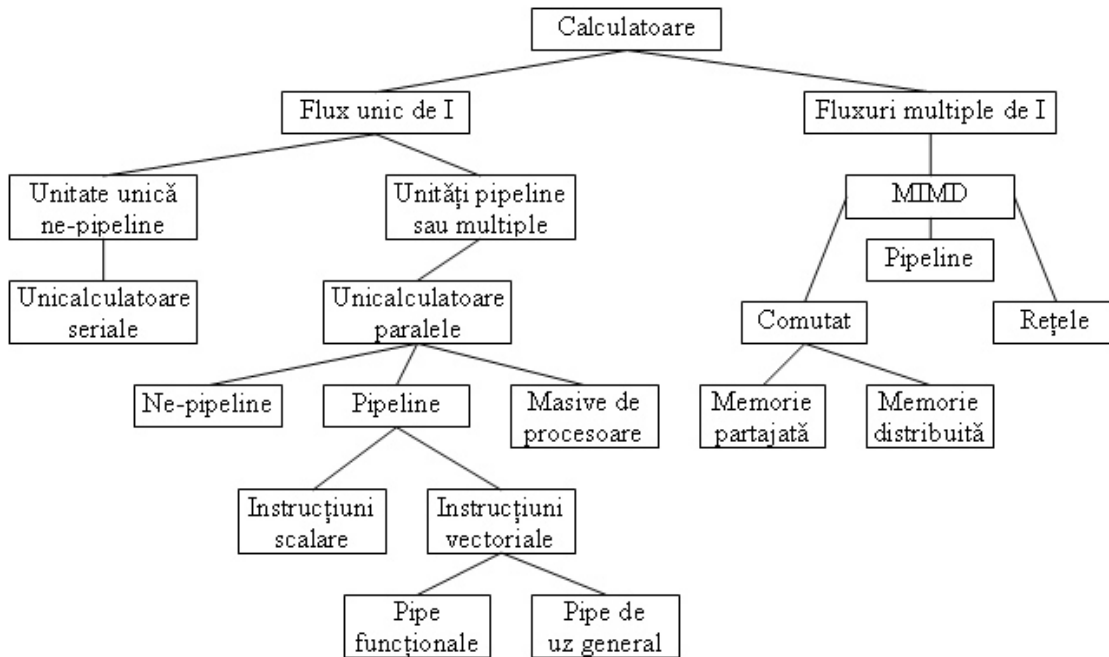


Figura 1.6: Clasificarea lui Hocney.

Clasificarea lui Hockney

Hockney propune o altă clasificare foarte detaliată a calculatoarelor atât seriale cât și paralele [90]. Clasificarea este dată în formă ierarhică, iar o variantă simplificată este prezentată în Figura 1.6.

La nivelul cel mai înalt se respectă clasificarea funcțională a lui Flynn, în sensul împărțirii calculatoarelor în cele cu un singur flux de instrucțiuni (SI) și cele cu mai multe fluxuri de instrucțiuni (MI).

Este demn de remarcat faptul că această clasificare evidențiază procesarea pipeline atât în cazul fluxului unic de instrucțiuni, cât și în cazul fluxurilor multiple de instrucțiuni.

Clasificarea lui Bell

O altă clasificare, numai a sistemelor MIMD, cunoscută ca și taxonomia lui Bell, a fost propusă de Gordon Bell în 1992. Acesta a considerat multiprocesoarele cu memorie partajată ca având un spațiu unic de adresare. Multiprocesoarele scalabile trebuie să utilizeze o memorie distribuită. Mutiprocesoarele nescalabile utilizează memorie partajată.

- Multiprocesoare(spațiu unic de adrese)
 - cu memorie distribuită (scalabil)
 - cu memorie comună (nescalabil)

- Multicalculatoare(mai multe spații de adrese, transfer de mesaje)
 - distribuite (scalabil)
 - centralizate

Clasificarea lui Lewis

Ted Lewis[108] propune ca în clasificarea sistemelor de calcul să se plece de la cele două modele fundamentale de paralelism, cel generat de *fluxul controlului*, iar al doilea generat de *paralelismul de date* (“data-parallelism”). Primul tip de paralelism se referă la construirea unui program paralel din mai multe procese ce se pot executa simultan. În acest caz, există gradul cel mai mare de generalitate, dar nu se pot obține niveluri foarte ridicate de paralelism. Sistemele de calcul sunt de tipul MIMD. Al doilea tip presupune execuția acelorași operații simultan, dar cu date diferite. De data aceasta, se poate obține un nivel foarte ridicat de paralelism, dar numai la algoritmii care folosesc operații cu vectori sau matrice. Sistemele de calcul paralel corespunzătoare sunt SIMD sau SPMD.

În ceea ce privește analiza proiectării algoritmilor paraleli clasificarea cea mai utilă ar fi aceea în care se iau în considerare două clase mari de arhitecturi paralele:

- i Multiprocesoare cu memorie partajată.
- ii Multicalculatoare cu memorie distribuită.

Aceasta pentru că un algoritm paralel poate fi văzut ca și o mulțime de componente de calcul (“task”-uri) independente, care se pot executa concurent și în mod cooperativ pentru rezolvarea unei probleme. La proiectarea unui asemenea algoritm ne interesează să știm că avem unități de procesare independente și modul în care acestea pot interacționa: fie prin intermediul unei memorii comune, fie prin intermediul unei rețele de interconectare.

În general, componentele care constituie programul paralel trebuie să coopereze într-un anumit mod pentru a rezolva o problemă. De asemenea, foarte des poate apare necesitatea ca anumite sarcini să se execute doar după ce s-a ajuns la o anumită stare, sau anumite operații au fost executate. Prin urmare, posibilitatea *sincronizării* proceselor este esențială. În funcție de clasa de arhitectură paralelă - cu memorie partajată sau distribuită - sincronizarea poate fi obținută prin diferite metode specifice. Pe lângă încărcarea echilibrată a componentelor, posibilitatea de a implementa mecanisme eficiente de sincronizare poate conduce la obținerea de programe paralele eficiente.

1.2 Criterii de performanță ale sistemelor paralele

Posibilitățile hardware ale unui sistem paralel pot fi evaluate pe baza unor criterii bine precizate; câteva dintre acestea sunt prezentate pe scurt în continuare:

- *Viteza de calcul* maximă, măsurată în Mflop/s (Million FLoting point OPeration per Second), sau în MIPS (Million Instructions Per Second). În descrierea vitezelor de calcul, se folosesc în general două valori: una de vârf, care presupune că procesoarele lucrează la încărcare maximă (ignorând conflictele de access la memorie, comunicație, sincronizări, timpi morți) și cealaltă, evaluată cu programe speciale de test (“benchmark”), care rezolvă probleme des întâlnite în calcule științifice.
- *Numărul de procesoare*. Se proiectează variante arhitecturale cu număr de procesoare de la câteva zeci, la câteva mii. Este indicat ca aceste sisteme să fie scalabile, adică să poată fi adăugate noi procesoare, ușor, fără necesitatea unor modificări laborioase.
- Dimensiunea memoriei locale a unui procesor sau a memoriei globale, dacă există. Acesta este un parametru de mare importanță, deoarece dictează dimensiunea problemelor care pot fi rezolvate.
- *Frecvența* ceasului unui procesor, care dă informații despre puterea unui nod de procesare.
- Viteza de comunicație și caracteristici ale bandei de trecere a unei legături, măsurată în număr de octeți transferați pe secundă. Este esențială pentru sistemele cu memorie distribuită. Ca și la viteza de calcul, trebuie să se facă diferențe între viteza de vârf și cea atinsă efectiv în aplicații reale.
- *Viteza de acces la memorie* a fiecărui procesor, esențială pentru calculatoarele cu memorie comună.
- Viteza de comunicație cu exteriorul, care poate produce un efect de strangulare a vitezei efective de calcul, prin introducerea unor timpi morți, datorită nealimentării cu programe și date.
- Suportul software oferit odată cu calculatorul. În ultimii ani se constată un efort intens de standardizare, materializat prin apariția de biblioteci implementate eficient pe diferite clase de arhitecturi. Aceasta conduce la portabilitatea programelor.
- Raportul dintre costul calculatorului și viteza sa de calcul – prețul unui Mflop/s. Tendința actuală este de menține cât mai scăzut acest raport, chiar dacă nu se obține o viteză de calcul deosebit de ridicată. Este și motivul pentru care sistemele cluster s-au impus atât de mult în ultima vreme în detrimentul costisitoarelor supercalculatoare.

1.3 Rețele de interconectare a procesoarelor

Performanțele unei arhitecturi paralele cu memorie distribuită depind mult de numărul de procesoare dar și de modul în care acestea sunt interconectate.

Rețelele de interconectare se pot clasifica în trei categorii:

- Fiecare procesor este conectat direct cu oricare altul. Această construcție este practic inexistentă, exceptând mașinile cu număr mic de procesoare.

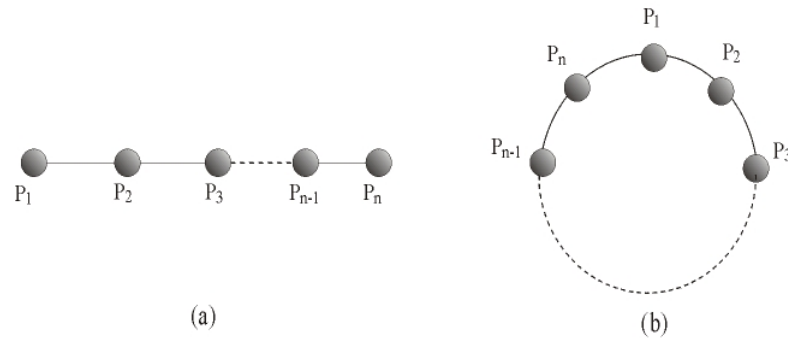


Figura 1.7: (a) – Rețeaua liniară (lanț); (b) – rețeaua ciclică (inel).

- Fiecare procesor este conectat cu oricare altul prin intermediul unei punți de legătură numită “switchboard”. Această conectare asigură legătura între oricare două procesoare după un număr mic de pași. Se pot utiliza în plus conexiuni directe între procesoare învecinate.
- Fiecare procesor este conectat direct cu un număr de alte procesoare.

În continuare, vom prezenta câteva rețele de interconectare din cea de-a treia categorie, care sunt mai des folosite în practică.

Înainte de a le prezenta, să vedem care sunt proprietățile unei astfel de topologii.

În primul rând graful asociat trebuie să fie *conex* (există cel puțin un drum între oricare două noduri ale sale) și pe cât posibil *regulat* (gradele tuturor nodurilor să fie egale). Este indicat ca un procesor să nu aibă prea multe canale de comunicație, pentru a fi ușor de realizat; strâns legată de aceasta este cerința ca numărul de arce să fie relativ mic. Prin urmare se urmărește ca *gradul grafului* – g (maximul gradelor tuturor nodurilor) să fie cât mai mic. Pe de altă parte, este bine ca *diametrul* – d (maximul tuturor distanțelor între perechi de noduri din graf) să fie cât mai mic, astfel încât distanțele între procesoare să fie limitate și deci comunicarea cât mai facilă. Evident cele două deziderate sunt antagonice; cu cât gradul este mai mic, cu atât sunt mai puține muchii și deci scad șansele să existe drumuri scurte între oricare două procesoare.

1.3.1 Topologii de bază

Rețeaua liniară și ciclică

Într-o rețea liniară (*lanț*), un procesor P_i este conectat cu vecinii săi P_{i-1} și P_{i+1} pentru toți $i : 1 < i < n$ (Figura 1.7 (a)). Gradul este 2, iar diametrul este $n - 1$.

Rețeaua ciclică (*inel*) aduce un plus de flexibilitate prin stabilirea unei conexiuni și între primul și ultimul procesor (Figura 1.7 (b)). Diametrul se reduce la jumătate – $\lceil n/2 \rceil$, iar gradul rămâne egal cu 2.

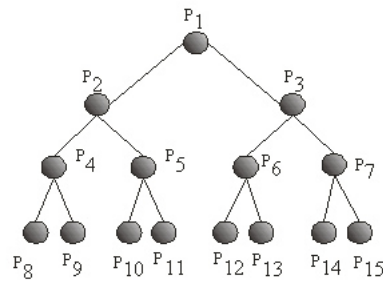


Figura 1.8: Rețeaua arbore binar pentru $n = 15$.

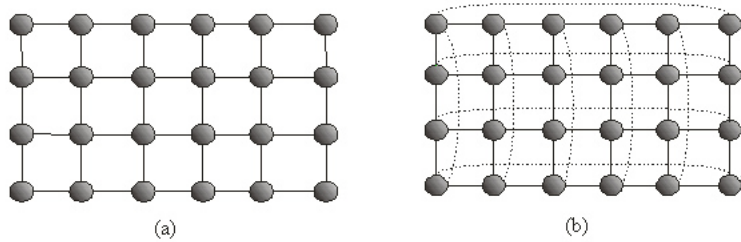


Figura 1.9: (a) Rețeaua grilă cu $M = 4$ și $N = 6$. (b) Rețeaua tor cu $M = 4$ și $N = 6$.

Rețea arbore binar

Numeroși algoritmi pot fi implementați convenabil pe calculatoare paralele ale căror procesoare sunt conectate în structură de arbore binar. Acest tip de rețea este foarte convenabil datorită diametrului mic, care este $\lceil \log_2 n \rceil$ (n = numărul de procesoare); gradul este egal cu 3.

Rețea grilă

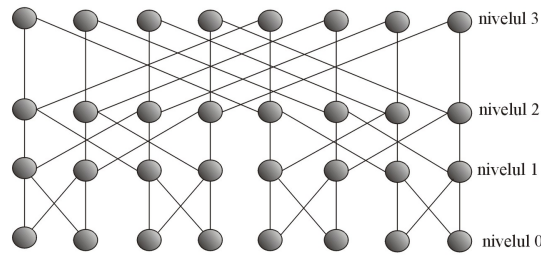
Se pot obține noi rețele de interconectare prin considerarea produsului cartezian a altor rețele. De exemplu, o rețea grilă (latică) $M \times N$, $M, N > 0$ este produsul cartezian a două rețele lanț de lungime M și N (Figura 1.9 (a)). Diametrul acestei rețele este $M + N - 2$, iar gradul este 4.

O rețea tor sau toroid este produsul cartezian a două rețele inel (Figura 1.9 (b)). Diametrul scade în acest caz și este $\lceil M/2 \rceil + \lceil N/2 \rceil$.

Rețea fluture

O rețea fluture de ordin k are $(k + 1)2^k$ procesoare dispuse în nodurile unui graf și are următoarele proprietăți:

- există 2^k coloane fiecare cu câte $k + 1$ noduri;

Figura 1.10: Rețeaua fluture pentru $k = 3$.

- procesoarele de pe fiecare coloană sunt numerotate de la 0 la k , iar acest număr reprezintă rangul aceluia nod;
- procesorul de rang r de pe coloana j se notează cu $d_{r,j}$;
- procesorul $d_{r,j}$ este conectat cu procesoarele $d_{r-1,j}$ și $d_{r-1,j'}$, unde j' este numărul al cărei reprezentări binare pe k biți este aceeași ca și reprezentarea binară a lui j cu excepția bitului $r - 1$.

În anumite cazuri, procesoarele de rang 0 și k coincid, caz în care toate procesoarele sunt conectate cu exact alte 4 procesoare.

Diametrul este egal cu k .

Rețeaua fluture de rang k are două proprietăți remarcabile:

1. Dacă procesoarele de rang k se șterg, împreună cu toate arcele incidente, rezultă două rețele fluture de rang $k - 1$.
2. Dacă procesoarele de rang 0 se șterg, împreună cu toate arcele incidente, rezultă două rețele fluture interclasate de rang $k - 1$.

Rețea hipercub

Un *hipercub binar* H_n de dimensiune n are 2^n noduri și se obține din produsul cartezian a n lanțuri de lungime 2. Nodurile sunt etichetate prin numere reprezentate binar prin n cifre binare, iar două noduri sunt conectate dacă și numai dacă numerele corespunzătoare lor diferă doar într-o singură poziție binară. Prin urmare, fiecare nod are exact n vecini și diametrul este n . Dacă se înlocuiește 2 cu un număr k oarecare se obțin n -cuburi cu aritate k .

O altă modalitate de definire a unui hipercub binar este recursivă. H_n este obținut din două hipercuburi H_{n-1} prin unirea corespunzătoare a nodurilor: fiecărui număr care reprezintă un nod i se adaugă un nou bit pe poziția cea mai semnificativă (egal cu 0 pentru primul hipercub și egal cu 1 pentru cel de-al doilea) și apoi se unesc nodurile care diferă în cel mult o poziție binară. Hipercubul H_1 este format din două procesoare unite.

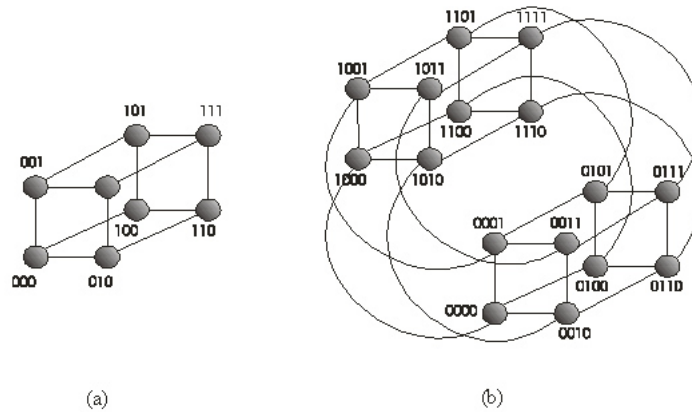


Figura 1.11: Rețeaua hipercub. (a) Rețeaua hipercub pentru $n = 3$. (b) Rețeaua hipercub pentru $n = 4$ (se formează prin combinarea a două hipercuburi de dimensiune 3).

Definiția 1.1 (Distanța Hamming) Fie a și b două secvențe de biți de aceeași lungime. Distanța Hamming dintre aceste secvențe este numărul de poziții din cele două secvențe în care există valori diferite.

Evident distanța dintre două noduri ale unui hipercub este egală cu distanța Hamming dintre reprezentările binare ale indecșilor celor două noduri. Diametrul pentru rețeaua H_n este n , egală cu gradul.

Un hipercub de dimensiune n este echivalent cu o rețea fluture ale cărei coloane sunt unite într-un singur vârf și care va avea jumătate din numărul de muchii ale rețelei fluture.

Rețea amestecare perfectă

Acest tip de rețea este unul special, inspirat de amestecarea perfectă a cărților de joc dintr-un pachet. Structura acestei rețele este exploatată de mulți algoritmi paraleli dintre care cel mai cunoscut este cel de sortare bitonică (Secțiunea 4.14.1).

Se consideră $n = 2^m$ cărți de joc împărțite în mod egal în două pachete. Se amestecă aceste cărți astfel încât prima carte din pachetul al doilea se află între prima și a doua carte din primul pachet, a doua carte din al doilea pachet între a doua și a treia carte din primul ș.a.m.d. Acest procedeu de amestecare este numit *amestecare perfectă*.

Amestecarea se bazează pe o permutare π :

$$\begin{pmatrix} 0 & 1 & 2 & 3 & 4 \dots & n-2 & n-1 \\ 0 & n/2 & 1 & n/2+1 & 2 \dots & n/2-1 & n-1 \end{pmatrix}$$

Permutarea inversă π^{-1} are următoarea proprietate:

$$\begin{aligned} \pi^{-1}(x) &= 2x \% (n-1), x = 0, \dots, n-2 \\ \pi^{-1}(n-1) &= n-1. \end{aligned}$$

Conectarea este definită în următorul mod:

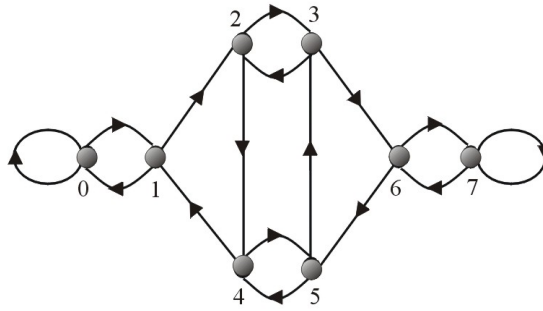


Figura 1.12: Rețeaua amestecare perfectă pentru $n = 8$.

- procesorul x este conectat cu procesorul $\pi^{-1}(x)$, dacă $x = 0, 1, \dots, n - 1$,
- procesorul $2x$ este conectat cu procesorul $2x + 1$,
- procesorul $2x + 1$ este conectat cu procesorul $2x$,

Acestui procedeu de amestecare i se poate asocia o topologie de interconectare a procesoarelor.

O rețea amestecare perfectă pentru $n = 8$ este prezentată în Figura 1.12.

1.3.2 Problema includerii

Mulți algoritmi folosesc o topologie virtuală în care comunicația se desfășoară doar între vecinii grafului. Performanța obținută poate fi îmbunătățită considerabil dacă topologia virtuală a algoritmului corespunde cu topologia fizică, reală, a sistemului paralel.

Totuși, în proiectarea algoritmilor este indicată o distanțare față de arhitectură (chiar independență), pentru a nu fi necesară rescrierea programului pentru fiecare implementare pe un alt sistem. O modalitate de obținere a portabilității se bazează pe găsirea unor modalități de includere a unei topologii (cea a algoritmului) în altele, astfel încât, un algoritm să poată fi implementat pe diferite arhitecturi.

Problema este interesantă și din alte motive, cum este de exemplu, posibilitatea emulării unei arhitecturi prin alta și determinarea efectului cerut de această emulare.

Această problemă a includerii se bazează pe o problemă matematică, așa numita *scufundare* a grafurilor [122].

Definiția 1.2 (Scufundarea grafurilor) Fie G și H două grafuri simple neorientate. O scufundare a grafului G în graful H este definită printr-o funcție f definită pe mulțimea nodurilor din G cu valori în mulțimea nodurilor din H , și o funcție S_f definită pe mulțimea muchiilor din G cu valori în mulțimea lanțurilor din H ; prin S_f se asociază unei muchii (x, y) din G o cale din H care unește $f(x)$ cu $f(y)$.

În general, se consideră doar funcția f , lăsând funcția S_f să fie dedusă prin considerarea unui drum minim între $f(x)$ și $f(y)$ corespunzător muchiei (x, y) .

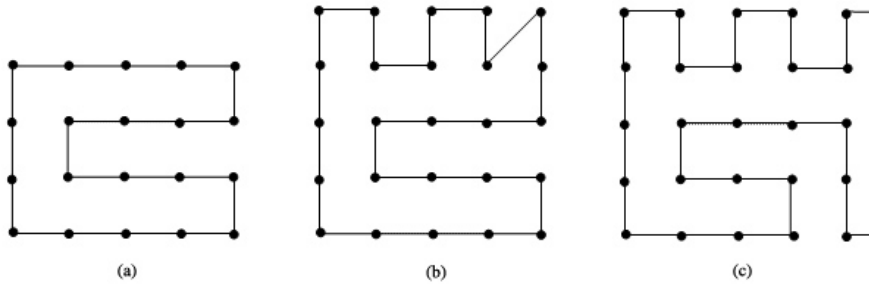


Figura 1.13: (a) Ciclu hamiltonian într-o grilă 4×5 ; (b) scufundarea unui inel într-o grilă 5×5 cu dilatare 2 (muchia diagonală se mapează printr-un lanț cu lungimea 2); (c) ciclu hamiltonian într-un tor 5×5 .

Dilatatarea și *congestia* sunt două caracteristici importante ale unei scufundări. Dilatarea exprimă lungimea maximă a unei căi $S_f(x, y)$, unde (x, y) este muchie în G ; iar congestia este maximul după toate muchiile $e \in E(H)$, a numărului de căi $S_f(x, y)$ care sunt imagini de muchii din G care conțin muchia e din H .

Putem considera H ca fiind arhitectura reală, iar G topologia emulată (fie că ea provine dintr-un algoritm, sau este topologia altei arhitecturi). Dilatarea exprimă distanța maximă între două noduri emulate; este de dorit să fie cât mai mică, valoarea ideală fiind 1. Congestia dă informații despre numărul de canale emulate pe un canal de comunicație fizică; cu cât este mai mic cu atât conflictele de utilizare a canalului sunt reduse. Dacă dilatarea este egală cu 1, atunci și congestia este egală cu 1.

Exemplul 1.1 (Scufundarea unui inel) Dorim să analizăm modalitățile de scufundare cu dilatare 1, a unui inel în topologiile: grilă, tor și hipercub. Problema se reduce la găsirea unui drum hamiltonian (care trece prin toate nodurile grafului) în grafurile topologiilor respective. Vom prezenta doar rezultatele, fără a intra în detalii ce țin de demonstrare.

O grilă de dimensiuni $M \times N$ are ciclu hamiltonian dacă ori M ori N este par – Figura 1.13 (a). Dacă ambele dimensiuni sunt impare atunci scufundarea unui inel se poate face doar cu o dilatare egală cu 2. Un exemplu este dat în Figura 1.13 (b), unde se observă că linia oblică nu corepunde unei muchii a grilei și deci este nevoie de un drum de lungime 2 pentru acea legătură.

Un tor are întotdeauna ciclu hamiltonian; dacă M sau N este par, atunci se aplică rezultatul precedent, iar dacă ambele dimensiuni sunt impare se folosesc muchiile pe care torul le are în plus față de grilă – Figura 1.13 (c).

Și un hipercub are întotdeauna un ciclu hamiltonian – Figura 1.14. Pentru un hipercub H_{2n} există n cicluri hamiltoniene distincte.

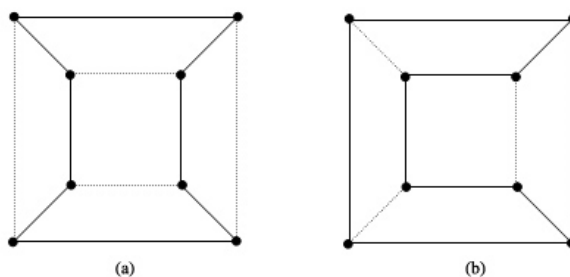


Figura 1.14: Două cicluri hamiltoniene ale hipercubului de ordin 3; liniile punctate indică muchiile din hipercube neutilizate.

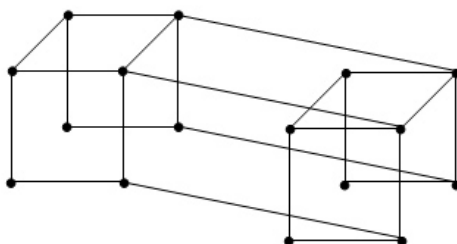


Figura 1.15: Scufundarea unei grile 4×4 într-un hipercube de ordin 4; un tor este chiar hipercube.

Exemplul 1.2 (Scufundarea unei grile într-un hipercube) O grilă de dimensiuni $2^{n_1} \times 2^{n_2}$ poate fi scufundată cu dilatare 1 într-un hipercube de ordin n (cu n par). Mai general, orice grilă de dimensiuni $2^{n_1} \times 2^{n_2}$, cu $n_1 + n_2 = n$ poate fi scufundată cu dilatare 1 într-un hipercube H_n [167]. Un exemplu este prezentat în Figura 1.15.

1.3.3 Comunicația în rețele

Principalele criterii de performanță de care se ține cont în proiectarea unei rețele de interconectare sunt asociate cu parametrii următori:

- întârzierea (“latency”) - timpul de transmitere pentru un singur mesaj, măsurat de la momentul trimiterii sale până la primirea la destinație (este indicat să fie cât mai mic);
- lățimea de bandă (“bandwidth”) - numărul de octeți transferați de rețea în unitatea de timp (este indicat să fie cât mai mare);
- diametrul (“diameter”) - distanța maximă între oricare două procesoare din rețea (este indicat să fie cât mai mic); distanța dintre două procesoare se definește ca fiind lungimea drumului minim dintre ele;

- mărimea biseției (“bisection width”) - numărul minim de canale de comunicație, ce trebuie eliminate pentru a împărți rețeaua în două jumătăți egale (este indicat să fie cât mai mică);
- conectivitatea (“connectivity”) - numărul de vecini direcți ai fiecărui procesor, parametru cunoscut ca și gradul procesorului;
- costul hardware - proporția din costul total care reprezintă costul rețelei;
- fiabilitatea - se asigură prin introducerea unor căi redundante, etc.;
- funcționalitatea - posibilitatea asigurării unor funcții suplimentare de către rețea, cum ar fi combinarea mesajelor și arbitrarea.

Este imposibil de satisfăcut toate aceste criterii de performanță, unele chiar contradictorii. De aceea, trebuie să se decidă care sunt obiectivele de performanță ce trebuie atinse. De exemplu, nu este posibil întotdeauna ca fiecare procesor să fie conectat direct cu toate celelalte procesoare (cazul ideal), decât în cazul unei configurații reduse, cu până la câteva zeci de procesoare. Un procesor este conectat direct doar cu o submulțime de procesoare, care formează vecinătatea sa. În consecință, pentru ca un mesaj trimis de oricare dintre procesoare să ajungă la destinație, trebuie să existe un mecanism de propagare a mesajului la nivelul fiecărui procesor. Acesta trebuie să decidă care este canalul pe care se transmite în continuare mesajul primit, astfel ca acesta să ajungă în mod sigur la destinație și într-un timp rezonabil. Funcția de propagare a mesajelor prin rețeaua de comunicație poartă numele de dirijare (rutare - “routing”). În legătură cu dirijarea mesajelor prin rețea va trebui să se asigure respectarea următoarelor cerințe:

- nici un mesaj nu trebuie să fie pierdut;
- strategia de rutare trebuie să evite producerea fenomenului de interblocare;
- toate mesajele trebuie să-și atingă destinația într-un interval de timp finit;
- strategia de dirijare trebuie să fie independentă de topologia și de mărimea rețelei.

Transmiterea de mesaje între două procesoare poate fi sincronă sau asincronă.

În cazul **transmiterii asincrone de mesaje**, procesul care comunică informație continuă execuția după ce aceasta a fost transmisă spre destinație. Procesul receptor va prelua mesaje într-o coadă de mesaje. Mesaje pot fi primite într-o ordine diferită de cea în care au fost trimise, existând și posibilitatea trimerii lor cu prioritate.

Transmisia sincronă cere ca atât procesul care trimite cât și cel care recepționează mesajul să fie disponibile până în momentul când transmisia s-a terminat, ambele procese putând apoi să-și continue lucrul. În felul acesta, nu este necesară stocarea mesajelor (lucru care poate fi necesar în cazul transmiterii asincrone).

1.4 Niveluri la care poate apare paralelism

În calculatoarele moderne, paralelismul apare pe diferite niveluri atât în hardware cât și în software: niveluri semnal și circuit, componente și sistem. La cel mai scăzut nivel,

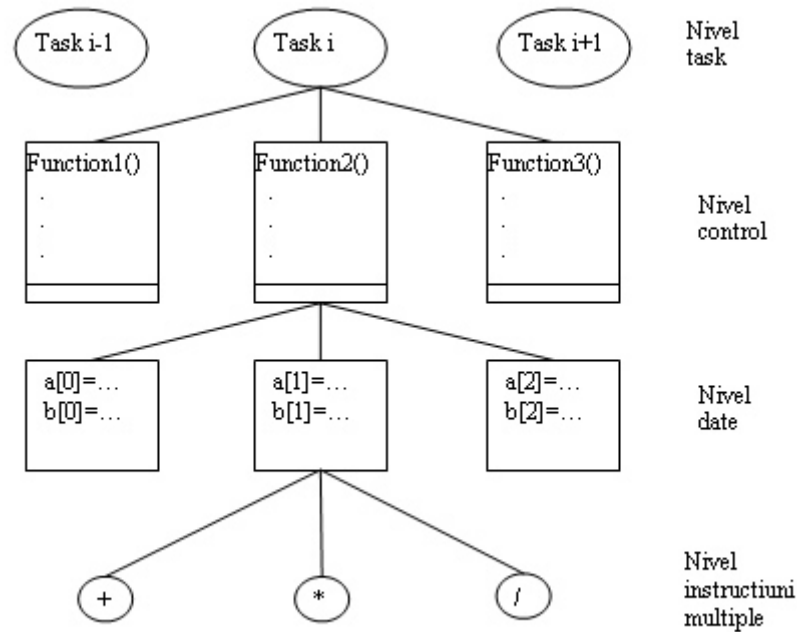


Figura 1.16: Niveluri ale paralelismului.

semnalele sunt transmise în paralel, iar la un nivel un pic mai înalt poate apare așa numitul paralelism la nivel de instrucțiune. De exemplu, un procesor cum este Pentium Pro are capacitatea de a procesa trei instrucțiuni simultan. Majoritatea calculatoarelor suprapun activitățile unității de control și cele de intrare-ieșire (I/O). Anumite calculatoare folosesc tehnica de întrețesere a memoriei – câteva blocuri de memorie pot fi accesate în paralel pentru accesul mai rapid la memorie. La un nivel și mai înalt, sistemele de calcul pot avea mai multe procesoare, iar la un nivel și mai înalt se pot conecta împreună mai multe calculatoare care pot lucra împreună ca o singură mașină.

La primele două niveluri – semnal și circuit – paralelismul se realizează prin tehnici hardware și are loc așa numitul paralelism hardware. Paralelismul celorlalte două niveluri – componente și sistem – este în general exprimat implicit sau explicit prin diferite tehnici software care formează paralelismul software.

Nivelurile de paralelism pot fi structurate și în funcție de dimensiunea componentelor de cod (“grain size”) care se pot executa în paralel. În funcție de acestea avem următoarele nivele:

- granularitate foarte fină (instrucțiuni multiple) – paralelizarea este realizată de procesor;
- granularitate fină (nivel de date) – paralelizarea este realizată de compilator;
- granularitate medie (nivel al controlului) – paralelizarea este realizată de programator;

- granularitate brută (nivel-task) – paralelizarea este realizată de programator.

Diferitele niveluri de paralelism sunt evidențiate în Figura 1.16. Primele două niveluri sunt suportate fie de către hardware, fie de către compilatoare de paralelizare. Programatorul se ocupă în general de ultimele două niveluri de paralelism.

1.5 Clasificarea algoritmilor paraleli

Așa cum am precizat și anterior, un algoritm paralel poate fi văzut ca și o mulțime de p componente de calcul/taskuri independente, care se pot executa concurrent și în mod cooperativ la rezolvarea unei probleme. În mod evident, dacă $p = 1$ atunci avem un algoritm secvențial.

În timpul execuției unui algoritm paralel componentele interacționează prin sincronizare și/sau schimb de date. Aceste puncte sunt numite *puncte de interacțiune*. O componentă poate fi împărțită în funcție de aceste puncte de interacțiune într-un anumit număr de etape, astfel încât la sfârșitul unei etape o componentă poate comunica cu alte componente înainte de începerea etapei următoare. În execuția unui program paralel, timpul asociat unei etape pentru un procesor oarecare este o variabilă aleatoare, datorită următorilor factori:

- procesoarele pot avea viteze și caracteristici diferite;
- operațiile efectuate de către un procesor pot fi întrerupte de către sistemul de operare;
- timpul de procesare poate depinde de datele de intrare.

Ca rezultat al necesității interacțiunilor dintre componente, o componentă poate fi blocată pentru o anumită perioadă de timp. Un algoritm paralel în care componentele trebuie să aștepte execuția unor anumite evenimente care apar în alte procese se numește *algoritm sincron*. Într-un algoritm sincronizat componenta ce ajunge la un punct de interacțiune este blocată până când componentele cu care trebuie să interacționeze ajung și ele la acel punct de interacțiune. Această formă de sincronizare se numește explicită. Deoarece execuția unei componente este variabilă, toate componentele care trebuie să fie sincronizate la un anumit punct trebuie să aștepte terminarea celui cu execuția cea mai lungă. Aceasta reprezintă o limitare importantă a algoritmilor paraleli sincroni și poate duce la o utilizare ineficientă a procesoarelor.

Algoritmii paraleli asincroni elimină problemele implicate de sincronicitate. Componentele algoritmilor asincroni nu trebuie în general să se aștepte unele pe altele. Comunicarea se realizează prin citirea unor variabile globale actualizate în mod dinamic. Pot apare întârzieri și în acest caz, datorită rezolvării conflictelor ce pot apare în accesarea memoriei comune. Acest tip de sincronizare se numește implicit. Pot apare însă probleme legate de consistență și corectitudine și pentru eliminarea lor sunt programate așa numitele *secțiuni critice*, iar procesele pot fi blocate înainte de intrarea în aceste secțiuni.

Algoritmii paraleli pot fi clasificați și în funcție de controlul concurenței, de granularitate, scalabilitate și de structura comunicației impuse de ei.

Controlul concurenței. Controlul concurenței este esențial pentru calculul paralel deoarece mai multe componente se execută în același timp. Interacțiunile dorite între componente sunt gestionate prin controlul concurenței astfel încât algoritmul să funcționeze corect. Există două tipuri de control al concurenței: centralizat și descentralizat. Algoritmii paraleli cu control al concurenței centralizat sunt sincronizați. De exemplu, algoritmii pentru calculatoarele SIMD sunt caracterizați de un control centralizat al concurenței. Cei pentru calculatoare MIMD au în general un control al concurenței descentralizat.

Granularitatea (“grain size”) este un parametru calitativ care caracterizează atât sistemele paralele cât și aplicațiile paralele. Granularitatea aplicației se definește ca dimensiunea minimă a unei unități secvențiale dintr-un program, exprimată în număr de instrucțiuni. Prin unitate secvențială se înțelege o parte program în care nu au loc operații de sincronizare sau comunicare cu alte procese. Fiecare flux de instrucțiuni are o anumită granularitate. Granularitatea aplicației se definește ca valoarea minimă a granularității pentru activitățile paralele ale componentelor (proces, thread, task).

Granularitatea unui algoritm poate fi aproximată ca fiind raportul dintre timpul total calcul și timpul total de comunicare.

Pentru un sistem dat, există o valoare minimă a granularității aplicației, sub care performanța scade semnificativ. Această valoare de prag este cunoscută ca și granularitatea sistemului respectiv. Justificarea constă în faptul că timpul de *overhead* (comunicații, sincronizări, etc.) devine comparabil cu timpul de calcul paralel. De aceea, este de dorit ca un calculator paralel să aibă o granularitate mică, astfel încât să poată executa eficient o gamă largă de programe. Pe de altă parte, este dezirabil ca programele paralele să fie caracterizate de o granularitate mare, astfel încât să poată fi executate eficient de o diversitate de sisteme.

Există totuși și clase de aplicații cu o valoare a granularității foarte mică, dar care se execută cu succes pe arhitecturi specifice. Este cazul aplicațiilor sistolice, în care în general o operație este urmată de o comunicație. Aceste aplicații impun însă o structură a comunicațiilor foarte regulată și comunicații doar între noduri vecine (Secțiunea 4.8).

Gradul de paralelism (DOP) al unui algoritm este dat de numărul de operații care pot fi executate simultan. Similar cu granulația sistemelor paralele (fină–număr mare de procesoare, medie, brută–număr mic de procesoare) se poate defini și **granulația** unui algoritm care poate fi la fel: fină, medie, brută, în funcție de numărul de componente care sunt construite de acel algoritm.

Scalabilitatea măsoară modul în care se schimbă performanța unui anumit algoritm în cazul în care sunt disponibile mai multe procesoare. Un indicator important pentru aceasta este numărul maxim de procesoare care pot fi folosite pentru rezolvarea unei probleme. În cazul folosirii unui număr mic de procesoare, un program paralel se execută mult mai încet decât un program secvențial. Diferența poate fi atribuită comunicațiilor și sincronizărilor care nu apar în cazul unui program secvențial. Pe măsură ce numărul de procesoare crește, crește și performanța; dar la un moment dat creșterea devine nesemnificativă, chiar nulă, odată cu creșterea numărului de procesoare. Graficul din Figura 1.17 arată cum se modifică performanța la creșterea numărului de procesoare. Adăugarea de procesoare nu determină nici o creștere a performanței după depășirea unui anumit prag,

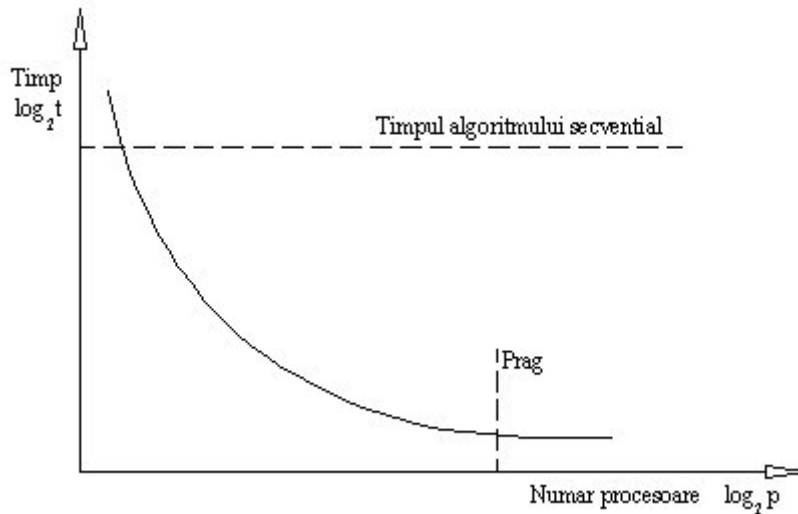


Figura 1.17: Dependența performanței de numărul de procesoare.

datorită faptului că nu există suficient calcul de executat pentru a ține toate procesoarele ocupate. Numărul minim de componente pentru o anumită partiționare, poate fi de asemenea un indicator important.

Structura comunicației. Algoritmii paraleli pot fi clasificați de asemenea și în funcție de structura comunicației pe care ei o necesită. Evident această structură trebuie să fie mapată pe o topologie a unei rețele de interconectare existentă.

De exemplu, dacă algoritmul presupune comunicația pe diagonală între componentele organizate ca o matrice de procese, acestea pot fi mapate direct pe o rețea de tip grilă, iar pentru o comunicație se vor folosi doi pași. Se folosește problema scufundării topologiilor.

Pentru foarte mulți algoritmi rețeaua de calcul corespunzătoare este de tipul unui arbore binar și prin urmare structura de comunicație a acestor algoritmi este de tip arbore binar. Rețeaua de interconectare arbore binar poate fi folosită în acest caz.

Există situații când structura de comunicație a unui algoritm conduce la realizarea unor rețele de interconectare speciale, astfel încât este dificil ca structura de comunicație să se mapeze direct pe o rețea de interconectare clasică. Este cazul algoritmului de sortare bitonică datorat lui Batcher care a condus la crearea rețelei amestecare perfectă.

Există și situația inversă când la construcția algoritmului paralel pentru o problemă dată se are în vedere adaptarea lui pentru un anumit tip de rețea de interconectare, prin urmare asigurarea unei anumite structuri de comunicație.

1.6 Modelul standard PRAM

Rolul esențial al unui model de calcul este să furnizeze o mașină abstractă care să simplifice dezvoltarea și specificarea programelor.

Modelul RAM este modelul clasic folosit de către calculatoarele seriale care simulează

calculatorul clasic von Neumann. Din păcate, pentru calculul paralel nu există un singur model universal datorită faptului că arhitecturile paralele prezintă diferențe esențiale între ele și pentru că performanța algoritmilor paraleli depinde foarte mult de detaliile arhitecturii pe care se implementează. Cel mai cunoscut model de calcul paralel și probabil cel mai vechi este modelul PRAM (“Parallel Random Access Machine”).

PRAM modelează calculul pentru sistemele cu memorie comună, dar s-au făcut extinderi și pentru modelarea arhitecturilor care se bazează pe transmiterea de mesaje.

Un P-procesor PRAM sau PRAM de dimensiune P este definit de un număr de P programe inalterabile, o memorie comună și P procesoare, ce pot avea și memorie locală. Accesul la memoria comună poate fi făcut de oricare dintre procesoare într-un pas-program. Un procesor, memoria sa locală și programul pe care îl execută formează un RAM.

Un P-procesor PRAM execută P instrucțiuni într-un pas, câte una din fiecare program. Acest model corespunde clasei MIMD, cu diferența că PRAM este un model sincron.

Pseudocodul clasic, utilizat de modelul RAM este utilizat cu mici diferențe și pentru modelul PRAM, cu interpretarea că fiecare citire și scriere este în memoria globală. În plus, se folosește o instrucțiune nulă – pentru a preciza când un procesor este inactiv, și instrucțiunea `for... in parallel do...end for` – pentru a preciza execuția în paralel a instrucțiunilor din blocul `for`.

Complexitatea calculului este dată de numărul de procesoare necesare pentru al executa și de numărul de pași globali. Acuratețea evaluării costurilor nu este totuși perfectă, datorită faptului că unitatea de timp pentru accesul la memorie, depinde de numărul total de accesări și de șablonul pe care acestea îl urmează.

Se poate considera diferențierea dintre accesurile la memoria locală și cea globală prin adăugarea a două operații: `global_read` și `global_write` pentru citirea, respectiv scrierea în/din memoria globală(partajată). Această versiune are dezavantajul distrugerii unității algoritmului paralel, dar în schimb aduce avantajul explicitării comunicației interprocesor și permite o evaluare a performanței mai rafinată.

Exemplul 1.3 (Adunarea a doi vectori) Fie vectorii A și B cu n elemente.

Se cere calcularea vectorului suma C .

```

for  $i = 0, n - 1$  in parallel do
  global_read(A[i], a);
  global_read(B[i], b);
   $c \leftarrow a + b$ ;
  global_write(c, C[i])
end for

```

O distincție importantă între diversele variante PRAM se realizează pe baza existenței sau nu a posibilității de a se efectua accesuri simultane, în scriere sau citire, la aceeași locație de memorie. În cadrul modelului original s-a adoptat un protocol standard “*readers-writers*”, în care o locație poate fi citită de mai multe fluxuri de instrucțiuni

simultan, dar scrierea o execută un singur flux (mașina CREW – Concurrent Read Exclusive Write). Modelul cel mai restrictiv, dar și singurul care are corespondenți reali, este EREW P-RAM (EREW - Exclusive Read Exclusive Write), care permite ca o locație să fie citită sau scrisă de către un singur flux de instrucțiuni, la un moment dat de timp. Pe de altă parte, CRCW PRAM (CRCW - Concurrent Read Concurrent Write) permite orice tip de acces. Versiunea CRCW adaugă problema rezolvării scrierilor simultane: ce se va obține de fapt? Printre variantele existente putem menționa:

- “common CRCW PRAM” pentru care o scriere se realizează doar dacă toate procesoarele încercă să scrie aceeași valoare,
- “arbitrary CRCW PRAM” pentru care se alege în mod arbitrat un procesor dintre cele care încercă să scrie și se realizează scrierea respectivă, și
- “priority CRCW PRAM” pentru care se alege procesorul cu cel mai mare (sau mic) indice dintre cele care încercă să scrie și se realizează scrierea respectivă.

Există un rezultat important, datorat lui Vishkin [168] prin care se arată că aceste modele pot fi efectiv simulate de modelul EREW.

Teorema 1.1 *Dacă un algoritm pe un model CRCW se execută într-un timp α folosind β procesoare, atunci el poate fi simulat pe un model EREW cu β procesoare într-un timp $O(\alpha \log_2^2 n)$ (n =dimensiunea datelor). Memoria RAM va crește cu un factor de $O(\beta)$.*

O strategie posibilă de proiectare a algoritmilor paraleli folosind modelul PRAM este acela de a studia comparativ mai multe variante distincte, pentru modelele EREW, CREW și CRCW. Dacă varianta CRxx este mai bună, citirea concurentă poate fi simulată cu un algoritm de tip *broadcasting* (difuzare) bazată pe un calcul de tip arbore binar, care are complexitatea $O(\log_2 P)$.

Pentru sistemele cu transfer de mesaje s-a definit modelul MPRAM (Message Passing RAM). Acesta este constituit din P programe inalterabile, P memorii, P procesoare și o rețea de interconectare. Fiecare RAM este plasat într-un nod al grafului care modelează rețeaua de interconectare. RAM-urile care comunică direct se numesc vecini. Gradul unui nod este egal cu numărul de vecini, iar gradul rețelei se determină pe baza evaluării funcției $\max(\text{grad}_{\text{nod}})$. În setul de instrucțiuni se adaugă SEND_To_Neighbor și RECEIVE_From_Neighbor. O pereche de noduri vecine comunică prin intermediul unui canal bidirecțional. Pentru acest model este importantă definirea timpului de comunicație între două procesoare. De exemplu, dacă procesoarele sunt vecine și canalul e liber, se poate folosi ecuația următoare:

$$T_{com} = t_{start} + wt_{word}$$

unde t_{start} reprezintă timpul necesar inițierii operației, iar t_{word} timpul consumat pentru transmiterea unui cuvânt din cele w cuvinte ale mesajului.

Se poate considera un model PRAM-SIMD, în care toate componentele execută aceeași instrucțiune în fiecare pas-program și care ar corespunde masivelor de procesoare.

Modelul PRAM impune precizarea detaliată a descompunerii calculului pe procese, a gestiunii memoriei partajate și a întregii comunicații. Datorită complexității foarte mari

a specificării unui astfel de program, în general, algoritmi PRAM dezvoltati sunt de tip SIMD, astfel încât fiecare procesor execută la fiecare pas aceeași operație.

Acest model nu furnizează nici o abstractizare pentru descompunere, comunicație și sincronizare. Nu furnizează, de asemenea, nici o metodologie de dezvoltare a software-ului.

Unul din avantajele majore ale acestui model constă în faptul că permite evaluarea costurilor algoritmilor paraleli și de aceea teoria complexității algoritmilor paraleli se bazează pe acest model.

1.7 Măsurarea performanței algoritmilor paraleli

Evaluarea unui program paralel trebuie să țină seama de arhitectura (modelul) sistemului de calcul, ceea ce înseamnă că este posibil ca algoritmul ales să fie cel mai bun pentru o anumită mașină, dar să nu fie cel mai bun algoritm paralel pentru problema dată. De asemenea, este posibil, ca pentru un volum mic de date să existe un algoritm paralel mai bun, iar pentru un volum mare de date, un altul. De aceea, pentru compararea riguroasă a variantei paralele cu cea serială, trebuie să se precizeze modelul de calcul paralel, să se aleagă algoritmul serial cel mai bun și să se indice dacă există condiționări ale performanței algoritmului datorită volumului de date.

Dacă în cazul algoritmilor secvențiali performanța este măsurată în termenii complexităților timp și spațiu, în cazul algoritmilor paraleli se folosesc și alte măsuri ale performanței, care au în vedere toate resursele folosite. Elementele de procesare folosite sunt, în cazul programării paralele, o resursă importantă și prin urmare și complexitatea elementelor de procesare trebuie să fie luată în considerare.

În general, într-un studiu al performanței algoritmilor paraleli se au în vedere următorii factori:

- aritmetica operațiilor
- transferul de date

Câteva remarci pot fi făcute cu privire la măsurarea performanței programelor paralele în raport cu cele secvențiale:

1. În calculul paralel, obținerea unui timp de execuție mai bun nu înseamnă neapărat utilizarea unui număr minim de operații, așa cum este în calculul serial.
2. Factorul memorie nu are o importanță foarte mare în calculul paralel. În schimb, o resursă majoră în obținerea unei performanțe bune a algoritmului paralel o reprezintă numărul de procesoare folosite.
3. Dacă timpul de execuție a unei operații aritmetice este mult mai mare decât timpul de transfer al datelor între două elemente de procesare, atunci întârzierea datorată rețelei este nesemnificativă, dar, în caz contrar, timpul de transfer joacă un rol important în determinarea performanței programului.

1.7.1 Complexitatea-timp

Timpul este cea mai importantă măsură a performanței unui algoritmi paralel, deoarece principala motivație a folosirii calculului paralel este de a se obține o îmbunătățire a timpului de execuție.

Timpul de execuție al unui program paralel măsoară perioada care s-a scurs între momentul inițierii primului proces și momentul când toate procesele au fost terminate. În timpul execuției, fiecare procesor execută operații de calcul, comunicație, sau este în așteptare. Prin urmare, timpul total de execuție, al unui program paralel executat pe un sistem cu pe p procesoare, se poate obține prin formula:

$$t_p = (\max i : i \in \overline{0, p-1} : T_{\text{calcul}}^i + T_{\text{comunicație}}^i + T_{\text{asteptare}}^i)$$

sau în cazul echilibrării perfecte a încărcării de calcul pe fiecare procesor din formula:

$$t_p = \frac{1}{p} \sum_0^{p-1} (T_{\text{calcul}}^i + T_{\text{comunicație}}^i + T_{\text{asteptare}}^i)$$

Ultima variantă este, în general, mai folositoare deoarece este mai simplu de calculat timpul global necesar comunicațiilor și timpul global de calcul. Dar, timpul de așteptare datorat blocărilor care pot apare este în general foarte dificil de evaluat.

Ca și în cazul programării secvențiale, pentru a dezvolta algoritmi paraleli eficienți trebuie să putem face o evaluare a performanței încă din faza de proiectare a algoritmilor. Prin urmare, măsuri de tipul complexității-timp trebuie să poate fi evaluate.

Complexitatea-timp pentru un algoritm paralel care rezolvă o problemă P_n , cu dimensiunea n a datelor de intrare, este o funcție T care depinde de n , dar și de numărul de procesoare p folosite.

Pentru un algoritm paralel, un pas elementar de calcul se consideră a fi o mulțime de operații elementare care pot fi executate în paralel de către o mulțime de procesoare. Complexitatea-timp a unui pas elementar se consideră a fi $O(1)$. Complexitatea-timp a unui algoritm paralel este dată de numărarea atât a pașilor de calcul necesari dar și a pașilor de comunicație a datelor, iar timpul necesar fiecărui pas de comunicație depinde de șablonul de comunicație folosit.

În general, toate aprecierile timpului de execuție se fac începând dintr-un moment în care datele se află într-un loc accesibil direct procesoarelor (se ignoră timpul necesar distribuției inițiale a datelor). Această lucru poate fi în general corect pentru compararea a doi algoritmi paraleli, dar poate fi incorect în comparația între un algoritm paralel și unul secvențial.

1.7.2 Accelerația

Accelerația (“speed-up”), notată cu S_p , este definită ca raportul dintre timpul de execuție al celui mai bun algoritm serial cunoscut, executat pe un calculator monoprosesor și timpul de execuție al programului paralel echivalent, executat pe un sistem de calcul

paralel. Dacă se notează cu t_s timpul de execuție al programului serial, iar t_p timpul de execuție corespunzător programului paralel, atunci:

$$S_p(n) = \frac{t_s(n)}{t_p(n)}. \quad (1.1)$$

Numărul n reprezintă dimensiunea datelor de intrare, iar p numărul de procesoare folosite.

Această definiție este uneori dificil de utilizat în practică, pentru că fie nu se cunoaște timpul de execuție al celui mai bun algoritm serial, fie varianta paralelă se deosebește foarte mult de cea serială, iar comparația nu-și mai are sensul. De aceea, se acceptă mai multe variante de definiție a accelerației:

- *relativă*, când t_s este timpul de execuție al variantei paralele pe un singur procesor al sistemului paralel;
- *reală*, când se compară timpul execuției paralele cu timpul de execuție pentru varianta serială cea mai rapidă, pe un procesor al sistemului paralel;
- *absolută*, când se compară timpul de execuție al algoritmului paralel cu timpul de execuție al celui mai rapid algoritm serial, executat de procesorul serial cel mai rapid;
- *asimptotică*, când se compară timpul de execuție al celui mai bun algoritm serial cu funcția de complexitate asimptotică a algoritmului paralel, în ipoteza existenței numărului necesar de procesoare;
- *relativ asimptotică*, când se folosește complexitatea asimptotică a algoritmului paralel executat pe un procesor.

Analiza asimptotică (consideră dimensiunea datelor n și numărul de procesoare p foarte mari) ignoră termenii de ordin mic și este folosită în procesul de construcție al programelor paralele.

Legile accelerației

În condiții ideale, când calculele sunt distribuite egal celor p procesoare și nu există operații de comunicare și sincronizare:

$$t_p = \frac{t_s}{p}, \quad (1.2)$$

iar $S_p = p$. Dar și în aceste condiții, apelurile funcțiilor sistem fac ca accelerația să fie mai mică. Deci,

$$1 \leq S_p \leq p. \quad (1.3)$$

Foarte puține probleme au o asemenea regularitate și un asemenea paralelism implicit, care să conducă la o accelerație apropiată de cea ideală – liniară.

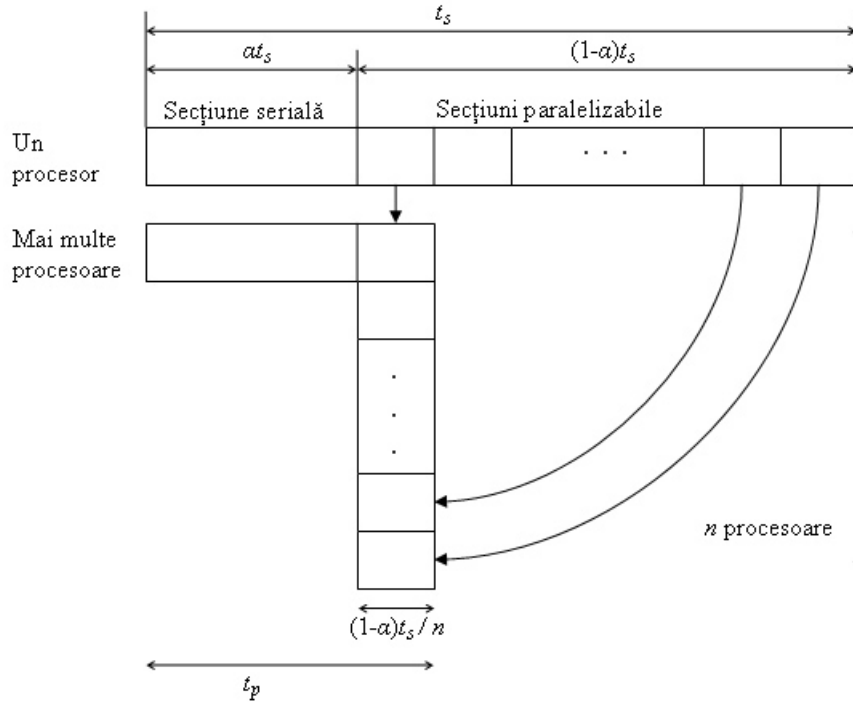


Figura 1.18: Exemplificarea legii lui Amdahl.

O observație comună, care se poate face în legătură cu calculul paralel, este că orice algoritm are o componentă secvențială, care va limita până la urmă accelerația care poate fi obținută pe un calculator paralel. Această observație este recunoscută ca **Legea lui Amdahl**[9].

Timpul de calcul al unui program paralel poate fi descompus în două părți: *o parte pentru calcul paralel și o parte pentru calcul secvențial*. Indiferent cât de ridicat este gradul de paralelism al părții paralele a programului, accelerația finală va fi limitată de partea serială, care trebuie executată pe un singur procesor.

Teorema 1.2 (Legea lui Amdahl) Fie α ($0 \leq \alpha \leq 1$) proporția operațiilor din algoritm care se execută secvențial (fracția lui Amdahl). Atunci:

- Partea serială a algoritmului se execută în timpul αt_s .
- Partea paralelă a algoritmului se execută în timpul $\frac{(1-\alpha)t_s}{p}$.
- Întregul algoritm se execută în timpul $t_p = \alpha t_s + \frac{(1-\alpha)t_s}{p}$.
- Accelerația relativă este $RS_p = (\alpha + \frac{1-\alpha}{p})^{-1}$ care nu poate depăși α^{-1} (Legea lui Amdahl).

Chiar dacă avem un număr nelimitat de procesoare, accelerația maximă este limitată de $1/\alpha$. De exemplu, dacă componenta secvențială reprezintă 5%, atunci accelerația maximă care poate fi atinsă este 20.

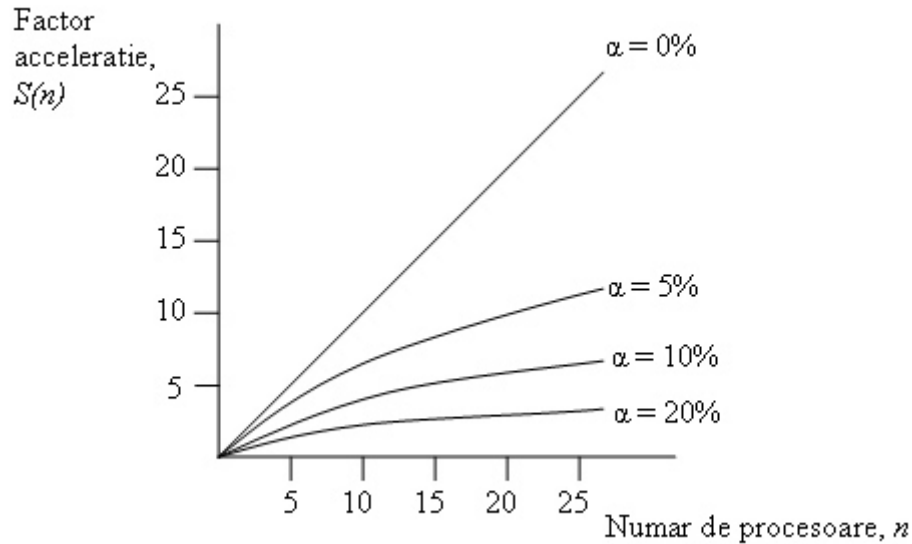


Figura 1.19: Accelerația în funcție de numărul de procesoare.

Legea lui Amdahl este relevantă în special atunci când construirea variantei paralele se face prin paralelizare incrementală. Există probleme pentru care α depinde de n și poate descrește odată cu creșterea lui n .

Lee [107] a extins rezultatul anterior, considerând că odată cu variația parametrului i =număr de procesoare, care ia valori în domeniul $[1, p]$, se modifică și proporția din program, q_i , care poate fi executată de i procesoare – paralelizată. Astfel accelerația este:

$$RS_p = \frac{\sum_{i=1}^p q_i t_s}{\sum_{i=1}^p \frac{q_i t_s}{i}}$$

iar dacă $q_i = 1/p, \forall i \in [1, p]$, se obține:

$$RS_p \leq \frac{p}{\log_2 p}.$$

Rezultatul evidențiază faptul că accelerația depinde nu numai de natura aplicației ci și de numărul de procesoare.

Un alt rezultat cu privire la această problemă este **ecuația Gustafson-Barsis**[108]. Ei au plecat de la ipoteza conform căreia timpul de execuție al unui program paralel cu paralelism de date poate fi normalizat, de exemplu, la valoarea 1:

$$t_p = 1.$$

Când se execută acest program pe un procesor, avem:

$$t_1 = \alpha + p(1 - \alpha) = (\alpha + p(1 - \alpha))t_p,$$

Rezultă că accelerația relativă este:

$$RS_p = \alpha + p(1 - \alpha).$$

În acest caz $RS_p = O(p)$, ceea ce înseamnă că odată cu folosirea mai multor procesoare, accelerația relativă va crește proporțional.

1.7.3 Eficiența

Accelerația este o măsură a reducerii timpului de execuție, dar nu indică nimic despre cât de optim sunt folosite cele p procesoare. Eficiența este un parametru care măsoară gradul de folosire a procesoarelor.

Eficiența este definită ca fiind accelerația împărțită la p :

$$E = \frac{S_p}{p}. \quad (1.4)$$

Din ecuația 1.3 se deduce că valoarea eficienței este întotdeauna subunitară.

Overhead. Denumirea generică a factorilor care micșorează eficiența este de *overhead*. Este un nume prin care se au în vedere întârzierile datorate încărcării inegale a procesoarelor, a comunicațiilor, etc. Prezentăm în continuare câteva tipuri generale de overhead [51]:

- Overhead *algorithmic*, datorat părților intrinsec secvențiale ale algoritmului – părți care nu se pot paraleliza, sau datorat unor operații suplimentare efectuate în algoritmul paralel față de cel mai rapid algoritm secvențial;
- Overhead datorat *încărcării inegale* a procesoarelor – cazul ideal este cel în care calculele sunt repartizate uniform procesoarelor, astfel încât fiecare să aibă același număr de operații de executat – dacă unele procesoare vor avea mai mult de lucru decât altele este evident că timpul total de execuție va crește;
- Overhead datorat *comunicației* – orice comunicație contribuie la ineficiența algoritmului;
- Overhead *software* – acesta apare datorită repetării unor operații ce se execută o singură dată în cazul secvențial, pe fiecare procesor. (Precizăm însă că repetarea unor calcule poate reduce timpul de execuție, dacă prin aceasta se reduce numărul de comunicații.) Acest tip de overhead poate apare și datorită unor operații suplimentare datorate implementării algoritmului – decizii în funcție de adresa procesorului, aritmetică întreagă repetată pe mai multe procesoare, etc.

1.7.4 Costul și volumul de lucru

O altă măsură a eficienței unui program paralel presupune măsurarea muncii totale executate de către mașina paralelă.

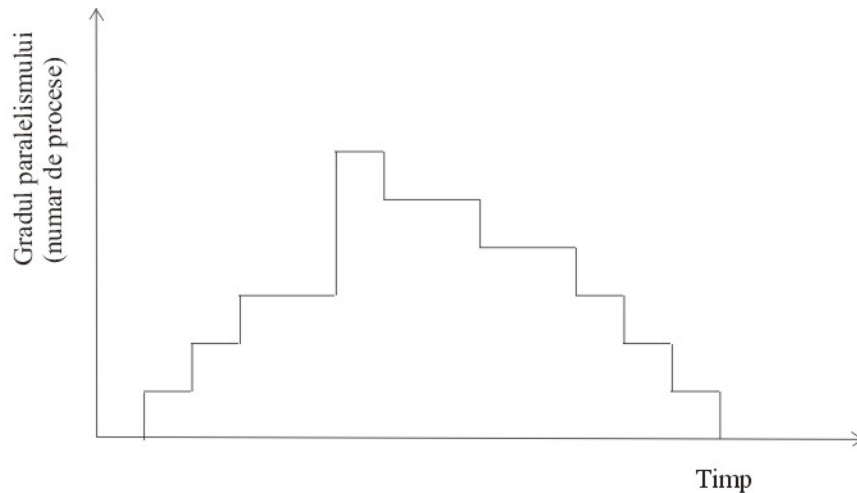


Figura 1.20: Volumul de lucru.

Costul se definește ca fiind produsul dintre timpul de execuție și numărul maxim de procesoare care se folosesc:

$$C_p(n) = t_p(n) \cdot p. \quad (1.5)$$

Această definiție este justificată de faptul că orice aplicație paralelă poate fi simulată pe un sistem secvențial, situație în care unicul procesor va executa programul într-un timp egal cu $O(C_p(n))$.

O aplicație paralelă este *optimă* din punct de vedere al costului, dacă valoarea acestuia este egală, sau este de același ordin de mărime cu timpul celei mai bune variante secvențiale; aplicația este *eficientă* din punct de vedere al costului dacă $C_p = O(t_s \log p)$.

O măsură mai rafinată este *volumul de lucru* (“work”) – W , definit de numărul total de operații executate de către procesoarele active. Putem vedea acest volum de lucru ca și integrala profilului de paralelism al programului – adică numărul de procese active ca o funcție de timp – Figura 1.20.

Volumul de lucru poate fi evaluat și ca fiind produsul dintre dimensiunea problemei n și numărul mediu de operații, care se fac asupra unei date de intrare c : $W = n \cdot c$. Această evaluare nu este totuși precisă, deoarece în afară faptului că se ia în considerare un număr mediu de calcule pe o anumită dată, face și presupunerea că nu se fac operații decât asupra datelor de intrare și nu și asupra unor valori obținute ulterior prin calcul.

1.7.5 Paralelism limitat și nelimitat

Ca și pentru algoritmi seriali, pentru algoritmi paraleli, complexitatea-timp se exprimă în funcție de dimensiunea datelor problemei.

Complexitatea-timp a unui algoritm paralel depinde de tipul sistemului de calcul folosit, dar și de numărul de procesoare disponibile. De aceea, atunci când este dată complexitatea-timp a unui algoritm paralel este indicat să fie dat numărul maxim de

procesoare folosite, ca o funcție de dimensiunea datelor problemei. Aceasta este referită ca fiind *complexitatea-procesor*. Este posibil, de asemenea, de a exprima complexitatea-timp ca funcție și de numărul de procesoare.

Paralelismul limitat consideră că există un număr fix $p(p > 1)$ de procesoare. În contrast, paralelismul nelimitat exprimă situația în care se presupune că există un număr nelimitat de procesoare disponibile.

Din punct de vedere practic, algoritmi bazați pe paralelismul limitat sunt de preferat. Este mai realist de presupus că numărul de procesoare disponibile este limitat. Un algoritm paralel implementat pe un model de calcul cu P procesoare este numit P -algoritm. Dacă un P -algoritm paralel necesită $T(n)$ pași paraleli pentru o problemă de dimensiune n , atunci el este P -calculabil în timpul $T(n)$.

Algoritmi paraleli bazați pe paralelism nelimitat, au în vedere în general o margine polinomială, pentru numărul de procesoare, exprimată în funcție de dimensiunea datelor problemei (de exemplu $O(n)$, $O(n^2)$). Dar această limită poate deveni, pentru dimensiuni mari ale problemelor, un număr impracticabil de mare. Totuși, algoritmi bazați pe paralelism nelimitat au interes teoretic mare, deoarece ei exprimă limitele pentru calculul paralel și furnizează o înțelegere bună a complexității intrinseci a problemei. Complexitatea-timp a unui algoritm bazat pe paralelism nelimitat reflectă caracteristicile problemei.

În practică, algoritmi paraleli bazați pe paralelism nelimitat pot deveni utili, dacă pot fi transformați în P -algoritmi paraleli. Există două metode pentru o asemenea transformare. Una se bazează pe descompunerea problemei și cealaltă pe descompunerea algoritmului. Considerăm un algoritm paralel A pentru o problemă P_n de dimensiune n care o rezolvă în timpul $T_1(n)$ folosind $p_1(n)$ procesoare. Trebuie construit un nou algoritm B care rezolvă problema P_n în timpul $T_2(n)$ folosind $p_2(n)$ procesoare unde $p_2(n) < p_1(n)$. Descompunerea problemei presupune împărțirea problemei P_n în subprobleme de dimensiune $m < n$ și aplicarea în mod repetat a algoritmului A pentru fiecare subproblemă. Descompunerea algoritmului presupune descompunerea fiecărui pas paralel în subpași care pot fi executați de un număr mai mic de procesoare. Principiul lui Brent enunțat în secțiunea următoare reflectă impactul pe care îl poate avea micșorarea numărului de procesoare asupra timpului de execuție.

1.7.6 Teorema lui Brent

Această teoremă precizează formal anumite elemente euristice legate de timpul necesar executării în paralel a anumitor calcule pe rețele de calcul. Este legată de reducerea numărului de procesoare necesare execuției unui program paralel astfel încât să se păstreze ordinul de mărime al complexității-timp.

Mai întâi este necesară o definiție riguroasă a rețelei de calcul.

Definiția 1.3 *O rețea de calcul este un graf orientat aciclic ale cărui noduri sunt împărțite în trei mulțimi:*

Noduri de intrare: *noduri cu gradul interior nul.*

Noduri de ieșire: *noduri cu gradul exterior nul.*

Noduri interioare: *noduri cu grad interior și exterior nenul.*

Fiecare nod interior este etichetat cu o operație elementară.

Numărul de muchii incidente unui nod interior este numit “*fan-in*”, iar numărul de muchii care ies “*fan-out*”. Maximul acestor numere este numit numărul “*fan-in*”, respectiv numărul “*fan-out*” al grafului.

Lungimea celui mai lung drum de la nodurile de intrare la cele de ieșire este numită *adâncimea* rețelei de calcul.

Calculul efectuat de o rețea de calcul, pentru o mulțime de date de intrare, este definit de datele care apar în nodurile de ieșire, ca rezultat al următoarei proceduri:

1. Se aplică datele de intrare nodurilor de intrare.
2. Se transmit datele de-a lungul muchiilor. De fiecare dată când se trece printr-un nod interior, se așteaptă până când datele de pe toate muchiile lui de intrare sosesc și apoi se realizează operația elementară indicată. Rezultatul se transmite pe toate muchiile de ieșire din nod.
3. Procedura se încheie când nu mai există date pe nodurile interioare.

Teorema 1.3 *Fie N o rețea de calcul cu n noduri interioare, cu adâncimea d și cu numărul fan-in mărginit. Atunci calculele efectuate de N pot fi executate pe un calculator CREW-PRAM cu p procesoare într-un timp $O(\frac{n}{p} + d)$.*

Timpul total depinde de numărul *fan-in* al rețelei – care este inclus în constanta de proporționalitate.

Demonstrație: Se poate simula calculul într-un mod direct. Presupunem că avem o structură de date în memoria calculatorului PRAM pentru codificarea unui nod al rețelei și că aceasta are un câmp care conține un pointer spre nodul care primește rezultatul produs de calculul său, dacă nu este un nod exterior. Dacă este nod exterior atunci acel câmp va fi nul. Definim adâncimea unui nod, v , ca fiind maximul lungimilor drumurilor de la un nod de intrare la v . Simularea se realizează inductiv: simulăm toate calculele care au loc la nodurile de adâncime mai mici decât $k - 1$ înaintea celor de adâncime k . Presupunem că sunt n_i noduri interioare ale căror adâncime este exact i . Avem atunci $\sum_{i=1}^d n_i = n$. După simularea calculelor de pe nodurile cu adâncimea $k - 1$, putem simula calculele de la nodurile de adâncime k , deoarece intrările sunt toate disponibile.

Ordinea calculelor de la nivelul k este irelevantă. Aceasta se datorează definiției adâncimii care asigură că ieșirea oricărui nod de adâncime k este intrare a unui nod cu adâncime strict mai mare.

Simularea calculului la nivelul k este după cum urmează:

1. Procesoarele citesc datele din zonele de ieșire ale structurilor de date corespunzătoare nodurilor de adâncime $k - 1$.

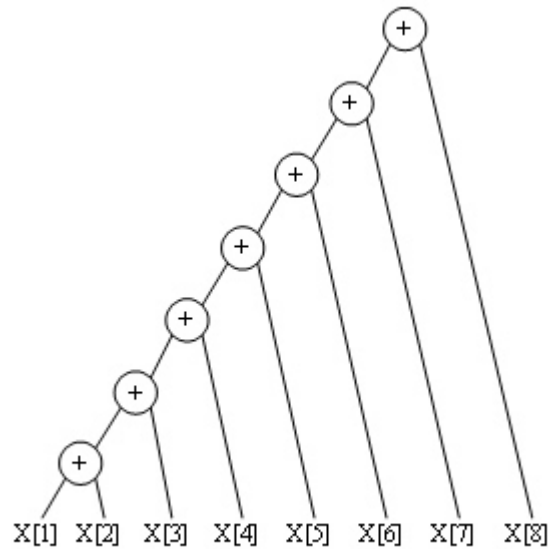


Figura 1.21: Rețea de calcul, cu adâncimea 7, pentru adunarea a 8 numere.

2. Procesoarele execută calculele cerute.

Deoarece sunt n_k noduri cu adâncimea k și calculele se pot realiza în orice ordine, timpul de execuție al acestei faze este:

$$\left\lceil \frac{n_k}{p} \right\rceil \leq \frac{n_k}{p} + 1$$

Timpul total de execuție este astfel:

$$\sum_{i=1}^d \left\lceil \frac{n_k}{p} \right\rceil \leq \sum_{i=1}^d \left(\frac{n_k}{p} + 1 \right) = \frac{n}{p} + d$$

Teorema se aplică, în general, pentru a modifica algoritmi paraleli astfel încât să folosească mai puține procesoare.

Principiul de organizare al lui Brent

Presupunem că un algoritm A are proprietatea că toate calculele efectuate de el se exprimă în termenii unei rețele de calcul cu x noduri și adâncimea d și are numărul fan-in mărginit. Atunci algoritmul poate fi executat pe un calculator CREW-PRAM cu p procesoare într-un timp $O(\frac{x}{p} + d)$.

Aceste rezultate au consecințe interesante în ceea ce privește relația dintre reprezentarea datelor și timpul de execuție al unui algoritm.

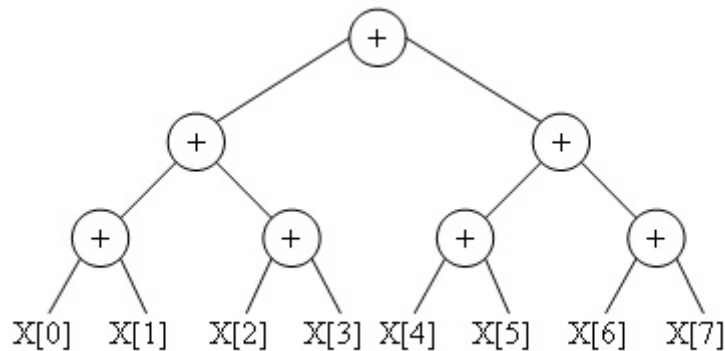


Figura 1.22: Rețea de calcul, cu adâncimea 3, pentru adunarea a 8 numere.

Sarcina de a găsi un algoritm paralel bun într-un asemenea caz poate fi privită ca o problemă de remodelare a rețelei de calcul, astfel încât distanța de la rădăcină la frunze să fie minimă. Acest proces de remodelare poate să conducă la creșterea numărului total de noduri ale rețelei, astfel încât un asemenea algoritm paralel ar fi ineficient dacă s-ar executa secvențial.

De exemplu, dacă dorim să adunăm 8 numere a_1, a_2, \dots, a_8 , algoritmul secvențial de bază are rețeaua de calcul prezentată în Figura 1.21.

Această rețea de calcul poate fi remodelată și se ajunge la rețeaua din Figura 1.22.

Generalizând, dacă avem $n = 2^k$ numere, acestea pot fi adunate în k pași, prin punerea numerelor în frunzele unui arbore binar total echilibrat - care reprezintă rețeaua de calcul. Dacă considerăm $p = n/2$, deci numărul de procesoare egal cu jumătate din numărul datelor de intrare, complexitatea-timp obținută este egală cu $k = \log_2 n$. Costul algoritmului în acest caz este $n \log_2 n$ și prin urmare nu este un algoritm optim din punct de vedere al costului; este doar eficient.

Ca o consecință a principiului lui Brent, algoritmul poate fi executat cu $\lceil n/\log_2 n \rceil$ procesoare fără nici o degradare asimptotică a timpului de execuție. La fiecare nivel sunt de executat $n/2, n/4, \dots, n/2^{\log_2 n}$ operații. Demonstrația constă în înlocuirea directă a valorilor concrete pentru x și p . Dacă $p = \lceil n/\log_2 n \rceil$ atunci complexitatea-timp este tot $O(\log_2 n)$, iar costul este $(n/\log_2 n) * \log_2 n = n$ și prin urmare s-a obținut un algoritm optim din punct de vedere al costului.

1.7.7 Clasa problemelor NC

Din analiza algoritmilor paraleli se poate deduce că foarte mulți algoritmi paraleli (pentru care considerăm paralelism nelimitat) au un timp de execuție de tip $O(\log^k n)$, (n =dimensiunea datelor). Acesta este, de exemplu, cazul algoritmilor construiți cu ajutorul tehnicii dublării recursive.

Deoarece acest fenomen este atât de răspândit, N. Pippenger a definit o clasă de probleme numită *NC* [157]. Acestea sunt problemele care pot fi rezolvate pe un calculator

paralel, într-un timp $O(\log^k n)$, folosind un număr polinomial de procesoare. În general, o problemă este numită *paralelizabilă* dacă este din clasa NC . Deoarece orice problemă NC poate fi rezolvată secvențial într-un timp polinomial (prin simularea unui calculator PRAM de către unul secvențial), rezultă că $NC \subset P$ (P este clasa problemelor rezolvabile într-un timp polinomial [39]). Întrebarea este dacă $NC = P$, sau altfel spus dacă există probleme *esențial secvențiale* (“inherently sequential”) – pentru care nu există un algoritm paralel, care este substanțial mai rapid decât cel mai rapid algoritm secvențial. Această problemă rămâne deschisă, dar presupunerea este că $NC \neq P$, chiar dacă nu s-au găsit exemple care să dovedească aceasta [67].

Pentru problemele NP -complete – probleme pentru care nu se cunoaște un algoritm secvențial cu complexitate-timp polinomială, este de așteptat să nu poată fi găsiți algoritmi paraleli din clasa NC .

Sumar

În acest prim capitol am prezentat principalele noțiuni legate de calculul paralel, plecând de la clasele de arhitecturi paralele până la parametrii de performanță ai programelor paralele.

Spre deosebire de calculul serial, unde există un model unic pentru toate sistemele de calcul secvențial, în cazul calculului paralel avem arhitecturi extrem de diferite care influențează modelul de calcul. Au fost prezentate diferite clasificări ale acestor arhitecturi, precum și criteriile lor de performanță, diferite tipuri de rețele de interconectare și aspecte legate de comunicația în rețele.

Trecând de la sisteme la programe paralele, a fost prezentată o clasificare a algoritmilor paraleli și apoi modelul standard PRAM. Obținerea de performanță este scopul principal al paralelismului și prin urmare posibilitatea evaluării acesteia este esențială. Au fost prezentați parametrii precum complexitate, accelerație, eficiență și cost, împreună cu legile corespunzătoare lor.

Capitolul 2

Construcția programelor paralele

Există două abordări principale pentru obținerea de programe paralele:

Prima este bazată pe *parallelism implicit*. Această abordare este folosită de către limbajele paralele și de către compilatoarele de paralelizare. Programatorul nu specifică și astfel nici nu controlează, planificarea calculului și plasamentul datelor.

Cea de-a doua se bazează pe *parallelism explicit*. În acest caz programatorul este responsabil în mare parte de paralelizare prin descompunerea în componente de calcul (“task”-uri), asignarea lor pe procesoare și stabilirea structurii de comunicație. Această abordare este bazată pe presupunerea că programatorul poate analiza cel mai bine cum poate fi exploatat paralelismul pentru o anumită aplicație.

Prin experiență s-a observat că paralelismul explicit conduce la obținerea unei eficiențe mai ridicate și această abordare va fi luată în considerare în ceea ce urmează.

După cum am precizat anterior, construcția unui program paralel presupune descompunerea problemei în componente de calcul individuale, stabilirea necesităților de comunicare dintre ele, adaptarea lor pentru implementare pe o arhitectură concretă, etc. Toate acestea pot ajunge la o complexitate deosebit de ridicată și prin urmare este necesară folosirea unor metodologii care să permită stăpânirea acestei complexități. Construcția algoritmilor paraleli nu poate fi simplu redusă la câteva rețete. Creativitatea și ingeniozitatea sunt de multe ori necesare. Totuși putem beneficia de abordări metodice care să restrângă posibilitățile de explorare, să furnizeze mecanisme de evaluare a alternativelor și să reducă astfel costurile de dezvoltare.

De asemenea, descompunerea calculului nu este întotdeauna evidentă și de aceea este indicată folosirea unor tehnici și paradigme care pot direcționa proiectarea cu scopul de a obține soluții eficiente. Majoritatea problemelor au mai multe soluții paralele. Cea mai bună dintre aceste soluții poate să difere în mod esențial de cel mai bun algoritm secvențial pentru acea problemă.

2.1 Etape în dezvoltarea programelor paralele

Nu există o schemă simplă care să poate fi aplicată pentru dezvoltarea programelor paralele. Totuși, se poate considera o abordare metodologică care să maximizeze numărul de opțiuni, să furnizeze mecanisme de evaluare a alternativelor și să reducă costurile necesare revenirii, în cazul luării unor decizii neperformante. O asemenea metodologie de dezvoltare permite programatorului să se concentreze asupra aspectelor independente de arhitectură, cum este concurența, în prima fază de dezvoltare, iar analiza aspectelor dependente de mașină să fie amânată pentru finalul procesului de dezvoltare. Vom prezenta în această secțiune o metodologie de dezvoltare a aplicațiilor paralele propusă de către Ian Foster [62], prin care procesul de dezvoltare este organizat în patru etape distincte: partiționarea, comunicația, aglomerarea și asignarea (maparea) (PCAM).

Această metodologie definește aceste etape ca și linii directe în procesul de realizare a programelor paralele și nu neapărat ca niște etape stricte de dezvoltare (Figura 2.1).

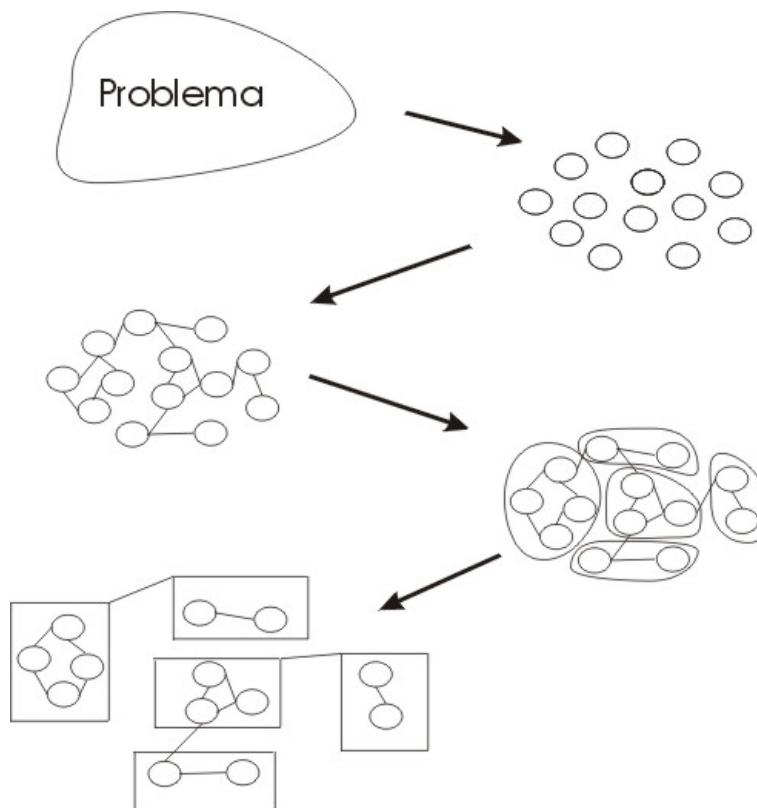


Figura 2.1: Etape în dezvoltarea programelor paralele.

2.1.1 Partiționarea

Problema partiționării are în vedere împărțirea problemei de programare în componente de calcul care se pot executa concurrent. Aceasta nu implică o divizare directă a programului într-un număr de componente egal cu numărul de procesoare disponibile. Cele mai importante scopuri ale partiționării sunt legate de *scalabilitate*, abilitatea de a *ascunde întârzierea (latency)* datorată rețelei și realizarea unei *granularități* cât mai mari.

Sunt de preferat partiționările care furnizează mai multe componente decât procesoare, astfel încât să se permită *ascunderea întârzierii*. Întârzierea este definită de timpul necesar unui mesaj pentru a traversa o arhitectură și a ajunge la destinație. O componentă va fi blocată, sau va aștepta, până când mesajul care conține informația dorită va ajunge. Dacă există și alte componente de calcul disponibile, procesorul poate continua calculul; acest concept se numește *multiprogramare* și corespunde execuției concurente pe același calculator.

Prin partiționare se urmărește descompunerea problemei în componente de calcul cât mai fine și concurente. Rezultatul este un *graf de dependență (execuție)* (similar rețelei de calcul definită în Secțiunea 1.7.6) ale cărui noduri sunt componentele de calcul, iar arcele pot exprima relații de precedență între componentele de calcul sau canale de comunicație. Relația de ordine între două componente de calcul a_1 și a_2 este indicată de dependența de date [8]:

- *dependența de curs ("flow dependency")* – data de intrare pentru a_2 este produsă ca dată de ieșire de către a_1 ;
- *antidependența ("antidependency")* – a_2 urmează după a_1 , iar ieșirea lui a_2 se suprapune cu intrarea lui a_1 ;
- *dependența de ieșire ("output dependency")* – a_1 și a_2 produc (scriu) aceeași dată de ieșire;
- *dependența de I/E ("I/O dependency")* – a_1 și a_2 accesează simultan aceeași resursă (de exemplu fișier).

O relație de condiționare suplimentară este dictată de ordinea de execuție care stabilește dacă o componentă de calcul nu poate începe înaintea terminării altei componente de calcul.

Considerând un set de componente S_i , notăm cu $I(S_i)$ mulțimea variabilelor citite (date de intrare) de către S_i , iar cu $O(S_i)$ mulțimea variabilelor scrise (date de ieșire) de către S_i . Două componente S_i și S_j cu ($j > i$) sunt independente și respectă condițiile lui Bernstein [17] dacă:

$$\begin{aligned} O(S_i) \cap O(S_j) &= \emptyset && \text{independență de ieșire;} \\ I(S_j) \cap O(S_i) &= \emptyset && \text{independență de flux;} \\ I(S_i) \cap O(S_j) &= \emptyset && \text{anti-independență.} \end{aligned}$$

În acest caz execuția celor două componente produce aceleași rezultate, indiferent dacă sunt executate secvențial, concurrent în orice ordine, sau în paralel.

Există două strategii principale de partiționare: descompunerea domeniului de date și descompunerea funcțională. În funcție de acestea putem considera aplicații paralele bazate pe descompunerea domeniului de date – *parallelism de date* și aplicații paralele bazate pe descompunerea funcțională. Cele două tehnici pot fi folosite însă și împreună; de exemplu se începe cu o descompunere funcțională și după identificarea principalelor funcții se poate folosi descompunerea domeniului de date pentru fiecare în parte.

Descompunerea domeniului de date

Această tehnică s-a dovedit a fi eficientă pentru o mare varietate de probleme științifice. Este aplicabilă atunci când domeniul datelor este mare și regulat. Ideea centrală este de a divide domeniul de date, reprezentat de principalele structuri de date, în părți care pot fi manipulate independent. Apoi se partiționează operațiile, de regulă prin asocierea calculelor cu datele asupra cărora se efectuează. Astfel, se obține un număr de componente de calcul, definite de un număr de date și de operații. Este posibil ca o operație să solicite date de la mai multe componente de calcul. În acest caz sunt necesare comunicații.

Datele care se partiționează sunt în general datele de intrare, dar pot fi considerate de asemenea și datele de ieșire sau intermediare. Sunt posibile diferite variante, în funcție de structurile de date avute în vedere. Trebuie considerate în special structurile de date de dimensiuni mari sau cele care sunt accesate în mod frecvent. De asemenea, faze diferite ale calculului pot impune partiționări diferite ale aceleiași structuri de date, caz în care sunt necesare redistribuirii ale datelor. În acest caz trebuie avute în vedere și costurile necesare redistribuirii datelor.

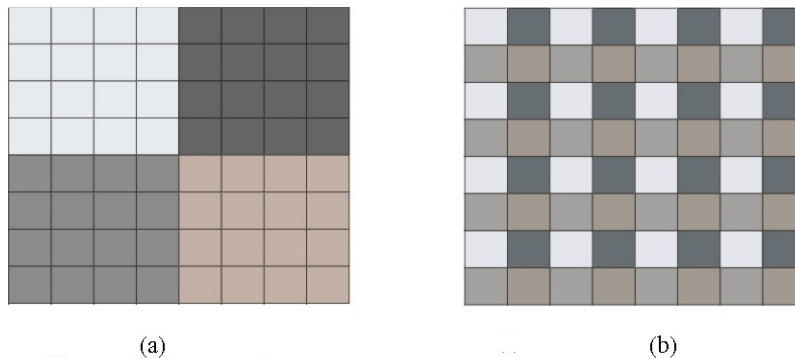


Figura 2.2: Tehnicile de partiționare a datelor prin – (a) “tăiere” (distribuție bloc) și prin – (b) “încrucișare” (distribuție grid). Matricea de dimensiune 8×8 se partiționează în 4 submatrice - fiecare submatrice este evidențiată cu o culoare specifică.

Partiționarea datelor conduce la anumite distribuții ale datelor per componente de calcul și de aici implicit și per procesoare. Există mai multe tehnici de partiționare a datelor, care pot fi exprimate și formal prin funcții definite pe mulțimea indicilor datelor

de intrare cu valori în mulțimea indicilor de procese (vezi Secțiunea 6.2). Cele mai folosite tehnici de partiționare sunt prin “tăiere” și prin “încrêțire”, care corespund distribuțiilor liniară și ciclică, definite în secțiunea amintită anterior. De exemplu, pentru o matrice A de dimensiune 8×8 , partiționarea sa în $p = 4$ părți prin tehnica tăierii conduce la partiționarea arătată de Figura 2.2 (a), iar prin tehnica încrêțirii conduce la partiționarea arătată de Figura 2.2 (b).

Tehnica este folosită în special în cazul în care datele sunt vectori sau matrici, așa cum se întâmplă în cazul algebrei liniare, de exemplu.

Descompunerea domeniului de date este tehnica de partiționare cea mai des folosită și poate conduce la aplicații paralele cu granulație foarte fină (număr mare de componente de calcul).

Descompunerea funcțională

Descopunerea funcțională este o tehnică de partiționare folosită atunci când aspectul dominant al problemei este funcția, sau algoritmul, mai degrabă decât operațiile asupra datelor. Obiectivul este descompunerea calculului în componente de calcul cât mai fine. După crearea acestora se examinează cerințele asupra datelor.

Focalizarea asupra calculului poate releva uneori o anumită structură a problemei, de unde oportunități de optimizare, care nu sunt evidente numai din studiul datelor. În plus, ea are un rol important ca și tehnică de structurare a programelor.

Această variantă de descompunere nu conduce în general la o granulație fină a componentelor de calcul, care se execută în paralel.

Proprietăți

Putem considera câteva cerințe care caracterizează o partiționare bună, care poate deci conduce la realizarea unui program paralel eficient:

- Componentele de calcul obținute sunt de dimensiuni comparabile, deci se poate obține o încărcare de calcul echilibrată pe fiecare procesor.
- Scalabilitatea poate fi obținută. Aceasta înseamnă că numărul de componente de calcul sunt definite în funcție de dimensiunea problemei; deci creșterea dimensiunii datelor implică creșterea numărului de componente de calcul.
- Întârzierile datorate rețelei de comunicații pot fi reduse prin multiprogramare.
- Granularitatea aplicației este suficient de mare astfel încât aplicația să poată fi implementată cu succes pe diferite arhitecturi.

2.1.2 Analiza comunicației

Componentele de calcul rezultate în urma partiționării nu pot fi executate în general independent; ele necesită anumite comunicații. Specificarea și analiza acestor operații se face în această fază. Comunicația este strâns legată de partiționare, mai exact modul de partiționare implică structura comunicației.

Dacă considerăm componentele obținute la faza de partiționare ca fiind nodurile unui graf, o comunicație între două componente poate fi reprezentată ca fiind o muchie în acel graf. Numărul de comunicații între două componente poate fi reflectat în acest graf ca fiind costul muchiei dintre cele două.

În general, pentru problemele care se bazează pe paralelismul de date, cerințele de comunicație sunt mai dificil de evaluat. În acest caz, organizarea comunicației într-un mod eficient este mai dificilă.

În cazul descompunerii funcționale, cerințele de comunicație se stabilesc mai ușor. Interfețele dintre funcții sunt mai bine precizate, deci și fluxul de date între funcții se determină într-o manieră directă.

Există diferite tipuri de comunicații: locale și globale, structurate și nestructurate, statice și dinamice, sincrone și asincrone.

Comunicațiile sunt *locale* dacă fiecare proces comunică cu un număr mic de alte procese, numite *vecini*, și avem comunicații *globale* dacă toate procesele sunt implicate în operația de comunicație.

Într-o comunicație structurată, un proces și vecinii săi formează o structură regulată, spre deosebire de cazul comunicațiilor nestructurate când nu se poate stabili o structură între vecini.

O comunicație statică implică faptul că vecinii unui proces nu se modifică în timp, iar în cazul unei comunicații dinamice, vecinii unui proces se cunosc doar la execuție și se pot modifica în timpul execuției.

În cazul *comunicației asincrone*, procesul care comunică informație continuă execuția după ce aceasta a fost transmisă la destinație, în timp ce procesul care recepționează mesajul poate suferi o întârziere datorată așteptării.

Comunicația sincronă cere ca atât procesul care trimite, cât și cel care recepționează mesajul să fie disponibile până în momentul când transmisia s-a terminat, ambele procese putând apoi să-și continue lucrul. În felul acesta, nu este necesară stocarea mesajelor (lucru care poate fi necesar în cazul transmiterii asincrone).

2.1.3 Aglomerarea

Algoritmul, rezultat în urma celor două etape precedente, este abstract, în sensul că nu este specializat pentru o execuție eficientă pe un anumit sistem paralel.

Prin cea de-a treia etapă – aglomerarea – se trece de la abstract la concret prin luarea unor decizii care să conducă la un algoritm eficient pe un sistem dat. Operația presupune combinarea componentelor determinate în faza de partiționare cu scopul de reducere a numărului de comunicații și de asemenea de obținere a unei granularități optime. Deciziile de combinare vor fi luate în funcție de rețeaua de comunicație a sistemului ales și de granularitatea sistemului, astfel încât să se ajungă la o implementare eficientă. Se analizează, de asemenea, dacă este cazul, replicarea anumitor calcule cu scopul reducerii comunicațiilor.

Trebuie însă să se urmărească păstrarea echilibrului de calcul și între componentele nou rezultate în urma acestei faze și de asemenea păstrarea scalabilității aplicației.

Aglomerarea nu presupune obligatoriu obținerea unui număr de componente egal cu numărul de procesoare. Este indicat, de altfel, ca mai multe componente să fie asignate pe același procesor, pentru a ascunde întârzierile datorate comunicațiilor. Dacă un proces este blocat din diferite motive (așteaptă o informație, sau ajungerea la o anumită stare), procesorul poate să execute un alt proces, micșorându-se astfel timpii morți ai procesoarelor. Totuși, există cazuri în care este indicată obținerea unui număr egal de componente cu numărul de procesoare; de exemplu dacă mediul de dezvoltare necesită o aplicație SPMD.

Costurile de comunicație pot influența în mod critic performanța unui program paralel. Datorită acestui fapt se poate îmbunătăți performanța prin reducerea timpului necesar comunicației. Această reducere poate fi obținută în mod evident prin reducerea volumului de date ce trebuie transmis, dar și prin transmiterea unui număr mai mic de mesaje, chiar pentru același volum de date. Aceasta datorită faptului că orice comunicație presupune un cost proporțional cu cantitatea de date transmise, dar și un cost fix de start. Pe lângă costurile de comunicație trebuie luate în calcul și costurile necesare creării componentelor de calcul.

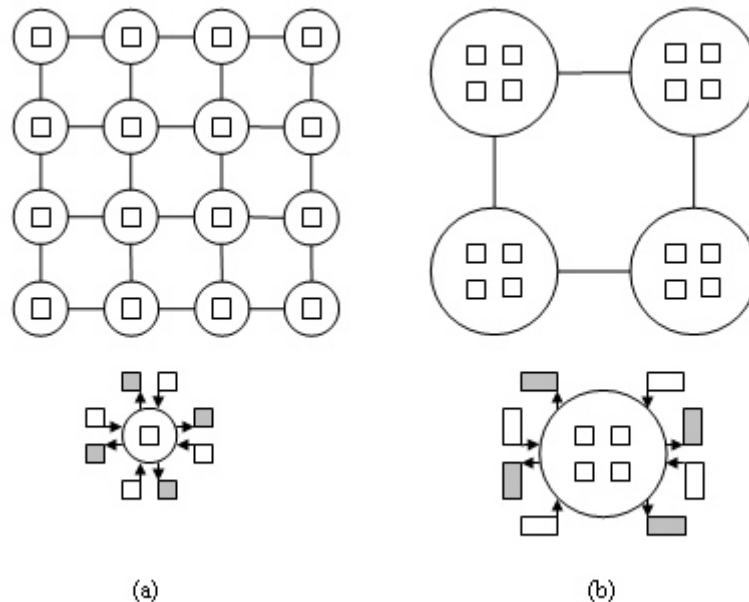


Figura 2.3: Efectul suprafață-volum. (a) Grila de componente înainte de aglomerare. (b) Grila de componente după aglomerare.

Dacă numărul de parteneri de comunicație ai unei componente de calcul este mic, se poate reduce numărul de operații de comunicație prin creșterea granularității partiționării, prin combinarea/aglomerarea mai multor componente de calcul într-una singură. Acest efect poartă numele de efect *suprafață-volum*. Necesarul de comunicații al unei componente de calcul este proporțional cu suprafața subdomeniului în care operează, iar

cantitatea calculelor este proporțională cu volumul subdomeniului. Pentru o problemă bidimensională, “suprafața” variază proporțional cu dimensiunea problemei, în timp ce “volumul” variază proporțional cu pătratul dimensiunii problemei. Deci cantitatea de comunicații realizată de o unitate de calcul (raportul *comunicatie/calcul*) descrește pe măsură ce numărul de componente de calcul crește. Efectul “suprafață-volum” este vizibil în special în cazul în care partiționarea s-a făcut pe baza descompunerii domeniului de date.

Ca exemplu, putem lua cazul calculului diferenței finite bidimensionale Jacobi. Considerăm o grilă bidimensională de $n \times n$ puncte. Prin acest calcul valoarea fiecărui punct este actualizată prin următorul calcul:

$$X_{i,j}^{t+1} = \frac{4X_{i,j}^t + X_{i-1,j}^t + X_{i+1,j}^t + X_{i,j-1}^t + X_{i,j+1}^t}{8}$$

În Figura 2.3 este evidențiată o grilă cu $4 \times 4 = 16$ puncte. Înainte de etapa de aglomerare – Figura 2.3(a), avem 16 componente de calcul, fiecare dintre acestea comunicând cu vecinii săi o valoare de intrare și una de ieșire. După aglomerare – Figura 2.3(b), realizată prin gruparea a câte 4 componente, uniform pe cele două dimensiuni, se observă că numărul comunicațiilor fiecărei componente se dublează, în timp ce calculul efectuat de fiecare componentă crește de 4 ori.

O consecință a efectului suprafață-volum este că descompunerile pe mai multe dimensiuni sunt în general mai eficiente, pentru că reduc suprafața (aria de comunicație) corespunzătoare unui volum dat (calcul). Deci, din punct de vedere al eficienței, este bine ca creșterea granularității să se facă prin aglomerarea componentelor pe toate dimensiunile decât prin reducerea numărului de dimensiuni.

Pentru problemele fără o structurare a comunicației este foarte dificilă găsirea unei strategii de aglomerare eficientă. Mărirea granularității nu este în general o problemă simplă mai ales dacă graful de execuție al aplicației este complex. O abordare ar consta în analiza comunicațiilor. Se ordonează descrescător canalele, după cantitatea de date transmise. Apoi, se grupează două câte două componentele care comunică cel mai mult, fără a se ajunge la mai puține componente decât procesoare. Când nu mai există posibilitatea grupării, se compară granulele între ele. Dacă vor fi diferențe prea mari, sistemul va fi dezechilibrat și soluția va trebui abandonată, caz în care se vor investiga alte posibilități de grupare.

Replicarea calculelor poate de asemenea reduce, în anumite cazuri, costurile de comunicație. De exemplu, pentru cazul adunării a n numere folosind n procese se poate cere ca în final fiecare proces să conțină suma finală. O abordare posibilă poate folosi un calcul de tip arbore (Secțiunea 4.2) urmat de o comunicație de tip difuzare (“broadcast”) realizată tot pe baza arborelui de calcul. Pentru a elimina etapa de difuzare se pot replica anumite calcule prin care se ajunge la o rețea de calcul de tip fluture (Secțiunea 1.3.1), prin care timpul de calcul se reduce la jumătate.

Dacă din analiza comunicației sunt depistate componente care nu pot fi executate în paralel, acestea se vor grupa, formând o singură componentă.

Această fază nu mai este legată de proiectarea abstractă a aplicației, ci are în vedere o anumită arhitectură pe care se dorește implementarea.

2.1.4 Maparea

După ce o problemă este partiționată, componentele trebuie să fie asigurate, sau altfel spus *mapate* pe procesoare, pentru execuție.

Un important aspect al acestei activități este menținerea *localității*: plasarea componentelor problemei care schimbă informație, cât mai aproape posibil, pentru a reduce costul comunicațiilor. Va avea loc, o operație de scufundare a grafului de dependență în graful rețelei de interconectare a arhitecturii repective.

Deoarece maparea are în vedere folosirea unei arhitecturi particulare, trebuie să fie cunoscute anumite detalii ale acesteia. Pentru simplificare, presupunem existența a n calculatoare, numărate secvențial începând cu 0 până la $n - 1$. Problema mapării constă din a găsi o funcție s definită pe mulțimea componentelor de calcul, cu valori în mulțimea procesoarelor, semnificația relației $s(S_j) = i$ fiind: componenta S_j se va executa pe procesorul al i -lea.

Problema mapării este cunoscută ca fiind NP-completă, adică nu există un algoritm cu complexitate polinomială, care să asigure plasarea optimă a componentelor pe procesoare.

Mulți algoritmi construiți folosind tehnicile de descompunere a domeniului de date, sunt formați dintr-un număr de componente de calcul de mărime egală între care comunicația locală și globală este structurată. În asemenea cazuri, maparea este directă. Mapăm procesele astfel încât să minimizăm comunicația interprocesor; este posibil de asemenea, să mapăm mai multe componente pe același procesor.

Pentru algoritmi bazați pe descompunere funcțională cu încărcări de calcul diferite pe procese și/sau cu comunicații nestructurate, strategiile de mapare nu sunt atât de directe. Totuși se pot aplica algoritmi de echilibrare a încărcării (“load balancing”) – în special algoritmi euristici – pentru a identifica strategii eficiente. Timpul consumat execuției acestor algoritmi trebuie să ducă la beneficii considerabile ale timpului de execuție global. Metodele probabilistice de echilibrare a încărcării tind să conducă la programe cu timpi de întârziere mai mici decât cei bazați pe structura aplicației.

Cele mai complexe probleme sunt acelea pentru care numărul de componente și cantitatea de calcul și comunicare per componentă se schimbă dinamic în timpul execuției. În cazul problemelor dezvoltate folosind tehnici de descompunere a domeniului de date, se pot folosi strategii dinamice de echilibrare a încărcării (“dynamic load-balancing”), în care un algoritm de echilibrare a încărcării se execută periodic.

În cazul folosirii descompunerii funcționale, poate fi folosit un algoritm de distribuire a componentelor de calcul (“task-scheduling”). O componentă manager centralizat sau distribuit are sarcina de a reține și a distribui componentele. Cel mai complicat aspect al algoritmului de distribuire a proceselor este strategia folosită pentru alocarea componentelor procesoarelor (“workers”). În general strategia reprezintă un compromis între cerințele pentru operațiile independente – de a îmbunătăți încărcarea de calcul și pentru informațiile globale ale stării calculului – de a reduce costurile de comunicație.

Sumar

Paralelizarea aplicațiilor este o problemă complexă; ea poate fi făcută fie prin paralelizarea programelor seriale cu ajutorul unor compilatoare specializate (metodă care s-a dovedit a nu fi foarte eficientă), fie prin considerarea paralelismului încă din faza de proiectare a programului. În acest capitol au fost prezentate principalele etape ale construcției unui program paralel, considerând un model clasic. Acestea sunt: partiționarea, comunicația, aglomerarea și maparea. Partiționarea poate fi funcțională, sau se poate baza pe descompunerea domeniului de date. Abilitatea de a crea un număr variabil de componente de calcul este critică pentru a obține un program portabil și scalabil.

Partea II

Proiectare

Capitolul 3

Paradigme ale calculului paralel

Aplicațiile paralele pot fi clasificate în funcție de anumite paradigme de programare bine definite. Câteva paradigme de programare sunt folosite în mod repetat pentru dezvoltarea multor programe paralele. O paradigmă poate fi descrisă ca o clasă de programe care au aceeași structură de control.

De exemplu, majoritatea aplicațiilor de calcul distribuit se bazează pe foarte populara paradigmă *client/server*. Este considerată pentru a suporta serviciile distribuite, dar nu reflectă un paralelism al acestor tipuri de aplicații. De aceea, această paradigmă nu este considerată o paradigmă de calcul paralel.

Experiența de până acum arată că există un număr relativ restrâns de paradigme care pot descrie majoritatea programele paralele. Alegerea paradigmei este determinată de resursele de calcul paralel disponibile și de tipul de paralelism inerent al problemei. Resursele de calcul pot defini nivelul de granularitate care poate fi suportat de sistem, iar tipul de paralelism reflectă structura aplicației sau a datelor. Așa cum am descris anterior, paralelismul datorat structurii de calcul este numit paralelism funcțional, iar cel datorat structurii datelor paralelism al domeniului de date.

Prezentăm în continuare cinci dintre cele mai cunoscute paradigme ale programării paralele.

3.1 Master/Slave

Această paradigmă care se regăsește și sub numele de “task-farming”, se bazează pe două tipuri de componente: *master* componenta care coordonează calculul și componentele *slave* care se subordonează componentei *master*. Componenta *master* este responsabilă de descompunerea problemei în subprobleme (și distribuția lor către componentele *slave*) cât și de colectarea rezultatelor parțiale necesare pentru a produce rezultatul final. Componentele *slave* se execută pe baza unui ciclu foarte simplu: preiau un mesaj cu o sarcină de calcul, execută sarcina și trimit rezultatul componentei *master* – Figura 3.1. În general, comunicația apare doar între componenta *master* și componentele *slave*.

Se poate folosi o încărcare de lucru statică sau dinamică. În cazul încărcării statice, distribuția componentelor este realizată în totalitate la începutul calculului și aceasta

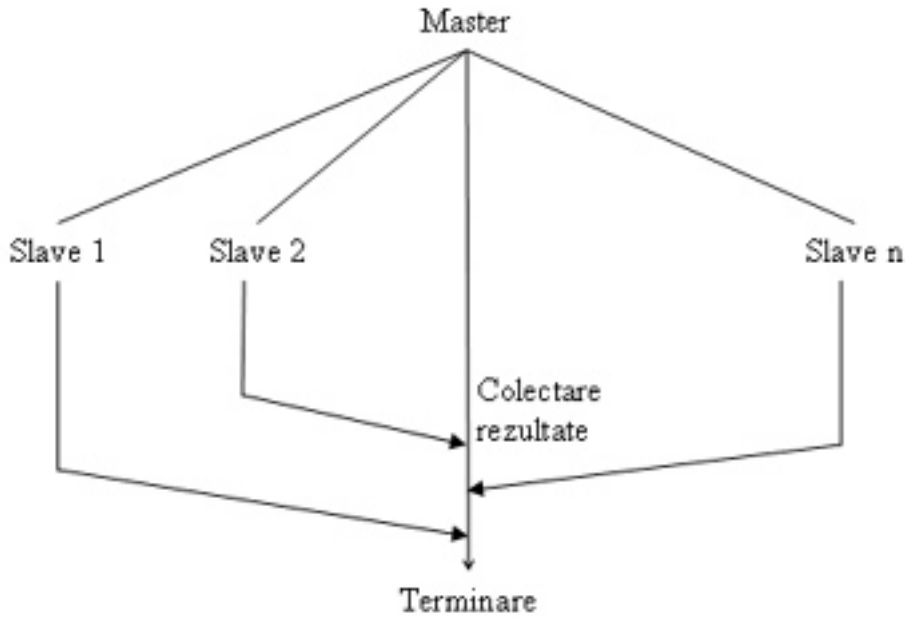


Figura 3.1: Paradigma “Master/Slave”.

permite componentei master să participe la calcul după ce a atribuit fiecărei componente *slave* fracțiunea corepunzătoare de calcul. Alocarea componentelor se poate face o singură dată la început sau în mod ciclic.

Încărcarea de calcul dinamică poate fi folosită cu succes în această paradigmă, mai ales atunci când numărul de componente depășește numărul de procesoare disponibile, sau când numărul de componente nu este cunoscut la începutul aplicației. O trăsătură importantă a încărcării dinamice este abilitatea de a se adapta la condițiile în schimbare ale sistemului, nu doar pentru încărcarea procesoarelor cu componente de calcul dar și la o posibilă reconfigurare a resurselor sistemului. Datorită acestei proprietăți, această paradigmă poate să răspundă în mod eficient la blocarea unor procesoare, lucru care simplifică crearea aplicațiilor robuste, capabile să facă față cu bine pierderii unor procesoare.

În extenso, această paradigmă poate include și aplicații care se bazează pe o descompunere trivială a calculului: algoritmul secvențial este executat simultan pe diferite procesoare pentru diferite date de intrare. În asemenea aplicații nu sunt dependențe între diferitele componente de calcul și deci nu este nevoie de comunicație sau coordonare între ele.

Aplicațiile ce se încadrează în această paradigmă pot avea accelerații de calcul foarte bune și o scalabilitate rezonabilă. Totuși, pentru un număr mare de procesoare controlul centralizat poate conduce la blocarea aplicației. Scalabilitatea poate fi îmbunătățită prin extinderea de la o singură componentă *master* la o mulțime de componente *master*, fiecare dintre ele controlând un grup separat de componente *slave*.

3.2 Work Pool

În această paradigmă componentele de calcul sunt stocate într-un container – așa zisul bazin (“pool”) – așteptând să fie rezolvate (Figura 3.2). Fiecare procesor liber preia o componentă din container și returnează un număr (nul sau nenul) de noi componente de calcul, care trebuie rezolvate și care se stochează la rândul lor în container. Containerul de componente conține în general și câteva date globale accesibile tuturor procesoarelor. Aplicația se termină când nu mai rămâne nici o componentă în container nerezolvată.

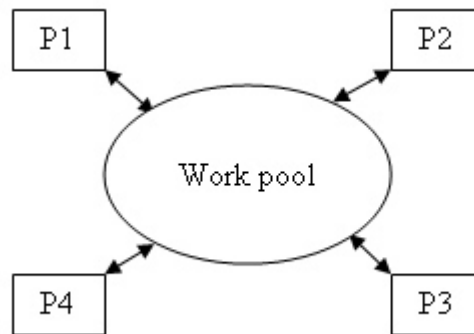


Figura 3.2: Paradigma “Work Pool”.

3.3 Paralelism al datelor

Fiecare componentă execută în mod esențial aceeași secvență de cod, dar pe părți diferite de date. Aceasta presupune împărțirea datelor aplicațiilor și apoi asignarea lor componentelor disponibile. Această paradigmă se mai regăsește și sub numele de paralelism geometric, descompunerea domeniului de date, sau SPMD (“Single Program Multiple Data”).

Multe aplicații fizice se bazează pe o structură geometrică regulată cu interacțiuni limitate spațial. Omogenitatea asigură posibilitatea distribuției uniforme a datelor pe procesoare, fiecare corespunzând unei zone spațiale bine definite. Procesoarele comunică cu procesoarele vecine și încărcarea de comunicație este proporțională cu dimensiunea frontierei elementului, iar încărcarea de calcul este proporțională cu volumul elementului (suprafață-volum). Este posibil de asemenea să se ceară anumite sincronizări periodice între componente. În general, șablonul de comunicație este foarte structurat și previzibil. Datele inițiale pot fi inițial generate de fiecare proces, sau citite într-o fază de inițializare.

Aceste aplicații pot fi foarte eficiente dacă datele sunt bine distribuite și sistemul este omogen. Dacă procesele au încărcări de calcul diferite, sau procesoarele au capacități diferite, atunci este necesară o schemă de echilibrare a încărcării în timpul execuției.

Paradigma este extrem de sensibilă la pierderea unui proces. În general, pierderea unui singur proces este suficientă pentru determinarea unui blocaj în care nici un proces

nu mai poate avansa dincolo de punctul de sincronizare global.

3.4 Pipeline

Paradigma pipeline se bazează pe un paralelism cu granularitate fină, bazat pe descompunere funcțională. Este una dintre cele mai simple și mai populare paradigme ale descompunerii funcționale. Mai este numit și paralelism al fluxului de date.

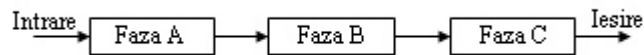


Figura 3.3: Structura pipeline.

Componentele sunt organizate în pipeline - fiecare dintre componente fiind responsabilă pentru o anumită sarcină de lucru. Șablonul de comunicație este foarte simplu: fluxul datelor este liniar între fazele adiacente ale calculului, ieșirea unei faze fiind intrare pentru faza următoare (Figura 3.3). Comunicația poate fi complet asincronă.

Eficiența acestei paradigme depinde direct de echilibrarea etapelor de calcul. Robustetea acestei paradigme în cazul unei reconfigurări a sistemului poate fi obținută prin furnizarea mai multor căi independente între etape.

Mai multe despre proiectarea aplicațiilor de acest tip sunt descrise în Secțiunea 4.8.

3.5 Divide&impera

Abordarea divide&impera este bine cunoscută din dezvoltarea algoritmilor secvențiali. O problemă este împărțită în două sau mai multe subprobleme. Fiecare dintre aceste subprobleme este rezolvată independent și rezultatele lor sunt combinate pentru a se obține rezultatul final. În general, subproblemele sunt doar instanțe de dimensiuni mai mici ale problemei inițiale, ajungându-se la o soluție recursivă. Subproblemele pot fi rezolvate în paralel, ele nefiind interdependente; nu este necesară nici o comunicație între componentele care lucrează la subprobleme diferite. Se pot identifica trei operații generice principale: *divide*, *calculează* și *compune*. Calculului *i* se poate asocia o rețea de calcul de tip arbore, componentele care execută operațiile de calcul fiind asociate nodurilor terminale acestui arbore. Nodurile intermediare realizează doar operații de divizare și combinare.

Paradigma “master/slave” poate fi considerată a fi o formă degenerată a paradigmei divide&impera, în care descompunerea problemei este realizată înaintea asignării componentelor de calcul, iar operațiile de divizare și de compunere sunt executate doar de *master*.

Componentele pot fi generate la execuție și adăugate unei cozi de execuție gestionate de un procesor manager sau distribuite mai multor cozi de execuție aflate în sistem.

3.6 Alte clasificări

În literatura de specialitate existentă sunt mai multe clasificări ale programelor paralele pe baza paradigmei. De exemplu, în [84] se prezintă o clasificare a programelor paralele bazată pe patru clase principale:

1. pipeline și aplicații bazate pe structura inel;
2. divide&impera;
3. “master/slave”;
4. aplicații bazate pe paralelismul datelor.

O clasificare teoretică este prezentată în [147], prin care se identifică următoarele paradigme:

1. “task-farming”, care este echivalentă paradigmei “master/slave”;
2. descompunere geometrică, bazată pe paralelizarea structurilor de date;
3. paralelism algoritmic, care rezultă din fluxul datelor.

Următoarea clasificare se bazează pe tehnici de descompunere [174]:

1. Descompunere geometrică: domeniul problemei este împărțit în subdomenii și fiecare componentă execută algoritmul pe câte un subdomeniu.
2. Descompunere iterativă: se bazează pe paralelizarea ciclurilor, pentru cazurile în care nu există dependențe între iterații diferite. În general, această descompunere se implementează folosind o coadă de componente de calcul și astfel poate fi considerată făcând parte din paradigma ”task-farming”.
3. Descompunere recursivă: se bazează pe descompunerea problemei originale în subprobleme pentru care se folosește aceeași abordare. Corespunde în mod evident paradigmei divide&impera.
4. Descompunere speculativă: se încearcă N soluții simultan și se renunță la $N - 1$ dintre ele de îndată ce una a returnat un răspuns plauzibil.
5. Descompunere funcțională: presupune descompunerea aplicației în diferite faze, fiecare fază executând un subalgoritm al problemei date. Poate conduce la paradigma pipeline, dacă fazele se succed secvențial și ieșirile unei faze sunt intrări pentru faza următoare.

În [63], este prezentată o clasificare care se bazează pe structura temporală a problemei:

1. probleme sincrone, care corespund unor calcule regulate pe domenii de date regulate;

2. probleme slab sincrone, care consideră calcule iterative pe domenii de date geometric neregulate;
3. probleme asincrone, care sunt caracterizate de paralelism funcțional;
4. probleme stânjenitor de paralele, care corespund execuției independente a unor componente independente ale aceluiași program.

Problemele sincrone și slab sincrone se bazează amândouă pe tehnici de descompunere ale domeniului de date. În urma unor analize pe un număr mare de aplicații s-a estimat că aceste două clase de probleme domină aplicațiile paralele într-un procent de 74%. Probleme asincrone, care pot fi de exemplu reprezentate de simulările dirijate de evenimente, reprezintă un procent de 10%. Aplicațiile stânjenitor de paralele care corespund modelului “master/slave” se regăsesc într-un procent de 14%.

Sumar

Chiar dacă nu s-a ajuns la un consens, încercarea de clasificare a algoritmilor paraleli în funcție de paradigma folosită este o problemă importantă. Ea poate conduce la simplificarea construcției programelor paralele prin încadrarea lor de la început într-o clasă/paradigmă sau alta. După cum am văzut în acest capitol există mai multe clasificări. Paradigmele: *master-slave*, *work-pool*, *pipeline*, *divide&impera* și *paralelismul datelor* par a fi cele consacrate.

Capitolul 4

Tehnici folosite în construcția algoritmilor paraleli

Există câteva tehnici foarte cunoscute, care sunt folosite pentru dezvoltarea algoritmilor în general. Acestea includ metoda divide&impera, metoda greedy, programare dinamică, backtracking. Aceste metode reprezintă strategii de rezolvare care sunt frecvent folosite în dezvoltarea eficientă a algoritmilor. Scopul identificării acestor tehnici are un dublu rol. Pe de-o parte de a furniza un cadru științific și matematic, care ne poate ajuta în a rezolva probleme diferite prin mijloace similare. Pe de altă parte, aceste tehnici reprezintă pentru programator “unelte” necesare și eficiente pentru rezolvarea problemelor.

Construcția unui program paralel presupune partiționarea calculului și precizarea comunicațiilor necesare, care pot fi extrem de complexe. În general, tehnicile de programare pentru programarea secvențială includ informații despre șabloanele necesare organizării datelor. În cazul calculului paralel tehnicile încapsulează, în general, informații și despre șabloanele de comunicație necesare. Deoarece în cazul unei arhitecturi paralele o problemă importantă o constituie asigurarea unei comunicații eficiente și efective între procesoare, tehnicile au un rol și în specificarea șabloanelor de comunicație cele mai folosite.

În cele ce urmează vom prezenta cele mai cunoscute tehnici de proiectare pentru algoritmi paraleli și acestea vor fi evidențiate prin exemple. Tehnicile pe care le prezentăm au în vedere în special partiționarea și de aceea nu vom evidenția diferențele care apar pentru cazul memoriei distribuite față de cazul memoriei partajate, sau adaptările pentru diferite rețele de interconectare pentru fiecare algoritm în parte. Acestea probleme vor fi analizate la modul general, pe câteva exemple, în ultimele secțiuni ale capitolului.

Limbajul de descriere a algoritmilor este un pseudocod care conține instrucțiunile de bază ale unui limbaj de nivel înalt precum și instrucțiuni pentru descrierea paralelismului.

- Atribuirea se va simboliza prin \leftarrow .

Simbolul \leftrightarrow se va folosi pentru interschimbarea valorilor a două variabile.

- Instrucțiunea alternativă va avea forma:

```
if expresie logica then
    instructiuni
else
    instructiuni
end if
```

unde secțiunea **else** poate lipsi.

- Pentru instrucțiunea de ciclare cu număr determinat de pași vom folosi instrucțiunea:

```
for contor = li, lf, pas do
    instructiuni
end for
```

unde contorul ia valori de la valoarea inițială *li*, la valoarea finală *lf*, la fiecare pas adăugându-se valoarea *pas*. Pasul poate lipsi fiind implicit egal cu 1.

- Instrucțiunea iterativă

```
while expresie logica do
    instructiuni
end while
```

reprezintă ciclul cu număr necunoscut de pași și test inițial.

Pentru descrierea paralelismului vom folosi instrucțiunea de compunere în paralel a două sau mai multe instrucțiuni cu sintaxa:

```
in parallel
    instructiuni
end in parallel
```

unde instrucțiunile sunt separate prin $,$.

Compunerea paralelă a mai multor instrucțiuni se termină atunci când toate aceste instrucțiuni sunt terminate.

Compunerea secvențială a instrucțiunilor se specifică prin simbolul $;$:

```
instructiune-1
;
instructiuni-2
```

semnifică faptul că execuția celei de a doua instrucțiuni începe doar după terminarea primeia.

Instrucțiunea de compunere în paralel poate fi combinată cu instrucțiunea **for**, caz în care se specifică un număr de instrucțiuni care se execută în paralel. De exemplu, instrucțiunea

```
for  $i = 0, p - 1$  in parallel do
     $c_i = a_i + b_i$ 
end for
```

descrie adunarea în paralel a doi vectori a și b cu câte p elemente, rezultatul fiind depus în vectorul c .

Presupunem existența unei mașini paralele virtuale cu memorie partajată și că accesul la variabile se va face direct fără precizarea diferențelor dintre variabilele globale și cele locale. Prin urmare, putem considera că lucrăm în contextul unui model PRAM relaxat. O analiză ulterioară a algoritmilor se poate face pentru diferitele adaptări posibile.

Pentru cazul în care vom dori descrierea unui algoritm bazat pe transmitere de mesaje vom considera că fiecare proces este identificat în mod unic și vom folosi următoarele două instrucțiuni:

- **send**(*date*, *destinatie*) – pentru trimiterea unui mesaj format din *date* către procesul specificat de *destinatie*;
- **recv**(*date*, *sursa*) – pentru recepționarea unui mesaj și stocarea lui în *date* de la procesul specificat de *sursa*.

Vom considera că instrucțiunea *recv* se execută prin blocare, adică procesul care o conține rămâne blocat până când data este primită de la procesul transmițător. Algoritmul va fi parametrizat prin identificatorul de proces și va descrie acțiunea fiecărui proces, încadrându-se în tipul SPMD.

4.1 Tehnica paralelizării directe

Anumite probleme pot fi considerate *direct sau stânjenitor paralelizabile* (“embarrassingly parallel computations”), dacă calculul asociat lor poate fi împărțit direct într-un număr de componente independente, care pot fi executate de câte un procesor. Exemple de asemenea calcule sunt: calculele de tip Monte Carlo folosite pentru selecții aleatoare, mulțimile Mandelbrot folosite pentru fractali, procesarea imaginilor la nivel scăzut.

Exemplul 4.1 (Aproximarea numărului π) Un calcul de tip Monte Carlo se realizează pentru aproximarea numărului π prin următoarea metodă:

Se consideră un cerc de rază egală cu unitatea înscris într-un pătrat. Are loc următoarea egalitate:

$$\frac{\text{Aria cercului}}{\text{Aria pătratului}} = \frac{\pi(1)^2}{2 \cdot 2} = \frac{\pi}{4}$$

Se alege în mod aleator puncte în interiorul pătratului (un număr suficient de mare) și se aproximează numărul $\frac{\pi}{4}$ cu raportul dintre numărul de puncte care sunt în interiorul

ALGORITM NUMAR-PI < n, p, pi >

```

nrint ← 0;
for i = 0, p - 1 in parallel do
  for j = 0, n - 1 do
    x ← RANDOM(-1, 1);
    y ← RANDOM(-1, 1);
    if (x2 + y2 ≤ 1) then
      nint ← nint + 1;
    end if
  end for
end for
pi ← 4 * nrint / (n * p)

```

cercului și numărul total de puncte. Algoritmul paralel va permite fiecărui procesor să aleagă aleator n puncte și să verifice dacă sunt în interiorul cercului sau nu.

S-a folosit o funcție $\text{RANDOM}(a, b)$ care returnează un număr aleator în intervalul $[a, b]$. Alegerea aleatoare a numerelor și verificarea lor se paralelizează direct, fără probleme. Complexitatea acestui algoritm este $O(n)$, unde n este numărul de puncte generate aleator de fiecare componentă. Varianta secvențială a acestui calcul are complexitatea $O(np)$ și prin urmare acest algoritm este un algoritm foarte eficient: $E_p(n) \approx 1$.

În această variantă, fiecare componentă de calcul citește și actualizează variabila globală $nrint$ – numărul total de puncte din interiorul cercului. Prin urmare, la un moment dat o componentă poate dori să scrie (actualizeze) variabila $nrint$ în timp ce alta cere citirea ei. Trebuie, deci, impuse reguli care să asigure consistența. Pentru a elimina aceste probleme se poate considera o variantă în care fiecare componentă calculează un număr local de puncte și apoi acestea se însumează printr-un algoritm paralel de calculare a sumei. În acest caz nu mai avem doar paralelizare directă, datorită interacțiunii dintre componentele de calcul, necesare calculării sumei.

Acest tip de calcul poate fi folosit și pentru aproximarea integralei unei funcții date $f(x)$ pe un interval (a, b) , atunci când integrala nu poate fi calculată numeric. Se folosește formula:

$$Aria = \int_a^b f(x)dx = \lim_{n \rightarrow \infty} S_n = \lim_{n \rightarrow \infty} \frac{1}{n} \sum_{i=1}^n f(x_i)(b-a)$$

Punctele x_i se aleg aleator în intervalul (a, b) și se calculează suma S_n .

Exemplul 4.2 (Rezolvarea unui sistem liniar prin metoda iterativă Jacobi)

Metoda Jacobi de rezolvare a unui sistem liniar $A \times X = B$ cu n ecuații și n necunoscute presupune aplicarea iterativă a unui pas de aproximare Jacobi, pornind de la o

 ALGORITHM JACOBI $\langle n, t, A[0..n-1][0..n-1], B[0..n-1], X[0..n-1] \rangle$

```

for  $k = 0, t - 1$  do
  for  $i = 0, n - 1$  in parallel do
     $suma[i] \leftarrow 0;$ 
    for  $j \leftarrow 0, n - 1$  do
      if  $(i \neq j)$  then
         $suma[i] \leftarrow suma[i] + A[i][j] * X[j];$ 
      end if
    end for
     $suma[i] \leftarrow (B[i] - suma[i]) / A[i][i];$ 
  end for
  for  $i = 0, n - 1$  in parallel do
     $X[i] \leftarrow suma[i];$ 
  end for
end for

```

aproximare inițială $X^0 = (x_0^0, x_1^0, \dots, x_{n-1}^0)$. Formula de calcul a unei noi aproximări este

$$x_i^k = \left(b_i - \left(\sum_{j: 0 \leq j < n \wedge j \neq i} a_{i,j} * x_j^{k-1} \right) \right) / a_{i,i}$$

Se obțin astfel aproximări succesive ale soluției: $X^0, X^1, \dots, X^k, \dots$. Procesul de calcul este convergent dacă după un număr de k iterații, vectorul $(B - AX^k)$ devine acceptabil de mic. Terminarea calculelor se face prin compararea a două valori succesive ale vectorului X . Este posibil ca procesul de calcul să nu se termine sau să avanseze lent, caz în care se poate stabili un număr maxim de iterații; algoritmul prezentat folosește această variantă.

Paralelizarea se poate face simplu datorită faptului că fiecare variabilă X_i poate fi calculată independent, în funcție de aproximarea precedentă. Dacă dorim aplicarea pasului de aproximare Jacobi de t ori se obține algoritmul paralel ALGORITHM JACOBI descris. Este de remarcat faptul că toate cele n componente care lucrează în paralel trebuie să citească cele n valori ale vectorului X ; deci este necesară, pentru o execuție eficientă, posibilitatea citirii concurente din memoria comună. Complexitatea acestui algoritm este $O(tn)$ și din nou eficiența este maximă. În general, algoritmi care permit o astfel de paralelizare directă sunt foarte eficienți, nefiind nevoie de nici o interacțiune între componentele concurente de calcul.

Nu întotdeauna algoritmi sunt atât de ușor de paralelizat și în general anumite tehnici pot fi utilizate pentru partiționare. În continuare vom prezenta câteva din cele mai folosite asemenea tehnici.

4.2 Tehnica arbore binar

Problemele pentru care se poate folosi această metodă aplică în general o singură operație unui număr mare de date, iar tehnica constă în împărțirea iterativă a domeniului de date asupra căreia se aplică operația, în părți egale.

Dacă un asemenea calcul este realizat secvențial, timpul de execuție este aproximativ proporțional cu numărul de noduri ale arborelui binar, care reprezintă rețeaua de calcul. Dacă este făcută în paralel, calcularea diferitelor ramuri ale arborelui este independentă. Prin urmare, timpul de execuție paralelă este aproximativ proporțional cu distanța de la rădăcină la frunze, în arborele rețelei de calcul.

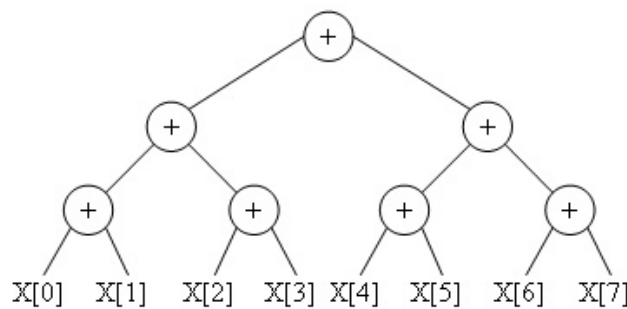


Figura 4.1: Rețea de calcul de tip arbore binar cu adâncimea 3, pentru adunarea a 8 numere.

Exemplul clasic pentru această tehnică este suma a n numere, iar rețeaua de calcul echivalentă pentru $n = 8$ este cea din Figura 4.1.

Operația de adunare poate fi înlocuită cu orice operație asociativă (min, max, produs, etc.), iar numerele pot fi înlocuite cu orice tipuri de date.

Exemplul 4.3 (Suma a n numere) Considerăm un șir de numere $A[0], A[1], \dots, A[n-1]$, cu $n = 2^k$. Algoritmul SUMA-1 calculează suma celor n numere și o depune în locația $A[0]$.

ALGORITHM SUMA-1 $\langle n = 2^k, A[0..n-1] \rangle$

```

for  $t = 1, \log_2 n$  do
  for  $i = 0, n - 1$  in parallel do
    if  $(i \% 2^t = 0 \wedge i + 2^{t-1} < n)$  then
       $A[i] \leftarrow A[i] + A[i + 2^{t-1}]$ 
    end if
  end for
end for

```

ALGORITHM SUMA-2 < $n = 2^k, A[0..n - 1]$ >

```

for  $t = 1, \log_2 n$  do
  for  $i = 0, n - 1$  in parallel do
    if  $(i < n/2^t)$  then
       $A[i] \leftarrow A[2i] + A[2i + 1]$ 
    end if
  end for
end for

```

Un algoritm echivalent este și algoritmul SUMA-2.

Ce două variante diferă prin locația în care se depune rezultatul unei sume. În prima variantă, suma se depune în prima din cele două variabile însumate; astfel după prima iterație sumele parțiale sunt depuse în locațiile pare, după a doua iterație în locațiile divizibile cu 4, etc. În cea de-a doua variantă, sumele se depun în primele locații ale vectorului A : prima jumătate după prima iterație, primul sfert după cea de-a doua, etc.

Complexitatea-timp a acestui algoritm este egală cu $O(\log_2 n)$, iar $\log_2 n$ reprezintă numărul de pași paraleli efectuați.

Dacă considerăm un program PRAM și includem în calculul complexității și numărul de citiri și scrieri atunci avem $n/2 + n/2^2 + \dots + 1 = n - 1$ citiri și scrieri în memoria globală. Nu există citiri și scrieri concurente și prin urmare citirile, respectiv scrierile executate la un superpas pot fi executate simultan. Prin urmare, complexitatea-timp poate fi evaluată ca fiind egală cu $\log_2 n * (T(+) + T(read) + T(write))$.

Exemplul 4.4 (Evaluarea relațiilor de recurență) Tehnica se poate aplica și pentru probleme pentru care rețeaua de calcul arbore binar nu este chiar atât de evidentă. Considerăm relația de recurență liniară cu doi termeni, de forma:

$$x_i = a_i x_{i-1} + b_i x_{i-2}, (i = 2, \dots, n),$$

care trebuie rezolvată pentru a determina x_2, \dots, x_n , atunci când se cunosc x_0 și x_1 , a_i și b_i . Folosim notațiile:

$$Y_1 = \begin{bmatrix} x_1 \\ x_0 \end{bmatrix}, Y_i = \begin{bmatrix} x_i \\ x_{i-1} \end{bmatrix}, (i = 2, \dots, n).$$

și prin reformularea ecuației în scriere matrice-vector obținem:

$$Y_i = M_i Y_{i-1}, M_i = \begin{bmatrix} a_i & b_i \\ 0 & 0 \end{bmatrix}, (i = 2, \dots, n);$$

$$\begin{bmatrix} x_n \\ x_{n-1} \end{bmatrix} = Y_n = M_n M_{n-1} \dots M_2 \begin{bmatrix} x_1 \\ x_0 \end{bmatrix}$$

Prin urmare este suficient să se calculeze produsul a $n - 1$ matrice 2×2 care poate fi efectuat printr-un calcul de tip arbore binar, cu o complexitate $O(\log_2 n)$.

“Compute-Aggregate-Broadcast” O tehnică de combinație este așa numita *calculează-combină-difuzează* (“compute-aggregate-broadcast”) [126], care este aplicabilă programelor paralele pe arhitecturi cu memorie distribuită.

Un algoritm paralel construit pe baza acestei tehnici constă din trei faze de bază: o fază în care se realizează calcule cu datele locale, o fază în care se combină rezultatele parțiale obținute la prima fază și o fază de difuzare, care transmite rezultatul final fiecărui element de procesare. Faza de calcul variază de la o problemă la alta. Poate fi compusă doar din calcule ale unor operații primitive, sau poate fi de complexitatea unui aplicații complete. Faza de agregare sau combinare este în general un calcul de arbore binar și rezultatul final este obținut într-un singur nod – nodul rădăcină. În final, ultima fază transmite rezultatul fazei de combinare, tuturor celorlalte elemente de procesare printr-o comunicație de tip difuzare (“broadcast”). Un exemplu pentru aceasta tehnică este algoritmul prezentat în Exemplul 4.25 de adunare a n numere folosind p procese $p < n$, unde șirul inițial se împarte în n/p subșiruri pentru care se calculează sume locale în paralel și apoi acestea sunt însumate printr-un calcul de tip arbore binar. În final, suma totală poate fi transmisă tuturor elementelor de procesare.

4.3 Tehnica dublării recursive

Aceasta tehnică impune ca la fiecare pas, fiecare componentă de calcul să își dubleze numărul de elemente pentru care a realizat calculul cerut. Astfel, “progresul” este obținut prin dublarea numărului de elemente la fiecare pas.

Tehnica arborelui binar poate fi încadrată în această categorie, căci după cum s-a văzut în exemplul calculării sumei, la fiecare nivel numărul elementelor care au fost însumate se dublează. Există însă și alte situații în care această tehnică poate fi folosită, când structura arborescentă nu este așa de evidentă. Vom prezenta în continuare câteva astfel de exemple, care ilustrează acest lucru.

Exemplul 4.5 (Rang-în-listă) Se dă o listă înlănțuită cu n elemente. Se cere să se calculeze pentru fiecare element rangul lui în listă. Rangul unui element în lista se definește ca fiind numărul de elemente de la el la sfârșitul listei. Astfel, primul element din listă are rangul n , cel de-al doilea are rangul $n - 1$, iar ultimul are rangul 1. Pentru a rezolva această problemă, considerăm că fiecare element este atribuit unui procesor. La început fiecare procesor p_i cunoaște doar elementul imediat următor elementului său, notat cu $urmator[i]$ (cu excepția ultimului procesor pentru care $urmator(n - 1) = -1$). La fiecare pas procesorul p_i își actualizează $urmator[i]$ cu valoarea $urmator[urmator[i]]$. Dacă la pasul k fiecare procesor cunoaște elementul aflat la distanța x , la următorul pas va cunoaște elementul aflat la distanța $2x$. Astfel, se garantează că după cel mult $\lceil \log_2 n \rceil$ pași fiecare procesor va atinge sfârșitul listei și astfel va cunoaște rangul elementului său.

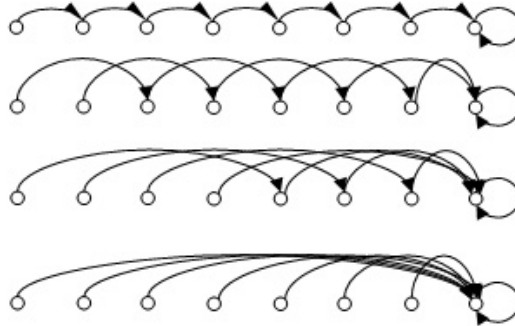


Figura 4.2: Tehnica “pointer-jumping”

ALGORITHM RANG-IN-LISTA $\langle n, \text{urmator}[0..n-1], \text{rang}[0..n-1] \rangle$
for $i = 0, n-1$ **in parallel do**
 $\text{rang}[i] \leftarrow 1;$
 while ($\text{urmator}[i] \neq -1$) **do**
 $\text{rang}[i] \leftarrow \text{rang}[i] + \text{rang}[\text{urmator}[i]];$
 $\text{urmator}[i] \leftarrow \text{urmator}[\text{urmator}[i]];$
 end while
end for

Acest exemplu folosește o tehnică care se regăsește în literatura sub numele de “**pointer jumping**” (saltul de pointer) – Figura 4.2. Poate fi aplicată pentru diferite probleme, mai ales din teoria grafurilor.

Exemplul 4.6 (Lungimea unui drum în arbore) Considerăm un arbore cu n noduri și dorim să găsim distanța de la rădăcină la fiecare nod, dacă se cunoaște pentru fiecare nod i nodul său părinte: $parinte[i]$. Rădăcina are părintele egal cu -1 . Algoritmul folosește aceeași tehnică folosită și de algoritmul pentru aflarea rangului unui element în listă.

```

ALGORITHM LUNGIME-DRUM <  $n, parinte[0..n-1], distanta[0..n-1]$  >
  for  $i = 0, n - 1$  in parallel do
     $distanta[i] \leftarrow 1$ ;
    while ( $parinte[i] \neq -1$ ) do
       $distanta[i] \leftarrow distanta[i] + distanta[parinte[i]]$ ;
       $parinte[i] \leftarrow parinte[parinte[i]]$ ;
    end while
  end for

```

Exemplul 4.7 (Arbore de acoperire de înălțime minimă) În cazul grafurilor, poate fi folosită așa numita tehnică de dublare a arborelui de acoperire. Fie graful orientat $G = (X, E)$ cu n noduri. Se începe prin a considera toți arborii a căror rădăcină este un nod al grafului inițial și au înălțimea 1. Adică pentru fiecare nod x al grafului, arborele cu rădăcina x conține toate nodurile y pentru care (x, y) este arc în graful G . Apoi, pentru fiecare arbore de acest fel se realizează următoarea operație: nodurile frunză se înlocuiesc cu arborii corespunzători acelor noduri (care au rădăcina un nod frunză) și după aceasta se elimină nodurile duplicate, dacă acestea există. Dacă această operație se repetă, după cel mult $\lceil \log_2 n \rceil$ pași se ajunge la soluție: arbore de acoperire minim.

În Figura 4.3 se ilustrează această tehnică pentru graful cu 6 noduri prezentat în Figura 4.3 (a). Se începe cu arborii care au rădăcini nodurile din G și au înălțimea 1 – Figura 4.3 (b). După primul pas se obțin arbori cu înălțime cel mult 2; se elimină duplicatele (notate cu X pentru fiecare arbore rezultat) – Figura 4.3 (c). Se verifică apoi dacă nu s-a ajuns la un arbore de acoperire (toate nodurile sunt conținute). Pentru exemplul considerat, primul arbore reprezintă un arbore de acoperire cu rădăcina primul nod al grafului.

Operația efectuată la un pas, se poate executa în paralel pentru fiecare arbore, iar adâncimea arborilor obținuți de dublează la fiecare pas. Pentru reprezentarea arborilor se pot folosi liste de adiacență. La fiecare pas, lista de adiacență a fiecărui arbore se modifică prin combinarea ei cu listele de adiacență ale arborilor ale căror rădăcini sunt frunze în lista respectivă.

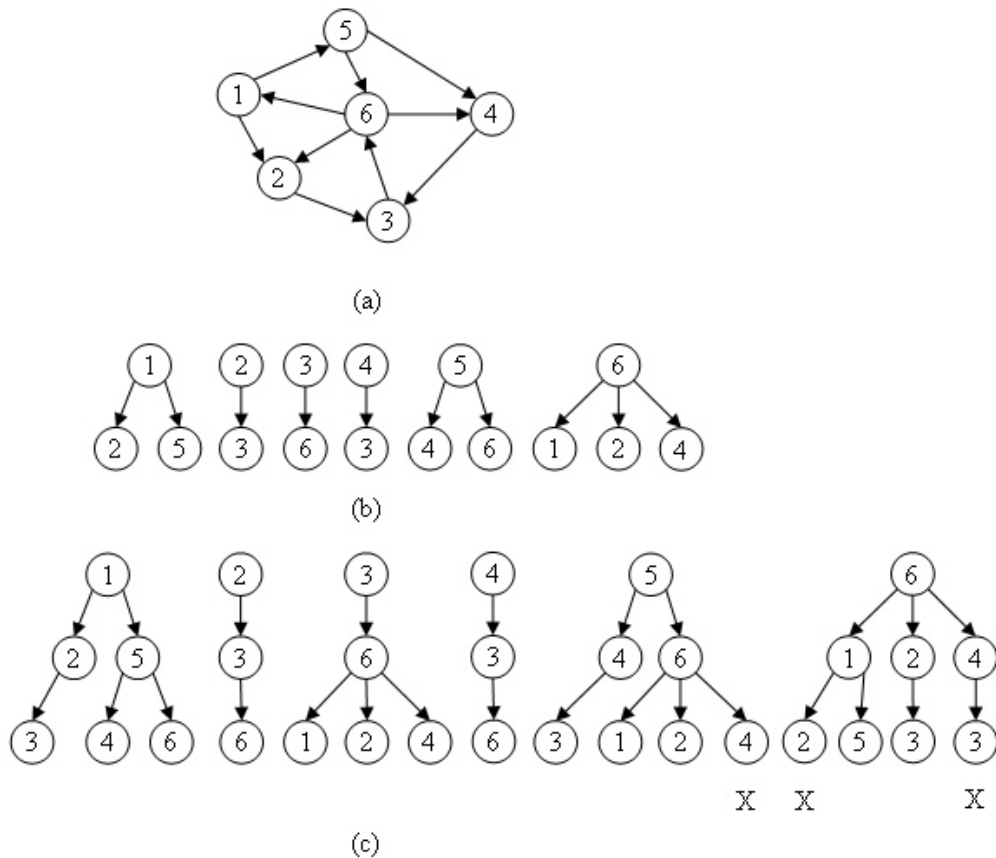


Figura 4.3: Construirea arborelui de acoperire minim. (a) Graful orientat pentru care se construiește arborele de acoperire minim; (b) primul pas – arborii de înălțime 1 inițiali; (c) pasul doi – arborii de înălțime cel mult 2, dintre care primul este un arbore de acoperire (cu X sunt notate nodurile care se repetă și trebuie eliminate).

Această tehnică poate fi folosită și pentru alte probleme din teoria grafurilor, cum este determinarea celui mai scurt drum între oricare două noduri.

4.4 Contractia arborescentă

O tehnică aplicabilă pentru efectuarea în paralel a anumitor operații pe arbori, pentru care fiecare nod interior are cel puțin doi fii, este contractia arborescentă [120]. În general, se au în vedere arbori cu rădăcină, pentru care se calculează o valoare asociată cu nodurile arborelui. Aceste valori trebuie să aibă proprietatea că valoarea în nodul v depinde de întregul subarbore al cărei rădăcină este v . În general, prin contractia paralelă arborescentă se calculează aceste cantități pentru rădăcina arborelui. Exemple de asemenea valori sunt:

- numărul de fii ai lui v ;

- distanța de la v la cea mai apropiată, sau la cea mai depărtată frunză.

Metoda generală a contracției arborescente paralele constă în aplicarea repetată a următoarei operații de simplificare: *Se selectează toate nodurile arborilor ale căror fi direcți sunt frunze. Se execută în paralel calculul pentru nodurile selectate și apoi se șterg nodurile frunză.*

Cerința ca fiecare nod interior să aibă cel puțin doi fii asigură faptul că cel puțin jumătate din numărul total de noduri sunt noduri frunză, la orice pas. Aceasta înseamnă că la fiecare pas cel puțin jumătate din nodurile arborelui se șterg și prin urmare, cel mult $O(\log_2 n)$ operații de simplificare sunt necesare pentru a reduce întregul arbore la rădăcină.

Exemplul 4.8 (Distanța la cea mai apropiată frunză) Fie graful T cu n noduri, în care fiecare nod are cel puțin doi și nu mai mulți de c fii. Algoritmul DISTANTA-FRUNZA calculează distanța de la rădăcină la cel mai apropiat nod-frunză.

ALGORITHM DISTANTA-FRUNZA < graful T , $distanța[v : v \text{ nod in } T]$ >

```

for < toate nodurile  $v$  > in parallel do
   $distanța[v] \leftarrow 0$ ;
end for
while (< rădăcina are fi >) do
  < se marchează toate nodurile frunză >;
  < se marchează toate nodurile ale căror fi sunt noduri-frunză >;
  for < toate nodurile  $v$  ale căror fi  $z_1, z_2, \dots, z_c$  sunt frunze > in parallel do
     $distanța[v] \leftarrow 1 + \min(distanța[z_1], \dots, distanța[z_c])$ ;
  end for
  < se șterg toate nodurile frunză >;
end while

```

Pentru arbori cu proprietatea că fiecare nod intern are exact doi fii, s-a dezvoltat o varianta mai concretă a contracției arborescentă bazată pe o operație numită “**rake (shunt)**” [101, 2].

Presupunem că avem un arbore binar T cu rădăcina r , părintele fiecărui nod v , $v \neq r$, fiind notat cu $p(v)$. Toate nodurile interne ale arborelui T au exact doi fii. Operația de bază *rake* se definește astfel:

Dacă u este frunză cu $p(u) \neq r$, atunci se elimină din T nodurile u și $p(u)$ și se conectează fratele lui u la $p(p(u))$.

Operația se va aplica repetat până când se ajunge la un arbore cu trei noduri. Operațiile *rake* care nu folosesc noduri comune pot fi executate în paralel.

În algoritmul CONTRACTIE-ARBORESCENTA, părinții nodurilor afectați de operațiile *rake* nu sunt adiacenți și la fiecare iterație numărul frunzelor scade la jumătate. Deci, după $\lceil \log_2 n + 1 \rceil$ operații, toate frunzele cu excepția primei și ultimei, dispar.

ALGORITHM CONTRACTIE-ARBORESCENTA < T, p, b >

< se etichetează toate frunzele în ordine de la stânga la dreapta,
 excluzând frunza cea mai din stânga și cea mai din dreapta;
 se memorează aceste etichete în tabloul A de dimensiune n >
for $i = 1, \lceil \log_2 n + 1 \rceil$ **do**
 < aplică operația rake în paralel elementelor A_{odd} (cu indice impar)
 care sunt descendenți stângi >;
 < aplică operația rake în paralel elementelor rămase în A_{odd} >;
 $A \leftarrow A_{even}$ { A_{even} conține elementele cu indice par }
end for

Exemplul 4.9 (Evaluarea expresiilor aritmetice)

Algoritmii secvențiali uzuali pentru evaluarea expresiilor aritmetice asociază (implicit sau explicit) unei expresii aritmetice un arbore binar de evaluare.

Considerăm că avem asociat pentru expresia E un arbore binar T_E cu rădăcina r , astfel încât fiecare nod intern v reprezintă o operație binară $\odot \in \{+, -, *, /\}$, iar fiecărei frunze u îi este asociată o constantă (sau un operator unar) $val(u)$. Dacă pentru fiecare nod v notăm cu T_v subarboarele cu rădăcina v , atunci algoritmul secvențial de evaluare a expresiei E se bazează pe următoarele relații:

1. $val(E) = val(T_E)$,
2. $val(T_E) = val(T_u) \odot val(T_v)$, unde u și v sunt descendenții rădăcinii,
3. $val(T_u) = val(u), \forall u$ frunză.

Pentru algoritmul paralel, considerăm mai întâi cazul simplificat în care $\odot \in \{+, *\}$.

Ideea algoritmului paralel de evaluare este următoarea: se asociază fiecărui nod v , diferit de rădăcină o etichetă (a_v, b_v) cu semnificația $val(T_v) = a_v * val(v) + b_v$, adică operandul pe care îl va trimite acest nod părintelui său $p(v)$ se va obține prin calcul în funcție de etichetă. Valoarea $val(v)$ se cunoaște doar pentru frunze. Operația *rake* va modifica etichetele în mod corespunzător, astfel încât în final să se ajungă la valoarea expresiei.

Din faptul că pentru frunze $val(T_v) = val(v)$, rezultă că putem considera inițial etichetele egale cu $(1, 0)$.

Pentru a determina modificările necesare ale etichetelor pentru operația *rake*, considerăm un nod intern w cu descendenții u și v și cu operația asociată \odot :

$$val(T_w) = a_w * val(w) + b_w = a_w [(a_u * val(u) + b_u) \odot (a_v * val(v) + b_v)] + b_w$$

În cazul aplicării operației *rake*, unul din cele două noduri u și v , este frunză; considerăm că u , descendentul stâng este frunză, deci $val(u) = c_u$ este cunoscut. Nodul w se va înlocui cu nodul v , iar nodul u va fi eliminat.

Obținem:

$$a_w [(a_u * c_u) + b_u] \odot (a_v * val(v) + b_v) + b_w = a'_v * val(v) + b'_v$$

Prin urmare, putem deduce valoarea noii etichete (a'_v, b'_v) , în funcție de operatorul \odot . Pentru $\odot = +$ avem:

$$a_w [(a_u * c_u) + b_u] + (a_v * val(v) + b_v) + b_w = a'_v * val(v) + b'_v$$

și deci

$$\begin{cases} a'_v = a_w * a_v \\ b'_v = a_w (a_u * c_u + b_u + b_v) + b_w \end{cases}$$

Pentru $\odot = *$ avem:

$$a_w [(a_u * c_u) + b_u] * (a_v * val(v) + b_v) + b_w = a'_v * val(v) + b'_v$$

și deci

$$\begin{cases} a'_v = a_v * a_w (a_u * c_u + b_u) \\ b'_v = b_v * a_w (a_u * c_u + b_u) + b_w \end{cases}$$

În final, se va ajunge la un arbore cu trei noduri, pentru care evaluarea se face direct:

$$val(T_E) = val(r) = (a_u c_u + b_u) \odot (a_v c_v + b_v)$$

În Figura 4.4 se evidențiază pașii pentru calcularea expresiei $E = ((2 * 3) + (4 + (5 * 6))) * 2 = 80$.

Dacă considerăm expresii care conțin și operatorii $-$, $/$ atunci etichetele vor fi formate din matrici (M) de ordin 2 inițializate cu matricea unitate. Valoarea care se va transmite părintelui unui nod v va fi:

$$\frac{m_{11}val(v) + m_{12}}{m_{21}val(v) + m_{22}},$$

unde m_{ij} sunt elementele matricii etichetă.

Pentru operația *rake* cu frunza-stângă u cu valoarea c , nodul intern w și nodul frate v al lui u , transformarea etichetei pentru v se va face pe baza formulei $M'(v) = A \times M(v)$, unde:

$$A = \begin{cases} \begin{pmatrix} 1 & c \\ 0 & 1 \end{pmatrix}, & \text{dacă } \odot = + \\ \begin{pmatrix} c & 0 \\ 0 & 1 \end{pmatrix}, & \text{dacă } \odot = * \\ \begin{pmatrix} -1 & c \\ 0 & 1 \end{pmatrix}, & \text{dacă } \odot = - \\ \begin{pmatrix} 0 & c \\ 1 & 0 \end{pmatrix}, & \text{dacă } \odot = / \end{cases}$$

Dacă se folosește frunza-dreapta la operația *rake*, atunci se procedează în mod similar, modificându-se matricea A pentru ultimele două operații care sunt necomutative.

Complexitatea-timp pentru evaluarea unei expresii aritmetice, în paralel, folosind metoda contracției, este de $O(\log_2 n)$, unde n este numărul de noduri ale arborelui binar corespunzător expresiei.

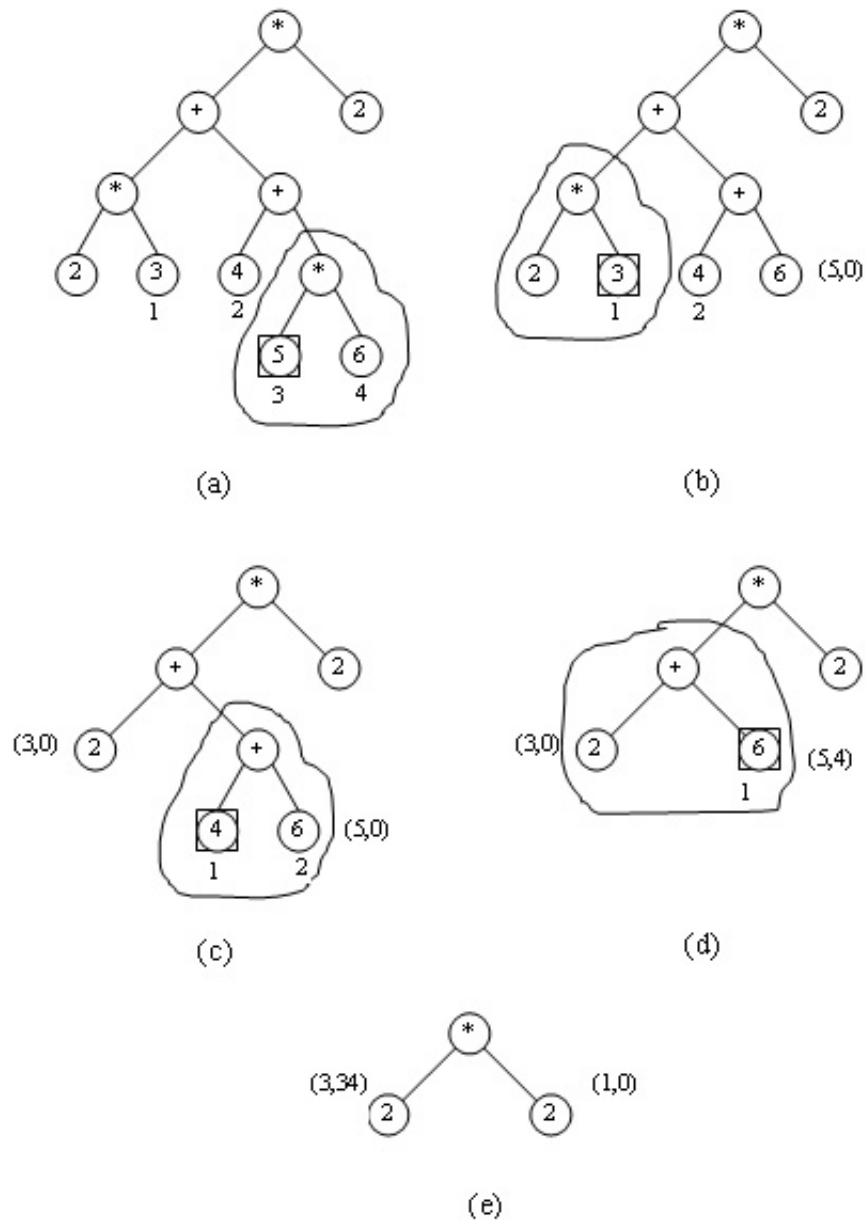


Figura 4.4: Operațiile *rake* pentru calcularea expresiei $E = ((2 * 3) + (4 + 5 * 6)) * 2 = 80$.

4.5 Tehnica reducerii ciclice par-impair

Tehnica reducerii ciclice par-impair a fost introdusă de Hockney și poate fi utilizată pentru rezolvarea unei game largi de relații de recurență. Se aplică aceleași clase de probleme ca și dublarea recursivă și facilitează creșterea vitezei de calcul. Și aici un rol esențial îl are ideea reformulării calculului (modificarea rețelei de calcul) cu scopul evidențierii operațiilor care pot fi executate independent - deci în paralel.

Pentru a exemplifica această tehnică vom considera o relație de recurență liniară simplă:

$$x_i = a_i + b_i x_{i-1}$$

unde $a_i, b_i, i = 1, \dots, n$ sunt numere reale cunoscute și $x_0 = \alpha$ este de asemenea cunoscută. Se cere calcularea numerelor x_1, x_2, \dots, x_n .

Un caz particular al acestei recurențe este $x_i = a_i + b_i x_{i-1}$ cu $b_i = 1$, care permite calcularea sumelor $a_1 + a_2 + \dots + a_i$. Deci și pentru problema sumei se poate folosi această tehnică.

Considerăm pentru uniformitate și următoarele notații:

$$\begin{aligned} a_0 &= \alpha, a_i = 0, i < 0 \\ b_i &= 0, i \leq 0. \end{aligned}$$

Aplicând relația pentru x_{i-1} , obținem:

$$x_i = a_i + b_i(a_{i-1} + b_{i-1}x_{i-2}).$$

Notăm $a_i^{(1)} = a_i + b_i a_{i-1}$ și $b_i^{(1)} = b_i b_{i-1}$ și astfel relația de mai sus devine:

$$x_i = a_i^{(1)} + b_i^{(1)} x_{i-2}.$$

Se aplică această nouă relație pentru x_{i-2} și avem

$$x_i = a_i^{(1)} + b_i^{(1)}(a_{i-1}^{(1)} + b_{i-1}^{(1)}x_{i-4}) = a_i^{(2)} + b_i^{(2)}x_{i-4}.$$

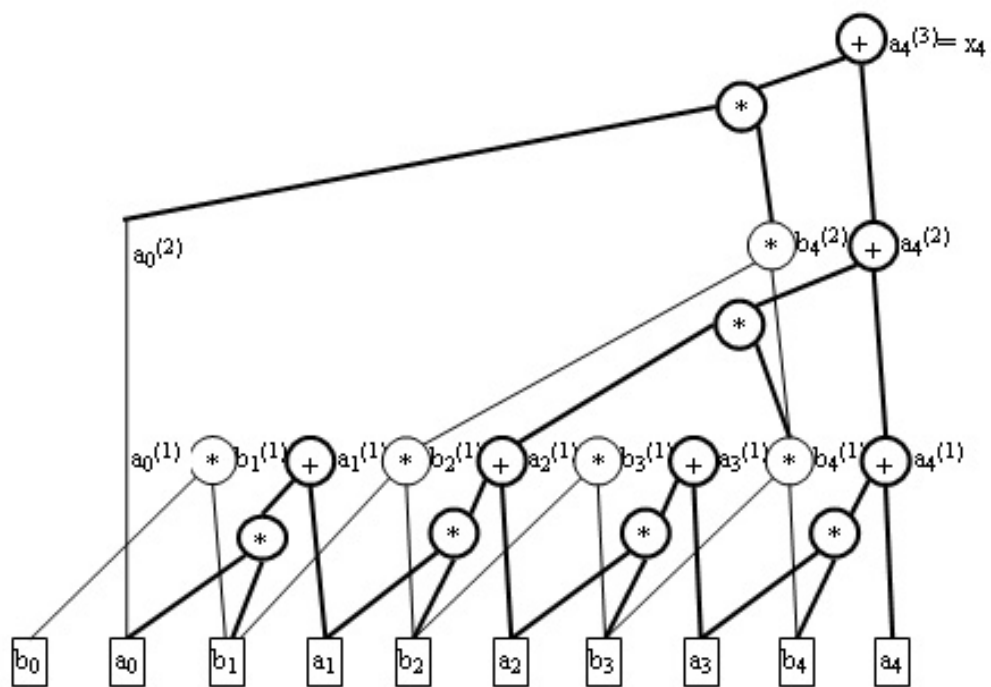
Continuând în același mod obținem exprimări succesive a lui x_i în funcție $x_{i-1}, x_{i-2}, x_{i-4}, \dots$. Notând $a_i^{(0)} = a_i$ și $b_i^{(0)} = b_i$ avem relațiile:

$$\begin{aligned} a_i^{(p)} &= a_i^{(p-1)} + b_i^{(p-1)} a_{i-2^{p-1}}^{(p-1)} \\ b_i^{(p)} &= b_i^{(p-1)} b_{i-2^{p-1}}^{(p-1)} \end{aligned}$$

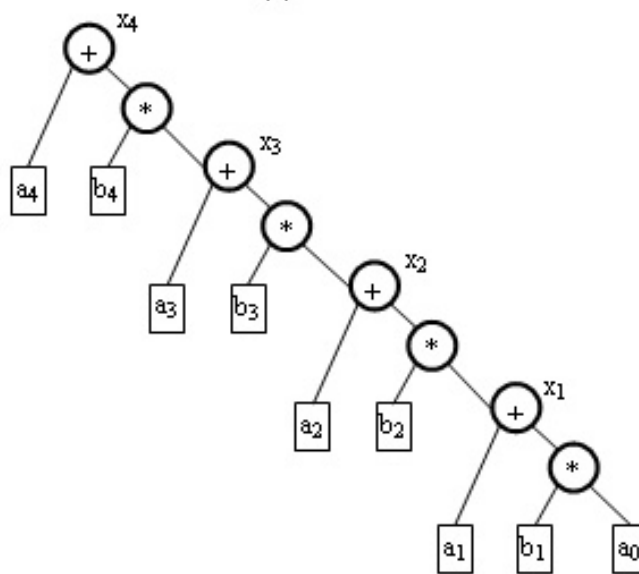
pentru orice $p > 0$. După cel mult k pași - ($k = \lfloor \log_2 i \rfloor + 1$) - indicele $i - 2^{k-1}$ va deveni 0 sau negativ și $a_{i-2^{k-1}}^{(k)}$ va deveni egal cu α sau 0. Prin urmare, rezultatul x_i se obține în $k = \lfloor \log_2 i \rfloor + 1$ pași:

$$x_i = a_i^{(k)}$$

În Figura 4.5 se poate vedea modul de calcul pentru $n = 4$ al termenilor $b_i^{(p)}$ și al termenilor $a_i^{(p)}$, (b) în cazul calculului direct și (a) în cazul folosirii tehnicii de reducere ciclică par-impair. În final $x_4 = a_4^{(3)}$.



(a)



(b)

Figura 4.5: Rețele de calcul pentru relația de recurență de ordin $n = 4$. (a) Cazul folosirii reducerii ciclice par-impair. (b) Cazul calculului direct secvențial.

ALGORITHM REDUCERE-CICLICA $\langle n = 2^r, a, b, x \rangle$

```

for  $id = 0, n/2 - 1$  in parallel do
  for  $p = 1, r$  do
    if  $(id < n/2^p)$  then
       $i \leftarrow id * 2^p;$ 
       $b_i^{(p)} = b_i^{(p-1)} b_{i+2^{p-1}}^{(p-1)};$ 
       $a_i^{(p)} = a_i^{(p-1)} + b_i^{(p-1)} a_{i+2^{p-1}}^{(p-1)};$ 
    end if
  end for
end for
if  $(i = 0)$  then
   $x_n \leftarrow b_0^r * x_0 + a_0^r;$ 
end if

```

Exemplul 4.10 (Rezolvare sistem tridiagonal) Tehnica reducerii ciclice par-impair se poate utiliza și pentru rezolvarea sistemelor liniare cu matrice tridiagonală.

Fie sistemul:

$$\begin{pmatrix} b_1 & c_1 & 0 & & & 0 \\ a_2 & b_2 & c_2 & & & 0 \\ 0 & a_3 & b_3 & c_3 & & 0 \\ & & \ddots & \ddots & \ddots & \\ & & & a_{n-1} & b_{n-1} & c_{n-1} \\ 0 & & & 0 & a_n & b_n \end{pmatrix} \begin{pmatrix} x_1 \\ x_2 \\ x_3 \\ \vdots \\ x_{n-1} \\ x_n \end{pmatrix} = \begin{pmatrix} d_1 \\ d_2 \\ d_3 \\ \vdots \\ d_{n-1} \\ d_n \end{pmatrix}$$

Pentru fiecare $i, 2 \leq i < n - 1$ avem relațiile:

$$\begin{aligned} a_{i-1}x_{i-2} + b_{i-1}x_{i-1} + c_{i-1}x_i &= d_{i-1} \\ a_i x_{i-1} + b_i x_i + c_i x_{i+1} &= d_i \\ a_{i+1}x_i + b_{i+1}x_{i+1} + c_{i+1}x_{i+2} &= d_{i+1} \end{aligned}$$

Prin eliminarea termenilor x_{i-1} și x_{i+1} se obține

$$a_i^{(1)} x_{i-2} + b_i^{(1)} x_i + c_i^{(1)} x_{i+2} = d_i^{(1)}.$$

Utilizând trei ecuații de acest tip se obține

$$a_i^{(2)} x_{i-4} + b_i^{(2)} x_i + c_i^{(2)} x_{i+4} = d_i^{(2)}.$$

Formula generală este

$$a_i^{(k)} x_{i-2k} + b_i^{(k)} x_i + c_i^{(k)} x_{i+2k} = d_i^{(k)}.$$

unde coeficienții se obțin din următoarele relații recursive:

$$\begin{aligned} a_i^{(k+1)} &= \alpha_i^{(k)} a_{i-2^k}^{(k)}, \\ b_i^{(k+1)} &= \alpha_i^{(k)} c_{i-2^k}^{(k)} + b_i^{(k)} + \gamma_i^{(k)} a_{i+2^k}^{(k)}, \\ c_i^{(k+1)} &= \gamma_i^{(k)} c_{i+2^k}^{(k)}, \\ d_i^{(k+1)} &= \alpha_i^{(k)} d_{i-2^k}^{(k)} + d_i^{(k)} + \gamma_i^{(k)} d_{i+2^k}^{(k)}, \end{aligned}$$

unde $1 \leq k \leq \log_2 n$ și

$$\alpha_i^{(k)} = -\frac{a_i^{(k)}}{b_{i-2^k}^{(k)}}, \quad \gamma_i^{(k)} = -\frac{c_i^{(k)}}{b_{i+2^k}^{(k)}}.$$

În final

$$b_i^{(k)} x_i = d_i^{(k)}, k = \lceil \log_2 n \rceil, \forall i : 1 \leq i \leq n.$$

Algoritmul poate fi implementat folosind o rețea de tip fluture, datorită faptului că pentru calcularea coeficienților $a_i^{(k)}, b_i^{(k)}, c_i^{(k)}, d_i^{(k)}$, se folosesc valorile anterioare cu indici $i - 2^p$ și $i + 2^p$, pe rând pentru $p = 0, 1, \dots, \lceil \log_2 k \rceil$.

4.6 Tehnica divide&impera

Metoda “divide&impera” este binecunoscută din calculul secvențial. Rezolvarea problemei se face prin împărțirea, de o manieră recursivă, în subprobleme din ce în ce mai mici, pe cale descendentă, până la atingerea cazului de bază sau elementar. Se rezolvă subproblemele de la acest nivel, după care se combină rezultatele, pe o cale ascendentă. Prin divizarea în subprobleme, la fiecare nivel, se creează un arbore (care este binar dacă descompunerea se face de fiecare dată în două subprobleme). Acest arbore este parcurs descendent când se efectuează apelurile procedurii recursive și în sens ascendent, la revenirea din apel. Soluția problemei va fi furnizată, în final, în nodul rădăcină. În varianta secvențială, la un moment dat, este parcurs un singur nod al arborelui. Execuția paralelă oferă posibilitatea parcurgerii simultane a mai multor noduri, toate de la același nivel.

Pentru multe probleme, tehnica divide&impera conduce la algoritmi similari cu cei obținuți prin tehnica arborelui binar. Explicația acestui lucru este oarecum evidentă dacă ținem cont că tehnica divide&impera conduce la realizarea unei rețele de calcul de tip arbore binar. Tehnica arborelui binar nu include și parcurgerea descendentă a arborelui, care este de fapt corespunzătoare descompunerii calculului; de aceea algoritmi bazați pe tehnica arborelui binar sunt nerecursivi.

Exemplul 4.11 (Sortare prin interclasare)

Sortarea prin interclasare, descompune recursiv secvența inițială A în două subsecvențe de dimensiuni aproximativ egale A_0 și A_1 , pentru care se apelează același algoritm de sortare. Etapa de combinare folosește interclasarea a două secvențe sortate. Complexitatea-timp pentru interclasarea a două secvențe sortate de dimensiuni n_0 și n_1 este $n_0 + n_1$. Dacă $n = 2^k$ atunci la nivelul $\log_2 n$ se interclasează secvențe de dimensiune 1, în paralel;

la nivelul $\log_2 n - 1$ secvențe de dimensiune 2. La nivelul 1 se interclasează secvențe de dimensiune $n/2$. Complexitatea-timp obținută este $2 + 2^2 + \dots + 2^k = 2^k - 2 = O(n)$.

```

PROCEDURE INTERSORT( $A, n$ )
  if ( $n > 1$ ) then
    IMPARTE( $A, n, A_0, n_0, A_1, n_1$ );
    in parallel
      INTERSORT( $A_0, n_0$ ),
      INTERSORT( $A_1, n_1$ )
    end in parallel
    COMBINA( $A_0, n_0, A_1, n_1, A, n$ );
  end if

```

Exemplul 4.12 (Suma) Considerăm secvența A de n numere și $m = n/p$, unde p este

```

FUNCTION SUMADIV( $A, s, d, m$ )
  if ( $d - s \geq m$ ) then
     $i = (s + d)/2$ ;
    in parallel
       $s_0 \leftarrow$  SUMADIV( $A, s, i, m$ ),
       $s_1 \leftarrow$  SUMADIV( $A, i + 1, d, m$ )
    end in parallel
    SUMADIV  $\leftarrow$   $s_0 + s_1$ ;
  else
     $st \leftarrow 0$ ;
    for  $i = s, d$  do
       $st \leftarrow st + a[i]$ ;
    end for
    SUMADIV  $\leftarrow$   $st$ 
  end if

```

numărul maxim de componente de calcul care pot fi folosite. Pentru calcularea sumei celor n numere se apelează funcția SUMADIV cu parametrii actuali $(A, 1, n, m)$.

Acest calcul este echivalent cu cel prezentat în Exemplul 4.25.

Tehnica divide&impera poate fi folosită și pentru o descompunere a calculului pe mai multe căi nu doar două.

Exemplul 4.13 (Căutare) Se consideră o secvență de n numere A . Se cere căutarea numărului x în această secvență; dacă numărul x se găsește în secvență, atunci funcția

CAUTAPARALEL returnează prima poziție pe care a fost găsit, în caz contrar -1 . (Considerăm o constantă $m, m > 2$, care reprezintă numărul minim de elemente pentru care se apelează algoritmul paralel.)

```

FUNCTION CAUTAPARALEL( $A, n, x$ )
  if ( $n > m$ ) then
    IMPARTE( $A, n, A[0], n[0], A[1], n[1], A[2], n[2]$ );
    for  $i = 0, 2$  in parallel do
       $c[i] \leftarrow$  CAUTAPARALEL( $A[i], n[i], x$ );
    end for
    if ( $c[0] \neq -1$ ) then
      CAUTAPARALEL  $\leftarrow$   $c[0]$ ;
    else
      if ( $c[1] \neq -1$ ) then
        CAUTAPARALEL  $\leftarrow$   $n[0] + c[1]$ ;
      else
        if ( $c[2] \neq -1$ ) then
          CAUTAPARALEL  $\leftarrow$   $n[0] + n[1] + c[2]$ ;
        else
          CAUTAPARALEL  $\leftarrow$   $-1$ ;
        end if
      end if
    end if
  else
    CAUTAPARALEL  $\leftarrow$  CAUTASECVENTIAL( $A, n, x$ );
  end if

```

Funcția CAUTASECVENTIAL implementează o căutare secvențială clasică. Complexitatea acestui algoritm este $O(\log_3 n)$.

Exemplul 4.14 (Quicksort) Algoritmul de sortare rapidă – Quicksort – este printre cei mai rapizi algoritmi secvențiali. Ideea sortării rapide este simplă și se bazează pe tehnica divide&impera: se împarte secvența inițială A în două părți; într-una sunt elementele mai mici decât un pivot v , iar în cealaltă elementele mai mari. Sortându-se cele două secvențe, A va fi și ea sortată.

Paralelizarea directă a acestui algoritm conduce la apelul simultan al procedurilor de sortare a subsecvențelor rezultate în urma partiționării. Totuși și etapa de partiționare poate fi realizată în paralel și, de fapt, se consideră că o implementare eficientă a sortării rapide în paralel, depinde de alegerea unui algoritm paralel eficient de partiționare.

```

PROCEDURE QUICKSORT( $A, s, d$ )
  if ( $s < d$ ) then
    ALEGE-PIVOT( $A, s, d, v$ );
    PARTITIONARE( $A, s, d, v, i_v$ );
    in parallel
      QUICKSORT( $A, s, i_v - 1$ ),
      QUICKSORT( $A, i_v + 1, d$ )
    end in parallel
  end if

```

Un exemplu de algoritm paralel de partiționare se obține dacă se consideră alegerea pivotului median (elementul de la mijlocul secvenței) și executarea comparațiilor cu acesta în paralel.

Fiind o tehnică extrem de mult folosită în proiectarea algoritmilor paraleli, divide&impera este recunoscută ca o paradigmă a programării paralele.

4.7 Algoritmii generici ASCEND și DESCEND

Corespunzător algoritmilor de tip arbore binar se pot defini doi algoritmi generici ASCEND și DESCEND, corespunzători traversării arborelui într-un sens și în celălalt.

Presupunem că avem $n = 2^k$ elemente date stocate în locațiile $T[0], T[1], \dots, T[n-1]$. Notăm cu $OPER(m, j; U, V)$ o operație care modifică datele din locațiile U și V și depinde de parametrii m și j , unde $0 \leq m < n$ și $0 \leq j < k$. Considerăm, de asemenea, funcția $bit_j(m)$ care returnează al- j -lea bit al reprezentării numărului m în baza 2.

```

ALGORITHM DESCEND

```

```

  for  $j = k - 1, 0, -1$  do
    for < fiecare  $m$  pentru care  $0 \leq m < n$  > in parallel do
      if  $bit_j(m) = 0$  then
         $OPER(m, j; T[m], T[m + 2^j]);$ 
      end if
    end for
  end for

```

Acești doi algoritmi generici pot constitui un punct de plecare în construirea unui algoritm paralel pentru o problemă dată. Dacă putem determina instanțe ale operației $OPER$ care să implice executarea calculului cerute de specificația problemei (și această implicație poate fi demonstrată), atunci algoritmul paralel se construiește ușor pe baza șablonului oferit către unul din acești doi algoritmi.

ALGORITHM ASCEND

```

for  $j = 0, k - 1$  do
  for  $\langle$  fiecare  $m$  pentru care  $0 \leq m < n \rangle$  in parallel do
    if  $bit_j(m) = 0$  then
       $OPER(m, j; T[m], T[m + 2^j]);$ 
    end if
  end for
end for

```

În multe cazuri, algoritmiile paralele nu se încadrează în nici una din clasele de mai sus, dar pot fi descompuși în secvențe de algoritmi care se încadrează.

Operația $OPER(m, j; T[m], T[m + 2^j])$ poate fi de multe ori privită ca o aplicație a unei perechi de funcții (f_1, f_2) :

$$\begin{aligned} T[m] &\leftarrow f_1(m, j; T[m], T[m + 2^j]) \\ T[m + 2^j] &\leftarrow f_2(m, j; T[m], T[m + 2^j]) \end{aligned}$$

Dacă complexitatea operației $OPER$ este constantă atunci complexitățile celor doi algoritmi sunt egale cu $O(\log_2 n)$.

Un exemplu simplu și direct de instanță a unui algoritm ASCEND este algoritmul de calcularea a sumei bazat pe rețeaua de calcul arbore binar. Este un algoritm ASCEND pentru care operația $OPER(m, j; U, V)$ are următorul efect:

$$\begin{aligned} U &\leftarrow U \\ V &\leftarrow U + V \end{aligned}$$

Exemplul 4.15 (Permutare inversă) Considerăm din nou $n = 2^k$ date de intrare. Se cere permutarea acestora în ordine inversă. Algoritmul DESCEND cu operația $OPER(m, j; U, V)$ care interschimbă valorile U și V , conduce la permutarea datelor de intrare în ordine inversă.

Demonstrația se poate face prin inducție după k . În mod evident este adevărat dacă $k = 1$. Presupunem că este adevărat pentru toți $k \leq t$ și demonstrăm proprietatea pentru cazul $k = t + 1$. Cheia demonstrației este de a considera că $T[i] = i, 0 \leq i < n$. Dacă facem demonstrația pentru acest caz, atunci concluzia va fi adevărată pentru toate cazurile deoarece valorile numerice ale datelor de intrare nu intervin în calcul. Primul pas al algoritmului DESCEND modifică doar bitul de ordin cel mai mare al datelor de intrare, astfel încât acest bit este pentru $T[i]$ egal cu bitul de ordin cel mai mare al lui $n - 1 - i$. Ceilalți biți de la 0 la t nu se modifică și de asemenea biții de la 0 la t ai numerelor $\{0, \dots, n/2 - 1\}$ sunt aceiași ca și ai numerelor $\{n/2, \dots, n - 1\}$. Următoarele iterații ale algoritmului corespund aplicării algoritmului în cazul $k = t$, independent, pe secvențele stânga și dreapta ale secvenței inițiale. Rezultă deci că, după execuția algoritmului, $T[i] = n - 1 - i$.

Implementarea pe rețeaua fluture

Considerăm o rețea fluture de rang k . Algoritmii ASCEND și DESCEND pot fi adaptați foarte ușor pentru acest tip de rețea. Algoritmii corespunzători vor specifica programul executat de fiecare procesor.

Presupunem că avem cele $n = 2^k$ date de intrare $T[i], 0 \leq i < n$ astfel încât $T[i]$ aparține procesorului $d_{0,i}$ al rețelei de tip fluture, pentru fiecare i cu $0 \leq i < n$. Varianta algoritmului DESCEND pe această rețea este:

ALGORITHM DESCEND-FLUTURE

```

for  $j = k - 1, 0, -1$  do
  < se transmit datele de la procesoarele de rang  $k - 1 - j$  către cele de rang  $k - j$ 
  pe verticală și pe diagonală >
  {acum procesoarele de rang  $k - j$  de pe coloana  $m$  și  $m + 2^j$  conțin vechile valori
   $T[m]$  și  $T[m + 2^j]$ }
  OPER( $m, j; T[m], T[m + 2^j]$ );
end for

```

Pentru algoritmul ASCEND presupunem că data $T[i]$ aparține procesorului $d_{k,i}$ al rețelei de tip fluture, pentru fiecare i cu $0 \leq i < n$. Varianta algoritmului ASCEND pe această rețea este:

ALGORITHM ASCEND-FLUTURE

```

for  $j = 0, k - 1$  do
  < se transmit datele de la procesoarele de rang  $k - j$  către cele de rang  $k - j - 1$ 
  pe verticală și pe diagonală >
  {acum procesoarele de rang  $k - j - 1$  de pe coloana  $m$  și  $m + 2^j$  conțin vechile valori
   $T[m]$  și  $T[m + 2^j]$ }
  OPER( $m, j; T[m], T[m + 2^j]$ );
end for

```

Timpul de execuție al celor doi algoritmi originali se multiplică cel mult cu un factor de multiplicare.

Exemplul 4.16 (Suma) Considerăm $n = 2^k$ numere $A[0], \dots, A[n - 1]$ și presupunem că avem o rețea fluture de ordin k . Dorim să calculăm suma tuturor acestor numere, iar rezultatul să fie obținut în toate procesoarele de rang k . Dacă considerăm algoritmul ASCEND cu operația $OPER(m, j; U, V)$ instanțiată astfel încât

$$\begin{aligned}
 U &\leftarrow U + V \\
 V &\leftarrow U + V
 \end{aligned}$$

obținem în final că locațiile $A[i]$ vor conține suma totală. Diferența, față de algoritmul pe rețeaua arbore binar pentru sumă, este că rezultatul se obține în toate procesoarele de rang k , nu doar într-un singur procesor rădăcină.

Implementarea pe rețeaua hipercub

Considerăm o rețea hipercub de ordin $n = 2^k$ și că datele de intrare $T[0], \dots, T[n-1]$ sunt asociate fiecare nodului cu indicele corespunzător din hipercub.

Implementarea celor doi algoritmi pe această rețea se poate face simplu adaptând cei doi algoritmi.

ALGORITHM DESCEND-HIPERCUB

```

for  $j = k - 1, 0, -1$  do
  for < fiecare m pentru care  $0 \leq m < n$  > in parallel do
    if  $bit_j(m) = 0$  then
      < procesoarele din nodurile m și  $m + 2^j$  interschimbă
      valorile datelor pe care le conțin > ;
       $OPER(m, j; T[m], T[m + 2^j]);$ 
    end if
  end for
end for

```

ALGORITHM ASCEND-HIPERCUB

```

for  $j = 0, k - 1$  do
  for < fiecare m pentru care  $0 \leq m < n$  > in parallel do
    if  $bit_j(m) = 0$  then
      < procesoarele din nodurile m și  $m + 2^j$  interschimbă
      valorile datelor pe care le conțin > ;
       $OPER(m, j; T[m], T[m + 2^j]);$ 
    end if
  end for
end for

```

Implementările algoritmilor ASCEND și DESCEND pe hipercub sunt mai directe decât cele pe rețeaua fluture. Ele sunt implementări eficiente ale acestor doi algoritmi generici.

În concluzie, algoritmi care se încadrează în cele două clase descrise de către algoritmi generici ASCEND și DESCEND pot fi implementați eficient pe rețelele fluture și hipercub.

4.8 Tehnica calculului sistolic (pipeline)

Una dintre cele mai folosite paradigme pentru programarea paralelă pe arhitecturi cu memorie nepartajată este calculul sistolic. Conceptul cheie al algoritmilor sistolici este descompunerea întregului calcul în subcomponente care sunt atribuite câte unui element de procesare. Comunicația datelor de-a lungul elementelor de procesare se face între elemente vecine. Se pot considera două proprietăți importante ale calculului sistolic:

- i. *localizarea comunicațiilor* care impune ca fiecare element de procesare să comunice cu o mulțime mică de alte elemente de procesare,
- ii. *structura de comunicații regulată*.

În cazul conectării elementelor de procesare pe o singură dimensiune, astfel încât ieșirea unui element de procesare reprezintă intrare pentru următorul element de procesare; tehnica este întâlnită, în general, sub numele de **tehnica pipeline**.

Tehnica pipeline se bazează pe presupunerea că o anumită componentă a programului folosește rezultatele primite de la precedentă și-și trimite propriile rezultate următoarei componente. Fiecare componentă poate fi atașată unui element de procesare. Dacă aplicația trebuie executată de mai multe ori, atunci mai multe procesoare pot fi folosite în paralel, permițând celui de al doilea procesor să lucreze pe componenta a i -a aplicației, în timp ce primul lucrează pe a $(i + 1)$ -a, iar al treilea pe a $(i - 1)$ -a, etc.

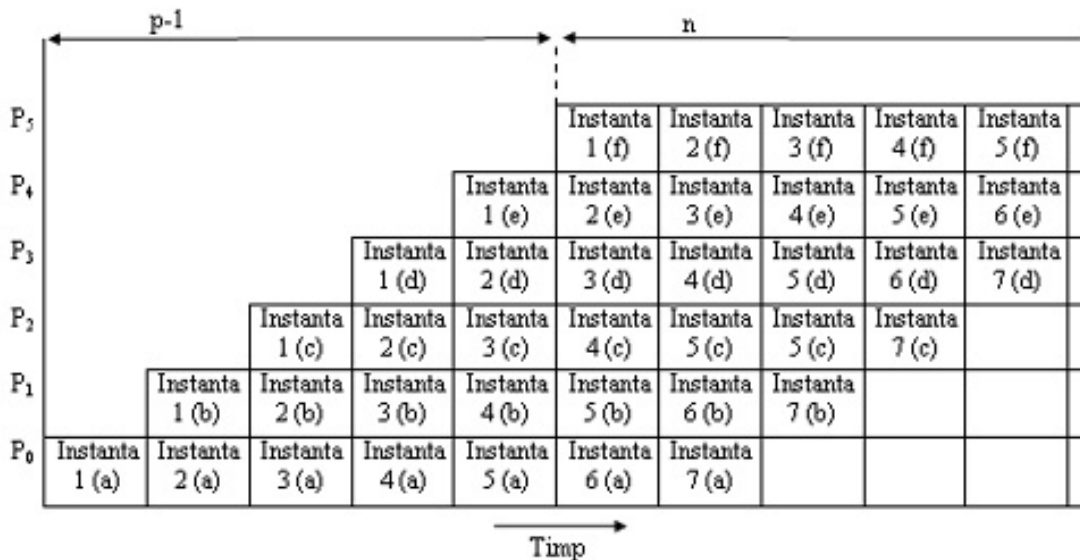


Figura 4.6: Tipul 1 de calcul pipeline. Pentru fiecare instanță se execută componentele de calcul (a), (b), (c), (d), (e), (f). Timpul de execuție este proporțional cu $n + p - 1$.

Timpul de execuție al unei singure aplicații pe un calculator pipeline nu e mai mic decât timpul de execuție pe un singur procesor, dar în cazul unui număr mare de execuții ale aplicației pe un calculator pipeline cu N procesoare, atunci timpul de execuție va fi

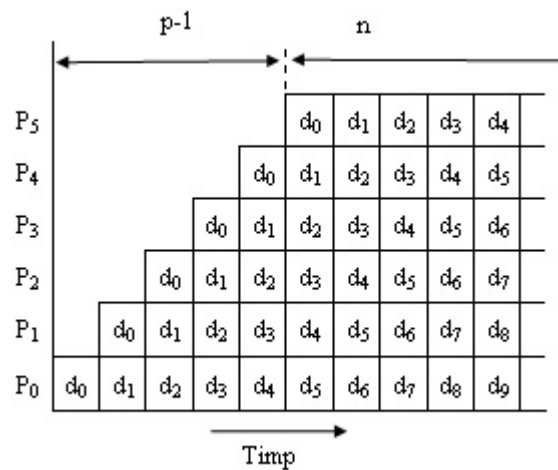


Figura 4.7: Tipul 2 de calcul pipeline. Fiecare instanță se execută pentru mai multe date de intrare d_0, d_1, \dots

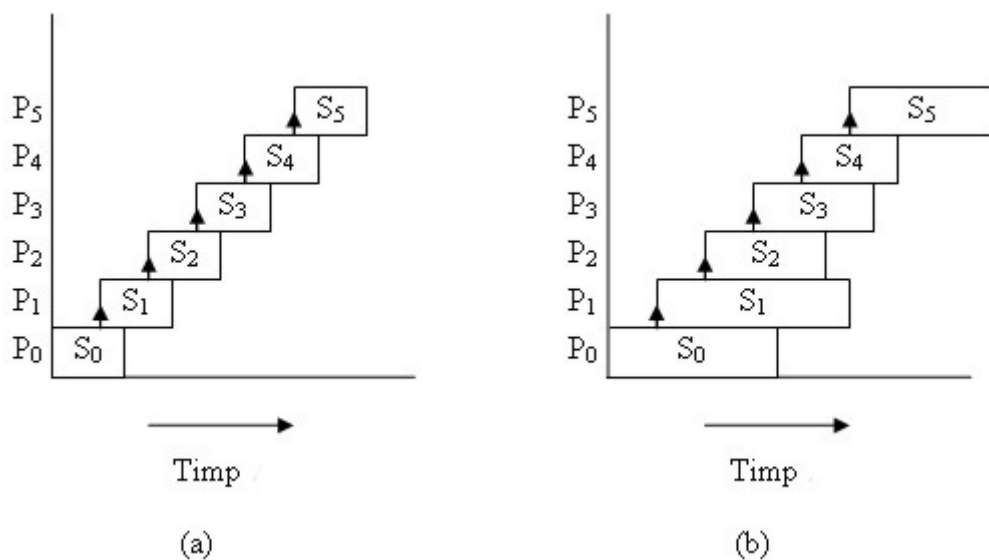


Figura 4.8: Tipul 3 de calcul pipeline. (a) Componente de calcul egale. (b) Componente de calcul inegale.

aproximativ egal cu $1/N$ din timpul serial necesar (presupunând că fiecare componentă a calculului necesită o cuantă de timp egală).

Timpul necesar inițializării unui pipeline este egal cu timpul (T) necesar unei etape din pipeline pentru a fi executată, multiplicat cu numărul de etape din pipeline. Îndată ce pipeline-ul a fost inițializat, fiecare rezultat nou se obține într-un timp egal cu T . De exemplu, un calculator pipeline cu trei procesoare, fiecare lucrând T secunde, va genera primul rezultat în $3T$ secunde, noi rezultate fiind obținute apoi după fiecare T secunde.

În concluzie, presupunând că problema ce trebuie rezolvată poate fi divizată în componente de calcul secvențiale, folosirea tehnicii pipeline conduce la algoritmi eficienți dacă cel puțin una din următoarele variante este adevărată:

1. Mai mult de o instanță a problemei trebuie să fie executată – Figura 4.6.
2. O serie de date(elemente) trebuie procesate, fiecare procesare necesitând operații multiple – Figura 4.7.
3. Dacă informația necesară începerii următoarei componente de calcul poate fi transmisă înainte ca procesul curent să își finalizeze execuția – Figura 4.8.

Vom prezenta exemple care corespund celor trei tipuri și pentru care vom considera programe cu p procese, în care fiecare proces este identificat de către un indice id , $0 \leq id < p$. Toate procesele vor fi executate în paralel.

Exemplul 4.17 (Suma) Dorim să calculăm suma a p numere $\sum_{i=0}^{p-1} a_i^k$, pentru n , $n > 1$ seturi de mulțimi a_i^k , $0 \leq k < n$. Pentru aceasta putem folosi un calcul de tip pipeline, cu p procese, în care fiecare proces citește(input) de pe câte un suport extern (fișier) numărul a_i^k corespunzător. Rezultatul fiecărei sume este scris(output) tot pe suport extern, de

```

ALGORITHM SUMA < id >
  input(numar);
  if (id > 0) then
    recv(accumulator, id - 1);
  else
    accumulator ← 0;
  end if
  accumulator ← accumulator + numar;
  if (id < p - 1) then
    send(accumulator, id + 1);
  else
    output(accumulator);
  end if

```

către ultimul proces. Fiecare proces cu identificatorul id va executa subprogramul SUMA de n ori – este prin urmare o exemplificare a primului tip de calcul pipeline.

Exemplul 4.18 (Generare numere prime) Pentru generarea numerelor prime mai mici decât un număr dat m se poate folosi un algoritm paralel de tip pipeline, bazat pe ideea “ciurului lui Eratostene”. Primul număr: 2 este introdus în pipeline și reținut în primul proces, fiind număr prim. Cel de-al doilea număr intră în pipeline și se verifică dacă se divide cu valoarea din primul proces, iar dacă nu, este trimis la procesul următor care îl reține. Se continuă în acest mod. Dacă un număr primit de către un proces se divide cu valoare stocată de acesta atunci acel număr se ignoră.

ALGORITHM PRIME $\langle id, x \rangle$

```

if ( $id = 0$ ) then
    input( $numar$ );
else
    recv( $numar, id - 1$ );
end if
if  $x = 0$  then
     $x \leftarrow numar$ ;
else
    if ( $numar \% x \neq 0$ ) then
         $trimis \leftarrow numar$ ;
        if ( $id < p - 1$ ) then
            send( $trimis, id + 1$ );
        end if
    end if
end if

```

Inițial argumentul x al fiecărui proces este 0. Procesoarele nu efectuează același volum de calcul pentru că ele nu primesc aceeași cantitate de numere. La terminarea secvenței este necesară transmiterea unui mesaj de terminare. De aceea, complexitatea nu poate fi evaluată după formula clasică corespunzătoare unui calcul de tip pipeline. Experimental, se poate însă verifica eficiența acestui calcul.

Exemplul 4.19 (Sortare prin inserție) Considerăm o secvență de n numere întregi care trebuie sortată descrescător. Considerăm $p = n$ procese, fiecare dintre ele având o valoare stocată local. Inițial această valoare este egală cu cel mai mic număr întreg reprezentabil. Numerele din secvență vor fi “pompatе” în pipeline, rând pe rând. La primirea unei valori, un procesor verifică dacă valoarea sa locală este mai mică decât cea primită, caz în care își actualizează valoarea locală cu numărul primit și trimite mai departe vechea sa valoare locală. Dacă numărul primit este mai mic decât valoarea sa locală, acesta este pur și simplu trimis mai departe.

Complexitatea algoritmului obținut este $O(n)$. Sortarea se face în acest caz folosind

```

ALGORITHM SORT< id, x >
  if (id = 0) then
    input(numar);
  else
    recv(numar, id - 1);
  end if
  if (numar > x) then
    send(x, id + 1);
    x = numar;
  else
    send(numar, id + 1);
  end if

```

un singur ciclu. În cazul în care nu există suficiente procesoare pe care să se mapeze cele n procese, acestea pot fi grupate mai multe pe același procesor.

Exemplul 4.20 (Rezolvare sistem liniar triunghiular) Fie A o matrice triunghiulară de de ordin n și B un vector cu n elemente. Se cere rezolvarea sistemului liniar $A \times X = B$:

$$\begin{array}{rcl}
 a_{0,0}x_0 & & = b_0 \\
 a_{1,0}x_0 + a_{1,1}x_1 & & = b_1 \\
 a_{2,0}x_0 + a_{2,1}x_1 + a_{2,2}x_2 & & = b_2 \\
 \vdots & & \\
 a_{n-1,0}x_0 + a_{n-1,1}x_1 + a_{n-1,2}x_2 + \dots + a_{n-1,n-1}x_{n-1} & = & b_{n-1}
 \end{array}$$

Pentru rezolvarea sistemului folosim substituția înapoi și se obține mai întâi x_0 :

$$x_0 = \frac{b_0}{a_{0,0}},$$

apoi x_1 , folosind valoarea x_0 deja calculată:

$$x_1 = \frac{b_1 - a_{1,0}x_0}{a_{1,1}}.$$

Se continuă în acest mod până când se obține x_{n-1} :

$$x_{n-1} = \frac{b_{n-1} - \sum_{k=1}^{n-2} a_{n-1,k}x_k}{a_{n-1,n-1}}.$$

```

ALGORITHM SISTEM<  $id, x, a, b$ >
   $suma \leftarrow 0$ ;
  if ( $id = 0$ ) then
     $x[0] \leftarrow b[0]/a[0][0]$ ;
    send( $x[0], 1$ );
  else
    for  $i = 0, id - 1$  do
      recv( $x[i], id - 1$ );
      send( $x[i], id + 1$ );
       $suma \leftarrow suma + a[id][i] * x[i]$ ;
    end for
     $x[id] \leftarrow (b[id] - suma)/a[id][id]$ ;
    send( $x[id], id + 1$ );
  end if

```

Prima componentă a soluției pipeline calculează x_0 și trimite valoarea x_0 următoarei componente. Aceasta calculează x_1 și trimite mai departe atât pe x_0 cât și pe x_1 . Acest tip de calcul se încadrează în tipul 3 de pipeline cu componente inegale. Componenta a doua poate trimite valoarea x_0 componenteii a treia înainte de a calcula valoarea pentru x_1 și astfel componenta a treia poate începe calculul înainte ca și componenta a doua să îl termine. În acest fel se obține paralelismul.

Fiecare procesor execută procedura SISTEM doar o singură dată, nu este un apel repetat ca și în cazul celorlalte tipuri de calcul pipeline.

În cazul conectării elementelor de procesoare pe două sau mai multe dimensiuni se ajunge la *tablouri sistolice*. S-au dezvoltat numeroși algoritmi paraleli pentru aplicații din analiza numerică, teoria grafurilor și procesarea imaginilor care se bazează pe această tehnică.

Exemplul 4.21 (Înmulțire matrice) Considerăm un tablou sistolic de $n \times n$ procese, conectate într-o rețea de tip grilă, și două matrice pătratice A și B de dimensiune $n \times n$. Procesele sunt identificate printr-o pereche (i, j) , $0 \leq i, j < n$. Matricea produs $C = A \times B$ se poate obține folosind un algoritm sistolic. Elementele matricei A sunt "pompat" pe linii, iar elementele matricii B sunt "pompat" pe coloane. Elementul $C[i, j]$ se obține în procesul (i, j) .

Inițial argumentul c este egal cu 0 în toate cele n^2 procese. Argumentul c din procesul (i, j) reprezintă elementul $C[i, j]$. Operațiile de intrare ale elementelor $a[i, j]$ și $b[i, j]$ trebuie să se facă cu o întârziere între două linii, respectiv coloane, consecutive – Figura 4.9.

În general, programele dezvoltate pe baza acestei tehnici sunt implementate pe arhitecturi specifice (sistolice) care să permită obținerea eficienței scontate. Totuși ea poate fi

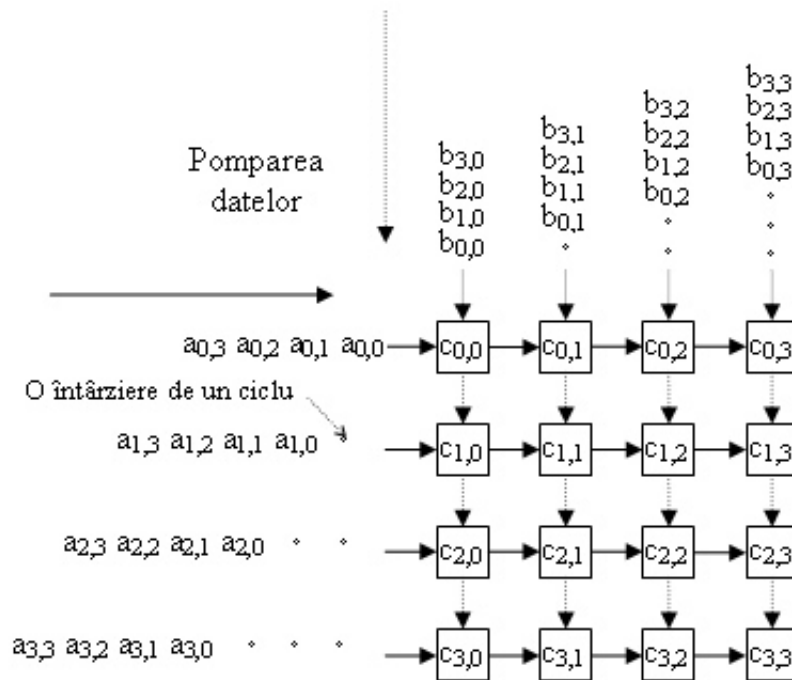


Figura 4.9: Înmulțire matriceală pe un tablou sistolic.

ALGORITHM PRODUS_MATRICE $\langle i, j, c \rangle$

```

if ( $j = 0$ ) then
  input( $a$ );
else
  recv( $a, (i, j - 1)$ );
end if
if ( $i = 0$ ) then
  input( $b$ );
else
  recv( $b, (i - 1, j)$ );
end if
 $c \leftarrow c + a * b$ 

```

folosită și ca tehnică generală de partiționare, aplicabilă și pentru alte modele de sisteme de calcul paralel. Eficiența în acest caz depinde de granularitatea aplicației obținute în raport cu granularitatea sistemului și de timpul necesar comunicației între două procese vecine.

4.9 Tehnica par-impair

O tehnică foarte simplă, care s-a dovedit a fi însă eficientă în multe cazuri, constă în separarea calculelor asupra datelor cu indice par de cele cu indice impar. Această separare a operării asupra elementelor cu indice impar de cele cu indice par poate determina mărirea numărului de operații independente – deci care se pot executa în paralel – prin înlăturarea dependențelor care există între elementele consecutive. Este o tehnică care se aplică în special pentru algoritmi de sortare bazați pe operații de comparare-interschimbare, dar nu numai.

Exemplul 4.22 (Sortare par-impair) Considerând o secvență A de n numere dorim sortarea acesteia în ordine crescătoare. Sortarea par-impair folosește ca operație de bază *comparație-interschimbare* între două elemente succesive. (Este un algoritm derivat din algoritmul corespunzător metodei de sortare secvențială “Bubble-Sort”.)

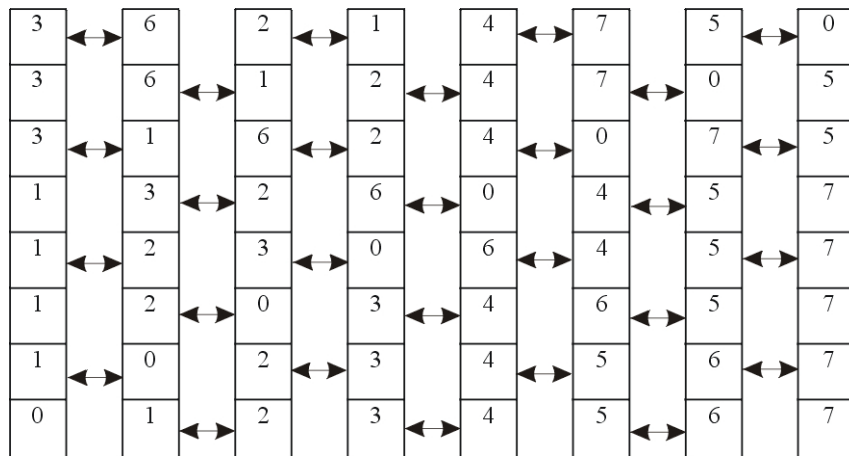


Figura 4.10: Sortare prin transpoziție par-impair.

La prima etapă, elementele cu indice par sunt comparate cu cele din dreapta lor, iar unde este necesar se fac și interschimbările corespunzătoare. La următoarea etapă, se compară elementele cu indice impar cu elementele din dreapta lor și se fac interschimbările necesare. Figura 4.10 evidențiază aceste etape.

Prin această separare între elementele cu indice par de cele cu indice impar, se asigură faptul că un element nu este folosit la o etapă în mai mult de o comparație și de asemenea

ALGORITHM SORTARE_PAR_IMPAR $\langle n, A[0..n-1] \rangle$

```

for  $k = 0, \lceil n/2 \rceil$  do
  { pas par }
  for  $i = 0, n-1, 2$  in parallel do
    if  $i+1 < n \wedge A[i] > A[i+1]$  then
       $A[i] \leftrightarrow A[i+1]$ ;
    end if
  end for
  { pas impar }
  for  $i = 1, n-1, 2$  in parallel do
    if  $i+1 < n \wedge A[i] > A[i+1]$  then
       $A[i] \leftrightarrow A[i+1]$ ;
    end if
  end for
end for

```

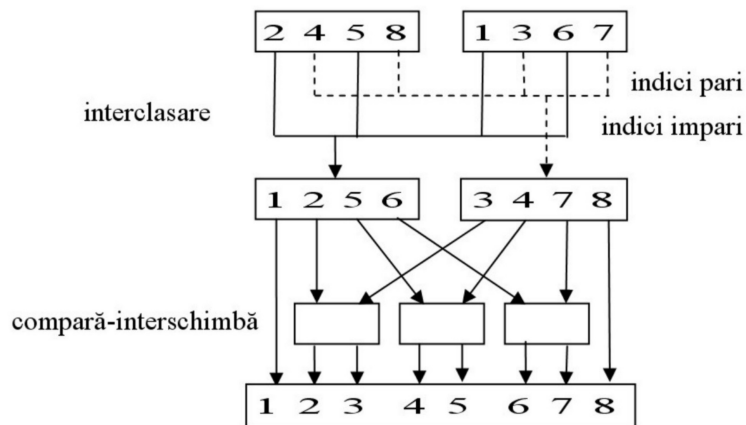


Figura 4.11: Interclasare par-impar a două liste sortate.

că, la fiecare etapă se fac numărul maxim de interschimbări posibile. La fiecare etapă formată din operații de comparare-interchimbare între elementele pare urmate de operații de comparare-interchimbare între elementele impare (pas par urmat de pas impar), un element “mare” se deplasează cu 2 poziții. Prin urmare după $n/2$ etape cu siguranță secvența va fi sortată. Fiecare etapă are complexitatea-timp egală cu 2 și prin urmare complexitatea-timp de sortare este $O(n)$.

Exemplul 4.23 (Sortare prin interclasare par-impar) Tehnica par-impar poate fi folosită și pentru a îmbunătăți algoritmul paralel de sortare prin interclasare descris în Exemplul 4.11. Interclasarea care este necesară pentru combinarea a două subsecvențe ordonate se va face de această dată prin operații de comparare-interchimbare între elementele de pe pozițiile impare, respectiv între cele de pe pozițiile pare – Figura 4.11. Dacă interclasăm elementele cu indicii impari din cele două secvențe simultan cu interclasarea elementelor cu indicii pari, obținem două secvențe ordonate care pot fi apoi combinate prin operații de interschimbare executate simultan. În acest mod, timpul necesar interclasării devine logaritmice, iar complexitatea-timp a sortării prin metoda de interclasare par-impar devine $O(\log_2^2 n)$. Algoritmul de sortare prin interclasare par-impar a fost propus de către Batcher și reprezintă un algoritm de sortare paralelă eficient din punct de vedere al costului.

Exemplul 4.24 (Rezolvarea unei ecuații diferențiale prin metoda iterativă Gauss-Siedel) Criteriul par-impar se poate extinde și la cazul bidimensional, caz în care considerăm vecinii direcți ai unui punct, separați în două submulțimi distincte. Un exemplu elocvent este algoritmul Rosu-Negru folosit pentru aproximarea soluției unei ecuații diferențiale în plan.

Fie ecuația Poisson

$$\frac{\partial^2 u}{\partial x^2} + \frac{\partial^2 u}{\partial y^2} = a,$$

și condiția de mărginire $u(x, y) = u_0(x, y)$ pe o curbă C .

Dacă considerăm regiunea de derivare divizată în dreptunghiuri de dimensiune $\partial x = h$ și $\partial y = k$ și reprezentăm coordonatele grilei prin $x = ih$ și $y = jk$, atunci se pot face următoarele aproximări:

$$\frac{\partial^2 u}{\partial x^2} = \frac{u_{i+1j} - 2u_{ij} + u_{i-1j}}{h^2},$$

unde $u_{ij} = u(ih, jk)$, iar

$$\frac{\partial^2 u}{\partial y^2} = \frac{u_{ij+1} - 2u_{ij} + u_{ij-1}}{h^2}.$$

Dacă $h = k$, se obțin ecuațiile de aproximare cu diferențe finite pentru ecuația Poisson:

$$u_{ij} = \frac{1}{4}(u_{i-1j} + u_{i+1j} + u_{ij-1} + u_{ij+1} - a_{ij}).$$

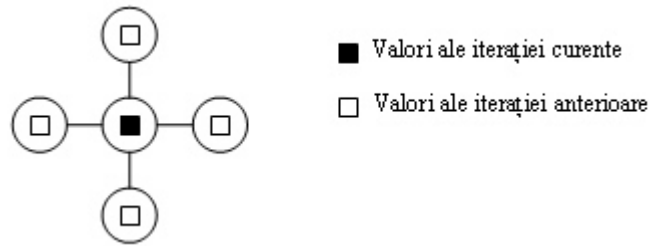


Figura 4.12: Actualizarea aproximărilor în metoda Jacobi.

Metoda Jacobi punctuală este definită de iterațiile

$$u_{ij}^{(p+1)} = \frac{1}{4}(u_{i-1j}^{(p)} + u_{i+1j}^{(p)} + u_{ij-1}^{(p)} + u_{ij+1}^{(p)} - a_{ij})$$

și se încadrează în problemele direct paralelizabile. Toate punctele pot fi actualizate simultan. Este necesară memorarea unei copii a situației anterioare a grilei.

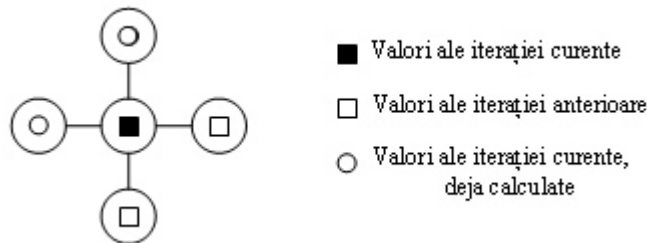


Figura 4.13: Actualizarea aproximărilor în metoda Gauss-Seidel.

În procesul iterativ se actualizează numai punctele interioare grilei. Condițiile de frontieră sunt în principiu de două tipuri:

- Se specifică valorile funcției $u(x, y)$ pe frontiera domeniului de integrare (problema Dirichlet).
- Se specifică valorile derivatelor funcției $u(x, y)$ pe frontiera domeniului de integrare (problema Neumann).

Ambele pot fi tratate prin alegerea unor coeficienți specifici pentru exprimarea lui $u_{ij}^{(p)}$.

O extensie naturală a metodei Jacobi este algoritmul Gauss-Seidel, care utilizează cele mai recente valori calculate pentru u , din partea dreaptă a punctului curent al grilei. Avantajul față de metoda anterioară constă în faptul că nu mai este necesar să se stocheze ultima valoare a lui u_{ij} și se ajunge și la o convergență mai rapidă. Iterația în cazul

Gauss-Seidel este definită prin

$$u_{ij}^{(p+1)} = \frac{1}{4}(u_{ij-1}^{(p+1)} + u_{i-1j}^{(p+1)} + u_{ij+1}^{(p)} + u_{i+1j}^{(p)} - a_{ij}).$$

1	2	3	4	5	6	7	
2	3	4	5	6	7		
3	4	5	6	7			
4	5	6	7				
5	6	7					
6	7						
7							

Figura 4.14: Avansarea frontului de aproximări în metoda Gauss-Seidel.

Metoda presupune o anumită ordine și un front diagonal de lucru, precum se arată în Figura 4.14. La primul pas, punctul 1 este actualizat pe baza condițiilor de marginire și estimărilor inițiale pentru punctele 2. La pasul doi, punctele 2 sunt actualizate simultan utilizând estimările punctelor 3 și valoarea calculată pentru punctul 1. La al treilea pas, punctele 3 sunt actualizate și simultan se poate actualiza punctul 1 a doua oară, deoarece informația despre această aproximare nu mai este necesară. Prima iterație evoluează ca un val în grilă, iar următoarele valuri sunt iterațiile care o succed.

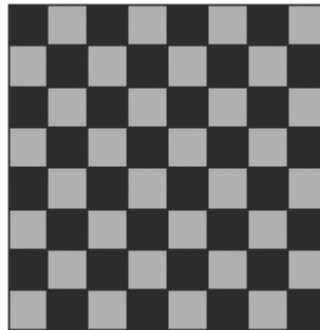


Figura 4.15: Colorarea grilei de noduri în cazul metodei roșu-negru.

Se preferă ca în loc să existe mai multe niveluri în curs de calculare, să se opereze doar la două niveluri – *metoda roșu-negru*. Pentru aceasta se consideră nodurile a fi colorate în roșu și negru. Așa cum se observă în Figura 4.15, colorarea se face alternativ, începând

cu prima linie, de la stânga la dreapta. Punctele negre se vor actualiza primele, utilizând punctele roșii anterioare, iar punctele roșii sunt actualizate folosind ultimele valori din nodurile negre.

```

ALGORITHM ROSU_NEGRU <  $n, A[0..n-1][0..n-1], U[0..n-1][0..n-1]$  >
  for  $i = 1, n - 2$  in parallel do
    for  $j = 1, n - 2$  in parallel do
      if  $(i + j) \% 2 = 0$  then
         $u[i][j] = (u[i - 1][j] + u[i + 1][j] + u[i][j - 1] + u[i][j + 1] - a[i][j]) / 4;$ 
      end if
    end for
  end for
  for  $i = 1, n - 2$  in parallel do
    for  $j = 1, n - 2$  in parallel do
      if  $(i + j) \% 2 \neq 0$  then
         $u[i][j] = (u[i - 1][j] + u[i + 1][j] + u[i][j - 1] + u[i][j + 1] - a[i][j]) / 4;$ 
      end if
    end for
  end for

```

Punctele negre sunt actualizate la un nivel de iterare, iar punctele roșii la următorul nivel de iterare. După o iterație, punctele negre sunt la nivelul 1 de iterație ca și în cazul metodei Jacobi, iar punctele roșii au fost deja actualizate și sunt la nivelul 2. La o iterație, metoda Jacobi actualizează toate punctele, iar algoritmul roșu și negru doar jumătate. Astfel pentru o matrice de $n \times n$ procesoare, o problemă de dimensiune $2n \times n$ poate fi rezolvată utilizând metoda Gauss-Siedel în același timp în care o problemă de dimensiune $n \times n$ poate fi rezolvată prin metoda Jacobi.

4.10 Prefix paralel – Scan

Fie o secvență S de n elemente și un operator asociativ \oplus definit pe tipul acestor elemente. Operația prefix calculează toate “sumele” de forma $S'_i = s_1 \oplus s_2 \oplus \dots \oplus s_i$, pentru $1 \leq i \leq n$. Calculul secvențial al acestei operații este redat de rețeaua de calcul din Figura 4.16.

Operația *prefix* este folosită în multe aplicații și de aceea analiza paralelizării ei este importantă, ea constituind un șablon (“skeleton”) care se aplică în foarte multe aplicații. Operatorul \oplus poate fi orice operator asociativ: plus, ori, minim, maxim, etc. Un exemplu foarte simplu, care folosește acest tip de calcul este calcularea factorialelor $1!, 2!, 3!, \dots, n!$.

Acest calcul este atât de mult folosit încât s-a propus chiar includerea lui ca o primitivă în modelele PRAM [21]. Există foarte multe probleme în care această operație poate fi folosită; enumerăm aici doar câteva dintre acestea: sortare, interclasare, arbore de acoperire, componente conexe, flux maxim, rezolvare de sisteme liniare.

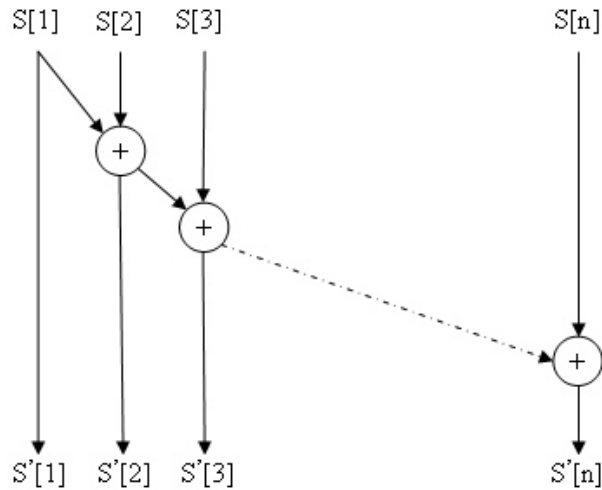


Figura 4.16: Rețeaua de calcul secvențial pentru sumele prefix.

Fiind un calcul atât de des întâlnit, s-au dezvoltat mai multe variante de paralelizare, în încercarea de a se obține o eficiență cât mai mare. Vom prezenta aici trei dintre acestea: *sus-jos*, *par-impair* și cea elaborată de *Ladner* și *Fisher*. O altă variantă este derivată formal și descrisă în Capitolul 6, Secțiunea 6.3.1. Pentru toate variantele care vor fi prezentate în continuare, argumentul de intrare este secvența inițială de elemente – $S[i], 1 \leq i \leq n$, iar în final această secvență va conține sumele prefix S'_1, \dots, S'_n .

Prefix sus-jos (“upper-lower”)

Acest algoritm se bazează pe tehnica *divide&impera*, la fiecare pas secvența inițială de numere fiind împărțită în două subsecvențe de lungimi (aproximativ) egale. Divizarea se continuă până se ajunge la secvențe cu cel mult 2 elemente. Pasul de combinare impune adunarea ultimului element al primei secvențe (cea din stânga) la toate elementele secvenței a doua (cea din dreapta). Rețeaua de calcul corespunzătoare pentru $n = 8$ este redată în Figura 4.17. Complexitatea-timp obținută este de $\lceil \log_2 n \rceil$, considerând o complexitate procesor de $n/2$. Numărul total de operații efectuat de algoritm este $n/2(\log_2 n)$.

Subalgoritmul PREFIX_PARALEL_UL se apelează inițial cu $a = 1$ și $b = n$.

Prefix impar-par (“odd-even”)

Și această variantă se bazează pe tehnica *divide&impera*, care este însă combinată cu tehnica impar-par. La fiecare etapă (cu excepția cazurilor în care subsecvențele au lungimea egală sau mai mică decât 4) calculele se împart în două subetape, una corespunzătoare indicilor pari și cea de-a doua corespunzătoare indicilor impari.

Algoritmul constă în aplicarea următorilor pași:

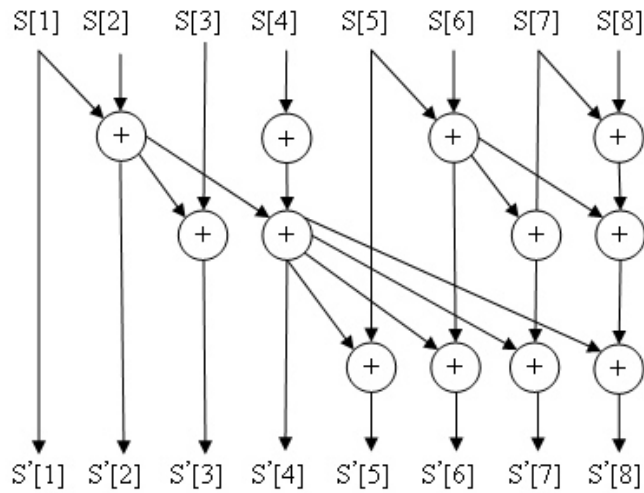


Figura 4.17: Rețeaua de calcul folosind algoritmul prefix sus-jos pentru o secvență de 8 elemente.

PROCEDURE PREFIX_PARALEL_UL(S, a, b)

if $b - a = 1$ **then**

$S[b] \leftarrow S[a] \oplus S[b];$

else

if $b - a = 0;$ **then**

skip;

else

in parallel

PREFIX_PARALEL_UL($S, a, \lfloor (b - a)/2 \rfloor$);

PREFIX_PARALEL_UL($S, \lfloor (b - a)/2 \rfloor + 1, b$);

end in parallel

for $i = \lfloor (b - a)/2 \rfloor + 1, b$ **in parallel do**

$S[i] \leftarrow S[\lfloor (b - a)/2 \rfloor] \oplus S[i];$

end for

end if

end if

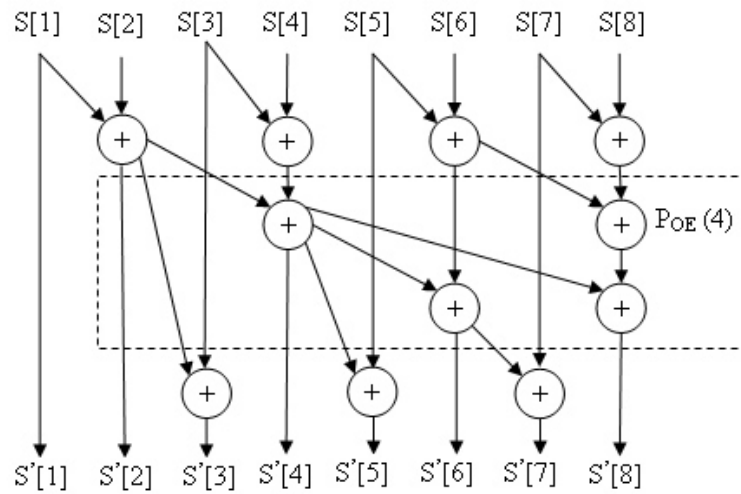


Figura 4.18: Rețeaua de calcul folosind algoritmul prefix impar-par pentru o secvență de 8 elemente.

```
PROCEDURE PREFIX_PARALEL_OE( $S, a, b, pas$ )
```

```
  if  $b - a < 4$  then
```

```
    PREFIX_PARALEL_UL( $S, a, b$ );
```

```
  else
```

```
    for  $i \leftarrow a + 2^{pas-1}, b, 2^{pas}$  in parallel do
```

```
       $S[i] \leftarrow S[i] \oplus S[i - 2^{pas-1}]$ ;
```

```
    end for
```

```
    PREFIX_PARALEL_OE( $S, a + 2^{pas-1}, b, pas * 2$ );
```

```
    for  $i = a + 2^{pas}, b, 2^{pas}$  in parallel do
```

```
       $S[i] \leftarrow S[i - 2^{pas-1}] \oplus S[i]$ ;
```

```
    end for
```

```
  end if
```

- Împarte secvența în două subsecvențe – una formată din indicii impari, iar cealaltă formată din indicii pari.
- Combină elementele impare cu elementele pare imediat următoare.
- Apelează operația prefix pentru subsecvența formată din noile elemente de pe pozițiile pare.
- Combină elementele nou rezultate de pe pozițiile pare cu următoarele elemente de pe poziții impare.

În cazul unei secvențe de $n = 8$ elemente, se obține rețeaua de calcul din Figura 4.18. În acest fel, complexitatea-timp crește, dar calculele pot fi efectuate cu ajutorul a mai puține procesoare. Pentru $n = 4$ sau mai mic se folosește tehnica anterioară.

Complexitatea-timp este $2 \log_2 n - 2$, folosind tot $n/2$ procesoare. Algoritmul are avantajul că face mai puține calcule (în total $2n - \log_2 n - 2$ față de $n/2 \log_2 n$) și așadar se poate obține o complexitate foarte bună cu mai puține procesoare.

Subalgoritmul PREFIX_PARALEL_OE se apelează inițial cu $a = 1$, $b = n$ și $pas = 1$.

Prefix Ladner-Fisher

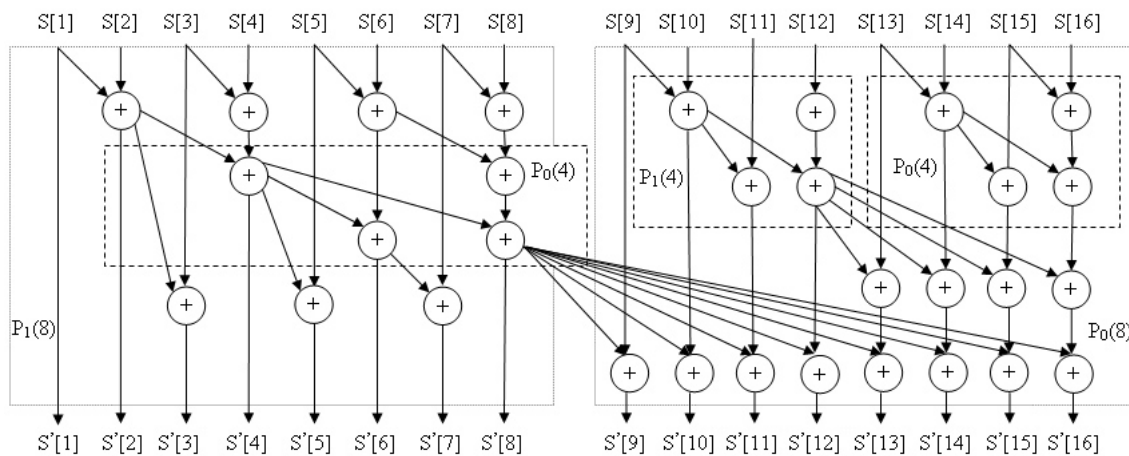


Figura 4.19: Rețeaua de calcul folosind algoritmul prefix Ladner-Fisher pentru o secvență de 16 elemente.

Algoritmul următor a fost propus de R.E Ladner și M.J Fisher și are avantajul unei complexități foarte bune, cu un număr total de operații scăzut [103]. Aceasta conduce la o eficiență foarte bună și în cazul folosirii unui număr mai mic de procesoare. Varianta aceasta combină cele două de mai înainte.

Se poate face o generalizare prin care se definește o clasă de algoritmi $P_j(n)$, pentru suma prefix. Acești algoritmi se definesc astfel:

- Pentru $j \geq 1$, $P_j(n)$ este definit de construcția impar-par (“odd-even”) folosind $P_{j-1}(\lceil n/2 \rceil)$.
- $P_0(n)$ se construiește pe baza combinării lui $P_1(\lceil n/2 \rceil)$ cu $P_0(\lceil n/2 \rceil)$ folosind construcția sus-jos (“upper-lower”).

```
PROCEDURE PREFIX_PARALEL_LF( $S, a, b$ )
```

```
  if  $b - a < 4$  then
```

```
    PREFIX_PARALEL_UL( $S, a, b$ );
```

```
  else
```

```
    do in parallel
```

```
      PREFIX_PARALEL_OE( $S, a, \lfloor (b - a)/2 \rfloor, 1$ ),
```

```
      PREFIX_PARALEL_UL( $S, \lfloor (b - a)/2 \rfloor + 1, b$ )
```

```
    end do
```

```
    for  $i = \lfloor (b - a)/2 \rfloor + 1, b$  in parallel do
```

```
       $S[i] \leftarrow S[\lfloor (b - a)/2 \rfloor] \oplus S[i]$ ;
```

```
    end for
```

```
  end if
```

Vom examina aici doar construcția fundamentală care folosește $P_0(n)$ și $P_1(n)$. În esență, construcția impar-par se folosește pentru a construi $P_1(n)$ din $P_0(\lceil n/2 \rceil)$, iar construcția sus-jos este folosită pentru a defini $P_0(n)$ în funcție de $P_1(\lceil n/2 \rceil)$ și $P_0(\lceil n/2 \rceil)$.

Pentru o secvență de 8 elemente construcția este echivalentă cu cea din cazul sus-jos deoarece pentru 4 elemente construcțiile sus-jos și impar-par sunt echivalente. Pentru o secvență de 16 elemente rețeaua de calcul este dată în Figura 4.19.

Adâncimea rețelei de calcul rămâne egală cu $\lceil \log_2 n \rceil$ deoarece pasul de combinare al construcției sus-jos poate începe înainte de finalizarea calculului prefixului obținut prin construcția impar-par. Acest lucru este posibil datorită faptului că în cazul construcției impar-par, ultimul element este calculat cu un pas înainte de finalizarea calculului.

Algoritmul PREFIX_PARALEL_LF prezentat este dat doar pentru a sugera mai clar soluția; pentru a se obține complexitatea logaritmică însă, el trebuie transformat astfel încât ultima instrucțiune de ciclare **for** să înceapă execuția cu un pas înainte ca subalgoritmul PREFIX_PARALEL_OE să își finalizeze execuția. Aceasta ar conduce la înlocuirea apelului subalgoritmilor cu codul lor și execuția în paralel corespunzătoare.

Complexitatea-timp este la fel de bună ca și în cazul primei variante și este de $\lceil \log_2 n \rceil$, dar are avantajul obținerii unei eficiențe foarte bune și în cazul folosirii a mai puține procesoare. (Numărul total de operații este $S_0(2^k) = 4(2^k) - F(2-k) - 2F(3+k)$, $S_1(2^k) = 3(2^k) - F(1+k) - 2F(2+k)$, unde $F(k)$ este al k -lea element al șirului Fibonacci.)

Numele original al acestei operații a fost *scan*. Ladner și Fisher au introdus termenul de operație *prefix paralel*. Operația prefix a fost introdusă de către Iverson ca operație

pentru limbajul APL [91]. O implementare a acestei operații pe o rețea amestecare perfectă a fost sugerată apoi de către Stone [160] pentru a fi folosită la evaluarea polinoamelor. Ladner și Fisher au prezentat prima dată un circuit eficient pentru implementarea operațiilor prefix [103]. Wyllie a arătat cum poate fi executată această operație pe o listă înlănțuită folosind modelul P-RAM [175]. Prefixul paralel a fost studiat și performanțele implementării lui îmbunătățite și de Schwartz [153], Mago [114], Fich [58], Lubachevsky și Greenberg [113].

4.11 Branch-and-Bound

Există multe probleme care sunt rezolvate prin căutari într-un spațiu foarte mare de soluții posibile. Exemple de acest tip sunt: problema comis voiajorului, a celor n regine, a proiectării VLSI, proces care presupune atingerea unui optim în plasarea circuitelor și traseelor electrice.

Metoda “Branch-and-Bound” construiește soluția pas cu pas, evaluând de fiecare dată soluția parțială obținută. Se parcurge un arbore numit arbore de căutare “*search-tree*”. Rădăcina corespunde soluției inițiale, iar fiecare nod neterminal reprezintă o descompunere.

Un algoritm de tip Branch-and-Bound este caracterizat de:

- cum se construiește marginea inferioară pentru valoarea optimă;
- cum sunt generate sub-problemele – regula de ramnificare;
- cum sunt alese sub-problemele pentru continuare – regula de selecție;
- cum sunt eliminate cazurile fără speranță – regula de eliminare;
- cum se termină algoritmul.

O posibilă descriere a metodei Branch-and-Bound este următoarea:

Considerăm problema de optimizare P caracterizată de o mulțime de soluții posibile $S(P)$ și de o funcție $v : S(P) \rightarrow R$. Mulțimea soluție a problemei $S(P)$ conține toate elementele din $S(P)$ pentru care valoarea funcției v este optimă. Considerăm $L(P)$ tehnica de construcție a marginii inferioare. Notăm cu UB un element din $S(P)$ care reprezintă optimul la un moment dat. O *subproblemă activă* este o subproblemă generată care nu a fost eliminată. La fiecare etapă a calculului există o *mulțime activă* care conține toate subproblemele active și care este gestionată ca și o coada Q . Următorii pași descriu fazele importante ale algoritmului:

1. **Inițializare.** P este trecută în coada Q . Se setează $UB = \emptyset$, iar $v(\emptyset) = \infty$.
2. **Terminare.** Dacă Q este vidă atunci UB este soluția căutată.
3. **Selecție.** Se alege o problemă \bar{P} din Q .
4. **Mărginire inferioară.** Dacă $L(\bar{P})$ nu este mai mică decât $v(UB)$ atunci se renunță la \bar{P} și se revine la pasul (2).

5. **Ramnificare.** Se crează noi subprobleme $\overline{P}_1, \overline{P}_2, \dots, \overline{P}_k$ din problema \overline{P} astfel încât $S(\overline{P}_1) \cup S(\overline{P}_2) \cup \dots \cup S(\overline{P}_k)$ conține $S(\overline{P})$.

Paralelizarea metodei Branch-and-Bound se poate face în două moduri diferite:

- la nivelul calculului unei soluții: procesoarele cooperează pentru dezvoltarea unui singur nod al arborelui de căutare;
- la nivel algoritmic înalt, când sunt explorate simultan mai multe soluții posibile; în acest caz comunicarea între procese este mai scăzută datorită independenței subproblemelor.

Mai concret operațiile care pot fi paralelizate sunt:

- Calcularea marginii inferioare: paralelismul poate fi introdus și la acest nivel dacă calcularea acestei margini este laborioasă astfel încât să justifice paralelismul.
- Selecția: La anumite etape ale execuției, numărul de subprobleme active poate ajunge foarte mare. Prin urmare, selecția unei probleme și extragerea ei din mulțimea activă poate implica un volum mare de calcul.
- Eliminarea: Testarea directă $L(\overline{P}) < v(UB)$ este imediată, dar aplicarea unor teste care să verifice dacă o subproblemă poate produce o soluție fiabilă poate fi dificilă și laborioasă.
- Ramnificarea: Alegerea mai multor subprobleme simultan.

Alte tehnici specifice și programării secvențiale pot fi folosite cu succes în dezvoltarea programelor paralele. *Programarea structurată* are un rol deosebit și în programarea paralelă, regulile ei rămânând la fel de importante și în cazul programării paralele. Recursivitatea poate de asemenea permite derivarea simplă de programe paralele. Metoda *divide&impera*, analizată anterior este implementată de cele mai multe ori pe baza recursivității.

4.12 Adaptarea algoritmilor paraleli

Proiectarea algoritmilor paraleli se face în prima fază considerând că există un număr nelimitat de procesoare și deci pot fi construite oricâte procese de calcul. Algoritmii trebuie adaptați pentru a satisface cerințele sistemelor de calcul pe care vor urma a fi implementați: adaptarea în funcție de numărul de procesoare și în funcție de granularitatea sistemului.

Această adaptare a programelor paralele dezvoltate plecând de la premiza unui număr nelimitat de procesoare este necesară pentru implementarea lor și în plus poate conduce la reducerea costului, existând posibilitatea obținerii unor algoritmi optimali din punct de vedere al costului.

Transformarea algoritmului la cerințele unui paralelism limitat poate fi făcută fie prin păstrarea componentelor de calcul depistate și asignarea mai multor componente unui singur procesor, fie printr-o modificare consistentă a lor.

Conform principiului lui Brent, pentru o problemă de dimensiune n micșorarea numărului de procesoare de la p la q , $q < p$ prin asignarea mai multor componente de calcul unui element de procesare conduce la următoarea modificare a timpului paralel de execuție: $T_q(n) = T_p(n) \lceil \frac{p}{q} \rceil$. Un procesor poate să execute concurrent mai multe componente de calcul prin multiprogramare. În acest caz nu are loc un paralelism veritabil, ci mai degrabă unul virtual. Această variantă se folosește în special în cazurile în care partiționarea s-a făcut prin descompunere funcțională. Operațiile/funcționalitățile independente, descoperite, pot fi executate pe același procesor folosindu-se multiprogramarea.

Dacă se folosește descompunerea domeniului de date, atunci se poate ajunge la granularitatea dorită prin reproiectarea algoritmului plecând de la premiza că există doar un număr p de procesoare, care devine un parametru al algoritmului. Partiționarea datelor se face în p blocuri (distribuție inițială a datelor). Este posibil ca algoritmul nou obținut să difere destul de mult de algoritmul derivat inițial plecând de la premiza unui paralelism nelimitat. Apar noi operații necesare, cum ar fi, de exemplu, cele de compunere a datelor locale.

Pentru exemplificare, prezentăm două exemple de adaptare a algoritmilor paraleli pentru suma a n numere și pentru sortarea par-impair.

Exemplul 4.25 (Suma a n numere cu p procese) Pentru a obține un algoritm de însumare a n numere folosind doar $p \ll n$, $p|n$ (n se divide exact cu p) procese, putem să aplicăm divizarea secvenței inițiale în subsecvențe.

ALGORITHM SUMA-P $\langle A[0..n-1], n = p * k, p \rangle$

```

for  $i = 0$  to  $p - 1$  in parallel do
  for  $j = 0$  to  $n/p - 1$  do
     $A[i * n/p] \leftarrow A[i * n/p] + A[i * n/p + j];$ 
  end for
end for
for  $k = 1$  to  $\lceil \log_2 p \rceil$  do
  for  $i = 0, p - 1$  in parallel do
    if  $(i \% 2^k = 0 \wedge i + 2^{k-1} < p)$  then
       $A[i * n/p] \leftarrow A[i * n/p] + A[(i + 2^{k-1}) * n/p];$ 
    end if
  end for
end for

```

Șirul inițial se împarte în p grupuri a câte n/p elemente. Astfel, inițial procesul i , $0 \leq i < p$ va aduna elementele $A[i * n/p], A[i * n/p + 1], \dots, A[i * n/p + n/p - 1]$, iar suma este depusă în locația elementului $A[i * n/p]$. În faza a doua se realizează calculul specificat

de prima variantă a algoritmului, dar pentru p procese. În acest caz complexitatea-timp este egală cu $O(n/p + \log_2 p)$; costul este $n + p \log_2 p$, iar dacă $p \log_2 p = O(n)$ atunci avem un algoritm optim.

Exemplul 4.26 (Sortarea par-impair cu subsecvențe) Un alt exemplu, pentru care adaptarea la un număr p de procese duce la modificarea consistentă a algoritmului inițial, este sortarea par-impair. Algoritm rezultat este o combinație între algoritmul de sortare par-impair inițial, interclasarea a două secvențe sortate și algoritmul quicksort secvențial folosit pentru sortarea subsecvențelor locale fiecărui proces. Secvența inițială de numere A este împărțită în p subsecvențe care se sortează folosind quicksort; în locul operației de comparare-interschimbare folosită de algoritmul par-impair se va folosi interclasarea a două subsecvențe sortate urmată de divizarea rezultatului – ALGORITHM PAR_IMPARI-P.

ALGORITHM PAR_IMPARI-P < $A[0..p-1], n, p$ >

```

for  $i = 0, p - 1$  in parallel do
    QUICKSORT ( $A_i$ );
end for
for  $i = 0, (p - 1)/2$  do
    {pas par}
    for  $i = 0, p - 1, 2$  in parallel do
        INTERCLASARE( $A_i, A_{i+1}, B$ );
         $A_i \leftarrow \{b_0, b_1, \dots, b_{n/p-1}\}$ ;
         $A_{i+1} \leftarrow \{b_{n/p}, b_{n/p+1}, \dots, b_{2n/p-1}\}$ ;
    end for
    {pas impar}
    for  $i = 1, p - 1, 2$  in parallel do
        INTERCLASARE ( $A_i, A_{i+1}, B$ );
         $A_i \leftarrow \{b_0, b_1, \dots, b_{n/p-1}\}$ ;
         $A_{i+1} \leftarrow \{b_{n/p}, b_{n/p+1}, \dots, b_{2n/p-1}\}$ ;
    end for
end for

```

Algoritmul QUICKSORT poate fi înlocuit de orice alt algoritm secvențial de sortare. Sortarea folosind quicksort este de preferat datorită complexității reduse.

Complexitatea-timp în acest caz este $T_p \cdot n = O(n/p \log_2(n/p) + p * (n/p))$; sortarea subsecvențelor locale folosind quicksort are complexitatea $O(n/p \log_2(n/p))$, iar interclasarea a două subsecvențe de lungime n/p are complexitatea $O(n/p)$.

Prin această parametrizare a algoritmilor în funcție de numărul de procese, se poate ajunge la algoritmi optimi din punct de vedere al costului. Costul algoritmului de sortare par-impair cu subsecvențe este $C_p \cdot n = p * T_p \cdot n = O(n \log_2(n/p) + np)$. Prin urmare, dacă $p \leq \log_2 n$ atunci algoritmul este optim din punct de vedere al costului.

Adaptarea algoritmilor se poate face și în funcție de tipul de rețea de interconectare, care se dorește a fi folosit sau care se dovedește a fi cel mai potrivit pentru algoritmul respectiv.

Exemplul 4.27 (Quicksort pe hipercub) Considerăm sortarea rapidă a n elemente pe un hipercub cu p noduri ($p \ll n$). Fiecare procesor deține $m = n/p$ elemente din secvența inițială A . Cele p procesoare vor coopera la partiționarea secvenței A în două, apoi câte $p/2$ procesoare vor lucra pe fiecare din secvențele rezultate ș.a.m.d. până când fiecare procesor va trebui să sorteze secvențial secvența pe care o deține. Datorită faptului că numărul de procesoare se împarte mereu la 2 este necesară alegerea pivotului astfel încât subsecvențele rezultate să fie de dimensiuni cât mai apropiate. Este evident că cea mai bună alegere este chiar mediana secvenței A ; din păcate calculul exact al medianei e destul de costisitor și prin urmare va trebui calculată o aproximantă a ei.

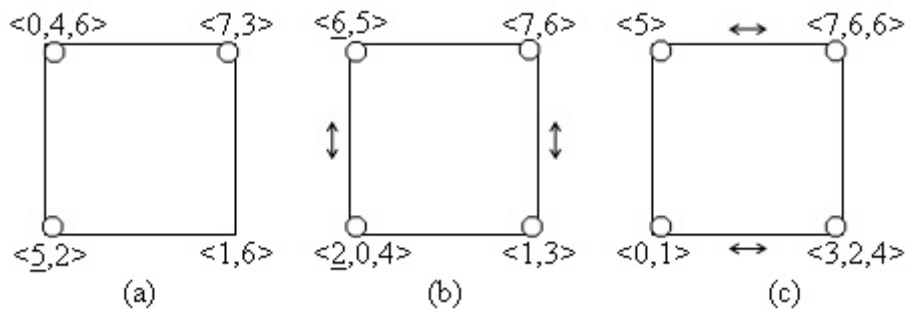


Figura 4.20: Sortarea rapidă pe un hipercub cu 4 procesoare: (a) situația inițială; (b) situația după comunicația pe direcția 1; (c) situația după comunicația pe direcția 0.

Pe un hipercub cu $p = 2^d$, acest mod de operare se poate pune ușor în practică. Presupunem că procesorul P_0 alege pivotul v dintre elementele sale locale și îl transmite tuturor. Fiecare procesor partiționează secvența proprie: $\bar{A} = \langle \bar{A}_0, \bar{A}_1 \rangle$ astfel încât $\bar{A}_0 < v \leq \bar{A}_1$. Apoi toate procesoarele vecine pe direcția $d-1$ (care au diferit doar primul bit al reprezentării binare a adresei; pentru P_k acest bit este notat k_{d-1}) schimbă între ele câte o secvență, astfel încât secvențele mai “mici” \bar{A}_0 să ajungă în jumătatea inferioară a hipercubului (unde $k_{d-1} = 0$), iar cele mai “mari” \bar{A}_1 în jumătatea superioară (unde $k_{d-1} = 1$). Astfel procesoarele P_i , cu $0 \leq i \leq p/2 - 1$, dețin elemente mai mici decât pivotul și deci mai mici decât cele ale oricărui procesor P_j , cu $p/2 \leq j \leq p - 1$. În continuare, totul se repetă în cele două subhipercuburi ($H_d^{d-1}(0)$, jumătatea inferioară și $H_d^{d-1}(1)$, jumătatea superioară), în paralel; se comunică pe direcția $d-2$ de această dată. Se procedează similar mai departe, la fiecare iterație comunicându-se pe direcția imediat inferioară, până la direcția 0. În final sunt p grupuri formate dintr-un singur procesor, moment în care se sortează local secvențele existente în fiecare procesor.

Figura 4.20 ilustrează algoritmul pentru cazul $p = 4$ și $n = 8$. Elementele pivot sunt subliniate.

```

ALGORITHM QUICKSORT_H <  $p = 2^d \ll n, id = k$  >
  for  $l = d - 1, 0, -1$  do
    if (<ultimii  $l + 1$  biți din  $k$  sunt egali cu 0>) then
      <alege pivotul  $v$  dintre elementele locale>;
      broadcast  $v$  în  $H_d^{l+1}(k)$ ;
    end if
    <partiționează  $\bar{A} = \langle \bar{A}_0, \bar{A}_1 \rangle, \bar{A}_0 < v \leq \bar{A}_1$ >;
    if  $k_l = 0$  then
      {  $P_k$  este în subhipercubul inferior }
      in parallel
        send( $\bar{A}_1, l$ ),
        recv( $X, l$ )
      end in parallel
       $\bar{A} = \langle \bar{A}_0, X \rangle$ ; { concatenare }
    else
      {  $k_l = 1$  subhipercubul superior }
      in parallel
        send( $\bar{A}_0, l$ ),
        recv( $X, l$ )
      end in parallel
       $\bar{A} = \langle \bar{A}_1, X \rangle$ ; { concatenare }
    end if
  end for
  <sortează secvența proprie  $\bar{A}$ >;

```

Complexitatea-timp poate fi aproximată în ipoteza unei încărcări echilibrate (fiecare procesor are în permanență aproximativ n/p elemente):

$$T(n, p) = \frac{n}{p} (\log \frac{n}{p}) + \sum_{i=0}^{d-1} \left[\frac{n}{p} + \left(1 + \frac{n}{2p} \alpha\right) \right] = \frac{n}{p} (\log n) + \left(1 + \frac{n}{2p} \alpha\right) \log p,$$

unde α reprezintă raportul dintre timpul necesar unei operație de comunicație și timpul necesar unei operații de comparare.

Primul termen reprezintă complexitatea sortării locale, iar în sumă, $\frac{n}{p}$ este numărul de comparații necesare partiționării, iar celălalt termen corespunde comunicației; s-a neglijat timpul de difuzare (broadcast), aceasta făcându-se în paralel pe hipercuburi din ce în ce mai mici.

Algoritmul poate crea totuși anumite probleme în practică: de exemplu, dacă P_0 alege un pivot care este cel mai mic element al său, care poate fi întâmplător mai mic și decât oricare element în $P_{2^{d-1}}$, după prima iterație P_0 rămâne fără nici un element, deci nu mai poate să aleagă un pivot.

Hyperquicksort. O variantă mult mai stabilă numită hyperquicksort a fost propusă de către Wager [169]. În această variantă fiecare procesor începe prin a-și sorta propria

```

ALGORITHM HYPERQUICKSORT <  $p = 2^d \ll n, id = k$  >
  < sortează secvența proprie  $\bar{A}$  >;
  for  $l = d - 1, 0, -1$  do
    if (<ultimii biți din  $k$  sunt egali cu 0>) then
      < alege mediana secvenței locale  $\bar{A}$  ca pivot  $v$  >;
      broadcast  $v$  în  $H_d^{l+1}(k)$ ;
    end if
    < partiționează  $\bar{A} = \langle \bar{A}_0, \bar{A}_1 \rangle, \bar{A}_0 < v \leq \bar{A}_1$  prin căutare binară >;
    if  $k_l = 0$  then
      {  $P_k$  este în subhipercubul inferior }
      in parallel
        send( $\bar{A}_1, l$ ),
        recv( $X, l$ )
      end in parallel
       $\bar{A} = \bar{A}_0 \bowtie X$ ; {  $\bowtie =$  interclasare }
    else
      {  $k_l = 1$  subhipercubul superior }
      in parallel
        send( $\bar{A}_0, l$ ),
        recv( $X, l$ )
      end in parallel
       $\bar{A} = \bar{A}_1 \bowtie X$ ; {  $\bowtie =$  interclasare }
    end if
  end for

```

secvență. Alegerea pivotului este acum imediată: P_0 alege elementul său median – deci mediana unui eșantion de n/p elemente, care este o bună aproximare a medianei secvenței A . Partiționarea este și ea mai simplă datorită faptului că avem o secvență sortată și prin urmare căutarea binară poate fi folosită. În urma comunicației subsecvențelor “mici” rezultă în fiecare procesor două subsecvențe ordonate care pot fi interclasate pentru a se obține o secvență sortată. Se continuă cu iterații similare cu cele descrise pentru algoritmul inițial.

Considerând din nou ipoteza unei încărcări echilibrate – care este mult mai probabilă

în acest caz – complexitatea-timp poate fi aproximată ca fiind

$$T(n, p) = \frac{n}{p} \left(\log \frac{n}{p} \right) + \sum_{i=0}^{d-1} \left[\log \frac{n}{p} + \frac{n}{p} + \left(1 + \frac{n}{2p} \alpha \right) \right] \approx \frac{n}{p} (\log n) + \left(1 + \frac{n}{2p} \alpha \right) \log p$$

În sumă există un termen în plus față de complexitatea primei variante, care este corespunzător căutării binare, egal cu $\log(n/p)$ și care se poate neglija. Parționarea unei secvențe neordonată de lungime n/p are aceeași complexitate cu interclasarea a două secvențe de dimensiune $n/(2p)$. Astfel, algoritmul hiperquicksort are aceeași complexitate în cazul cel mai favorabil ca și algoritmul inițial, dar o va atinge cu o mai mare probabilitate.

4.13 Șabloane de programare (Skeletons)

Șabloanele de calcul paralel au fost introduse cu scopul de a furniza o mulțime de abstractizări de nivel înalt care să furnizeze suport pentru cele mai folosite paradigme de programare paralelă. O paradigmă de programare poate fi definită ca fiind o clasă de algoritmi care rezolvă diferite probleme, dar care au aceeași structură de control [84]. Paradigmele de programare încapsulează în general informații atât despre date cât și despre structurile de comunicație. Un *șablon* corespunde unei paradigme de programare specifice și încapsulează primitivele de control și comunicație ale aplicației într-o singură abstractizare.

După determinarea componentelor care pot fi paralelizate și identificarea algoritmului corespunzător, este nevoie în general de foarte mult timp pentru dezvoltarea rutinelor de programare strâns legate de paradigmă și nu a celor specifice aplicației curente. Acest timp de dezvoltare poate fi mult redus cu ajutorul unui set de rutine de interacțiune și de șabloane.

Șabloanele ascund detaliile de implementare și permit programatorului să specifice calculul în termenii interfeței specifice paradigmei. Acest mod de programare – “*skeleton oriented programming*” (*SOP*) – a fost identificat ca fiind o soluție foarte promițătoare pentru impunerea programării paralele [36, 24, 45].

Șabloanele pot fi implementate pe diverse modele de calcul paralel: transmitere de mesaje, memorie partajată, orientare pe obiecte și furnizează un suport mărit pentru programarea paralelă.

De exemplu, operația de reducere (**reduce** ori **fold**) prin aplicarea unui operator asociativ asupra unui număr de n operanzi (de exemplu suma a n numere) poate fi implementată eficient folosind tehnica arborelui binar. Aceasta poate constitui un șablon de calcul paralel, care poate fi implementat atât bazat pe transmitere de mesaje cât și bazat pe memorie partajată. Având la dispoziție aceste șabloane, programatorul nu trebuie decât să precizeze operatorul, operanzii și eventual numărul de procese care se vor folosi.

Folosind aceste șabloane, o aplicație paralelă devine o secvență de apeluri a unor asemenea șabloane, eventual întretesute cu calcule locale.

Deoarece funcțiile de nivel înalt (funcționale) sunt specifice limbajelor funcționale, multe din abordările bazate pe șabloane folosesc asemenea limbaje funcționale. (Mai multe detalii vor fi discutate în Capitolul 7.) Totuși, și limbajele imperative au fost extinse prin implementarea de șabloane.

În funcție de tipul de paralelism folosit, șabloanele pot fi clasificate în șabloane ale paralelismului funcțional și șabloane ale paralelismului de date. În primul caz, un șablon creează în mod dinamic un sistem de procese care comunică între ele. Câteva exemple de acest tip sunt `pipe`, `farm`, `divide&impera`, `Branch-And-Bound`. În cel de-al doilea caz, un șablon lucrează pe o structură de date distribuită, aplicând aceeași operație pe câteva sau pe toate elementele structurii – `map`, `fold`, `scan`.

4.14 Câțiva algoritmi paraleli remarcabili

În acest capitol am descris câteva din cele mai folosite tehnici și paradigme care se folosesc pentru proiectarea algoritmilor paraleli. Aceste tehnici sunt foarte importante, ele putând constitui o bază de la care poate pleca analiza. În partea a doua a cărții vom prezenta modele formale care includ o metodologie de dezvoltare a softului paralel mai riguroasă, prin care se asigură o dezvoltare corectă și eficientă.

Aceste modele se dezvoltă pentru că nu ne putem baza mereu pe intuiție și ingenuozitate și de asemenea pentru că complexitatea programelor paralele poate crește într-atât încât să nu mai poată fi stăpânită fără ajutorul unor formalisme. Totuși, ingenuozitatea și intuiția pot duce la dezvoltarea unor algoritmi deosebit de performanți. În această secțiune vom prezenta câteva exemple de asemenea algoritmi, care au fost construiți nu bazat pe aplicarea unei tehnici anume, ci mai degrabă pe baza unor idei excepționale.

4.14.1 Sortare bitonică

Algoritmul de sortare bitonică este un exemplu tipic de algoritm paralel care nu se inspiră din cele secvențiale (având o complexitate secvențială mai mare decât $O(n \log n)$). El este datorat ca idee lui Batcher [14].

Definiții și proprietăți. Fie $A = \langle a_0, a_1, \dots, a_{n-1} \rangle$ secvența de ordonat. Pentru $i = 1, 2, \dots, n - 2$ vom spune că a_i este un *minim local* dacă a_{i-1} și a_{i+1} sunt amândouă mai mari decât a_i și că a_i este un *maxim local* dacă a_{i-1} și a_{i+1} sunt amândouă mai mici decât a_i . Secvența A este *unimodală* dacă are cel mult un element care este minim local sau maxim local și *bitonică* dacă se poate obține printr-o deplasare ciclică a elementelor unei secvențe unimodale.

Lema 4.1 (Batcher) Fie $A = \langle a_0, a_1, \dots, a_{2N-1} \rangle$ o secvență bitonică de lungime pară. Se definesc secvențele $m(A)$ și $M(A)$ astfel:

$$m(A) = \langle \min(a_0, a_N), \min(a_1, a_{N+1}), \dots, \min(a_{N-1}, a_{2N-1}) \rangle$$

$$M(A) = \langle \max(a_0, a_N), \max(a_1, a_{N+1}), \dots, \max(a_{N-1}, a_{2N-1}) \rangle .$$

Atunci secvențele $m(A)$ și $M(A)$ sunt bitonice și orice element din $m(A)$ este mai mic decât orice element din $M(A)$.

Demonstrația poate fi găsită în [14].

Ideea sortării bitonice. Algoritmul decurge în două etape. Mai întâi se transformă A într-o secvență bitonică și apoi aceasta este sortată folosind rezultatul lemei: se formează secvențele bitonice $m(A)$ și $M(A)$, după care se sortează $m(A)$ și $M(A)$, ceea ce poate fi făcut în paralel.

Pentru a rezolva prima etapă, se observă că din concatenarea unei secvențe descrescătoare cu una crescătoare se obține o secvență bitonică. Pornind de la o secvență de n elemente, aceasta poate fi privită ca o listă de $n/2$ secvențe de lungime 2, din care se poate construi o listă de $n/4$ secvențe de lungime 4, apoi o listă de $n/8$ secvențe de lungime 8, și așa mai departe până când se obține o secvență de lungime n . Pentru a transforma o listă de $n/2^i$ secvențe bitonice de lungime 2^i într-o listă de $n/2^{i+1}$ secvențe bitonice de lungime 2^{i+1} este suficient să se ordoneze secvențele de lungime 2^i alternativ descrescător și crescător, utilizând algoritmul de sortare al unei secvențe bitonice.

$$\begin{aligned} a_0 \leq a_1, a_2 \geq a_3, a_4 \leq a_5, a_6 \geq a_7, \dots \\ a_0 \leq a_1 \leq a_2 \leq a_3, a_4 \geq a_5 \geq a_6 \geq a_7, \dots \\ \dots \end{aligned}$$

Figura 4.21 prezintă comparațiile care se efectuează pentru sortarea bitonică a unei secvențe de lungime 8, sub forma unei rețele de sortare. O săgeată indică operația efectuată de un procesor: comparație urmată de o eventuală interschimbare; elementul mai mare va fi în poziția indicată de vârful săgeții. Se observă că permanent gradul paralelismului este $n/2$ (au loc $n/2$ comparații în paralel).

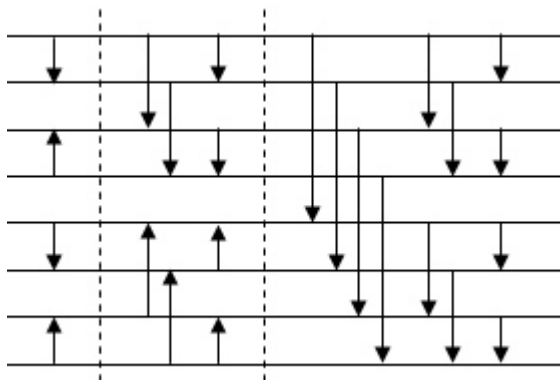


Figura 4.21: Sortarea bitonică pentru o secvență de $n = 8$ elemente.

Complexitatea algoritmului. Dacă $B(n)$ este numărul de comparații necesar pentru sortarea unei secvențe bitonice folosind $p = n/2$ procesoare, atunci $B(2^i) = i$ (din

lema lui Batcher). Atunci timpul de sortare a unei secvențe oarecare este:

$$T(n) = \sum_{i=1}^{\log p} B(2^i) = 1 + 2 + \dots + \log p = O(\log^2 p)$$

Costul algoritmului este deci $O(n \log^2 n)$; cum costul secvențial este de $O(n \log n)$, algoritmul este eficient.

Sortare bitonică pe rețea amestecare perfectă

Pe o arhitectură cu memorie distribuită, sortarea bitonică poate fi implementată eficient dacă se utilizează rețeaua de interconectare amestecare perfectă (Secțiunea 1.3.1). Această rețea are anumite proprietăți care o fac bine adaptabilă la acest algoritm de sortare [7].

Proprietatea 1. Dacă avem $n, n = 2^k$ termeni sub aplicația amestecării perfecte, ei se reîntorc în poziția inițială după k amestecări.

Proprietatea 2. Se consideră termenii datelor din perechile de procesoare a căror indici au reprezentările binare $b_{k-1}b_{k-2} \dots b_1b_0$ și $b'_{k-1}b'_{k-2} \dots b'_1b'_0$ care diferă numai în poziția $k - r$, unde $1 \leq r \leq k$. După r amestecări, acești termeni se vor găsi în procesoare adiacente. (Acest lucru se observă mai ușor dacă se consideră deplasarea ciclică a reprezentării binare.)

A doua proprietate se referă la datele așezate în perechi adiacente de procesoare: $(P_0, P_1), (P_2, P_3), \dots$. Indicii binari, pentru fiecare pereche, diferă doar la bitul cel mai din dreapta.

Considerăm sortarea bitonică pentru $n = 8$ – Figura 4.21, cu cele 8 intrări etichetate cu 000, 001, 010, 011, 100, 101, 110, 111. Orice pereche de etichete, corespunzătoare liniilor orizontale legate printr-o săgeată, diferă exact într-o singură poziție binară. Fie eticheta i cu reprezentarea binară $b_{k-1}b_{k-2} \dots b_1b_0$. Biții pivot pentru pașii succesivi ai sortării bitonice sunt după cum urmează:

$$\begin{aligned} 1 &: b_0 \\ 2 &: b_1, b_0 \\ 3 &: b_2, b_1, b_0 \\ &\dots \\ k &: b_{k-1}, \dots, b_1, b_0 \end{aligned}$$

Proprietățile amestecării perfecte ne indică faptul că putem implementa sortarea bitonică pentru sortarea secvenței A utilizând conexiunile din Figura 4.22 care derivă direct din reprezentarea grafică a rețelei amestecare perfectă reprezentată în Figura 1.12.

După o amestecare, fiecare comparator primește două numere din A , la care indicii diferă în poziția cea mai din stânga a reprezentării lor binare; fiecare amestecare care urmează va deplasa biții cu câte o poziție mai la dreapta. Pentru a implementa sortarea bitonică pe interconexiunea amestecării perfecte, secvența A trebuie deplasată de un număr de ori înaintea fiecărui pas, pentru a asigura faptul că bitul pivot la pasul s este b_{s-1} . Acest lucru se poate realiza conform următorilor pași:

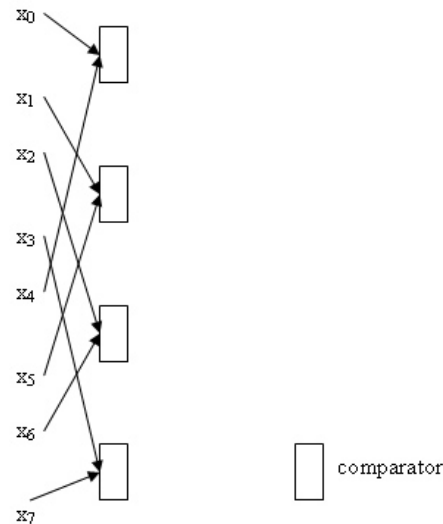


Figura 4.22: Intrarea datelor în comparatori după o amestecare.

- i Pentru fiecare pivot, un pas de comparare-interschimbare este urmat de o amestecare a lui A până când se atinge b_0 .
- ii Dacă există s pivoți la fiecare pas s , secvența trebuie amestecată de $k - s + 1$ ori înaintea pasului s , care este urmat de s pași de comparare-interschimbare și $s - 1$ pași de amestecare.

În Figura 4.23 sunt prezentate etapele implicate în sortarea a $n = 8$ numere.

Sortare bitonică pe rețea hipercub

Sortarea bitonică poate fi implementată eficient și pe o arhitectură cu rețea de interconectare hipercub. Considerăm mai întâi cazul în care există un singur element pe fiecare procesor.

Cazul $p = n = 2^d$. Din Figura 4.21 se observă că un procesor q comunică doar cu procesoarele $q + 2^i$, deci comunicațiile au loc doar între vecini. Singura problemă constă în stabilirea sensului interschimbărilor. Algoritmul este format din d pași, iar la pasul l un procesor q face parte dintr-o secvență care trebuie ordonată crescător dacă bitul $l + 1$ al reprezentării binare a lui q este 0 și descrescător dacă acesta este 1 (prin convenție q_{d+1} este 0). Pentru un l fixat, interschimbările se fac astfel încât, pentru o pereche de procesoare P_i, P_j (cu $i = j \pm 2^k$) care face interschimbare, elementul mai mic să ajungă în procesorul cu număr mai mic, dacă se ordonează crescător și în procesorul cu număr mai mare, dacă se ordonează descrescător.

Cazul $p \ll n$. Aplicând direct principiul lui Brent și deci păstrând algoritmul neschimbat, modificând doar alocarea procesoarelor s-ar obține un timp de execuție de

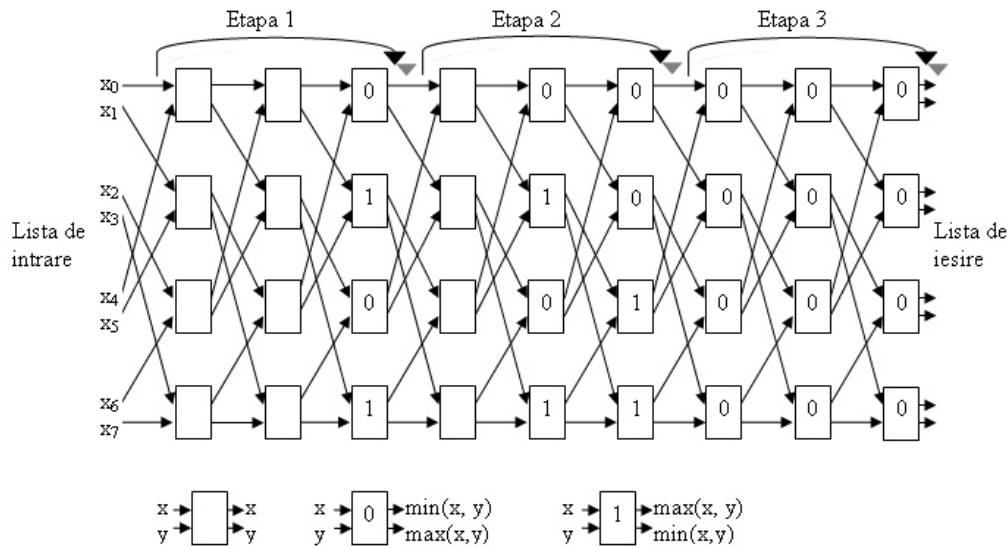


Figura 4.23: Sortarea bitonică pe interconexiunea amestecare perfectă, pentru o secvență de $n = 8$ elemente.

$O((n/p) \log^2 p)$, ori pentru a spera la o eficiență cât mai bună ar trebui să ne apropiem de $O((n/p) \log p)$.

Presupunem că fiecare procesor se ocupă de $m = n/p$ elemente. La început fiecare procesor P_q sortează elementele sale într-o secvență A_q crescătoare dacă q e par și descrescătoare dacă q e impar; această operație durează $O((n/p) \log(n/p))$. Apoi, se poate aplica algoritmul de sortare bitonică, înlocuind elementele cu secvențe ordonate, toate de aceeași lungime; formarea secvențelor de tip $m(A)$ și $M(A)$ se face simplu, $\min(A_i, A_j)$ putând fi obținută prin alegerea fiecărui minim dintre elementele aflate pe aceeași poziție în secvențele A_i și A_j . Operațiile de interschimbare se vor efectua în acest caz la nivel de subsecvență. Se ajunge în final la o complexitate de $O((n/p) \log n + (n/2p) \log^2 p)$.

4.14.2 Înmulțire matriceală

Înmulțirea matriceală este o problemă care a fost foarte mult analizată în vederea paralelizării ei. Acest lucru este explicabil prin faptul că este o operație de bază în foarte multe calcule și deci implementarea ei eficientă conduce la performanță în multe domenii.

S-au dezvoltat numeroși algoritmi paraleli pentru înmulțirea matricelor, folosind diferite tehnici cum ar fi: divide&impera, calcul sistolic, descompunerea domeniului de date, etc.

Vom prezenta aici algoritmul lui Cannon, algoritmul lui Fox și paralelizarea algoritmului lui Strassen. În Capitolul 6, Secțiunea 6.3.2 se va analiza dezvoltarea formală de algoritmi paraleli bazată pe descompunerea domeniului de date pentru înmulțire matriceală, iar în Capitolul 8, Secțiunea 8.5.4 un algoritm bazat pe divide&impera și pe replicarea datelor. În Capitolul 5, Secțiunea 5.5.3 se prezintă un algoritm foarte intere-

sant și performant de înmulțirea paralelă a matricelor booleene.

Vom considera două matrice pătratice A și B de dimensiune $n \times n$. Matricea produs $C = A \times B$ este tot o matrice pătratică, ale cărei elemente se obțin pe baza următoarei formule:

$$c[i, j] = \sum_{k=0}^{n-1} a[i, k] * b[k, j], \forall i, j : 0 \leq i, j < n.$$

Algoritmul lui Cannon

Algoritmul lui Cannon (1969) folosește o rețea de interconectare cu p^2 procesoare de tip tor bidimensional (presupunem că p divide n). Matricile A , B și C sunt descompuse în $(n/p)^2$ submatrice, printr-o partiționare de tip bloc – Figura 4.24.

Procesorul (s, t) de la locația (s, t) conține inițial submatricele $A[s, t]$ și $B[s, t]$ ($0 \leq s, t < p$). Pe măsură ce execuția algoritmului progresează, submatricele sunt transmise spre stânga - pentru submatricele din A , și în sus - pentru submatricele din B . Procesorul (s, t) va calcula submatricea $C[s, t]$.

Algoritmul se bazează pe formula

$$C[s, t] = \sum_{q=0}^{p-1} A[s, q] \times B[q, t], \forall s, t : 0 \leq s, t < p.$$

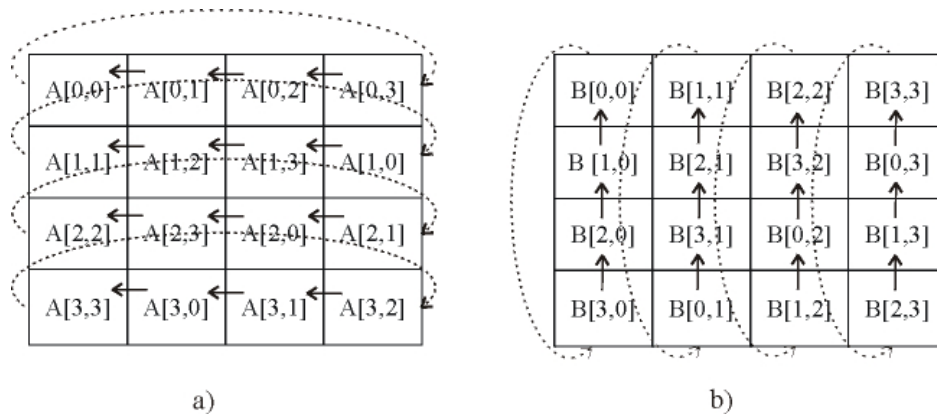


Figura 4.24: Deplasarea datelor în Algoritmul lui Canon. a) Submatricele din A se deplasează circular spre stânga. b) Submatricele din B se deplasează circular în sus.

Pașii algoritmului sunt următorii:

1. Inițial procesorul $P(s, t)$ începe execuția cu submatricele $A[s, t]$ și $B[s, t]$.
2. *Deplasarea inițială*: elementele sunt mutate din poziția lor inițială la o poziție “aliniată” pentru a se putea înmulți submatricele corespunzătoare. Aceasta aliniere se face prin deplasarea “liniei” s din A cu s poziții la stânga, și prin deplasarea “coloanei” t din B cu t poziții în sus.

3. Fiecare procesor $P(s, t)$ multiplică submatricele curente și rezultatul îl adună la submatricea C corespunzătoare.
4. *Deplasare la fiecare etapă*: submatricele sunt deplasate la stânga și în sus cu o poziție.
5. Pașii 3. și 4. se repetă de $p - 1$ ori.

Deplasarea inițială se face în p etape, iar deplasarea la fiecare pas se face într-o singură etapă. La fiecare etapă, un procesor trimite submatricea sa A locală, la procesorul din stânga și submatricea sa locală B , la procesorul de deasupra lui și recepționează o submatrice A de la procesorul din dreapta lui și o submatrice B de la procesorul de sub el.

Pasul 3. de calcul are o complexitate-timp egală cu n^3/p^3 .

Algoritmul lui Cannon este foarte eficient atunci când elementele matricei C rezultate vor fi folosite local și nu este nevoie colectarea lor. Poate fi considerat un algoritm sistolic, dat fiind faptul că comunicațiile se fac doar între vecini.

Algoritmul lui Fox

Un alt algoritm asemănător cu cel al lui Cannon este cel propus de Fox care folosește același tip de partiționare a datelor. Spre deosebire de metoda lui Cannon, nu este necesară o aliniere inițială a datelor, dar se folosesc și comunicații globale de tip broadcast, nu doar comunicații locale între vecini.

Pașii de calcul pentru acest algoritm sunt următorii:

1. Se alege o submatrice A din fiecare linie de procese.
2. *Broadcast A*: Submatricea A aleasă este transmisă prin broadcast tuturor celorlalte procese de pe linia respectivă. (O operație broadcast reprezintă o operație de transmitere de la un proces la mai multe procese a unei informații.)
3. Fiecare procesor $P(s, t)$ multiplică submatricele curente și rezultatul îl adună la submatricea C corespunzătoare.
4. *Transmisie B*: Submatricele B sunt transmise procesului aflat pe poziția imediat superioară (ciclic).
5. Repetă de $p - 1$ ori pașii anteriori.

Alegerea submatricei A de la pasul 1. se face în funcție de iterația curentă: la prima iterație se alege submatricea $A[\cdot, 0]$, la a doua iterație submatricea $A[\cdot, 1]$ ș.a.m.d.

Față de algoritmul lui Cannon, cererea de memorie este mai mare, deoarece elementele submatricei A transmise prin broadcast trebuie stocate local. Totuși, un avantaj, față de algoritmul lui Cannon, îl reprezintă faptul că datele matricelor inițiale rămân neschimbate.

Paralelizarea algoritmului lui Strassen

Metoda lui Strassen este una din cele mai inovative în multiplicarea secvențială a matricelor, reducând complexitatea clasic obținută de $O(n^3)$ la o complexitate de $O(n^{\log_2 7})$. Algoritmul este de tip divide&impera și folosește o partiționare a matricelor în 4 submatrice, la fiecare pas - Figura 4.25.

A_{00}	A_{01}	B_{00}	B_{01}	C_{00}	C_{01}
A_{10}	A_{11}	B_{10}	B_{11}	C_{10}	C_{11}

Figura 4.25: Partiționarea matricelor în submatrice pentru algoritmul lui Strassen.

Submatricele C_{ij} , $0 \leq i, j \leq 1$ se obțin pe baza următoarelor formule:

$$\begin{aligned}
 P_0 &= (A_{00} + A_{11}) \times (B_{00} + B_{11}) \\
 P_1 &= (A_{10} + A_{11}) \times B_{00} \\
 P_2 &= A_{00} \times (B_{01} - B_{11}) \\
 P_3 &= A_{11} \times (B_{10} - B_{00}) \\
 P_4 &= (A_{00} + A_{01}) \times B_{11} \\
 P_5 &= (A_{10} - A_{00}) \times (B_{00} + B_{01}) \\
 P_6 &= (A_{01} - A_{11}) \times (B_{10} + B_{11}) \\
 C_{00} &= P_0 + P_3 - P_4 + P_6 \\
 C_{01} &= P_2 + P_4 \\
 C_{10} &= P_1 + P_3 \\
 C_{11} &= P_0 + P_3 - P_1 + P_5
 \end{aligned}$$

Fiind un algoritm de tip divide&impera paralelizarea se face foarte simplu prin calcularea în paralel a submatricelor $P_0 \dots P_6$ și apoi prin calcularea în paralel a submatricelor $C_{00}, C_{01}, C_{10}, C_{11}$, în funcție de submatricele P_i calculate anterior.

4.15 Memorie partajată versus memorie distribuită

Din punct de vedere al proiectării, două sunt clasele cele mai importante de arhitecturi care trebuie luate în considerare: clasa arhitecturilor cu memorie partajată și clasa arhitecturilor bazate pe transmitere de mesaje. De la aceste clase se ajunge la două clase specifice de programare paralelă: programare paralelă bazată pe memorie partajată și programare paralelă bazată pe transmitere de mesaje.

4.15.1 Programare paralelă bazată pe transmitere de mesaje

Modelarea transmiterii de mesaje se poate face considerând operații de transmitere punct-la-punct sau considerând canale de comunicație. Vom considera prima variantă care se bazează pe două operații:

- `send` - transmiterea unui mesaj către un proces precizat;
- `receive` - recepționarea unui mesaj de la un proces precizat.

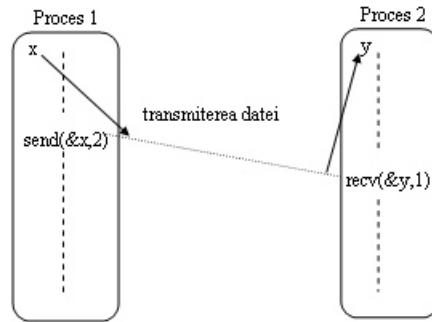


Figura 4.26: Transmiterea unei date între două procese.

Pentru programarea paralelă bazată pe transmitere de mesaje sunt necesare două mecanisme primare:

1. O metodă de creare de procese separate pentru execuție pe diferite calculatoare.
2. O metodă de trimitere și recepționare de mesaje.

MPI (“Message Passing interface”) [179] și PVM (“Parallel Virtual Machine”)[180] sunt două exemple de biblioteci de programe care permit programarea paralelă bazată pe transmitere de mesaje, pe arhitecturi cu memorie distribuită.

Creare procese

Pentru crearea proceselor putem să evidențiem două metode: una corespunzătoare modelului SPMD (“Single Program Multiple Data”), iar cealaltă corespunzătoare modelului MPMD (“Multiple Program Multiple Data”).

SPMD Procese diferite sunt descrise în același program, în care instrucțiuni de control selectează diferite părți care să fie executate de fiecare proces. După compilare rezultă mai multe executabile care vor începe execuția în același timp pe procesoare diferite - Figura 4.27. Este metoda folosită de biblioteca MPI.

MPMD În acest caz se folosește în general o abordare de tip “master-slave”. Un proces execută procesul master, iar celelalte procese sunt pornite de către procesul master - Figura 4.28. Este metoda folosită de biblioteca PVM.

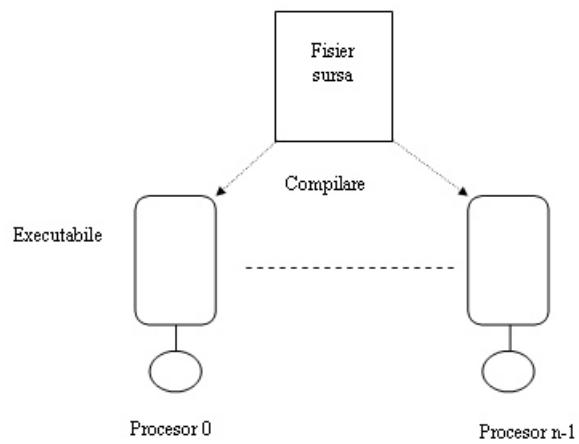


Figura 4.27: Modelul SPMD de crearea a proceselor (MPI).

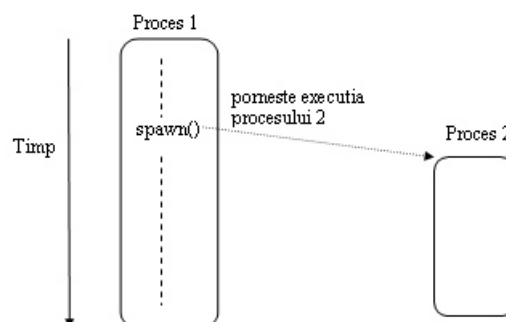


Figura 4.28: Modelul MPMD de crearea a proceselor (PVM).

Transmitere de mesaje

Transmiterea de mesaje poate fi sincronă sau asincronă. În cazul transmiterii de mesaje sincronă, rutinele de transfer (**send/recv**) se termină doar după terminarea transferului mesajului. Rutina **send** așteaptă până când întreg mesajul este acceptat de către procesul receptor și de abia după aceea trimite efectiv mesajul. Rutina **recv** sincronă așteaptă până ce mesajul pe care îl așteaptă sosește. Rutinele sincrone de transmitere realizează și o sincronizare a procesele pe lângă acțiunea propriu zisă de schimb de date.

Rutinele asincrone de transmitere nu așteaptă până când acțiunea de transmitere se încheie și de aceea este necesar în general un spațiu local de stocare al mesajelor. Acest tip de rutine de transmitere nu realizează sincronizarea proceselor, dar pot duce la reducerea timpilor de așteptare. Trebuie folosite cu multă grijă, astfel încât să se asigure corectitudinea programelor în orice situație.

Programarea paralelă bazată pe transmitere de mesaje poate folosi și rutine de transmitere în grup, nu doar punct-la-punct. Exemple de acest tip de rutine sunt:

- **broadcast**: transmite o dată de la un proces(rădăcină) la toate celelalte;
- **scatter**: un proces rădăcină transmite câte un element al unui tablou fiecărui proces existent;
- **gather**: un proces rădăcină preia câte un element al unui tablou din fiecare proces existent.

Sincronizarea în programarea paralelă bazată pe transmitere de mesaje

Sincronizarea în programarea paralelă bazată pe transmitere de mesaje se bazează pe rutinele de bază și poate fi locală sau globală. Sincronizarea globală presupune sincronizarea tuturor proceselor programului.

O *barieră de sincronizare* este un mecanism de bază în sincronizarea globală. Este introdusă în punctul în care fiecare proces trebuie să le aștepte pe celelalte, iar execuția se reia doar după ce toate procesele au atins bariera. Implementarea unei bariere de sincronizare se poate realiza prin diferite tehnici. Câteva dintre acestea sunt:

1. liniară - bazată pe un contor centralizat (Figura 4.29);
2. arbore (Figura 4.30);
3. fluture (Figura 4.31);

Bariera de sincronizare poate fi implementată și doar pentru un grup de procese.

Pentru a evidenția problemele legate de sincronizarea locală vom considera următorul exemplu:

Procesul P_i trebuie să se sincronizeze și să interschimbe date cu procesele P_{i-1} și P_{i+1} , înainte de a continua calculul.

O barieră între cele trei procese nu rezolvă problema deoarece procesul P_{i-1} trebuie să se sincronizeze doar cu procesul P_i și va continua imediat ce P_i va permite.

Este o situație tipică de "*deadlock*" sau *impas*, când o pereche de procese sunt implicate în transmitere și recepționare de date între ele. Procesele se așteaptă reciproc și astfel nici

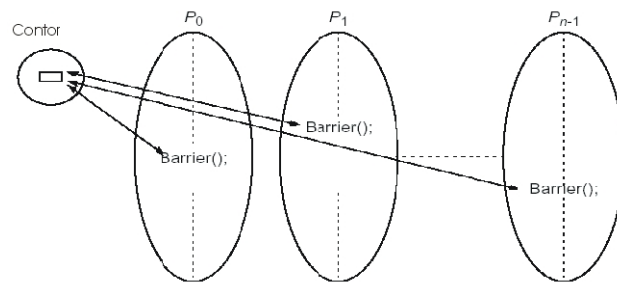


Figura 4.29: Barieră de sincronizare folosind o actualizare a unui contor aflat într-un proces considerat master. Când contorul ajunge egal cu n , bariera de sincronizare a fost atinsă de toate procesele.

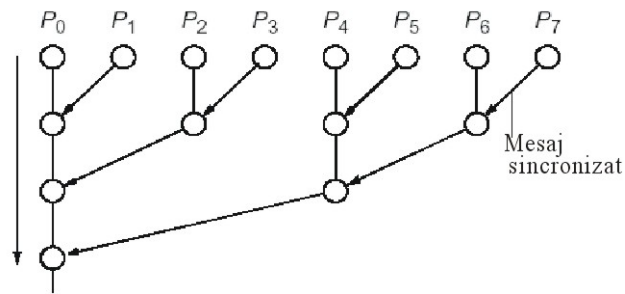


Figura 4.30: Barieră de sincronizare folosind o comunicație cu structură de tip arbore binar.

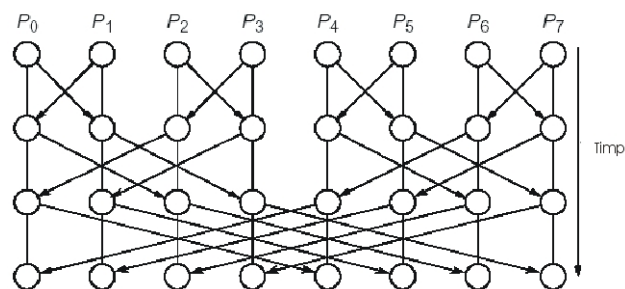


Figura 4.31: Barieră de sincronizare folosind o comunicație cu structură de tip fluture.

unul dintre ele nu se poate termina. Această situație poate apare dacă ambele procese execută o rutină `send` sincronă - cele două rutine nu se vor termina niciodată deoarece ele așteaptă ca rutina `recv` corespunzătoare să fie atinsă.

O soluție poate fi a aranja ca un proces să recepționeze mai întâi și doar apoi să transmită, iar celălalt să trimită mai întâi și apoi să recepționeze.

Sub paradigma transmiterii de mesaje, comunicația este gestionată direct de către programator, care are cunoștință deplină asupra șablonului de folosire a datelor. Este mai ușor să se optimizeze programele bazate pe transmitere de mesaje, deoarece este ușor de văzut unde apar comunicațiile în program. În programarea bazată pe memoria partajată, întârzierea datorată accesului la memorie poate fi lungă și variabilă, pe când în cazul transmiterii de mesaje citirile și scrierile referă doar memoria privată, iar transmisiile cu pachete mari de date pot masca întârzierea (“overhead”) lungă și variabilă a rețelei de interconectare. Programarea globală a comunicațiilor poate ajuta la evitarea coliziunilor între mesaje. Provocarea pentru programatori în cazul paradigmei transmiterii de mesaje este distribuția cât mai avantajoasă a datelor pe procese.

4.15.2 Programare paralelă bazată pe memorie partajată

Un sistem (multiprocesor) bazat pe memorie partajată se consideră a fi caracterizat de următoarele proprietăți:

- Orice locație de memorie poate fi accesibilă de către orice procesor.
- Există un singur *spațiu de adrese*, aceasta însemnând că fiecare locație de memorie are o adresă unică într-un singur rang de adrese.

În general se consideră că programarea bazată pe memorie partajată este mai convenabilă decât cea bazată pe transmitere de mesaje, deși ea necesită ca accesul la datele partajate să fie bine controlat de către programator pentru a se asigura consistența.

Există mai multe alternative de programare paralelă a multiprocesoarelor cu memorie partajată. Câteva dintre acestea se bazează pe:

- *Fire de execuție* (PTreads, Java). Programatorul descompune programul în secvențe paralele individuale, fiecare fiind asociată unui fir de execuție care poate accesa variabile declarate în afara firelor.
- Un limbaj de programare secvențială cu *directive compiler de preprocesare* prin care se pot declara variabile partajate și prin care se poate specifica paralelismul (OpenMP).
- Un limbaj de programare secvențială cu *biblioteci la nivel de utilizator* pentru a declara și accesa variabilele partajate.
- Un *limbaj de programare paralelă* cu sintaxă pentru paralelism, în care compilatorul creează codul executabil corespunzător pentru fiecare procesor (nu foarte comun azi).

- Un limbaj de programare secvențială și un *compiler de paralelizare* care convertește la cerere codul secvențial în cod executabil paralel (nu foarte comun azi).

Secțiuni critice

Pentru a asigura corectitudinea programelor paralele bazate pe memorie partajată este necesară existența unui mecanism prin care să se asigure că doar un singur proces accesează o anumită resursă la un anumit moment de timp. Aceasta se realizează prin stabilirea unor așa numite *secțiuni critice*, care sunt secțiuni de cod care folosesc o anumită resursă și pentru care este asigurat faptul că doar o asemenea secțiune critică va fi executată la un anumit moment de timp. Acest mecanism este cunoscut sub numele de *excludere mutuală*. Este un concept foarte întâlnit în studiul sistemelor de operare.

Implementarea excluderii mutuale se realizează prin folosirea de blocaje (“lock”), semafoare, monitoare, etc..

Situația de *deadlock* poate apare și în acest caz între două procese, dacă unul cere o resursă deținută de către celalalt, iar acel proces cere o resursă deținută de către primul.

Consistența secvențială [104] este definită de către L.Lamport astfel: Un multiprocesor este consistent secvențial dacă rezultatul oricărei execuții este același cu rezultatul obținut în cazul în care toate procesele sunt executate într-o anumită ordine secvențială și operațiile fiecărui procesor individual apar în această secvență în ordinea specificată de programul său.

Altfel spus, efectul global al unui program paralel nu este influențat de nici o întreprindere arbitrară a execuției instrucțiunilor în timp.

Sincronizarea în cazul programării paralele bazată pe memorie partajată se poate asigura prin folosirea secțiunilor critice, sau prin testarea unei anumite stări a unei locații din memoria partajată. Spre exemplu, implementarea unei bariere de sincronizare poate fi realizată prin incrementarea unui contor global, fiecare proces incrementând contorul în cadrul unei secțiuni critice (contorul reprezintă în acest caz resursa comună).

Memoria partajată conduce la întârzieri mai mici decât la transmiterea de mesaje pentru mașinile SPM (“Symetric Processors Machines”). Este, de asemenea, mai ușor să se scrie o versiune funcțională a unui program în paradigma memorie partajată. Dependența la nivel de timp și expertiza necesară este mai scăzută pentru paradigma memoriei partajate decât pentru transmitere de mesaje. Încărcarea de calcul este mai directă în paradigma memoriei partajate, iar tratarea aleatoare a cererilor poate reduce probabilitatea coliziunilor. Sincronizarea reprezintă marea provocare într-un sistem cu memorie partajată.

4.15.3 Memorie partajată distribuită

O abordare nouă specifică sistemelor de tip cluster permite ca memoria distribuită a unui cluster să “pară” (să poate fi folosită ca și când ar fi) o singură memorie cu același spațiu de adrese. În acest fel, se pot folosi tehnici ale programării bazată pe memorie partajată.

Mecanismele de transmitere de date sunt necesare, dar acestea sunt ascunse utilizatorului.

Avantajele acestui mod de programare sunt:

- Conduce la sisteme scalabile.
- Ascunde mecanismele de transmitere de mesaje.
- Poate folosi extensii simple ale programării secvențiale.
- Poate gestiona baze de date complexe și mari fără a fi nevoie de replicare sau transmitere de date între procese.

Există totuși și anumite dezavantaje:

- Poate conduce la scăderea performanței.
- Trebuie să asigure protecție împotriva accesului simultan la datele partajate.
- Programatorul are un control foarte scăzut asupra mesajelor reale care vor fi generate.
- Asigurarea performanței pentru problemele neregulate este dificilă.

Sumar

După cum am văzut în capitolul precedent, paradigmele programării paralele sunt strâns legate de modul de descompunere a calculului. Partiționarea este o etapă foarte importantă și pentru a ajunge la algoritmi paraleli cât mai eficienți putem folosi diferite tehnici consacrate de proiectare.

În acest capitol, am făcut o trecere în revistă a celor mai cunoscute tehnici de construcție a algoritmilor paraleli: paralelizare directă, tehnica arbore binar, dublare recursivă, contracția arborescentă, reducere ciclică par-impar, divide&impera, algoritmi generici ASCEND și DESCEND, calcul sistolic, tehnica par-impar, prefix paralel și Branch-and-Bound.

S-au prezentat, de asemenea, și modalități de adaptare a algoritmilor paraleli pentru paralelism limitat, precum și diferențele care apar în cazul memoriei distribuite față de cazul memoriei partajate.

Exemplele date ilustrează tehnicile prezentate, dar reprezintă și soluții paralele pentru unele probleme foarte des întâlnite.

Partea III

Dezvoltare formală

Capitolul 5

Modelul UNITY

UNITY “Unbounded Nondeterministic Iterative Transformations” reprezintă o teorie, care este în același timp și un model de calcul și un sistem de demonstrare. Această teorie a fost dezvoltată de Chandy și Misra [31] și are ca scop introducerea unei metodologii de dezvoltare de programe, care să fie independentă de arhitectura secvențială sau paralelă, pe care se vor implementa. Teoria ține cont de nedeterminism, absența fluxului de execuție, sincronism/asincronism, stări și atribuiri, dezvoltarea de programe prin rafinarea succesivă a specificațiilor, decuplarea corectitudinii de complexitate și programelor de arhitecturi.

5.1 Prezentarea generală a teoriei

Un program UNITY constă dintr-o declarație de variabile, o specificație a valorilor lor inițiale și o mulțime de instrucțiuni de atribuire multiple. O execuție a unui program începe din orice stare care satisface condițiile inițiale și continuă nedefinit; în fiecare pas al execuției se selectează nedeterminist o instrucțiune de atribuire, care apoi e executată. Alegerea nedeterministă a instrucțiunilor este constrânsă de următoarea regulă de ‘echitate’: orice instrucțiune este selectată oricât de des.

O stare a unui program se numește *punct fix* dacă și numai dacă execuția oricărei atribuiri a programului, în această stare, lasă starea neschimbată (starea e caracterizată de mulțimea valorilor tuturor variabilelor). Un predicat numit *FP*, caracterizează punctele fixe ale unui program.

5.1.1 Separarea noțiunilor: programe și implementări

Un program UNITY descrie *ce* trebuie să fie făcut, în sensul că specifică starea inițială și transformările de stare (atribuirile). Un program UNITY nu specifică exact *când* trebuie să se execute o instrucțiune de atribuire, nu specifică *unde* (pe care procesor într-un sistem multiprocesor) se execută o anumită atribuire și nici cărui procesor îi aparține o atribuire. Deasemenea un program UNITY nu specifică *cum* trebuie să fie executate atribuiri, sau *cum* poate o implementare să oprească execuția unui program.

Ce trebuie făcut este specificat în program, iar *când*, *unde* și *cum* sunt specificate în maparea programului pe o arhitectură. Prin această separare de noțiuni, se obține o notație a programelor simplă care este adecvată pentru o mare varietate de arhitecturi.

5.2 Notația programelor UNITY

Structura unui program UNITY este:

```

program :: Program   nume_program
           declare   sectiune_declare
           always   sectiune_always
           initially sectiune_initially
           assign   sectiune_assign
           end

```

Un *nume-program* este orice șir de caractere. Secțiunea **Program** poate fi omisă. Secțiunea **declare**, declară variabilele folosite de către program și tipul lor. Sintaxa este similară sintaxei Pascal. Secțiunea **always** este folosită pentru a defini anumite variabile în funcție de altele și este opțională. Secțiunea **initially** este folosită pentru a defini valorile inițiale ale anumitor variabile; variabilele neinițializate au inițial valori arbitrare. Secțiunea **assign** conține setul de instrucțiuni de atribuire.

Execuția programului începe într-o stare în care valorile variabilelor sunt cele specificate în secțiunea **initially**. În fiecare pas se execută o instrucțiune de atribuire, care este selectată arbitrar.

Programele nu au instrucțiuni de intrare/iesire. Se presupune că toate intrările și ieșirile sunt realizate prin adăugare și ștergere de elemente din secvențe, într-o manieră ‘primul intrat primul ieșit’.

5.2.1 Instrucțiunea de atribuire

Printr-o instrucțiune de atribuire multiplă se permite unui număr de variabile să fie atribuite simultan, așa ca în următoarea instrucțiune:

$$x, y, z := 0, 1, 2.$$

Aceasta instrucțiune poate fi scrisă și în forma:

$$x, y := 0, 1 \parallel z := 2,$$

sau

$$x := 0 \parallel y := 1 \parallel z := 2.$$

Pentru o atribuire a elementelor unui vector se folosește o notație cuantificată:

$$\langle \parallel i : 0 \leq i < n : A(i) := B(i) \rangle .$$

Pentru atribuirile alternative se folosește notația exemplificată de următorul exemplu:

$$\begin{array}{l} x := -1 \quad \text{if } y < 0 \sim \\ \quad 0 \quad \text{if } y = 0 \sim \\ \quad 1 \quad \text{if } y > 0 \end{array}$$

Sintaxa generală a instrucțiunii de atribuire poate fi dată folosind notația BNF:

$$\begin{array}{ll} \text{instructiune_atribuire} & \rightarrow \text{componenta_atribuire} \\ & \quad \{ \parallel \text{componenta_atribuire} \} \\ \text{componenta_atribuire} & \rightarrow \text{atribuire_enumerata} \\ & \quad | \text{atribuire_cuantificata} \\ \text{atribuire_enumerata} & \rightarrow \text{lista_variabile} := \text{lista_expr} \\ \text{lista_variabile} & \rightarrow \text{variabila} \{, \text{variabila} \} \\ \text{lista_expr} & \rightarrow \text{lista_expr_simpla} | \text{lista_expr_conditionala} \\ \text{lista_expr_simpla} & \rightarrow \text{expr} \{, \text{expr} \} \\ \text{lista_expr_conditionala} & \rightarrow \text{lista_expr_simpla if expr_bool} \\ & \quad \{ \sim \text{lista_expr_simpla if expr_bool} \} \\ \text{atribuire_cuantificata} & \rightarrow < \parallel \text{cuantificare instructiune_atribuire} > \\ \text{cuantificare} & \rightarrow \text{lista_variabile} : \text{expr_bool} : \end{array}$$

În cazul atribuirii cuantificate, mulțimea specificată de cuantificare trebuie să fie finită. Dacă mulțimea este vidă, atunci instrucțiunea denotă instrucțiunea vidă.

5.2.2 Secțiunea assign

Sintaxa generală este:

$$\begin{array}{ll} \text{sectiune_assign} & \rightarrow \text{lista_instructiuni} \\ \text{lista_instructiuni} & \rightarrow \text{instructiune} \{ \parallel \text{instructiune} \} \\ \text{instructiune} & \rightarrow \text{instructiune_atribuire} | \\ & \quad \text{lista_instructiuni_cuantificata} \\ \text{lista_instructiuni_cuantificata} & \rightarrow < \parallel \text{cuantificare instructiune_atribuire} > . \end{array}$$

Simbolul \parallel este separator de instrucțiuni. Există o restricție importantă legată de expresiile booleene care pot să apară în cuantificare: acestea nu trebuie să refere variabile ale căror valori se pot schimba pe parcursul execuției programului. Această restricție asigură faptul că mulțimea de instrucțiuni este constantă; instrucțiunile nu se creează sau se șterg în timpul execuției programului.

Exemplul 5.1 Pentru a inițializa matricea U de dimensiune $n \times n$ ($n > 0$) cu matricea unitate se pot folosi trei variante de program:

$$\begin{array}{l} < \parallel i, j : 0 \leq i < n \wedge 0 \leq j < n : \\ \quad U(i, j) := 0 \text{ if } i \neq j \sim 1 \text{ if } i = j \\ > \end{array}$$

sau

$$\begin{aligned} & \langle \parallel i, j : 0 \leq i < n \wedge 0 \leq j < n : U(i, j) := 0 \rangle \\ & \parallel \langle \parallel i : 0 \leq i < n : U(i, i) := 1 \rangle \end{aligned}$$

sau

$$\begin{aligned} & \langle \parallel i : 0 \leq i < n : U(i, i) := 1 \\ & \parallel \langle \parallel j : 0 \leq j < n \wedge i \neq j : U(i, j) := 0 \rangle \\ & \rangle \end{aligned}$$

Prima soluție are N^2 instrucțiuni, una pentru fiecare element al matricei. A doua soluție are două instrucțiuni, iar a treia are N instrucțiuni, câte una pentru fiecare linie.

5.2.3 Secțiunea **initially**

Sintaxa acestei secțiuni este aceeași cu cea a secțiunii **assign** cu diferența că semnul $:=$ se înlocuiește cu semnul $=$. Secțiunea **initially** definește valorile inițiale ale anumitor variabile; valoarea inițială a unei variabile este dată ca o funcție de valori inițiale ale altor variabile și de constante. Ecuațiile care definesc valorile inițiale nu trebuie să fie circulare.

O mulțime de ecuații este *corectă* dacă și numai dacă satisface următoarele condiții:

1. o variabilă apare cel mult o dată în partea stângă a unei ecuații,
2. există o ordonare a ecuațiilor, astfel încât orice variabilă dintr-o cuantificare este fie o variabilă legată de cuantificare, fie o variabilă care apare înainte în partea stângă a unei ecuații (programul poate fi ‘compilat’), și
3. există o ordonare a tuturor ecuațiilor după expandarea ecuațiilor cuantificate, astfel încât orice variabilă care apare în partea dreaptă a unei ecuații ori ca indice, apare înainte în partea stângă a unei ecuații (valorile inițiale sunt bine definite).

Secțiunea **initially** este o mulțime *corectă* de ecuații.

5.2.4 Exemple

În această secțiune prezentăm două exemple scurte pentru a evidenția noțiunile introduse până acum.

Sortare

Programul UNITY *sort1* sortează tabloul A de $n(n > 0)$ întregi în ordine ascendentă.

Program *sort1*

assign

$\langle \parallel i : 0 \leq i < n : A(i), A(i+1) := A(i+1), A(i) \text{ if } A(i) > A(i+1) \rangle$

end{*sort1*}

Instrucțiunile programului se execută până când se ajunge la un punct fix, adică se ajunge la o stare care nu mai poate fi modificată de execuția unei instrucțiuni (tabloul este ordonat).

O euristică folositoare este de a combina atribuirile care folosesc variabile diferite într-o singură instrucțiune. O altă variantă pentru sortare, se obține separând variabilele pare de cele impare (reprezintă varianta UNITY pentru sortarea par-impair).

Program *sort2*

assign

```
< || i : 0 ≤ i < n ∧ par(i) : A(i), A(i + 1) := A(i + 1), A(i) if A(i) > A(i + 1) >
[] < || i : 0 ≤ i < n ∧ impar(i) : A(i), A(i + 1) := A(i + 1), A(i) if A(i) > A(i + 1) >
end{sort2}
```

Această variantă poate fi rescrisă astfel:

Program *sort3*

assign

```
< [] j : 0 ≤ j < 2 :
  < || i : 0 ≤ i < n ∧ j = i%2 : A(i), A(i + 1) := A(i + 1), A(i) if A(i) > A(i + 1) >
  >
end{sort3}
```

Coefficienți binomiali

Următorul program calculează coeficienții binomiali C_n^k , într-un tablou de elemente $C(n, k)$, $\forall n : 0 \leq n < N \wedge \forall k : 0 \leq k \leq n$, pentru un N dat. Se folosesc relațiile: $C_n^0 = C_n^n = 1$ și $C_n^k = C_{n-1}^{k-1} + C_{n-1}^k$. Presupunem că C și N sunt declarați în afara programului.

Program *binomial*

assign

```
< [] n : 0 ≤ n < N :
  C(n, 0) := 1 || C(n, n) := 1
  [] < || k : 0 < k < n : C(n, k) := C(n - 1, k - 1) + C(n - 1, k) >
  >
end{binomial}
```

Observații:

1. Ordinea de execuție a instrucțiunilor într-un program UNITY este arbitrară. De aceea, $C(n, k)$ poate fi atribuit înainte ca $C(n-1, k-1)$ și $C(n-1, k)$ să fie calculate. Dar până la urmă toți $C(n, k)$ vor fi atribuiți corect.

2. Orice \parallel din acest program poate fi înlocuit cu \square (acest lucru nu este valabil pentru orice program).
3. Pentru $n = 0$, $C(0, 0)$ apare de două ori în stânga unei atribuiri, dar de fiecare dată valoarea atribuită este 1. Deci, se ajunge la punct fix.

5.2.5 Secțiunea **always**

Secțiunea **always** este folosită pentru a defini anumite variabile ca funcții de alte variabile. Sintaxa folosită este ca și cea a secțiunii **initially**. O variabilă care apare în partea stângă a unei ecuații se numește *transparentă*. O variabilă transparentă este o funcție de variabile netransparente și deci nu apare în partea stângă a nici unei inițializări sau atribuiri, dar poate apare în partea dreaptă. Pentru a asigura că o variabilă transparentă este o funcție bine definită de variabile netransparente se impun aceleași restricții ca și pentru secțiunea **initially**.

5.3 Reguli de demonstrare

În această secțiune se introduce o logică pentru specificarea, construcția și verificarea programelor UNITY. Logica se bazează pe aserțiuni de forma $\{p\}s\{q\}$ (p – precondiție, q – postcondiție), care semnifică faptul că în urma execuției instrucțiunii s în orice stare care satisface predicatul p , se ajunge la o stare care satisface predicatul q , dacă s se termină.

Sistemul de demonstrare al programelor UNITY diferă de cele tradiționale, în primul rând prin faptul că neexistând un control al fluxului de execuție, nu există aserțiuni asociate cu puncte în textul programului. Se asociază întregului program, proprietăți de tipul “predicatul I e întotdeauna adevărat” sau “dacă predicatul p devine adevărat atunci predicatul q va fi până la urmă adevărat”. În al doilea rând, execuția unui program UNITY reprezintă o secvență infinită de execuții de instrucțiuni. Prin urmare, logica asociată trebuie să poată lucra cu secvențe infinite de stări ale programului. Dacă, de exemplu, $\{p\}s\{q\}$ e adevărat pentru toate instrucțiunile s ale unui program, poate fi folosită inducția asupra numărului de execuții ale instrucțiunii, pentru a arăta că odată ce p devine adevărat el rămâne adevărat.

5.3.1 Noțiuni de bază

Notăm cu p, p', q, q', \dots predicate oarecare și cu s, t, \dots instrucțiuni program. În această secțiune considerăm un singur program generic, fără nume. Prin convenție orice program are cel puțin o instrucțiune.

Demonstrarea aserțiunilor asupra instrucțiunilor de atribuire

Pentru a demonstra $\{p\}x := E\{q\}$, se substituie toate aparițiile lui x din q cu E , rezultatul se notează cu q_E^x și apoi se demonstrează că $p \Rightarrow q_E^x$. Dacă E este o expresie condițională

de forma

$$e_0 \text{ if } b_0 \sim \dots \sim e_n \text{ if } b_n,$$

atunci q_E^x este

$$(b_0 \Rightarrow q_{e_0}^x) \wedge \dots \wedge (b_n \Rightarrow q_{e_n}^x) \wedge ((\neg b_0 \wedge \dots \wedge \neg b_n) \Rightarrow q).$$

Precondiția unei atribuirii se obține din postcondiție prin înlocuirea simultană cu variabilele din partea stânga a expresiilor corespunzătoare din partea dreaptă.

Aserțiuni cuantificate

Pentru un program F dat, putem folosi aserțiunile cuantificate

$$(\forall s : s \in F : \{p\}s\{q\})$$

și

$$(\exists s : s \in F : \{p\}s\{q\})$$

pentru a exprima faptul că $\{p\}s\{q\}$ este adevărat pentru toate instrucțiunile sau respectiv, pentru câteva instrucțiuni din F . Dacă programul conține o listă de instrucțiuni cuantificate, atunci cuantificatorul asupra instrucțiunilor se aplică fiecărei instrucțiuni individuale din listă. Astfel

$$(\forall s : s \in \llbracket i : b(i) : t(i) \rrbracket : \{p\}s\{q\})$$

se demonstrează arătând că $\forall j : \{p \wedge b(j)\}t(j)\{q\}$. Similar

$$(\exists s : s \in \llbracket i : b(i) : t(i) \rrbracket : \{p\}s\{q\})$$

se demonstrează arătând că există j astfel încât $b(j)$ și $\{p \wedge b(j)\}t(j)\{q\}$ sunt adevărate.

5.3.2 Un model al execuției programului

Asociem fiecărui program o mulțime de secvențe de execuție, care sunt secvențe infinite, fiecare reprezentând o execuție posibilă a programului. Notăm cu R o asemenea secvență, iar R_i reprezintă al i -lea element al secvenței, ($i \geq 0$). Fiecare R_i este o pereche $(R_i.stare, R_i.eticheta)$, unde $R_i.eticheta$ este numele instrucțiunii selectate pentru execuție, iar $R_i.stare$ este starea programului, adică valorile tuturor variabilelor, în această execuție înainte de pasul al i -lea. Astfel $R_0.stare$ este starea inițială.

Restricția selectării ‘echitabile’ conduce la următoarea condiție: pentru orice R și orice s , $R_i.eticheta = s$, pentru un număr infinit de indici i .

Reprezentăm prin $p[R_i]$ faptul că predicatul p este adevărat în starea $R_i.stare$.

Aserțiunea $\{p\}s\{q\}$ semnifică faptul că pentru orice R și i avem

$$(p[R_i] \wedge R_i.eticheta = s) \Rightarrow q[R_{i+1}].$$

O consecință a acestui model de execuție este că numărul de mașini pe care este partiționată execuția unui program UNITY este irelevant pentru dezvoltarea unei teorii de demonstrare. Considerăm că execuțiile pe mașini diferite sunt ‘corect interșesute’, adică efectul execuției simultane a două instrucțiuni este același cu acela al execuției într-o ordine arbitrară a instrucțiunilor. În acest fel, mulțimea execuțiilor posibile pentru un program este aceeași indiferent de numărul de mașini implicate.

5.3.3 Concepte fundamentale

În această secțiune se introduc trei relații logice fundamentale: **unless** (și cazurile ei speciale *stable* și *invariant*), **ensures** și **leads-to**. Se introduce formal și noțiunea de *punct fix* al unui program.

Relația *unless*

Definiția 5.1 Pentru un program dat F , se definește relația p unless q astfel:

$$p \text{ unless } q \equiv (\forall s : s \in F : \{p \wedge \neg q\} s \{p \vee q\}). \quad (5.1)$$

Relația *unless* exprimă faptul că dacă predicatul p devine fals, atunci sigur predicatul q va fi adevărat.

Din definiția relației *unless* se deduce că

$$(p \wedge \neg q)[R_i] \Rightarrow (p \vee q)[R_{i+1}].$$

Cazuri speciale ale relației *unless*

Definiția 5.2 Pentru un program dat

$$\text{stable } p \equiv p \text{ unless } \text{false} \quad (5.2)$$

$$\text{invariant } q \equiv (\text{conditia inițială} \Rightarrow q) \wedge \text{stable } q. \quad (5.3)$$

Axioma substituției

Dacă $x \equiv y$ este un invariant al programului F , x poate fi înlocuit cu y în toate proprietățile lui F .

Există o formă particulară a acestei axiome, care este foarte folositoare: înlocuirea lui *true* printr-un invariant I și viceversa.

O consecință a acestei axiome este următoarea propoziție:

Propoziția 5.1

$$\frac{p \text{ unless } q, \text{invariant } \neg q}{\text{stable } p} \quad (5.4)$$

Demonstrație:

$\neg q \equiv \text{true}$, axioma substituției
 $p \text{ unless } q$, din premiză
 $p \text{ unless } \text{false}$, din cele două de mai sus
 $\text{stable } p$, din definiția pentru *stable*

Relația *ensures*

Relația *ensures* este folosită pentru a exprima progresul de bază al programului.

Definiția 5.3 Pentru un program dat F , se definește relația p ensures q după cum urmează:

$$p \text{ ensures } q \equiv (p \text{ unless } q \wedge (\exists s : s \in F : \{p \wedge \neg q\} s \{q\})). \quad (5.5)$$

Adică, dacă p este adevărat la un anumit moment, p rămâne adevărat cât timp q este fals și până la urmă q devine adevărat.

Din p ensures q se poate deduce, în termenii modelului de execuție a programului, că

$$p[R_i] \Rightarrow (\exists j : j \geq i : q[R_j] \wedge (\forall k : i \leq k < j : p[R_k])).$$

Relația *leads-to*

Proprietățile progresului programelor se exprimă folosind relația *leads-to* (\mapsto).

Definiția 5.4 Un program dat are proprietatea $p \mapsto q$ dacă și numai dacă această proprietate poate fi derivată printr-un număr finit de aplicații ale următoarelor reguli de inferență:

-

$$\frac{p \text{ ensures } q}{p \mapsto q} \quad (5.6)$$

- (tranzitivitate)

$$\frac{p \mapsto q, q \mapsto r}{p \mapsto r} \quad (5.7)$$

- (disjuncție) Pentru orice mulțime W ,

$$\frac{(\forall m : m \in W : p(m) \mapsto q)}{(\exists m : m \in W : p(m)) \mapsto q} \quad (5.8)$$

Semnificația lui $p \mapsto q$ pentru un program este că odată ce p devine adevărat, q este sau va deveni adevărat. Dar nu este certificat faptul că p rămâne adevărat atâta timp cât q nu este adevărat. Aceasta este diferența majoră între *ensures* și *leads-to*.

În termenii modelului de execuție al programelor, din $p \mapsto q$ se deduce că

$$p[R_i] \Rightarrow (\exists j : j \geq i : q[R_j]).$$

Punct fix

Un punct fix al unui program, dacă există, este o stare a programului în care execuția oricărei instrucțiuni lasă starea neschimbată. Dacă un program se execută concurrent cu alte programe și partajează anumite variabile cu ele, atunci un punct fix este o stare care poate fi schimbată doar de către alte programe. Dacă programul se execută independent, ajungerea la un punct fix este echivalentă cu terminarea conform standardului programării secvențiale. O implementare a programului poate alege să termine execuția programului, în acest caz.

Definiția 5.5 Pentru un program F se definește predicatul FP în următorul mod:

$$FP \equiv (\forall s : s \in F \wedge s \text{ este } X := E : X = E). \quad (5.9)$$

Adică, pentru orice atribuire din F , partea stângă și cea dreaptă sunt egale în valoare.

Se poate observa că predicatul FP este satisfăcut doar de punctele fixe ale programului și toate punctele fixe ale programului satisfac FP .

În termenii modelului de execuție al programelor, pentru toți R și i avem

$$FP[R_i] \equiv (\forall j : j \geq i : R_i.stare = R_j.stare).$$

Orice stare care poate fi ‘atinsă’ în timpul execuției unui program satisface orice invariant I și deci orice punct fix satisface $I \wedge FP$.

5.3.4 Un exemplu complet – împărțire întregă

Vom construi un program care împarte numărul întreg M la numărul întreg N , $M \geq 0$, $N > 0$; câtul este reținut în x , iar restul în y . Specificația programului constă în faptul că predicatul

$$x \cdot N + y = M \wedge 0 \leq y < N \quad (5.10)$$

va fi adevărat în orice punct fix și că până la urmă se atinge un punct fix.

Program *impartire*

declare

$x, y, z, k : integer$

initially

$x, y, z, k = 0, M, N, 1$

assign

$$z, k := \begin{array}{ll} 2z, & 2k \quad \text{if } y \geq 2z \sim \\ N & , 1 \quad \text{if } y < 2z \end{array}$$

$$[]x, y := x + k, y - z \quad \text{if } y \geq z$$

end{*impartire*}

Relații *unless*

Arătăm că y nu crește atâta timp cât $y \geq z \geq N$. De asemenea, y nu-și schimbă valoarea, iar z nu crește, atâta timp cât $y < z$ și $z > N$.

Propoziția 5.2 Pentru orice m, n :

$$y \geq z \geq N \wedge y = m \text{ unless } y < m \quad (5.11)$$

$$(y, z) = (m, n) \wedge y < z \wedge z > N \text{ unless } y = m \wedge z < n. \quad (5.12)$$

Demonstrație: Dăm demonstrația pentru prima proprietate. Pentru prima instrucțiune, trebuie arătat că

$$\begin{aligned} & \{y \geq z \geq N \wedge y = m \wedge y \geq m\} \\ & z, k := 2z, 2k \text{ if } y \geq 2z \sim \\ & N, 1 \text{ if } y < 2z \\ & \{(y \geq z \geq N \wedge y = m) \vee y < m\}. \end{aligned}$$

Această aserțiune poate fi dedusă din următoarele două, care sunt demonstrate prin aplicarea directă a regulii de demonstrare pentru instrucțiunea de atribuire:

$$\{y \geq 2z \wedge z \geq N \wedge y = m\} z, k := 2z, 2k \{y \geq z \geq N \wedge y = m\}$$

și

$$\{2z > y \geq z \geq N \wedge y = m\} z, k := N, 1 \{y \geq z \geq N \wedge y = m\}.$$

Pentru a încheia demonstrația pentru aserțiunea 5.11, demonstrăm următoarea aserțiune pentru a doua instrucțiune:

$$\{y \geq z \geq N \wedge y = m\} x, y := x + k, y - z \{y < m\},$$

care rezultă direct din aplicarea regulii de demonstrare pentru atribuire.

Aserțiunea 5.12 se demonstrează analog.

Demonstrarea invariantului

Propoziția 5.3 Predicatul I definit astfel:

$$I \equiv y \geq 0 \wedge k \geq 1 \wedge z = N \cdot k \wedge x \cdot N + y = M. \quad (5.13)$$

este invariant al programului.

Demonstrație: Mai întâi arătăm că I e stabil,

$$\begin{aligned} & \{I\} z, k := 2z, 2k \text{ if } y \geq 2z \sim N, 1 \text{ if } y < 2z \{I\} \\ & \{I\} x, y := x + k, y - z \text{ if } y \geq z \{I\}. \end{aligned}$$

Aceste relații se reduc la următoarele aserțiuni:

$$\begin{aligned} &\{I \wedge y \geq 2z\}z, k := 2z, 2k\{I\} \\ &\{I \wedge y < 2z\}z, k := N, 1\{I\} \\ &\{I \wedge y \geq z\}x, y := x + k, y - z\{I\} \end{aligned}$$

Aceste aserțiuni se demonstrează prin aplicarea directă a regulii de demonstrare a instrucțiunii de atribuire.

Pentru a termina demonstrația mai trebuie demonstrat faptul că condiția inițială implică I . Condiția inițială a programului este $(x, y, z, k) = (0, M, N, 1) \wedge M \geq 0 \wedge N > 0$, care satisface I .

Relații *ensures*

Propoziția 5.4

$$y \geq z \wedge y = m \text{ ensures } y < m \quad (5.14)$$

$$(y, z) = (m, n) \wedge y < z \wedge z > N \text{ ensures } y = m \wedge z < n. \quad (5.15)$$

Demonstrație: Aceste relații, cu *ensures* înlocuit cu *unless*, au fost demonstrate. Pentru a finaliza demonstrația, se observă că

$$\{y \geq z \wedge y = m\}x, y := x + k, y - z \text{ if } y \geq z\{y < m\}$$

și

$$\begin{aligned} &\{(y, z) = (m, n) \wedge y < z \wedge z > N\} \\ &\quad z, k := \begin{array}{ll} 2z, 2k & \text{if } y \geq 2z \\ N, 1 & \text{if } y < 2z \end{array} \sim \\ &\{y = m \wedge z < n\} \end{aligned}$$

În a doua aserțiune, $y < z$ din precondiție implică $y < 2z$. Astfel aserțiunea poate fi simplificată:

$$\{(y, z) = (m, n) \wedge z > N\}z, k := N, 1\{y = m \wedge z < n\}.$$

Relații *leads-to*

Propoziția 5.5

$$(y, z) = (m, n) \wedge (y \geq z \vee z > N) \mapsto (y, z) \prec (m, n), \quad (5.16)$$

unde \prec reprezintă relația de ordine lexicografică pe mulțimea perechilor de întregi.

Demonstrație: Din faptul că *ensures* implică *leads-to* avem

$$y \geq z \wedge y = m \mapsto y < m \quad (5.17)$$

și

$$(y, z) = (m, n) \wedge y < z \wedge z > N \mapsto y = m \wedge z < n. \quad (5.18)$$

Folosind proprietățile disjuncției, se ajunge la:

$$(y, z) = (m, n) \wedge (y \geq z \vee z > N) \mapsto (y < m \vee (y = m \wedge z < n)). \quad (5.19)$$

Deoarece $y < m \vee (y = m \wedge z < n)$ înseamnă $(y, z) \prec (m, n)$, rezultă proprietatea dorită.

Propoziția 5.6

$$true \mapsto y < z \leq N. \quad (5.20)$$

Demonstrație: Din invariant rezultă că y, z sunt ambele nenegative. Mulțimea perechilor de întregi nenegativi este convenabilă (“well found”) pentru relația de ordine lexicografică \prec . Prin urmare se poate aplica inducția asupra relației:

$$(y, z) = (m, n) \wedge (y \geq z \vee z > N) \mapsto (y, z) \prec (m, n) \quad (5.21)$$

pentru a deduce că $(y \geq z \vee z > N)$ nu poate fi adevărată pentru totdeauna. Așadar

$$true \mapsto y < z \leq N. \quad (5.22)$$

Punct fix

Propoziția 5.7 Pentru programul dat,

$$\begin{aligned} FP \equiv & (y < 2z \vee (z = 2z \wedge k = 2k)) \quad \wedge \\ & (y \geq 2z \vee (z = N \wedge k = 1)) \quad \wedge \\ & y < z \vee (x = x + k \wedge y = y - z). \end{aligned} \quad (5.23)$$

Demonstrație: conform definiției 5.5.

Din invariantul I și predicatul FP rezultă

$$x \cdot N + y = M \wedge 0 \leq y < N. \quad (5.24)$$

Mai trebuie arătat că programul ajunge până la urmă la un punct fix, ceea ce înseamnă

$$true \mapsto FP. \quad (5.25)$$

Din proprietatea $true \mapsto I \wedge y < z \leq N$ demonstrată mai înainte și din faptul că $I \wedge y < z \leq N \Rightarrow FP$, rezultă

$$true \mapsto I \wedge y < z \leq N \Rightarrow FP. \quad (5.26)$$

Pentru orice p, q , din $p \Rightarrow q$ rezultă p ensures q și atunci $p \mapsto q$. Prin urmare $true \mapsto FP$.

5.4 Maparea programelor pe arhitecturi

Considerăm în continuare următoarele arhitecturi: arhitecturi von Neumann, arhitecturi multiprocesor sincrone cu memorie partajată, arhitecturi multiprocesor asincrone cu memorie partajată și arhitecturi distribuite.

O mapare pe o mașina von Neumann, specifică ordinea de execuție a atribuirilor și maniera în care execuția unui program se termină. Ordinea de execuție este dată printr-o listă secvențială de atribuiri, în care fiecare atribuire din program apare cel puțin o dată. Calculatorul execută repetat lista de atribuiri. Deoarece execuția unui program UNITY nu se termină niciodată, terminarea se consideră a fi o caracteristică a implementării.

O cale de a implementa un program este de a-l opri după ce a ajuns la un punct fix.

Într-un sistem sincron cu memorie partajată, un număr fix de procesoare identice partajează o memorie comună care poate fi citită și scrisă de către orice procesor. Există un ceas comun; la fiecare tact al ceasului, fiecare procesor execută un pas al calculului. Sincronismul inerent care apare într-o instrucțiune de atribuire multiplă, face ca maparea pe un astfel de sistem să fie foarte convenabilă.

Un multiprocesor asincron cu memorie partajată constă dintr-un număr fix de procesoare și o memorie comună, dar nu există ceas comun. Dacă două procesoare accesează aceeași zonă de memorie simultan, atunci accesul la acea zonă se efectuează într-o ordine arbitrară. Un program UNITY poate fi mapat pe o asemenea arhitectură prin partiționarea instrucțiunilor programului între procesoare. În plus, trebuie specificată o ordine de execuție pentru fiecare procesor, care să garanteze o execuție corectă pentru fiecare partiție. Dacă execuția pentru orice partiție este corectă atunci orice întrețesere corectă a acestor execuții determină o execuție corectă a întregului program. Această mapare presupune că este respectată următoarea regulă: două instrucțiuni nu sunt executate concurrent dacă una modifică o variabilă pe care cealaltă o folosește. Prin urmare efectul execuției multiprocesor este același cu întrețeserea corectă a execuțiilor.

Pentru mapare pe arhitecturi distribuite se procedează analog cu cazul multiprocesoarelor asincrone cu memorie partajată, specificând în plus și mesajele care trebuie transmise.

5.5 Aplicații

În continuare prezentăm câteva programe UNITY pentru rezolvarea sistemelor liniare folosind metoda lui Gauss, inversarea unei matrice, folosind aplicarea succesivă de pași Gauss-Jordan și înmulțirea de matrice booleene.

5.5.1 Eliminarea Gauss-Jordan nedeterministă

Considerăm metoda lui Gauss de rezolvare a unui sistem de ecuații,

$$A \times X = B,$$

unde A o matrice de dimensiune $n \times n$ și B un vector de dimensiune n sunt date și soluția este reținută în vectorul X ($n \in \mathbb{N}^*$). Presupunem determinantul matricei A nenul (sistemul este unic determinat). Metoda Gauss-Jordan reprezintă o secvență de n pași de pivotare. Următorul program UNITY permite alegeri nedeterminate pentru selecția liniilor de pivotare.

Soluția

Fie $M(A; B)$ (matricea extinsă) matricea cu n linii și $n+1$ coloane, unde primele n coloane sunt din A și ultima din B . Prin eliminarea Gaussiană, $M(A; B)$ este transformată în $M(A'; B')$ prin anumite operații astfel încât

$$A \times X = B$$

și

$$A' \times X = B'$$

au aceeași soluție X .

Scopul algoritmului este de a aplica secvențe de astfel de operații, pentru a converti $M(A; B)$ în $M(I_n; X_F)$, unde I_n este matricea unitate, iar X_F vectorul soluție.

Program Gauss

declare

$M(i, j : 0 \leq i < n, 0 \leq j < n + 1) : \text{array of real}$

assign

{pivotare cu linia u dacă $M(u, u) \neq 0$ }

< $\square u : 0 \leq u < n :$

< $\|v, j : 0 \leq j < n \wedge 0 \leq v < n \wedge v \neq u :$

$M(v, j) := M(v, j) - M(v, u) \cdot M(u, j) / M(u, u)$

> *if* $M(u, u) \neq 0$

$\| < \|j : 0 \leq j < n :$

$M(u, j) := M(u, j) / M(u, u)$

> *if* $M(u, u) \neq 0$

>

\square {interschimbare a două linii dacă ambele au elementele de pe diagonala egale cu zero; rezultă cel puțin unul dintre aceste elemente diferit de zero}

< $\square u, v : 0 \leq u < n \wedge 0 \leq v < n \wedge u \neq v :$

< $\|j : 0 \leq j < n : M(u, j), M(v, j) := M(v, j), M(u, j)$

> *if* $M(u, u) = 0 \wedge M(v, v) = 0 \wedge (M(u, v) \neq 0 \vee M(v, u) \neq 0)$

>

end{Gauss}

O operație de pivotare a matricei în funcție de linia u ($M(u, u) \neq 0$), transformă fiecare element $M(v, j)$, $u \neq v$ în $M(v, j) - M(v, u) \cdot M(u, j) / M(u, u)$ și fiecare element $M(u, j)$ al liniei u în $M(u, j) / M(u, u)$.

Programul *Gauss* conține două tipuri de instrucțiuni:

1. Pivotare cu linia u , presupunând că $M(u, u) \neq 0$; aceasta are ca efect setarea variabilei $M(u, u)$ cu 1 și $M(v, u)$ cu 0, pentru toți $v, v \neq u$.
2. Interschimbare a două linii u și v , în cazul în care $M(u, u) = 0$ și $M(v, v) = 0$ și cel puțin unul dintre elementele $M(u, v), M(v, u)$ e diferit de 0; aceasta are ca efect înlocuirea unui zero de pe diagonală cu un element diferit de zero pe diagonală.

Corectitudinea

Fie M^0 matricea M inițială. Deoarece fiecare instrucțiune din program modifică M astfel încât soluția sistemului este conservată, avem

$$\text{invariant } M^0, M \text{ au aceeași soluție.}$$

Notăm cu A matricea de dimensiune $n \times n$ din partea stângă a matricei M și cu B ultima coloană a lui M . În continuare, se arată că programul *Gauss* atinge un punct fix și că la orice punct fix, matricea A este matricea unitate. Apoi, din invariant rezultă că B este vectorul soluție căutat. Numim *coloană unitate* o coloană în care elementul de pe diagonală e 1 și restul elementelor sunt 0. Adică, coloana u este o coloană unitate dacă

$$M(v, u) = 0 \text{ if } u \neq v \sim 1 \text{ if } u = v.$$

Pentru a arăta că se ajunge la un punct fix, demonstrăm că perechea (p, q) , unde

$$\begin{aligned} p &= \text{numărul de coloane unitate din } A \\ q &= \text{numărul de elemente nonzero de pe diagonală din } A, \end{aligned}$$

crește lexicografic cu fiecare schimbare de stare.

Considerăm fiecare instrucțiune pe rând. Pivotarea cu linia u , dacă coloana u este coloana unitate, nu provoacă nici o modificare de stare. Schimbarea de stare rezultă în urma unei operații de pivotare cu linia u doar dacă coloana u nu este coloană unitate; efectul operației este de a transforma coloana u în coloana unitate și astfel incrementarea lui p .

Interschimbarea a două linii u și v se face doar dacă $M(u, u) = 0 \wedge M(v, v) = 0 \wedge (M(u, v) \neq 0 \vee M(v, u) \neq 0)$. În general, numărul de coloane unitate p nu se modifică; poate crește dacă, de exemplu, $M(u, v) = 1 \wedge M(i, v) = 0, \forall i \neq u$. Dar, cel puțin un element diagonal $M(u, u)$ sau $M(v, v)$ devine diferit de zero și rezultă că q crește.

Datorită faptului că atât p cât și q sunt mărginite de n , rezultă ca programul *Gauss* ajunge la un punct fix.

Rămâne să arătăm că A este matricea unitate la orice punct fix. Demonstrăm mai întâi, în Lema 5.1, că oricare ar fi elementul diagonal $M(u, u)$, dacă este diferit de zero la un punct fix, atunci coloana u este coloana unitate. Apoi, în Lema 5.2 arătăm că dacă există elemente diagonale zero la un punct fix, atunci toate elementele acelei linii sunt 0. Aceasta contrazice presupunerea din ipoteză, că determinatul matricei A este diferit de 0. Ca urmare, toate elementele de pe diagonală sunt diferite de zero și conform Lemei 5.1, A este matricea unitate.

Lema 5.1 *La orice punct fix al programului Gauss,*

$$M(u, u) \neq 0 \Rightarrow \text{coloana } u \text{ este coloana unitate.}$$

Demonstrație: La orice punct fix, fiind dat $M(u, u) \neq 0$, rezultă că oricare ar fi j și $v, u \neq v$,

$$M(v, j) = M(v, j) - M(v, u) \cdot M(u, j)/M(u, u)$$

și

$$M(u, j) = M(u, j)/M(u, u).$$

Pentru $j = u$,

$$M(v, u) = M(v, u) - M(v, u) \cdot M(u, u)/M(u, u) = 0$$

și

$$M(u, u) = M(u, u)/M(u, u) = 1.$$

Lema 5.2 *La orice punct fix al programului Gauss,*

$$M(u, u) = 0 \Rightarrow M(u, v) = 0, \forall v \neq u.$$

Demonstrație: Considerăm două cazuri: $M(v, v) = 0$ și $M(v, v) \neq 0$.

În primul caz, considerăm instrucțiunea de interschimbare a liniilor u, v . La punct fix, dacă $M(u, u) = 0 \wedge M(v, v) = 0$ avem

$$(M(u, v) = 0 \wedge M(v, u) = 0) \vee (\wedge j : M(u, j) = M(v, j)).$$

Considerăm cazul particular $j = v$. Atunci

$$(M(u, v) = 0 \wedge M(v, u) = 0) \vee (M(u, v) = M(v, v)).$$

Datorită faptului că $M(v, v) = 0$, rezultă că $M(u, v) = 0$.

În al doilea caz, dacă $M(v, v) \neq 0$ se poate folosi Lema 5.1 și rezultă $M(u, v) = 0$.

Mapări posibile

Programul *Gauss* poate fi implementat într-o varietate de moduri pe diferite arhitecturi. Pentru o mașină secvențială, poate fi mai eficient să se aleagă liniile de pivotare într-o anumită ordine. Corectitudinea acestei scheme este evidentă pentru că a fost obținută din programul dat prin eliminarea nedeterminismului. Pentru o arhitectură asincronă cu memorie partajată sau pentru o arhitectură distribuită, programul dat admite mai multe implementări; cea mai simplă este de a asocia unei linii un proces. Pentru a permite operația de interschimbare putem permite schimbarea numărului liniei unui proces. Așa, două linii pot fi interschimbate doar prin interschimbarea numărului lor de linie. Pe o arhitectură paralelă sincronă cu $O(n)$ procesoare operația de interschimbare poate fi executată într-un timp constant, iar operația de pivotare în $O(n)$ pași.

5.5.2 Inversa unei matrice și rezolvare de sistem liniar

Următorul exemplu calculează inversa unei matrice, folosind aplicarea repetată de pași Gauss-Jordan [132]. Aplicând de n ori câte un pas de eliminare *Gauss-Jordan* asupra matricei A de dimensiune $n \times n$ ($n \in \mathbb{N}^*$) se obține matricea inversă A^{-1} [25]. Un pas *Gauss-Jordan* cu elementul pivot $A(u, v) \neq 0$ transformă elementele matricei A astfel:

$$A(i, j) = \begin{cases} 1/A(u, v) & , i = u \wedge j = v \\ -A(i, j)/A(u, v) & , i = u \wedge j \neq v \\ A(i, j)/A(u, v) & , i \neq u \wedge j = v \\ (A(i, j) \cdot A(u, v) - A(i, v) \cdot A(u, j))/A(u, v) & , i \neq u \wedge j \neq v \end{cases}$$

Soluția

Presupunem că matricea A este nesingulară.

Program *inversa*

declare

$A(i, j : 0 \leq i < n, 0 \leq j < n) : \text{array of real}$

$ind1, ind2(i : 0 \leq i < n) : \text{array of integer}$

$x, y(i : 0 \leq i < n) : \text{array of integer}$

initially

$\langle u : 0 \leq u < n : ind1(u), ind2(u) = 0, 0 \rangle$

assign

{pivotare cu elementul $A(u, v)$ dacă $A(u, v) \neq 0$ }

$\langle \llbracket u, v : 0 \leq u < n \wedge 0 \leq v < n :$

$\langle \llbracket i, j : 0 \leq i < n \wedge 0 \leq j < n :$

$A(i, j) := 1/A(u, v) \quad \text{if } i = u \wedge j = v \sim$

$:= -A(u, j)/A(u, v) \quad \text{if } i = u \wedge j \neq v \sim$

$:= A(i, v)/A(u, v) \quad \text{if } i \neq u \wedge j = v \sim$

$:= (A(i, j) \cdot A(u, v) - A(u, j) \cdot A(i, v))/A(u, v) \quad \text{if } i \neq u \wedge j \neq v$

\rangle

$\llbracket ind1(u), ind2(v), x(u), y(v) := 1, 1, v, u$

$\text{if } A(u, v) \neq 0 \wedge ind1(u) = 0 \wedge ind2(v) = 0$

\rangle

end{inversa}

Tablourile x și y se folosesc pentru a marca permutările indicilor pe linii, respectiv coloane. Alegerea elementului pivot se face nedeterminist, cu condiția să fie diferit de zero. Deoarece o operație de pivotare trebuie să se facă o singură dată pentru o linie u și o coloană v , după execuția unui pas de eliminare cu pivotul $A(u, v)$ marcăm $ind1(u) = 1$ și $ind2(v) = 1$. Un pas de eliminare cu pivotul $A(u, v)$ se face doar dacă $ind1(u) = 0 \wedge ind2(v) = 0$.

În final, o permutare a liniilor și a coloanelor matricei rezultate ne va da matricea inversă. Permutările x (pentru linii) și y (pentru coloane) se obțin în funcție de alegerea elementelor de pivotare.

Pentru a transforma matricea rezultat în matricea inversă poate fi folosit programul următor.

```

Program transformare
declare
   $A(i, j : 0 \leq i < n, 0 \leq j < n) : \text{array of real}$ 
   $x, y(i : 0 \leq i < n) : \text{array of integer}$ 
assign
  <  $\square u, v : 0 \leq u < n \wedge 0 \leq v < n :$ 
    {interschimbare a două linii }
  <  $\parallel j : 0 \leq j < n : A(u, j), A(v, j) := A(v, j), A(u, j) >$ 
   $\parallel x(u), x(v) := x(v), x(u)$ 
   $\text{if } x(u) = v \vee x(v) = u$ 
  >
   $\square$ 
  <  $\square u, v : 0 \leq u < n \wedge 0 \leq v < n :$ 
    {interschimbare a două coloane }
  <  $\parallel j : 0 \leq j < n : A(j, u), A(j, v) := A(j, v), A(j, u) >$ 
   $\parallel y(u), y(v) := y(v), y(u)$ 
   $\text{if } y(u) = v \vee y(v) = u$ 
  >
end{transformare}

```

Corectitudinea

Pentru demonstrarea corectitudinii programului *inversa*, notăm $p = (\sum u : 0 \leq u < n : \text{ind1}(u))$ și $q = (\sum u : 0 \leq u < n : \text{ind2}(u))$; se poate demonstra ușor că $p = q$ la orice moment al execuției – deci reprezintă un *invariant*. Numărul $p = q$ crește cu o unitate, după executarea oricărei instrucțiuni. Valoarea lor este mărginită de n și ca urmare programul *inversa* ajunge la punct fix, unde $p = q = n$.

Cu ajutorul indicatorilor se arată că se fac exact n pași de eliminare Gauss-Jordan, cu elemente pivot de pe linii și coloane diferite. Acest lucru implică faptul că matricea rezultat este matricea inversă a matricei inițiale, cu liniile și coloanele eventual amestecate.

Demonstrarea corectitudinii programului *transformare* se bazează pe faptul că orice permutare poate fi scrisă ca un produs de inversiuni.

Mapări posibile

Pe o mașină secvențială programul *inversa* poate fi mapat prin alegerea primului element pivot găsit; căutarea elementului se face în funcție de *ind1* și *ind2*. Timpul de execuție

va fi $O(n^3)$.

Programul poate fi implementat pe un sistem paralel asincron cu memorie partajată, prin asocierea unui procesor unei linii, sau prin asocierea unui procesor fiecărui element al matricei – deci și a operațiilor asociate lor, în cazul în care sunt disponibile suficiente procesoare.

Pe o arhitectură sincronă cu n^2 procesoare, programul *inversa* se execută într-un timp $O(n)$, executându-se în paralel operațiile unui pas de eliminare Gauss-Jordan.

Alte aplicații

Programul *inversa* poate fi folosit și pentru aflarea rangului unei matrice. Rangul matricei va fi egal cu $p = q$, care reprezintă numărul pașilor Gauss-Jordan care au putut fi efectuați.

De asemenea sunt necesare foarte puține modificări pentru a folosi acest program pentru rezolvarea unui sistem linear unic determinat. Matricea A se înlocuiește cu matricea extinsă $M = [A|B]$ și în final rezultatul va fi conținut în ultima coloană a matricei rezultate. Și în acest caz se va ține cont de inversiunea liniilor.

Aplicarea a n pași Gauss-Jordan reprezintă, deasemenea, și etapa a doua a algoritmului SIMPLEX.

5.5.3 Înmulțirea matricelor booleene

Vom prezenta mai multe variante de programe UNITY pentru înmulțirea matricelor booleene $A \times B$, care folosesc operații *ori* între elementele liniilor matricei B [31].

Soluția generală

Fie A o matrice de dimensiune $m \times n$ și B o matrice de dimensiune $n \times r$ cu elemente booleene ($m, n, p \in \mathbb{N}^*$). Dorim să calculăm matricea produs C , unde elementele $C(i, j), 0 \leq i < m, 0 \leq j < p$ sunt date de relația:

$$C(i, j) = (\forall k : 0 \leq k < n : A(i, k) \wedge B(k, j)). \quad (5.27)$$

Un program direct poate fi executat cu o complexitate timp $O(m \cdot n \cdot r)$ pe un procesor sau în $O(\log_2 n)$, folosind $O(m \cdot n \cdot r)$ procesoare sincrone. Există totuși o variantă de înmulțire a două matrice booleene de dimensiune $m \times m$, prin care se poate ajunge la complexitatea timp $O(m^3/\log m)$ folosind un procesor.

Observația majoră care stă la baza acestui program este că orice linie a matricei produs C este o operație *ori* asupra unei submulțimi de linii din B . Fie $B[i]$ linia a i -a a lui B (similar pentru $A[i], C[i]$). Notăm cu $B[i] \vee B[j]$ linia formată prin aplicarea operatorului \vee elementelor corespunzătoare din $B[i]$ și $B[j]$; aceasta înseamnă că al k -lea element din $B[i] \vee B[j]$ este $B(i, k) \vee B(j, k)$.

Prin urmare

$$C(i, j) = (\forall k : 0 \leq k < n \wedge A(i, k) : B(k, j)). \quad (5.28)$$

Fiecare $C[i]$ se obține prin aplicarea operației *ori* asupra unei submulțimi de linii din B ; $B[k]$ este în submulțime dacă și numai dacă $A(i, k)$ este adevărat.

O strategie de a calcula C , folosind ecuația 5.28, este de a calcula mai întâi matricea D , ale cărei linii se obțin prin aplicarea de operații *ori* asupra tuturor submulțimilor posibile ale lui B și apoi a selecta $C[i]$ din D în funcție de $A[i]$.

Deoarece B are n linii, rezultă că D are 2^n linii. Indexul liniilor din D determină liniile din B , din care sunt construite.

Pentru orice $r : 0 \leq r < 2^n$:

$$D[r] = (\forall j : 0 \leq j < n \wedge \text{bitul al } j\text{-lea din reprezentarea binară a lui } r \text{ este } 1 : B[j]). \quad (5.29)$$

Într-o reprezentare binară, biții sunt numărați începând de la 0 pentru bitul cel mai nesemnificativ.

Pentru orice $A[i]$ din A , notăm cu $\overline{A[i]}$ numărul care are bitul al j -lea din reprezentarea sa binară 1 dacă și numai dacă $A(i, j)$ este adevărat – pentru a obține reprezentarea binară pentru $\overline{A[i]}$, interpretăm fals ca fiind 0 și adevărat ca fiind 1.

Atunci avem:

$$\begin{aligned} & D[\overline{A[i]}] \\ &= \{\text{din 5.29}\} \\ & \quad (\forall j : 0 \leq j < n \wedge A(i, j) : B[j]) \\ &= \{\text{din 5.28}\} \\ & \quad C[i]. \end{aligned}$$

Prima variantă este programul UNITY $P1$.

Program $P1$

declare

$D(i, j : 0 \leq i < 2^n, 0 \leq j < p) : \text{array of boolean}$

assign

$< || r : 0 \leq r < 2^n :$

$D[r] := (\forall j : 0 \leq j < n \wedge \text{bitul al } j\text{-lea din reprezentarea binară a lui } r \text{ este } 1 : B[j])$

$>$

$||$

$< || i : 0 \leq i < m : C[i] := D[\overline{A[i]}] >$

end{ $P1$ }

```

Program  $P1'$ 
  declare
     $D(i, j : 0 \leq i < 2^n, 0 \leq j < p) : \text{array of boolean}$ 
  initially  $\langle \parallel r : 0 \leq r < 2^n : D[r] = O \rangle$ 
  assign
     $\langle \parallel r : 0 \leq r < 2^n :$ 
       $\langle \parallel j : 0 \leq j < n : D[r] := D[r] \vee B[j]$ 
        if bitul al  $j$ -lea din reprezentarea binară a lui  $r$  este 1
       $\rangle$ 
     $\rangle$ 
     $\langle \parallel i : 0 \leq i < m : C[i] := D[\overline{A[i]}] \rangle$ 
end{ $P1'$ }

```

Programul $P1$ conține o instrucțiune de atribuire cu valoarea: $(\forall j : 0 \leq j < n \wedge \text{bitul al } j\text{-lea din reprezentarea binară a lui } r \text{ este } 1 : B[j])$ pentru care nu se specifică modul de calculare. Pentru a fi mai riguroși putem transforma programul în programul $P1'$. (S-a folosit vectorul O prin care am notat vectorul cu toate elementele având valoarea *fals*)

Este posibil să se realizeze un calcul mai eficient dacă definim liniile lui D în funcție de alte linii din D .

Pentru doi întregi x, y notăm $x \vee y$ numărul obținut prin aplicarea operației *ori* reprezentărilor binare ale lui x și y . Avem atunci $D[x \vee y] = D[x] \vee D[y]$.

Se observă că $r = 2^j + k$, unde $0 \leq j < n$ și $0 \leq k < 2^j$; j este cea mai semnificativă poziție cu bit egal cu 1 și k este numărul care corespunde următorilor biți. Astfel $D[2^j + k] = B[j] \vee D[k]$.

```

Program  $P2$ 
  declare
     $D(i, j : 0 \leq i < 2^n, 0 \leq j < p) : \text{array of boolean}$ 
  initially
     $D[0] = O$ 
  assign
     $\langle \parallel j, k : 0 \leq j < n \wedge 0 \leq k < 2^j : D[2^j + k] := B[j] \vee D[k] \rangle$ 
     $\parallel \langle \parallel i : 0 \leq i < m : C[i] := D[\overline{A[i]}] \rangle$ 
end{ $P2$ }

```

Corectitudinea programului $P2$: Dacă execuția primei instrucțiuni nu mai produce nici o modificare de stare, execuția instrucțiunii prin care se inițializează matricea C conduce starea programului într-un punct fix.

Considerăm predicatul

$$p_i \equiv D[i] = (\forall j : \text{bitul } j \text{ din reprezentarea binară a lui } i \text{ este } 1 : B[j])$$

Alegem $FP \equiv (\forall i : 0 \leq i < 2^n - 1 : p_i) \wedge (\forall i : 0 \leq i < m : C[i] = D[\overline{A[i]})$. Se poate arăta ușor că acest predicat satisface condiția de predicat al punctului fix.

Avem relația: $p_k \mapsto p_{2^j \vee k}, \forall k, j : 0 \leq j < n \wedge 0 \leq k < 2^j$. Inițial este adevărat predicatul p_0 . Prin inducție completă (datorită tranzitivității relației *leads-to*), se poate arăta că $p_0 \mapsto (\forall i : 0 \leq i < 2^n - 1 : p_i)$. De asemenea, avem $true \mapsto (\forall i : 0 \leq i < m : C[i] := D[\overline{A[i]})$, datorită celei de-a doua instrucțiuni.

Am arătat că se ajunge la o stare în care este adevărat predicatul $(\forall i : 0 \leq i < 2^n - 1 : p_i)$. Orice execuție a primei instrucțiuni în această stare nu va produce nici o modificare de stare. Prin urmare, am demonstrat că se ajunge la punct fix și FP satisface specificația.

Numărul de operații *ori* este proporțional cu $(+j : 0 \leq j < n : 2^j) = O(2^n)$. Numărul de linii din C care sunt atribuite este $O(m)$. Deci numărul total de operații linie este $O(2^n + m)$. Dacă n este $O(\log m)$, înmulțirea matricelor booleene poate fi făcută în $O(m)$ operații linie sau într-un timp $O(m \cdot p)$ pe o arhitectură secvențială.

Două matrice booleene cu dimensiunea $m \times m$ fiecare, pot fi înmulțite prin partiționarea mai întâi a matricei din stânga în $m/\log m$ submatrice de dimensiune $m \times \log m$ și a matricei din dreapta în același număr de submatrice cu dimensiunea $\log m \times m$ și apoi înmulțirea perechilor corespunzătoare, fiecare într-un timp $O(m^2)$ pe o arhitectură secvențială. Întregul produs va fi calculat ca disjuncție a matricelor produs corespunzătoare. Prin urmare, înmulțirea matricelor booleene are o complexitate-timp de $O(m^3/\log m)$ pe o mașină secvențială, care reprezintă o îmbunătățire față de $O(m^3)$.

Înmulțirea matricelor booleene pe arhitecturile paralele

Pe arhitectură paralelă fiecare linie din D se calculează prin $O(n)$ operații *ori* cu linii din B . Dacă folosim $O(n \cdot p)$ procesoare, poate fi calculată într-o complexitate-timp $O(\log n)$. Toate liniile din D pot fi calculate în paralel; prin urmare matricea D poate fi calculată într-un timp $O(\log n)$ folosind $O(2^n \cdot n \cdot p)$ procesoare. Calcularea matricei C se poate face apoi într-un timp $O(1)$, folosind $O(m \cdot p)$ procesoare.

Este posibil de a obține un program P3 mai bun, folosind ideea programului P2.

Program P3
declare
 $D(i, j : 0 \leq i < 2^n, 0 \leq j < p) : \text{array of boolean}$
initially
 $D[0] = O$
 $\langle \parallel j : 0 \leq j < n : D[2^j] = B[j] \rangle$
assign
 $\langle \parallel t : 0 < t < n \wedge t \text{ este o putere a lui } 2 :$
 $\langle \parallel r : t < |r| \leq 2t \wedge 1 \leq r < 2^n :$
 $\{r_x \text{ are biti } 1 \text{ pe primele } t \text{ poziții unde } r \text{ are } 1\}$
 $\{r_y \text{ are biti } 1 \text{ pe celelalte poziții unde } r \text{ are } 1\}$
 $D[r] := D[r_x] \vee D[r_y]$
 \rangle
 \rangle
 $\parallel \langle \parallel i : 0 \leq i < m : C[i] := D[\overline{A[i]}] \rangle$
end\{P3\}

Ideea se bazează pe relația $D[r] = D[x] \vee D[y]$, unde $r = x \vee y$. Putem alege x și y , astfel încât fiecare să aibă aproximativ jumătate din numărul de biți egali cu 1 din reprezentarea binară a lui r . Formal, fie $|r|$ numărul de biți egali cu 1 din reprezentarea binară a lui r . Dacă $t < |r| \leq 2t$ este posibil să găsim x, y astfel încât $r = x \vee y$, $|x| \leq t$ și $|y| \leq t$. Alegem x, y astfel: x are 1 în reprezentarea sa binară exact în primele t poziții unde r are 1, iar y are 1 pe pozițiile care rămân. Astfel, toate liniile din D ale căror indici au $2t$ sau mai puțini de 1 în reprezentarea lor binară pot fi calculați într-un pas paralel din liniile lui D care au t sau mai puțini 1 în reprezentarea binară a indicilor lor. Un indice de linie din D are cel mult n de 1 în reprezentarea lor binară; deci toate liniile lui D se calculează în $O(\log n)$ pași.

Calcularea unei linii necesită aplicarea unei operații *ori* la două linii cu lungimea p ; deci sunt necesare $O(p)$ procesoare pentru această operație. Prin urmare sunt necesare $O(2^n \cdot p)$ procesoare.

Corectitudinea programului *P3*: Demonstrarea corectitudinii se face în mod analog cu demonstrarea corectitudinii programului *P2*. Ne vom concentra atenția pentru a demonstra că prima instrucțiune cuantificată conduce la formarea corectă a matricei D . Orice execuție a instrucțiunii $\langle \parallel i : 0 \leq i < m : C[i] := D[\overline{A[i]}] \rangle$ nu are importanță înaintea calculării complete a matricei D . Execuția ei după ce starea matricei D nu se mai schimbă, conduce la punct fix.

Considerăm predicatul $p_i : D[i] = (\forall j : \text{bitul } j \text{ din reprezentarea binară a lui } i \text{ este } 1 : B[j])$. Avem relația. $p_x \wedge p_y \mapsto p_{x \vee y}$. Inițial predicatele p_{2^j} sunt adevărate pentru $0 \leq j < n$. Prin inducție completă se poate arăta că $(\wedge : 0 \leq j < n : p_{2^j}) \mapsto (\forall i : 0 \leq i < 2^n - 1 : p_i)$. Deci matricea D este corect calculată.

Extindere – înmulțire matrice de numere

Există numeroase aplicații (din teoria grafurilor, teoria compilatoarelor, etc.) în care se cere să se realizeze operații de înmulțire între matrice ale căror elemente aparțin mulțimii $\{0, 1\}$.

Este posibil să se adapteze programul pentru înmulțirea matricelor booleene pentru a putea fi folosit la înmulțirea a două matrice A și B de dimensiune $m \times m$, ($m \in \mathbb{N}^*$), $A(i, j) \in \{0, 1\}$ [130].

Transformăm programul P3 astfel: înlocuim operatorul *ori* cu operatorul $+$, iar $\overline{A[i]}$ se calculează în mod analog cu modul de calculare anterior, cu diferența că se înlocuiește valoarea adevărat cu 1 și valoarea fals cu 0. Se obține, astfel, un program pentru înmulțire de matrice cu proprietățile specificate anterior.

Avantajele folosirii algoritmului bazat pe înmulțirea matricelor booleene sunt și de această dată legate de complexitatea-timp obținută. Complexitatea unei implementări pe o arhitectură sincronă cu $2^m \cdot m$ procesoare este $O(\log_2 m)$.

Extindere – înmulțire matrice rare

O extindere a algoritmului de înmulțire a matricelor se poate face și pentru matricele rare [130]. În cazul matricelor rare ordinul m al matricelor este foarte mare, iar numărul elementelor nenule este de ordin $O(m)$.

Vom considera din nou cazul special în care elementele matricii A satisfac condiția: $A(i, j) \in \{0, 1\}$.

O reprezentare clasică pentru matrici rare folosește câte o listă pentru fiecare linie a matricii [177]. În fiecare nod al listei a i -a se memorează câte o pereche (j, v) care reprezintă un număr de coloană și valoarea $v = A(i, j) \neq 0$ (lista este ordonată crescător în funcție de j). Numărul de noduri ale unei liste este egal cu numărul elementelor nenule de pe acea linie.

Putem asocia fiecărei linii i a unei matrice rare A , un număr $\overline{A[i]}$ a cărui reprezentare în baza 2 are următoarea proprietate: bitul al j -lea este egal cu 1 dacă și numai dacă $A(i, j) \neq 0$ (este analog numărului $\overline{A[i]}$ definit pentru matricele booleene).

Numărul $\overline{A} = (\forall i : 0 \leq i < m : \overline{A[i]})$ va furniza informații despre numărul de coloane cu toate elementele 0 ale matricii A . Notăm cu m' numărul de biți diferiți de 0 din reprezentarea lui \overline{A} ($m' = |\overline{A}|$).

Pentru a adapta programul P3 la înmulțirea matricelor rare, calculăm pentru fiecare $i : 0 \leq i < m$, numărul $\widetilde{A[i]}$ din numărul $\overline{A[i]}$ astfel: se elimină biții de pe pozițiile în care numărul \overline{A} are biți egali cu 0. De exemplu, dacă $\overline{A} = 1010001001$, iar pentru un i oarecare $\overline{A[i]} = 1000001000$ atunci $\widetilde{A[i]} = 1010$.

Apoi, calculăm matricea B' ($m' \times m$) prin înlăturarea liniilor j din B , pentru care bitul al j -lea din reprezentarea lui \overline{A} este nul. Aceste linii pot fi eliminate pentru că nu vor participa la calcularea elementelor matricii produs, datorită coloanelor complet nule, corespunzătoare, din matricea A .

Putem acum să definim programul P4 pentru înmulțirea matricelor rare $A \times B$, $A(i, j) \in \{0, 1\}$. Programul va folosi matricea B' în loc de matricea B și numerele

$\widetilde{A}[i]$ în locul numerelor $\overline{A}[i]$.

Notăm cu *List* tipul listelor folosite pentru reprezentarea liniilor matricelor rare, iar aici *O* reprezintă lista vidă.

```

Program P4
  declare
     $D(i : 0 \leq i < 2^{m'}) : \text{array of List}$ 
  initially
     $D[0] = O$ 
     $\langle \parallel j : 0 \leq j < m' : D[2^j] = B'[j] \rangle$ 
  assign
     $\langle \parallel t : 0 \leq t < m' \wedge t \text{ este o putere a lui } 2 :$ 
       $\langle \parallel r : t < |r| \leq 2t \wedge 1 \leq r < 2^n :$ 
         $\{r_x \text{ are biti } 1 \text{ pe primele } t \text{ poziții unde } r \text{ are } 1\}$ 
         $\{r_y \text{ are biti } 1 \text{ pe celelalte poziții unde } r \text{ are } 1\}$ 
         $D[r] := D[r_x] \oplus D[r_y]$ 
       $\rangle$ 
     $\rangle$ 
     $\parallel \langle i : 0 \leq i < m : C[i] := D[\widetilde{A}[i]] \rangle$ 
  end{P4}

```

Suma $D[r] := D[r_x] \oplus D[r_y]$ reprezintă suma a două linii a căror reprezentare este dată sub formă de listă. Complexitatea-timp a acestei operații este dată de suma lungimilor celor două liste; prin urmare depinde de numărul maxim de elemente nenule de pe o linie a matricii. Dacă notăm $LA = (\max i : 0 \leq i < m : (+j : 0 \leq j < m \wedge A(i, j) \neq 0 : 1))$ și analog LB , atunci complexitatea operației este mărginită de $2LB$.

Complexitatea întregului program pe o arhitectură sincronă cu $O(2^{m'})$ procesoare este mărginită de $O(LB \log_2 m')$. Aceasta este mai bună decât complexitatea obținută printr-un algoritm clasic care este $O(LA \cdot m)$, folosind $O(m)$ procesoare.

Complexitatea calculării numerelor \overline{A} și $\widetilde{A}[i], 0 \leq i < m$ este $O(m)$ folosind $O(m)$ procesoare.

Dacă numărul m' este $O(\log_2 m)$ atunci numărul de procesoare necesare este $O(m)$. Dacă nu există suficiente procesoare disponibile, matricile pot fi partiționate în submatrice (matricia *A* se partiționează pe coloane, iar matricia *B* pe linii) și apoi se calculează matricia rezultat ca fiind suma submatricelor produs rezultate.

Sumar

Modelul prezentat în acest capitol este nu doar un model de construcție pentru programe paralele, ci este un model general de construcție a programelor, fie ele secvențiale sau paralele. Prin caracterul lui unitar aduce o nouă perspectivă în construcția programelor și pe de altă parte conduce la depășirea inerției în construcția de programe paralele.

Folosind acest model, nu este mai dificil să se construiască un program paralel, decât unul secvențial; se construiește de fapt o schemă program unică, care apoi este implementată pe diverse arhitecturi secvențiale sau paralele.

Metoda permite de asemenea verificarea formală a corectitudinii programelor.

Această metodă folosește un nivel înalt de abstractizare pentru construcția de programe și schimbă modul uzual de abordare în construcția programelor.

Capitolul 6

Dezvoltare formală din specificații a algoritmilor paraleli

În acest capitol, vom prezenta o metodă de dezvoltare formală, care se poate folosi cu succes pentru aplicații paralele bazate pe transmitere de mesaje. Prin urmare algoritmi derivați prin această metoda pot fi ușor implementați folosind biblioteci de tip PVM (“Parallel Virtual Machine”) și MPI (“Message Passing Interface”). De asemenea, metoda poate fi adaptată și pentru modelul BSP (“Bulk Synchronous Parallel”) care se bazează pe superpași delimitați de bariere de sincronizare. Mai multe detalii despre acestea vor fi date în Capitolul 9.

Metoda prezentată este o metodă de dezvoltare corectă a programelor paralele, pornind de la specificații. Ea are la bază folosirea proceselor și a specificațiilor parametrizate [111].

Folosind această metodă este analizată și problema distribuției datelor în mod formal și este evidențiat de asemenea impactul distribuțiilor de date în dezvoltarea programelor paralele.

Distribuția datelor este determinantă în construcția programelor paralele. Se pot folosi *distribuții simple* prin care o dată este atribuită unui singur proces, sau *distribuții multivoce*, prin care o dată de intrare se atribuie unei mulțimi de procese. Distribuțiile multivoce se folosesc în special atunci când numărul datelor de intrare este mai mic decât numărul de procese (programe paralele pentru sisteme cu granulație fină), dar așa cum relevă și ultimul exemplu prezentat în capitol, în anumite cazuri folosirea lor poate conduce la programe paralele generale mai eficiente.

6.1 Descrierea metodei

Un program paralel poate implica multe procese cu interacțiuni complexe. Este știut faptul că un grad înalt de complexitate pentru un program paralel îngreunează foarte mult dezvoltarea lui.

Metodele formale și principiile de inginerie informatică, cum este separarea obiective-

lor, sunt indispensabile în construcția programelor paralele. Metoda pe care o prezentăm aici, se bazează pe metodele formale de construcție a programelor secvențiale. Esențială în această metodă este noțiunea de *parametrizare* a proceselor. Un proces parametrizat este asemănător unei proceduri dintr-un program secvențial; diferența constă în faptul că nu avem o singură instanțiere (apel), ci avem mai multe la un moment dat. Un program paralel se obține din instanțierea a p procese, dintr-un singur proces parametrizat. Se obțin astfel procese cu structură similară. Specificarea proceselor parametrizate este foarte asemănătoare cu specificarea programelor secvențiale. Un program paralel este specificat folosind specificații funcționale ca și în programarea secvențială. O asemenea specificare formează punctul de start pentru dezvoltarea unui program paralel, o construcție formală a proceselor parametrizate constituind un program paralel. Pentru a ajunge la această construcție formală folosim precondiții, postcondiții și invarianți parametrizați.

Un proces parametrizat este detaliat în secvențe de programe secvențiale ordinare și în procese de comunicație. În acest fel un program este descompus în nivele ale instanțelor proces.

Exemplu:

$$\begin{array}{llll}
 & S.0 :: & S.1 :: & S.2 :: \\
 L0 & S0.0 & S0.1 & S0.2 \\
 L1 & ; C0.0 & ; C0.1 & ; C0.2 \\
 L2 & ; S1.0 & ; S1.1 & ; S1.2 \\
 L3 & ; C1.0 & ; C1.1 & ; C1.2
 \end{array} \tag{6.1}$$

Acest exemplu prezintă un program paralel, constând din 3 instanțe ale procesului parametrizat S . Fiecare proces $S.q$, $0 \leq q < 3$, este descompus pe verticală într-o secvență de 4 procese $S0.q$, $C0.q$, $S1.q$, $C1.q$. Procesele parametrizate $S0.q$ și $S1.q$ sunt programe secvențiale, iar $C0.q$, $C1.q$ sunt procese de comunicație. Un alt mod de a privi un program este prin descompunerea sa pe nivele: $L0$, $L1$, $L2$, $L3$. Fiecare nivel constă din același proces parametrizat. O regulă importantă pentru asigurarea dezvoltării corecte a programelor impune ca și comunicația să aibă loc doar între procese de comunicație din același nivel.

Această specificare strictă a obiectivelor în construcția unui program paralel are următoarele avantaje:

- Poate fi dată o specificație clară pentru fiecare proces parametrizat.
- Tipul interacțiunii între procese este limitat, deoarece un proces parametrizat este ori un program secvențial ordinar, ori un proces de comunicație.
- Rolul unui proces de comunicație devine clar și este facilitată demonstrarea corectitudinii programelor paralele. Este relativ ușor de analizat influența rețelei de comunicație asupra complexității programelor paralele și putem considera implementări diferite pentru procesele de comunicație.
- Fiecare coloană poate fi considerată ca o unitate – o implementare pe un sistem multiprocesor poate fi făcută prin atribuirea fiecărei coloane unui procesor.

- Distribuirea volumului de calcul și a comunicațiilor echilibrat între nivele garantează obținerea unui program paralel eficient.

6.1.1 Construcția programelor paralele

6.1.2 Specificații funcționale

Modalitatea de specificare a programelor paralele pornește de la specificația formală Hoare pentru programe secvențiale:

$$\{Q\}S\{R\}, \quad (6.2)$$

unde Q este precondiția, R postcondiția și S programul. Semnificația specificației Hoare este: dacă S începe într-o stare în care predicatul Q este adevărat și S se termină, atunci după execuție, R va fi adevărat (condiția de parțial corectitudine). Tripletul Hoare poate fi extins pentru specificarea programelor paralele astfel: precondiția și postcondiția sunt scrise ca și conjuncții de p ($p > 0$) pre- și post- condiții locale pentru fiecare proces(fir) al programului paralel:

$$\{Q.q\}S.q\{R.q\}, 0 \leq q < p. \quad (6.3)$$

Dacă S este un program paralel parametrizat, pre- și post- condițiile sunt parametrizate. Deci în locul a p specificații, poate fi dată doar una, dar parametrizată. O specificație parametrizată poate conține variabile locale care reprezintă părți ale datelor distribuite(ex. tablou, graf). Deci parametrii specificației sunt q, p , și distribuția datelor D . În aserțiuni nu se mai specifică parametrii p și D , pentru simplificarea notației. Sunt posibile diferite distribuții a datelor, fiecare având un alt impact asupra complexității programului paralel. Presupunem că nu există memorie partajată (deci variabile globale), datele fiind toate partiționate între procese.

Exemplul 6.1 Prezentăm structura și specificația unui program pentru calcularea sumei a n numere date într-un tablou t de lungime n . Programul paralel este format din p instanțe pentru S , numite $S.q, 0 \leq q < p$, care se vor executa în paralel:

```

||[p, n : int;
   t(i : 0 ≤ i < n) : array of int;
   {0 ≤ q < p}
  par  q : 0 ≤ q < p
      ||[w : int;
        {Q.q : 0 < n}
        S.q
        {R.q : w = (∑ i : 0 ≤ i < n : t(i))
        ||
      rap
    ||

```

Dacă $p = 1$ avem o specificație pentru un program secvențial.

6.1.3 Invarianți

Modalitatea de a obține un proces parametrizat S pornind de la specificații este similară cu metodele folosite în programarea secvențială. Se încearcă obținerea unui invariant prin calcul. Programul este derivat prin calcularea condițiilor necesare pentru a menține invariantul. Într-o derivare, fiecare subproblemă care se identifică va fi mai simplă decât problema inițială. Procesul de rafinare este repetat până când construcția programului text care respectă specificația devine trivială. Invariantii sunt de asemenea parametrizați, consecință naturală a faptului că specificațiile sunt parametrizate. Se folosesc astfel tehnicile programării secvențiale. Găsirea invariantului poate fi făcută mai ușor dacă se consideră distribuția datelor stabilită dinainte. Este necesară rescrierea pre- și post- condițiilor în așa fel încât să poată fi identificate specificațiile locale și globale. O *specificație locală* face referire la datele locale procesului și ea poate fi satisfăcută de un program secvențial. O *specificație globală* cere anumite forme de coordonare între procese; anumite procese trebuie să interacționeze între ele prin schimb de mesaje pentru a satisface specificația.

Exemplul 6.2 Pentru specificația dată în exemplul anterior, fie $O.q$ setul de indecși ai elementelor tabloului t , care sunt repartizate procesului q . Ca prim pas spre a obține un invariant se identifică două subprobleme: înregistrarea sumelor locale (formate din însumarea elementelor locale procesului) în variabila locală s și însumarea acestor valori locale. Acesta poate fi derivat prin rescrierea predicatului $R.q$:

$$\begin{aligned} & (\sum i : 0 \leq i < n : t(i)) \\ & = \{\text{rescrierea domeniului}\} \\ & (\sum q : 0 \leq q < p : (\sum i : 0 \leq i < O.q : t(i))) \\ & = \{\text{introducerea sumelor parțiale}\} \\ & (\sum q : 0 \leq q < p : lsum.q), \end{aligned}$$

unde $lsum.q = (\sum i : 0 \leq i < O.q : t(i))$, pentru toți $q : 0 \leq q < p$.

S-au identificat astfel două subprobleme cu postcondițiile $R0.q$ și $R1.q$, scrise în specificația dată în continuare:

$$\begin{aligned} & S.q :: \\ & \llbracket s : int; \\ & \quad S0.q \\ & \quad \{R0.q : s = lsum.q\} \\ & \quad ; S1.q \\ & \quad \{R1.q : w = (\sum q : 0 \leq q < p : lsum.q)\} \\ & \rrbracket \end{aligned}$$

Pentru procesul $S0.q$ este ușor să obținem un invariant; procesul $S1.q$ necesită o comunicație globală între procese.

6.1.4 Corectitudinea

Prin acest mod de elaborare a programelor paralele se dorește obținerea unor programe corecte prin construcție. Demonstrarea corectitudinii programelor paralele se reduce la demonstrarea corectitudinii aplicării regulilor de construcție. În secțiunile necomunicante ale unui proces parametrizat, avem doar aserțiuni și liste de instrucțiuni. Corectitudinea poate fi demonstrată folosind aserțiunile și regulile de demonstrare. Singura comunicare permisă între procese este transmiterea de mesaje. Partea unei instanțe proces care conține asemenea instrucțiuni de comunicație este numită subproces de comunicație. Înaintea trimiterii unei valori este făcută o aserțiune explicită asupra valorii comunicate. Aserțiunile asupra acestor valori sunt exprimate în termenii unor expresii globale. În acest fel interferența demonstrațiilor este evitată.

În general, funcționalitatea unui proces de comunicație este simplă. Este suficient să se studieze câteva procese de comunicație frecvent folosite și implementarea lor pe diferite rețele de comunicație. Acestea vor fi adaptate pentru fiecare program paralel concret. Procesele de comunicație sunt parametrizate și ele, și pot fi specificate izolat. Aceasta permite o singură demonstrare de corectitudine și facilitează această demonstrare. Se pune totuși o restricție puternică asupra proceselor parametrizate de comunicație: toate comunicațiile apar între instanțele aceluiași proces parametrizat. Un astfel de proces (instanță) se numește *închis la comunicații* (“*communication closed*”). Privind programul paralel descompus pe nivele - fiecare nivel poate fi ori o listă de instrucțiuni ori instrucțiuni de comunicație. Nivelele pot fi separate sintactic prin punct și virgulă și sunt specificate de pre- și post- condiții.

$$S.q :: \begin{array}{l} \ll \\ S0.q \\ ; C0.q \\ ; S1.q \\ \gg \end{array}$$

Instanțele procesului $S0$ formează un nivel care are pre- și post- condiții parametrizate; instanțele procesului de comunicație $C0$ formează de asemenea un nivel. E posibil ca fiecare proces $S1.q$ să fie mai departe descompus.

$$S1.q :: \begin{array}{l} \ll \quad \mathbf{do} \ B.q \rightarrow \\ \quad S2.q \\ \quad ; C1.q \\ \quad ; S3.q \\ \quad \mathbf{od} \\ \gg \end{array}$$

$B.q$ este o expresie booleană în termenii variabilelor locale procesului q . Corectitudinea parțială a buclei din $S1$ este dovedită de $\{P.q \wedge B.q\}S2.q; C1.q; S3.q\{P.q\}$ pentru un invariant $P.q$ al lui $S1.q$. Se formează 3 nivele logice în buclă. E posibil ca instanțele proces să se execute în nivele diferite, dar logic $S1$ e descompus în nivele ale căror corectitudine se demonstrează separat.

Termenul *nivel* a fost introdus pentru prima dată, în contextul programării paralele în “Decomposition of distributed programs into communication-closed layers” de T.Elrad și N.Frances (1982). În metodologia prezentată aici, conceptul de nivel nu este folosit doar pentru verificarea corectitudinii, ci este o parte a metodologiei de elaborare. Programatorul este responsabil de formarea nivelelor logice.

6.1.5 Notăția programelor

Notăția programelor se bazează pe limbajul comenzilor gardate, definit de Dijkstra[47]. Declararea variabilelor se face în stilul Pascal, extinsă cu regulile de specificare de domeniu. Simbolurile $[[x \dots]]$ delimitează domeniul variabilei x . Exemple:

$$\begin{aligned} x &: int; & z &: real; \\ t(i : 0 \leq i < n) &: array \text{ of } real. \end{aligned}$$

Construcțiile program sunt:

- *abort* – oprire necondiționată
- *skip* – instrucțiune inoperantă
- $x := e$ – instrucțiune de atribuire
- $S0; S1$ – compoziție secvențială
- **if** $B0 \rightarrow S0 \parallel B1 \rightarrow S1 \dots$ **fi** – construcție alternativă
- **do** $B0 \rightarrow S0 \parallel B1 \rightarrow S1 \dots$ **od** – construcție ciclică
 $B0$ și $B1$ sunt expresii booleene.

Se folosește în plus, o extensie a notației Dijkstra:

- **for all** $i : i \in Set : S.i$ **lla rof** – instrucțiune *for* în care ordinea de efectuare a instrucțiunilor $S.i$ este arbitrară.

Exemplu:

$$\begin{aligned} s &:= 0 \\ ; \text{for all } i : i \in O.q : s &:= s + t(i) \text{ lla rof} \end{aligned}$$

Compoziția paralelă este notată prin:

$$\text{par } q : 0 \leq q < p : S.q \text{ rap}$$

și specifică faptul că procesele $S.q$ încep în același moment și se execută în paralel. O instrucțiune **par** se termină atunci când toate procesele constituate se termină.

Exemplul 6.3 (specificare implicită)

$$\mathbf{par} \ s, t : 0 \leq s < M, 0 \leq t < N : S.s.t \ \mathbf{rap}$$

unde $p = M * N$, specifică compoziția paralelă a p procese $S.s.t$, fiecare identificat de perechea (s, t) cu $0 \leq s < M, 0 \leq t < N$.

Exemplul 6.4 (specificare explicită)

$$\mathbf{par} \ C0.q, C1.q \ \mathbf{rap}$$

denotă compoziția paralelă a două procese paralele și este folosită în procesele de comunicație pentru a exprima execuția simultană a unor comunicații.

Comunicația este exprimată prin instrucțiunile:

$r ! e$ – procesul curent trimite valoarea e spre procesul r ,

$s ? x$ – procesul curent așteaptă primirea unei valori de la procesul s , pe care o va reține în variabila x .

Prin expresiile:

$$\begin{aligned} s &:: r!e \\ r &:: s?x \end{aligned}$$

se definește un canal de comunicație de la procesul s la procesul r . Un asemenea canal este partajat între două procese și direcția este de la emițător la receptor. Orice instrucțiune de intrare(recepție) are corespunzător o instrucțiune de ieșire(transmisie) și viceversa. Nu se folosesc nume specifice pentru canale, dar se pot folosi numerele de proces pentru a identifica un canal. Instrucțiunea $(q + 1) ! 10$ în procesul q denotă faptul că procesul q trimite valoarea 10 spre procesul $(q + 1)$. Expresia $(q + 1) ?$ este numită *expresie canal*. Mecanismul de comunicare poate fi sincron sau asincron. Se consideră însă, ca mesajele(valorile) transmise de un proces ajung întotdeauna, într-un timp arbitrar, la procesul receptor, fără duplicate și în ordinea în care au fost transmise. În acest fel, specificațiile se referă doar la procesele parametrizate și nu trebuie introduse specificații de canal.

6.1.6 Reguli de demonstrare

O demonstrație “slabă” (parțial corectitudine) a unui program paralel în absența “deadlock”-ului este ca și în cazul unui program secvențial, legată de adnotarea programului și de folosirea regulilor de demonstrare. Un program adnotat are aserțiuni înainte și după textul programului, în conformitate cu specificațiile și aserțiuni între instrucțiuni. O asemenea aserțiune sau triplet Hoare:

$$\{Q.q\}S.q\{R.q\}$$

este validă dacă este o axiomă sau dacă se obține prin aplicarea regulilor de inferență. Pornind de la axiomatizarea Hoare avem următoarele 2 axiome și 4 reguli de inferență: (notăm : $P[e \setminus x]$ predicatul care se obține din predicatul P , dacă se înlocuiește e cu x).

1. Axioma Skip:

$$\{P\} \text{ skip } \{P\}$$

2. Axioma Atribuire:

$$\{P[e \setminus x]\} x := e \{P\}$$

3. Regula Compoziție:

$$\frac{\{P\} S_0 \{Q\}, \{Q\} S_1 \{R\}}{\{P\} S_0; S_1 \{R\}}$$

4. Regula If:

$$\frac{(i : 0 \leq i \leq m : \{P \wedge B_i\} S_i \{Q\})}{\{P\} \text{ if } B_0 \rightarrow S_0 \parallel B_1 \rightarrow S_1 \parallel \dots \parallel B_m \rightarrow S_m \text{ fi } \{Q\}}$$

5. Regula Do:

$$\frac{(i : 0 \leq i \leq m : \{P \wedge B_i\} S_i \{P\})}{\{P\} \text{ do } B_0 \rightarrow S_0 \parallel B_1 \rightarrow S_1 \parallel \dots \parallel B_m \rightarrow S_m \text{ od } \{P \wedge \neg(B_0 \vee \dots \vee B_m)\}}$$

6. Regula Consecință:

$$\frac{P \Rightarrow P', \{P'\} S \{Q'\}, Q' \Rightarrow Q}{\{P\} S \{Q\}}$$

Pentru programele paralele se adaugă reguli și axiome noi.

7. Regula Par

$$\frac{(\forall i : 0 \leq i < p : \{Q.i\} S.i \{R.i\})}{\{(\forall i : 0 \leq i < p : Q.i)\} \text{ par } q : 0 \leq q < p : S.q \text{ rap } \{(\forall i : 0 \leq i < p : R.i)\}}$$

Dacă toate condițiile sunt adevărate atunci, dacă procesele $S.q$ se termină, toate postcondițiile sunt adevărate. Spațiile de stare pentru procese sunt disjuncte, deoarece fiecare proces are propria mulțime de variabile locale. Execuția unui proces nu poate altera starea altui proces, decât dacă între cele două procese apar comunicații. Regula Par spune că, dacă am construit un proces parametrizat $S.q$ cu pre- și post- condițiile corespunzătoare, atunci avem un program paralel. Derivarea unui program paralel poate fi începută în două moduri diferite. Cel mai natural este de a începe de la postcondiția locală și a încerca apropierea de condiție prin rafinare. Cealaltă cale constă în formularea de invarianți globali, un invariant despre datele distribuite, ca un întreg. Invarianții globali servesc ca intermediari pentru invarianții locali.

Pentru comunicații se introduce o axiomă și o regulă de inferență.

8. Axioma Input:

$$r :: \{true\} s?x \{M.x\},$$

unde $M.x$ este un predicat în termenii variabilei locale x , a procesului r și a numărului de proces s care trimite valoarea. Predicatul $M.x$ satisface condiția: $(\exists x :: M.x)$, adică există valori ale lui x pentru care predicatul $M.x$ este satisfăcut (nu reprezintă o imposibilitate). Axioma asigură faptul că orice poate fi concluzionat după recepția unei valori. Deși această axiomă poate fi interpretată ca fiind foarte puternică datorită faptului că în partea dreaptă poate fi o concluzie puternică, totuși dacă considerăm axioma input izolată cu un singur proces în execuție, avem o instrucțiune input blocată și orice predicat $M.x$, care nu e identic fals, poate fi considerat adevărat după terminare.

Regula de inferență pentru comunicație este următoarea:

9. Regula Comunicație:

$$\frac{r :: \{true\} \ s?x \ \{M.x\}}{s :: \{M.x[x \setminus e]\} \ r!e \ \{M.x[x \setminus e]\}}$$

unde $M.x$ este un predicat în termenii variabilei locale x , a procesului r și numărului de proces s , iar e este o expresie locală procesului s .

Motivația introducerii regulii Comunicație în construirea unui proces de comunicație este următoarea: Avem disponibile postcondiția procesului receptor r și în particular o aserțiune $M.x$ asupra valorii care va fi comunicată. Precondiția procesului emițător e ușor de obținut prin substituție ($M.x[x \setminus e]$). Trimiterea valorii nu schimbă starea procesului s , deci postcondiția este aceeași cu precondiția. Nu se fac aserțiuni despre starea globală. Această regulă de demonstrare e mai degrabă slabă, pentru că nu se fac aserțiuni decât asupra valorii comunicate. Pentru această metodă de construcție de programe, regula aceasta este suficientă și poate fi folosită și pentru transmiterea asincronă.

Exemplul 6.5 Fie $M.x \equiv \text{impar}.x$ și $e = y + 1$.

$$\begin{aligned} & M.x[x \setminus e] \\ \equiv & \{\text{substituție}\} \\ & \text{impar}.(y + 1) \\ \equiv & \{\text{calcul}\} \\ & \text{par}.y \ \{\text{precondiția pentru } s\} \end{aligned}$$

Aplicarea regulii Comunicație:

$$\frac{r :: \{true\} \ s?x \ \{\text{impar}.x\}}{s :: \{\text{par}.y\} \ r!(y + 1) \ \{\text{par}.y\}}$$

Se observă că această comunicație este analoagă unei atribuirii $x := e$. Partea dreaptă este evaluată de procesul s și rezultatul e comunicat lui r , care atribuie valoarea primită variabilei x .

Observație: Este permisă apariția numărului de proces în expresia e .

Exemplul 6.6 Considerăm două procese de comunicație care se execută în paralel $C.0, C.1$, iar $M.x.q \equiv x = 1 - q$ pentru $q = 0, 1$.

$$\begin{array}{l}
C.q :: \\
|| [x : int; \\
\quad \{0 \leq q < 2 \wedge B.q\} \\
\quad \mathbf{par} \{B.q\} (1 - q)!q \{B.q\}, \\
\quad \quad \{B.q\} (1 - q)?x \{M.x.q\} \\
\quad \mathbf{rap} \\
\quad \{M.x.q \wedge B.q\} \\
\\
|| \\
\end{array}$$

$B.q$ este condiția necesară, care nu e încă cunoscută. Pentru a folosi regulile de comunicație, trebuie identificate comunicațiile pereche, adică:

$$\begin{array}{l}
1 - q :: \{B.(1 - q)\} q?x \{M.x.(1 - q)\} \\
q :: \{B.q\} (1 - q)!q \{B.q\}
\end{array}$$

Folosim regula de inferență cu $r = 1 - q$ și $s = q$:

$$\frac{(1 - q) :: \{true\} q?x \{M.x.(1 - q)\}}{q :: \{M.x(1 - q)[x \setminus q]\} (1 - q)!q \{M.x.(1 - q)[x \setminus q]\}}$$

Pentru a găsi condiția $B.q$ folosim următoarea derivare:

$$\begin{array}{l}
M.x.(1 - q)[x \setminus e] \\
\equiv \{\text{definiția lui } M.x.(1 - q), e\} \\
x = q[x \setminus q] \\
\equiv \{\text{substituție}\} \\
true \\
\equiv \\
B.q
\end{array}$$

În concluzie $B.q = true$.

Aserțiunile în procesele de comunicație sunt adnotate în conformitate cu regula Comunicație. Adică, pentru procesul care recepționează, se consideră o postcondiție după instrucțiunea ?, iar în procesul care trimite, o condiție chiar înaintea instrucțiunii !.

6.1.7 Procesele de comunicație

Pentru a face analiza proceselor de comunicație, considerăm un exemplu concret de proces parametrizat de comunicație: *broadcast*. Fie s un număr de proces și X o valoare:

$$\begin{aligned} &\{q \neq s \vee x = X\} \\ &\quad C.q \\ &\{x = X\} \end{aligned}$$

Valoarea X este trimisă de procesul s tuturor celorlalte procese. Există variații de broadcast: multibroadcast (mai mulți emițători), sau broadcast la o submulțime de receptori. Specificația procesului e simplă, dar implementarea nu. Este nevoie să se facă anumite presupuneri, referitor la canalele care sunt folosite într-un broadcast.

Există de asemenea restricții dictate de rețeaua fizică de procesoare. Într-o implementare, procesele sunt atribuite procesoarelor și canalele căilor de comunicație dintre procesoare. De aceea este bine să se evite pe cât posibil acest gen de comunicație. Un program paralel poate fi considerat un graf neorientat cu procese în noduri. Fiecare muchie reprezintă două canale de comunicație în direcții opuse. În plus, deseori se cere ca o asemenea rețea de calcul să poată să varieze ca structură în timpul calculului. Pe de altă parte o rețea de procesoare poate fi considerată ca un “graf de implementare” fixat, reprezentând un sistem multiprocesor. Este posibil să se scrie procese de comunicație independent de orice topologie, folosind apoi diferite transformări de mapare pe diferite rețele. În general, ne limităm la a da specificațiile unui proces de comunicație, lucru care este suficient pentru a demonstra corectitudinea programului.

6.1.8 Complexitatea

Așa cum am specificat și în Capitolul 1, este de dorit ca și complexitatea-timp a programelor paralele, să fie exprimată în formule matematice, în termenii n = dimensiunea datelor de intrare și p = numărul de procese ale programului. Un proces poate calcula, comunica, sau aștepta la un anumit moment. Considerăm două măsuri: complexitatea computațională ($T_f.p.n$) și complexitatea de comunicație ($T_c.p.n$), incluzând fiecare o parte de așteptare. T_c este determinată de numărul de pași de comunicație necesari pentru executarea procesului de comunicație. Un pas de comunicație este comunicarea unei valori unui proces vecin. Rețeaua de comunicație poate permite ca anumiți pași de comunicație să se execute în paralel. Aceasta înseamnă că $T_c.p.n$ este cel mult egal cu numărul total de pași de comunicație. $T_c.p.n$ depinde și de mărimea mesajelor transmise. Presupunem că avem comunicații de mesaje cu aceeași mărime (pentru mesaje mai mari considerăm mai mulți pași de comunicație).

Exemplul 6.7 (Broadcast) Se poate specifica implementarea unui broadcast pe o rețea lanț. Considerăm că procesul $s, 0 \leq s < p$ trimite valoarea X tuturor celorlalte procese.

```

||[x : int;
   {0 ≤ s < p}
   {q ≠ s ∨ x = X}
   if q < s → (q + 1)?x
   []s < q → (q - 1)?x
   fi
   {x = X}
; par if 0 < q ≤ s → (q - 1)!x fi
   , if s ≤ q < p - 1 → (q + 1)!x fi
   rap
   {x = X}
||

```

Se poate demonstra corectitudinea prin inducție după p .

În cazul cel mai defavorabil $T_{c.p.n} = p - 1$. Pentru cazul mediu

$$T_{c.p.n} = \frac{1}{p} \left(\sum s : 0 \leq s < p : \max(s, p - 1 - s) \right) \simeq \frac{3p}{4}.$$

Dacă valoarea se transmite doar de la un proces s la un proces t atunci $T_{c.p.n}$ în cazul cel mai defavorabil rămâne $p - 1$, dar în cazul mediu este $\simeq \frac{p}{3}$, (n_k numărul cazurilor pentru care $|s - t| = k$; $n_k = 2(p - k)$; $T_{c.p.n} = (\sum k : 0 \leq k < p : \frac{2k(p-k)}{A_p^2})$).

Un proces broadcast pe un hipercub necesită $\log_2 p$ pași.

Exemplul 6.8 (Suma) Considerăm din nou problema adunării a n numere, a cărei specificație am dat-o în Exemplul 6.2. Implementarea procesului de comunicație $S1.q$ pe un arbore binar complet va conține două etape:

- calcularea sumei în rădăcină;
- rădăcina (procesul 0) trimite valoarea sumei, în broadcast, tuturor celorlalte procese.

Definim pentru fiecare proces următoarele funcții:

$$tata.q = \begin{cases} \frac{q-1}{2}, & \text{dacă } q > 0 \\ 0, & \text{altfel} \end{cases}$$

$$\begin{aligned} copii.q &= \{\forall i : i < p \wedge (i = 2q + 1 \vee i = 2q + 2) : i\} \\ arbore.q &= \{q\} \cup \{\cup k : k \in copii.q : arbore.k\} \end{aligned}$$

Se observă că pentru rădăcină avem $tata.q = q$.

Procesul $S1.q$ combină sumele parțiale în suma globală. Se calculează mai întâi în procesul 0 și de acolo se transmite și celorlalte procese. În procesul $S1.q$, calculul pornește

de la frunze, care trimit valoarea locală s proceselor părinte și acestea vor însuma cele 2 valori primite. Se continuă astfel până se ajunge la rădăcină. Pentru recepționarea celor 2 valori ar fi suficiente 2 variabile locale, dar pentru o notație mai uniformă folosim un tablou x cu p elemente:

```

S1.q ::
|[x(0 ≤ i < p) : array of int;
  par r : r ∈ copii.q :
    r?x(r)
    {x(r) = (∑ k : k ∈ arbore.r : lsum.k)}
  rap
  ; w := s
  {w = lsum.q}
  ; for all r : r ∈ copii.q : w := w + x(r) lla rof
  {w = (∑ k : k ∈ arbore.q : lsum.k)}
  ; if tata.q ≠ q → tata.q!w
    ; tata.q?w
  fi
  {w = (∑ q : 0 ≤ q < p : lsum.q)}
  ; for all r : r ∈ copii.q : r!w lla rof
]|

```

Complexitatea $T_{c.p.n}$ este $O(\log_2 p)$. Dacă implementăm $S1.q$ pe o rețea lanț atunci $T_{c.p.n} = O(p)$. Concluzia este că rețeaua de comunicație aleasă influențează mult complexitatea-timp de comunicație.

Exemplul 6.9 (Pipeline) Considerăm un proces care face o transmisie broadcast a n valori ($n \gg p > 1$). Folosind tehnica pipelining, pe o rețea lanț, rezultă $T_{c.p.n} = n - 1 + p - 1$, unde $p - 1$ reprezintă lungimea pipe-ului (conduței), sau timpul de start. Pentru $n = 1$ avem $T_{c.p.n} = p - 1$. În acest caz $T_{c.p.n}$ e determinat de numărul de valori de comunicat, nu de rețea.

Programele paralele pe care dorim să le construim sunt structurate pe nivele, fiecare nivel fiind fie un program secvențial, fie un proces de comunicație. Dacă presupunem comunicații sincrone, sincronizarea între programele secvențiale și procesele de comunicație este naturală. Complexitatea-timp a unui nivel computațional este determinată de cea mai înceată instanță din acel nivel (cu cele mai multe operații). Complexitatea unui nivel de comunicație este dată de complexitatea comunicației. Complexitatea unui program paralel se obține prin însumarea complexității fiecărui nivel. Astfel, obținem o limită superioară a complexității unui program paralel. Dacă nivelele sunt bine echilibrate atunci această limită estimează de fapt complexitatea-timp. Dacă comunicațiile

sunt asincrone, atunci se permite suprapunerea calculelor cu comunicațiile în interiorul unui proces; pentru această combinație e dificil de evaluat complexitatea. Din acest motiv, rezultatele de complexitate prezentate în continuare sunt valabile doar pentru procese de comunicație sincrone.

Pentru a lega complexitatea computațională de cea de comunicație, introducem o valoare α definită ca fiind raportul: $\alpha = \frac{t_c}{t_f}$, unde

- t_c = timpul necesar comunicației unei singure valori de mărime fixă (*int* sau *real*)
- t_f = timpul necesar efectuării unei operații elementare (+, -, *, /).

Prin experimente [111] s-a constatat că:

$$\alpha \simeq \begin{cases} 4.5, & \text{pentru transputere} \\ 150 - 750, & \text{pe rețele hipercub} \\ 0.5, & \text{pentru VLSI.} \end{cases}$$

Complexitatea totală este:

$$T.p.n = T_f.p.n + \alpha * T_c.p.n$$

$T_f.p.n$ = complexitatea computațională exprimată în număr de t_f ,

$T_c.p.n$ = complexitatea comunicațională exprimată în număr de t_c

Timpul executării unui program paralel va fi $T.p.n * t_f$.

Exemplul 6.10 Evaluăm complexitatea-timp a programului paralel prezentat în Exemplul 6.2 și reluat în Exemplul 6.8 (suma a n elemente folosind p procese). Pentru $S0.q$: avem $T_f.p.n = (\max q : 0 \leq q < p : |O.q| - 1)$, unde $O.q$ este numărul de elemente distribuite procesului q . Dacă distribuția este echilibrată avem $T_f.p.n = (n + p - 1)/p - 1$. Pentru $S1.q$, complexitatea comunicațională este $T_c.p.n = 2(\alpha^{-1} + 1) * l$, unde l = lungimea celei mai lungi căi în rețea = $\log_2 p$. Fiecare nod neterminal face 2 operații de adunare și 2 comunicații. Deci $T.p.n = (n + p - 1)/p + 2(\alpha + 1) * l - 1$ ($T.1.n = n - 1$).

Accelerația este

$$S.p.n = \frac{T_{sec.n}}{T.p.n} = \frac{n - 1}{(n + p - 1)/p + 2(\alpha + 1) * l - 1},$$

iar eficiența este

$$E.p.n = \frac{S.p.n}{p}.$$

Eficiența este cel puțin 0.2 dacă $\frac{n}{p} > 2(\alpha + 1) * l$.

6.1.9 Regula ParSeq

Se poate considera descrierea unui program paralel, ca fiind compoziția secvențială a unui număr de componente paralele, fiecare corespunzătoare unei faze a programului. Această observație poate fi folosită atât la construcția cât și la verificarea programelor paralele și a fost evidențiată prima dată de Elrad și Frances [56]. Ei au demonstrat că un program paralel poate fi descompus în așa numitele nivele închise la comunicații, comunicații între nivele diferite, neputând apare. Se consideră un program paralel:

$$S :: \mathbf{par} \ q : 0 \leq q < p : S.q \ \mathbf{rap},$$

în care fiecare proces $S.q$ e reprezentat ca fiind $S.q : S_0.q; S_1.q; \dots; S_{d-1}.q$, unde S_i sunt simple instrucțiuni : skip, atribuire, sau comunicație; d este adâncimea descompunerii, care poate fi uniformă dacă se folosește instrucțiunea skip. Un nivel $L_j, 0 \leq j < d$, constă din $L_j : \mathbf{par} \ q : 0 \leq q < p : S_j.q \ \mathbf{rap}$. Un nivel este numit *închis la comunicații* dacă și numai dacă acțiunile care au loc în acest nivel nu depășesc marginile nivelului. Altfel spus: orice operație ! are corespunzător o operație ? în același nivel și viceversa. Descompunerea în nivele este: $S :: L_0; L_1; \dots; L_{d-1}$. Descompunerea se numește *sigură* dacă toate nivelele sunt închise la comunicații. Principalul lor rezultat este:

Un program distribuit este echivalent cu orice descompunere sigură pe nivele a sa.

Două programe se consideră *echivalente* dacă pre- și post- condițiile lor sunt aceleași. Acest rezultat se poate demonstra prin inducție după d .

Reciproca:

$$L_{d-1}; L_d \text{ e echivalent cu } \mathbf{par} \ q : 0 \leq q < p : S_{d-1}.q; S_d.q \ \mathbf{rap},$$

nu este demonstrată.

Pentru cazul $p = 2$ avem :

Definiția 6.1 (Regula Par-Seq)

Fie 4 procese $S_i.j, 0 \leq i, j < 2$, despre care se știe că se termină și care pot interacționa doar în următorul mod:

- fiecare $S_i.0$ poate interacționa prin comunicare cu $S_i.1$,
- fiecare $S_0.j$ poate interacționa prin variabile partajate cu $S_1.j$.

Atunci

$$\mathbf{par} \ S_0.0, S_0.1 \ \mathbf{rap} ; \ \mathbf{par} \ S_1.0, S_1.1 \ \mathbf{rap}$$

e echivalent cu

$$\mathbf{par} \ S_0.0; S_1.0 , S_0.1; S_1.1 \ \mathbf{rap}$$

Regula parseq afirmă că sincronizarea globală poate fi îndepărtată dacă se impun reguli stricte de interacțiune. Ordinea calculului în procese poate fi exprimată formal și prin teoria urmei.

În teoria dezvoltată aici, un program paralel constă din p instanțe ale unui singur proces parametrizat. Un asemenea proces e construit prin rafinare, într-o secvență de procese secvențiale și procese de comunicație. Toate instanțele unui proces parametrizat formează un nivel și nivelele sunt separate sintactic prin simbolul $;$. Procesele parametrizate care aparțin unui nivel sunt specificate prin pre- și post- condiții și pot fi *studiate în izolare*. Acest principiu strict de elaborare, permite construirea de programe paralele eficiente, deoarece regula parseq arată o modalitate de eliminare a sincronizării stricte între nivele.

6.2 Distribuția datelor

Distribuția datelor are un mare impact asupra numărului de comunicații pentru un program paralel. Vom prezenta două tipuri de distribuții, clasificate în funcție de numărul de procese care conțin o anumită dată. Dacă un element-dată este atribuit unui singur proces avem distribuții simple (univoce), iar dacă un element-dată poate fi atribuit mai multor procesoare simultan atunci avem distribuții multivoce. Distribuțiile le considerăm *statice* – nu se schimbă distribuția datelor în timpul execuției programului. Este necesar ca numărul de elemente distribuite pe un proces să fie, dacă este posibil, egal pentru toate procesele, pentru a asigura o încărcare de calcul echilibrată, a proceselor, deci un timp de așteptare mic. Distribuția datelor determină care valori vor trebui comunicate într-un program. Numărului total de comunicații care este necesar pentru un anumit program paralel, poate fi evaluat în cele mai multe cazuri, înainte de elaborarea efectivă a programului, în funcție de distribuția datelor aleasă. Analiza numărului de comunicații permite alegerea unei distribuții cât mai convenabile din punct de vedere al complexității de comunicare, iar distribuția determină deasemenea construcția programului paralel.

6.2.1 Distribuții simple

Distribuțiile simple sunt caracterizate de:

- numărul de elemente-dată care sunt atribuite unui proces,
- distribuția elementelor-dată pe procese.

Distribuții unidimensionale

Distribuțiile unidimensionale distribuie date de tip vector pe o mulțime de procese.

Definiția 6.2 (Distribuție) $D = (\delta, A, B)$ se numește distribuție, dacă A, B sunt mulțimi finite, A reprezentând mulțimea datelor, B reprezentând mulțimea proceselor și δ este o funcție de la A la B .

Distribuția unui tablou de date t de lungime n pe p procese ($p \leq n$), poate fi specificată prin $(\delta, \bar{n}, \bar{p})$.

Există 3 modalități uzuale de distribuire a datelor de tip tablou:

- distribuție *identic*, pentru cazul în care $n = p$, prin care data a i -a se atribuie procesului i :

$$(\delta, \bar{p}, \bar{p}), \delta.i = i,$$

- distribuție *liniar*, prin care se atribuie segmente continue de date de lungime aproximativ egală fiecărui proces:

$$(\delta, \bar{n}, \bar{p}), \delta.i = i/(n/p), \text{ dacă } p|n, \text{ sau în cazul general} \\ \delta.i = i/(m+1) \max(i - n\%p)/m, \text{ unde } m = n/p,$$

- distribuție *ciclic* prin care se atribuie al i -lea element-dată procesului $i\%p$:

$$(\delta, \bar{n}, \bar{p}), \delta.i = i\%p.$$

Definiția 6.3 Două distribuții $(\delta_0, \bar{n}, \bar{p})$ și $(\delta_1, \bar{n}, \bar{p})$ se numesc echivalente dacă și numai dacă

$$(\exists \pi : \pi \text{ permutare a mulțimii } \bar{p} : \delta_0 = \pi \circ \delta_1)$$

Notăm cu:

$$O^\delta.q = \{i : 0 \leq i < n \wedge \delta.i = q : i\}$$

mulțimea tuturor datelor atribuite procesului q . Mulțimile O^δ formează, în acest caz, o partiție pentru mulțimea \bar{n} .

Notăm cu $Ma(\delta)$ numărul maxim de elemente-dată atribuite unui proces de distribuția δ , și cu $Mi(\delta)$ numărul minim de elemente-dată atribuite unui proces de distribuția δ :

$$Ma(\delta) = (\max q : 0 \leq q < p : |O^\delta.q|) \\ Mi(\delta) = (\min q : 0 \leq q < p : |O^\delta.q|)$$

Propoziția 6.1 (Ma(liniar)=Ma(ciclic))

Pentru distribuțiile liniar și ciclic este adevărată următoarea afirmație:

$$(\forall q : 0 \leq q < p : |O^{\text{liniar}}.q| = |O^{\text{ciclic}}.q| = (n + p - 1 - q)/p).$$

Demonstrație:

$$\begin{aligned} & |O^{\text{ciclic}}.q| \\ \equiv & \{\text{calcul}\} \\ & |\{\forall i : 0 \leq i < n \wedge i\%p = q : i\}| \\ \equiv & \{\text{împărțirea domeniului, calcul}\} \\ & |\{\forall i : 0 \leq i < (n/p) * p \wedge i\%p = q : i\}| + |\{\forall i : (n/p) * p \leq i < n \wedge i\%p = q : i\}| \\ \equiv & \{\text{calcul}\} \\ & n/p + |\{\forall i : 0 \leq i < (n\%p) \wedge i = q : i\}| \\ \equiv & \{\text{calcul}\} \\ & (n + p - 1 - q)/p \end{aligned}$$

Pentru distribuția *liniar* avem:

$$O^{liniar}.q = \{i : l.q \leq i < l.(q+1) : i\},$$

unde

$$l = (\lambda q * q(n/p) + \min(q(n \% p))).$$

Ca urmare $|O^{liniar}.q| = l.(q+1) - l.q = (n+p-1-q)/p$.

Definiția 6.4 O distribuție (δ, n, p) se numește w-echilibrată, dacă $Ma(\delta) - Mi(\delta) = w$. Distribuția se numește omogenă dacă $w = 1$ și perfectă dacă $w = 0$.

Compunerea distribuțiilor

Prin compunerea a două distribuții se pot obține noi distribuții.

Definiția 6.5 Compunerea a două distribuții, $D0 = (\delta_0, \bar{m}, \bar{M})$ și $D1 = (\delta_1, \bar{n}, \bar{N})$ cu $M = n$, se definește prin $D1 \circ D0 = (\delta_1 \circ \delta_0, \bar{m}, \bar{N})$.

Exemplul 6.11 Considerăm distribuțiile *liniar* $= (\delta^{liniar}, \bar{n}, \bar{m})$ și *ciclic* $= (\delta^{ciclic}, \bar{m}, \bar{p})$; compunerea lor este distribuția *ciclic* \circ *liniar* $= (\delta, \bar{n}, \bar{p})$, $\delta.i = (i/(n/m) \% p)$. Dacă $m = n$ atunci se obține distribuția *ciclic*, iar dacă $m = p$ atunci se obține distribuția *liniar*.

Observație: compunerea distribuțiilor nu păstrează proprietatea de omogenitate.

Exemplul 6.12 Considerăm două distribuții concrete: $(\delta_0, \bar{m}, \bar{M})$ și $(\delta_1, \bar{n}, \bar{N})$, cu $m = 12, M = n = 5, N = 3$.

i	0	1	2	3	4	5	6	7	8	9	10	11
$\delta_0.i$	0	0	0	1	1	1	2	2	3	3	4	4

i	0	1	2	3	4
$\delta_1.i$	0	0	1	1	2

$Ma(\delta_1) - Mi(\delta_1) = Ma(\delta_0) - Mi(\delta_0) = 1$ deci δ_0 și δ_1 sunt distribuții omogene.

i	0	1	2	2	4	5	6	7	8	9	10	11
$(\delta_1 \circ \delta_0).i$	0	0	0	0	0	0	1	1	1	1	2	2

$Ma(\delta_1 \circ \delta_0) - Mi(\delta_1 \circ \delta_0) = 4$, deci $\delta_1 \circ \delta_0$ este neomogenă.

Totuși, dacă distribuțiile sunt omogene avem următoarele proprietăți:

•

$$\begin{aligned} Ma(\delta_1 \circ \delta_0) &= Ma(\delta_1) * Ma(\delta_0) \\ Mi(\delta_1 \circ \delta_0) &= Mi(\delta_1) * Mi(\delta_0) \\ Mi(\delta_1) * Mi(\delta_0) &\leq |O^{\delta_1 \circ \delta_0}| \leq Ma(\delta_1) * Ma(\delta_0), \forall 0 \leq q < p, \end{aligned}$$

- Distribuția $D1 \circ D0$ este w-echilibrată cu

$$w = l.n.M * (m/M) + l.m.M * (n/N) + l.n.N * l.m.M,$$

$$\text{unde } l.a.b = \begin{cases} 1, & \text{dacă } a \% b > 0 \\ 0, & \text{altfel} \end{cases}$$

- Dacă ambele distribuții sunt perfecte atunci și compunerea lor e perfectă.

Compunerea distribuțiilor are ca aplicații practice, de exemplu, programele care folosesc diferite tipuri de distribuții de date. Introducând un parametru, așa cum este m în distribuția *ciclicoliniar*, este posibil să se elimine redistribuirile din timpul execuției și să se asigure o echilibrare acceptabilă a încărcării de calcul, pentru fiecare parte individuală.

Distribuții carteziane

Definiția 6.6 (Distribuție carteziană) *O distribuție carteziană este definită de produsul cartezian a două distribuții unidimensionale $D0 = (\delta_0, \bar{m}, \bar{M})$ și $D1 = (\delta_1, \bar{n}, \bar{N})$ definit prin:*

$$D0 \times D1 = (\delta_0 \times \delta_1, \bar{m} \times \bar{n}, \bar{M} \times \bar{N}) \text{ unde } (\delta_0 \times \delta_1).(i, j) = (\delta_0.i, \delta_1.j).$$

Distribuția produs cartezian folosește o pereche de numere ca identificador de proces. Pentru a obține numărul de proces efectiv, este necesară o funcție în plus $\beta : \bar{M} \times \bar{N} \rightarrow \bar{p}, p = M * N$. Funcția β este o bijectie.

Distribuțiile carteziane pentru matrice, pot fi obținute distribuind liniile matricii independent de coloane. Cele mai comune distribuții bidimensionale sunt carteziane. Mulțimea de elemente-dată atribuite de o distribuție carteziană unui proces poate fi definită astfel:

$$O^{\delta_0 \times \delta_1}.(s, t) = O^{\delta_0}.s \times O^{\delta_1}.t, \text{ unde } 0 \leq s < M, 0 \leq t < N.$$

În ceea ce privește echilibrarea distribuțiilor carteziane, se obțin rezultate similare cu cele de la compunerea distribuțiilor. De exemplu, dacă considerăm două distribuții omogene $D0$ și $D1$ avem

$$Mi(\delta_1) * Mi(\delta_0) \leq |O^{\delta_0 \times \delta_1}| \leq Ma(\delta_1) * Ma(\delta_0).$$

Cele mai folosite distribuții carteziane sunt:

$$\begin{aligned} \text{liniar}^2 &= (\delta_{\text{liniar}}, \bar{m}, \bar{M}) \times (\delta_{\text{liniar}}, \bar{n}, \bar{N}), \text{ cu } M = N \\ \text{linie} &= \text{liniar}^2, \text{ cu } N = 1 \\ \text{coloana} &= \text{liniar}^2, \text{ cu } M = 1 \\ \text{ciclic}^2 &= (\delta_{\text{ciclic}}, \bar{m}, \bar{M}) \times (\delta_{\text{ciclic}}, \bar{n}, \bar{N}), \text{ cu } M = N \\ \text{ciclic} - \text{linie} &= \text{ciclic}^2, \text{ cu } N = 1 \\ \text{ciclic} - \text{coloana} &= \text{ciclic}^2, \text{ cu } M = 1 \end{aligned}$$

Distribuția *liniar*² cu $M = N$ este numită *bloc*, iar distribuția *ciclic*² mai este numită și *grid*.

Numărarea comunicațiilor

Un aspect important al distribuțiilor este impactul lor asupra numărului de comunicații. Este important să distribuim datele astfel încât să minimizăm numărul de comunicații necesare, dar și astfel încât cât mai multe comunicații să poată avea loc în paralel. Dacă se dă o postcondiție csi o distribuție a datelor se poate evalua numărul total de comunicații necesare. Postcondiția program se împarte în p postcondiții locale în conformitate cu distribuția aleasă. Dacă presupunem că fiecare dată e atribuită unui singur proces, atunci numărul total de postcondiții care fac referință la o anumită dată este o măsură a numărului de comunicații a acelei date. Totuși este posibil ca anumite subexpresii, conținând anumite date, să apară în postcondiții diferite; un proces poate calcula acea subexpresie și să o transmită celorlalte. Datorită faptului că în general se folosește rafinarea în pași succesivi, acest caz este destul de rar. Dacă excludem acest caz, putem obține o evaluare a impactului diferitelor distribuții asupra complexității programului, înainte de elaborarea acestuia. Notăm cu $NAp.e$ = numărul de postcondiții locale în care apare expresia e . Rezultă că numărul total de comunicații va fi egal cu:

$$NCom = (\sum e :: NAp.e - R.e), \text{ unde}$$

$$R.e = \begin{cases} 1, & \text{dacă } e \text{ apare în postcondiția procesului care o conține,} \\ 0, & \text{altfel.} \end{cases}$$

Valoarea $NCom$ este determinată de modul în care postcondiția globală este împărțită în postcondiții locale și de distribuția folosită. Complexitatea comunicării este mărginită inferior de $(NCom + p - 1)/p$, dacă un proces poate executa doar o comunicație la un moment dat. În general, $R.e$ este egal cu 1 [111], dar am definit aici valoarea $R.e$ pentru a asigura o definiție generală, existând totuși exemple pentru care $R.e = 0$.

Exemplul 6.13 Se dau două matrice A și B de dimensiune $m \times o$ și $o \times n$, ($m, n, o \in \mathbb{N}^*$). Problema calculării produsului $C = A \times B$, implică postcondiția $R : C = A \times B$. Folosim o distribuție carteziană $D0 \times D1$, $D0 = (\delta_0, \bar{m}, \bar{M})$, $D1 = (\delta_1, \bar{n}, \bar{N})$, pentru matricea C pe $p = M \times N$ procese.

Considerăm și distribuțiile:

$$D2 = (\delta_2, \bar{o}, \bar{N}), \quad \delta_2 : \bar{o} \rightarrow \bar{N},$$

$$D3 = (\delta_3, \bar{o}, \bar{M}), \quad \delta_3 : \bar{o} \rightarrow \bar{M},$$

și presupunem că $M < o$, $N < o$, $M < m$, $N < n$.

Matricea A se distribuie folosind distribuția $D0 \times D2$, iar pentru matricea B se folosește distribuția $D3 \times D1$.

Fiecare proces se identifică cu perechea (s, t) , $0 \leq s < M \wedge 0 \leq t < N$. Postcondiția locală $R.s.t$ a procesului (s, t) este

$$R.s.t : (i, j : 0 \leq i < m \wedge 0 \leq j < n \wedge \delta_0.i = s \wedge \delta_1.j = t :$$

$$C(i, j) = (\sum k : 0 \leq k < o : A(i, k) * B(k, j)))$$

Se observă că:

$$(\forall s, t : 0 \leq s < M \wedge 0 \leq t < N : R.s.t) \Rightarrow R$$

Pentru a evalua numărul total de comunicații calculăm $NAp.A(i, k)$ și $NAp.B(k, j)$.

$$\begin{aligned} & NAp.A(i, k) \\ &= \{\text{definiție}\} \\ & |\{\forall s, t : 0 \leq s < M \wedge 0 \leq t < N \wedge \delta_0.i = s \wedge (\exists j :: \delta_1.j = t) : (s, t)\}| \end{aligned}$$

Cerem ca δ_1 să fie surjectivă, ceea ce înseamnă că toate procesele sunt folosite.

Prin urmare:

$$\begin{aligned} & NAp.A(i, k) \\ &= \{\text{surjectivitatea distribuției } \delta_1\} \\ & |\{\forall s, t : 0 \leq s < M \wedge 0 \leq t < N \wedge \delta_0.i = s \wedge \text{true} : (s, t)\}| \\ &= \{\text{calcul}\} \\ & N * |\{\forall s : 0 \leq s < M \wedge \delta_0.i = s : s\}| \\ &= \{\text{un element data se distribuie doar unui proces}\} \\ & N \end{aligned}$$

Similar, se obține $NAp.B(k, j) = M$, dacă δ_0 este surjectivă.

$$\begin{aligned} & NCom \\ &= \{\text{definiția } NCom\} \\ & (\sum i, k : 0 \leq i < m \wedge 0 \leq k < o : NAp.A(i, k) - 1) + \\ & (\sum k, j : 0 \leq k < o \wedge 0 \leq j < n : NAp.B(k, j) - 1) \\ &= \{\text{calcul}\} \\ & mo(N - 1) + on(M - 1) \\ &= \\ & o(m(N - 1) + n(M - 1)) \end{aligned}$$

Deci, în acest caz, numărul total de comunicații nu depinde de distribuția aleasă.

Se observă că dacă $M = N = P = 1$ (program secvențial) atunci $NCom = 0$.

Deoarece m, n, o și p sunt fixe determinăm M și N astfel încât $NCom$ să fie minim. M și N sunt întregi și aparțin hiperbolei $p = M * N$. Avem relația:

$$\frac{NCom}{n * o} = \frac{m}{n}(N - 1) + (M - 1)$$

Minimizarea lui $NCom$ depinde de m/n ; dacă $m = n$ atunci dacă p e pătrat perfect, cea mai bună alegere este $M = N, p = M^2$.

Acest rezultat confirmă rezultatele analizelor referitoare la înmulțirea matricelor [62], mai exact avantajul folosirii distribuțiilor *grid* sau *bloc*, în comparație cu distribuțiile *linie* sau *coloana*.

Exemplul 6.14 Pentru aceeași problemă se consideră matricele A și B distribuite diferit. În această variantă pentru distribuirea matricelor folosim următoarele distribuții:

$$\begin{aligned} D0 &= (\delta_0, \bar{m}, \bar{M}), & \delta_0 &: \bar{m} \rightarrow \bar{M}, \\ D2 &= (\delta_2, \bar{o}, \bar{N}), & \delta_2 &: \bar{o} \rightarrow \bar{N}, \\ D3 &= (\delta_3, \bar{n}, \bar{M}), & \delta_3 &: \bar{n} \rightarrow \bar{M}, \\ D1 &= (\delta_1, \bar{n}, \bar{N}), & \delta_1 &: \bar{n} \rightarrow \bar{N}. \end{aligned}$$

Pentru matricea A se folosește distribuția $D0 \times D2$, iar pentru matricea C distribuția $D0 \times D1$. Distribuim *transpusa matricei* B folosind distribuția $D3 \times D2$ ($M < m, M < n, N < n, N < o$).

Postcondiția locală este aceeași:

$$\begin{aligned} R.s.t : (\forall i, j : 0 \leq i < m \wedge \delta_0.i = s \wedge 0 \leq j < n \wedge \delta_1.j = t : \\ C(i, j) = (\sum k : 0 \leq k < o : A(i, k) * B(k, j))) \end{aligned}$$

Putem rescrie postcondiția locală astfel:

$$\begin{aligned} &(\forall i, j : 0 \leq i < m \wedge \delta_0.i = s \wedge 0 \leq j < n \wedge \delta_1.j = t : \\ &C(i, j) = (\sum k : 0 \leq k < o : A(i, k) * B(k, j))) \\ = &\{\text{calcul}\} \\ &(\forall i, j : 0 \leq i < m \wedge \delta_0.i = s \wedge 0 \leq j < n \wedge \delta_1.j = t : \\ &C(i, j) = (\sum v : 0 \leq v < N : (\sum k : 0 \leq k < o \wedge \delta_2.k = v : A(i, k) * B(k, j)))) \\ = &\{\text{notăm } w(i, j, v) = (\sum k : 0 \leq k < o \wedge \delta_2.k = v : A(i, k) * B(k, j))\} \\ &(\forall i, j : 0 \leq i < m \wedge \delta_0.i = s \wedge 0 \leq j < n \wedge \delta_1.j = t : \\ &C(i, j) = (\sum v : 0 \leq v < N : w(i, j, v))) \end{aligned}$$

Prin urmare, programul va conține două etape: prima în care se vor calcula valorile $w.i.j.v$, iar a doua în care se vor însuma aceste valori. Evaluăm $NCom$ pentru fiecare etapă.

Pentru prima etapă, postcondiția este:

$$\begin{aligned} R0.s.t : (\forall i, j : 0 \leq i < m \wedge \delta_0.i = s \wedge 0 \leq j < n : \\ w(i, j, t) = (\sum k : 0 \leq k < o \wedge \delta_2.k = t : A(i, k) * B(k, j))) \end{aligned}$$

$\forall s, t : 0 \leq s < M, 0 \leq t < N$. Elementul $A(i, k)$ apare într-o postcondiție, $NAp.A(i, k) = 1$ și acea postcondiție este locală procesului care îl conține $R.A(i, k) = 1$. Elementul $B(k, j)$ apare în M postcondiții $NAp.B(k, j) = M$ și $R.B(k, j) = 1$.

$$\begin{aligned} &NAp.B(k, j) \\ = &\{\text{definiție}\} \\ &|\{\forall s, t : 0 \leq s < M \wedge 0 \leq t < N \wedge \delta_2.k = t \wedge (\exists i :: \delta_0.i = s) : (s, t)\}| \\ = &\{\delta_0 \text{ e surjectivă}\} \\ &M \end{aligned}$$

Rezultă că $NCom = on(M - 1)$.

Pentru a doua etapă, postcondiția este:

$$R1.s.t : (\forall i, j : 0 \leq i < m \wedge \delta_0.i = s \wedge 0 \leq j < n \wedge \delta_1.j = t : \\ C(i, j) = (\sum v : 0 \leq v < N : w(i, j, v)))$$

Numărul de apariții al datei $w(i, j, v)$ este 1.

Pentru a calcula $NCom$ corespunzător celei de-a doua etape, trebuie să calculăm mai întâi $R.w(i, j, v)$:

$$R.w(i, j, v) = \begin{cases} 1, & \text{dacă } v = \delta_1.j \\ 0, & \text{dacă } v \neq \delta_1.j \end{cases}$$

Deci numărul total de comunicații pentru etapa a doua este $mn(N - 1)$, iar pentru cele două etape este

$$NCom = on(M - 1) + mn(N - 1).$$

Așadar, cele două variante sunt aproximativ echivalente din punctul de vedere al numărului total de comunicații (depinde de valorile concrete pentru m, o, n). Ținând cont că pentru cea de-a doua variantă, complexitatea computațională este mai mare, datorită însumării sumelor parțiale, rezultă că prima variantă este mai convenabilă, dacă $m = n = o$.

6.2.2 Distribuții multivoce

În cazul în care numărul elementelor-dată n este mai mic decât numărul de procese, un element-dată ar trebui atribuit mai multor procese. Deasemenea, în cazul în care un element-dată apare în mai multe calcule, atribuirea lui mai multor procese poate conduce la algoritmi mai eficienți [136].

Definiția 6.7 (Distribuție multivocă) *O distribuție multivocă pentru n date de intrare și p procese este definită de o aplicație multivocă $\theta : \bar{n} \rightarrow \bar{p}$; $\theta.i$ reprezintă mulțimea proceselor care conțin elementul-dată cu indicele i .*

Caracteristicile unei astfel de distribuții sunt:

- numărul de procese care conțin același element-dată,
- distribuția datelor pe procese.

Analog distribuțiilor simple, se pot defini distribuții multivoce $\overline{\text{liniar}}$ și $\overline{\text{ciclic}}$, în cazul în care $p > n$:

$$\overline{\theta^{\text{liniar}}}.i = \{\forall k : 0 \leq k < p/n : i(p/n) + k\}, \text{ dacă } n \mid p \\ \overline{\theta^{\text{ciclic}}}.i = \{\forall k : 0 \leq k < p/n : kn + i\}, \text{ dacă } n \mid p.$$

Proprietățile distribuțiilor simple, legate de încărcarea de calcul a proceselor, rămân valabile și în cazul distribuțiilor multivoce, cu excepția faptului că mulțimile $O.q = \{\forall i : 0 \leq i < n \wedge q \in \theta.i : i\}$ nu mai formează o partiție a mulțimii \bar{n} .

O distribuție multivocă carteziană se poate obține analog, prin produsul cartezian al mulțimilor imagine (de procese). Fie două distribuții multivoce:

$$\begin{aligned}\theta_0 &: \bar{m} \multimap \bar{M}, M > m \\ \theta_1 &: \bar{n} \multimap \bar{N}, N > n\end{aligned}$$

Produsul lor cartezian este definit de:

$$\begin{aligned}\theta_0 \times \theta_1 &: \bar{m} \times \bar{n} \multimap \bar{M} \times \bar{N}, \\ (\theta_0 \times \theta_1).(i, j) &= \{\forall s, t : 0 \leq s < M \wedge 0 \leq t < N \wedge s \in \theta_0.i \wedge t \in \theta_1.j : (s, t)\}\end{aligned}$$

În multe cazuri este necesar să specificăm procesele care conțin o anumită dată, într-o anumită ordine. De exemplu, dacă dorim să specificăm un proces de comunicație de tip broadcast al unei date e , este necesar să specificăm primul proces din mulțimea de procese care conține data e . Se poate defini o funcție θInd , care să permită accesarea proceselor dintr-o mulțime $\theta.i$. De exemplu, pentru distribuțiile *liniar* și *ciclic* definim funcțiile:

$$\begin{aligned}\theta Ind^{\overline{liniar}}.i.k &= i(p/n) + k, \\ \theta Ind^{\overline{ciclic}}.i.k &= kn + i,\end{aligned}$$

unde $i \in \bar{n}$ și $k \in \overline{|\theta.i|}$.

Exemplul 6.15 (Broadcast) Considerăm p procese și un tablou $x(i : 0 \leq i < n) : array\ of\ int, n < p$ distribuit proceselor pe baza distribuției multivoce θ . Folosind funcțiile ΘInd , o operație broadcast a elementului-dată $x(i)$, poate fi definit astfel:

```

C.q ::
[[ a : int;
{ a = x(i) ∨ ¬(q ∈ θ.i) }
if (q = ΘInd.i.0) →
  par u : 0 ≤ u < p ∧ ¬(u ∈ θ.i) :
    u!a
  rap
  [] ¬(q ∈ θ.i) →
    ΘInd.i.0?a
fi
{ a = x(i) }
]]

```

Pentru a exprima mai ușor mulțimea de procese care conține o anumită dată de intrare, distribuțiile multivoce pot fi definite folosind distribuții simple, care sunt într-un anumit mod multiplicare.

Numărarea comunicațiilor

Numărul total de comunicații necesare într-un program paralel, cu distribuție multivocă a datelor, poate fi evaluat apriori, analog cu cazul distribuțiilor simple. Fie distribuția multivocă $\theta_0 : \bar{n} \rightarrow \bar{p}$, atunci

$$NCom = \left(\sum e :: NAp.e - R.e \right).$$

De această dată mărimea $R.e$ se definește astfel:

$$R.e = |\{\forall q : 0 \leq q < p \wedge q \in \theta.e : A.q.e\}|$$

unde

$$A.q.e = \begin{cases} 1, & \text{dacă postcondiția locală lui } q \text{ referă data } e \\ 0, & \text{altfel.} \end{cases}$$

În general, programele paralele care folosesc distribuții multivoce, calculează rezultate parțiale care sunt apoi combinate. De aceea, estimarea numărului de comunicații este indicat să se realizeze în funcție de aceste etape. Un exemplu este dat în continuare.

Exemplul 6.16 Considerăm din nou înmulțirea a două matrice A și B de dimensiune $m \times o$ și $o \times n$. Problema satisface postcondiția

$$R : C = A \times B.$$

Dacă datele de intrare reprezintă o matrice $m \times n$, numărul de procese p poate fi factorizat astfel încât $p = M * N * Q$, unde $M \leq m$ și $N \leq n$. O distribuție carteziană $D0 \times D1$ va fi multiplicată de Q ori. Se face, de fapt, doar o renumerotare a proceselor.

Programul paralel conține două etape. În prima, toate procesele sunt implicate în calcularea unor sume parțiale, iar în a doua sunt însumate aceste rezultate parțiale.

Considerăm $p = M * N * Q$ și $p \leq m * n * o$. Matricea A este distribuită pe matricea de procese $M \times Q$ și multiplicată pe direcția N . Matricea B este distribuită pe matricea de procese $Q \times N$ și multiplicată pe direcția M . Matricea C este distribuită pe matricea de procese $M \times N$ și multiplicată pe direcția Q .

Fiecare proces este identificat printr-un triplet (s, t, r) , $0 \leq s < M, 0 \leq t < N, 0 \leq r < Q$. Procesul identificat prin (s, t, r) cu $0 \leq s < M \wedge 0 \leq t < N \wedge 0 \leq r < Q$ conține următoarele date:

$$\begin{aligned} A(i, k), & \text{ cu } 0 \leq i < m \wedge 0 \leq k < o \wedge \delta_0.i = s \wedge \delta_2.k = r, \\ B(k, j), & \text{ cu } 0 \leq k < o \wedge 0 \leq j < n \wedge \delta_2.k = r \wedge \delta_1.j = t, \\ C(i, j), & \text{ cu } 0 \leq i < m \wedge 0 \leq j < n \wedge \delta_0.i = s \wedge \delta_1.j = t. \end{aligned}$$

Postcondiția parametrizată $R.s.t.r$ a procesului (s, t, r) este:

$$\begin{aligned} R.s.t.r : & r \neq 0 \vee (\forall i, j : 0 \leq i < z \wedge 0 \leq j < n \wedge \delta_0.i = s \wedge \delta_1.j = t \\ & : C(i, j) = (\sum rr : 0 \leq rr < Q : sum.i.j.rr)), \end{aligned}$$

unde $sum.i.j.rr = (\sum k : 0 \leq k < o \wedge \delta_2.k = rr : A(i, k) * B(k, j))$. Calculul valorilor $sum.i.j.rr$ se realizează pe baza postcondiției parametrizate:

$$R0.s.t.r : (\forall i, j : 0 \leq i < m \wedge 0 \leq j < n \wedge \delta 0.i = s \wedge \delta 1.j = t \\ : w(i, j, r) = sum.i.j.r.$$

Se observă că:

$$(\forall s, t : 0 \leq s < M \wedge 0 \leq t < N : R.s.t.0) \Rightarrow R.$$

Pentru prima etapă numărul de comunicații este determinat de $NAp.A(i, k)$ și $NAp.B(k, j)$.

$$NAp.A(i, k) \\ = \{\text{definiție}\} \\ |\{\forall s, t, r : 0 \leq s < M \wedge 0 \leq t < N \wedge 0 \leq r < Q \wedge \delta 0.i = s \wedge \delta 2.k = r : (s, t, r)\}| \\ = \{\text{calcul}\} \\ N,$$

și analog $NAp.B(k, j) = M$. Deoarece $RA(i, k) = N$ și $RB(k, j) = M$, prin calcul se ajunge la $NCom = 0$.

Pentru a doua etapă:

$$NAp.(w(i, j, r)) \\ = \{\text{definiție}\} \\ |\{\forall s, t : 0 \leq s < M \wedge 0 \leq t < N \wedge \delta 0.i = s \wedge \delta 1.j = t : (s, t)\}| \\ = \{\text{calcul}\} \\ 1,$$

iar

$$R.w(i, j, r) = \begin{cases} 0, & r \neq 0 \\ 1, & r = 0 \end{cases}$$

deci $NCom = mn(Q - 1)$. Cu cât Q este ales mai mic, cu atât numărul comunicațiilor scade, dar calculul computațional pe fiecare proces crește ($p = M * N * Q$).

Se poate observa că $M * N$ comunicații se pot executa în paralel. De aceea, se poate considera că complexitatea comunicațională depinde de $\frac{mn}{MN}(Q - 1)$. Dacă se consideră un algoritm bazat pe dublare recursivă, pentru însumarea sumelor parțiale, factorul $Q - 1$ se înlocuiește cu $\log_2 Q$.

Modul de distribuție al datelor (funcțiile $\delta 1, \delta 2$ și $\delta 3$) nu influențează numărul de comunicații.

Pentru înmulțirea matrice-matrice, această idee de multiplicare a datelor nu este nouă. Dar, folosirea acestor noi tipuri de distribuții crește flexibilitatea, putându-se dezvolta formal un algoritm general care nu depinde de valorile concrete m, n, o și p .

6.3 Aplicații

6.3.1 Operații prefix

Deseori în programele paralele trebuie calculată o sumă globală sau un maxim global, sau calcularea tuturor sumelor parțiale. Este de fapt problema calculării prefixului paralel, analizat și în Secțiunea 4.10. Vom analiza aici o dezvoltare formală din specificații, bazată pe metoda descrisă în acest capitol, pentru prefixul paralel.

Considerăm un tablou f cu $p = 2^k$ ($k \geq 0$) elemente, care este distribuit prin atribuirea elementului $f(q)$ procesului q (distribuție identică). Notăm $M.a.b = (\odot i : a \leq i < b : f(i))$, unde \odot poate fi orice operație asociativă (de exemplu: $\sum, \max, \min \dots$).

Specificația pentru un program paralel care realizează operația prefix pentru tabloul f este următoarea:

```

[[k, p : int;
  f(i : 0 ≤ i < p) : array of int;
  {0 ≤ k ∧ p = 2k}
  par q : 0 ≤ q < p :
    [[m : int;
      S.q
      {R.q : m = M.0.(q + 1)}
    ]]
  rap
]]

```

Ca variantă, programul poate calcula valorile parțiale finale $M.q.p$ (postfix).

Începem derivarea prin obținerea postcondiției globale din postcondițiile locale:

$$R' : (\forall q : 0 \leq q < p : m_q = M.0.(q + 1)).$$

Notația m_q referă variabila m a procesului q .

Variabila ascunsă k ($p = 2^k$) sugerează folosirea inducției. Prin înlocuirea variabilei k cu t obținem un invariant global P' :

$$P' : (\forall q : 0 \leq q < 2^t : m_q = M.0.(q - 1)) \wedge 0 \leq t \leq k.$$

Presupunem că t este global pentru toate procesele.

Se observă că P' este satisfăcut inițial dacă se inițializează t cu 0 și în procesul 0 se inițializează m cu $f(0)$. Progresul se realizează prin incrementarea lui t , care poate fi privit ca un ceas global; $P' \wedge t = k \Rightarrow R'$.

De la P' se ajunge la invariantii parametrizați $P.q$:

$$\begin{aligned}
P.q &: P0.q \wedge P1.q \\
P0.q &: 0 \leq t \leq k \\
P1.q &: 0 \leq q < 2^t \Rightarrow m = M.0.(q + 1)).
\end{aligned}$$

Deci din postcondiția locală, trecând prin postcondiția globală, am obținut invariantul local $P.q$. Se poate obține deasemenea, invariantul local și direct din postcondiția locală, introducând variabila locală t .

Alegerea modului de abordare se face în funcție de problema concretă. În general, obținerea unui invariant local se face considerând de la început o anumită distribuție a datelor.

Pentru a deriva programul, considerăm $P1.q(t := t + 1)$

$$\begin{aligned} & P1.q(t := t + 1) \\ \equiv & \{ \text{definiția lui } P1.q(t := t + 1) \} \\ & 0 \leq q < 2^{t+1} \Rightarrow m = M.0.(q + 1) \\ \equiv & \{ \text{împărțirea domeniului} \} \\ & P1.q \wedge 2^t \leq q < 2^{t+1} \Rightarrow m = M.0.(q + 1) \end{aligned}$$

Pentru un proces q , pentru care $2^t \leq q < 2^{t+1}$ trebuie calculat $M.0.(q + 1)$ și avem următoarea derivare:

$$\begin{aligned} & m = M.0.(q + 1) \\ \equiv & \{ \text{definiția lui } M \} \\ & m = (\odot i : 0 \leq i < q + 1 : f(i)) \\ \equiv & \{ 2^t \leq q < 2^{t+1}, \text{împărțirea domeniului} \} \\ & m = (\odot i : 0 \leq i < q - 2^t + 1 : f(i)) \odot (\odot i : q - 2^t + 1 \leq i < q + 1 : f(i)) \\ \equiv & \{ \text{definiția lui } m \} \\ & m = M.0.(q - 2^t + 1) \odot M.(q - 2^t + 1).(q + 1) \end{aligned}$$

S-a folosit proprietatea $M.a.c = M.a.b \odot M.b.c$, pentru $0 \leq a < b < c \leq p$, care rezultă din asociativitatea operatorului \odot .

Valoarea $M.0.(q - 2^t + 1)$ este cunoscută în procesul $q - 2^t$, din pașii anteriori; valoarea $M.(q - 2^t + 1).(q + 1)$ e necunoscută. Aceasta sugerează să întărim invariantul cu un nou invariant $P2.q$ în care valoarea $M.(q - 2^t + 1).(q + 1)$ e înregistrată în variabila m pentru toate procesele $q \geq 2^t$.

Deci

$$\begin{aligned} P.q : & P0.q \wedge P1.q \wedge P2.q \\ P2.q : & 2^t \leq q < p \Rightarrow m = M.(q - 2^t + 1).(q + 1). \end{aligned}$$

Dacă inițializăm $m = M.(q - 2^0 + 1).(q + 1) = f(q)$ pentru $q > 0$ și $m = M.0.1 = f(0)$, pentru $q = 0$, $P2$ e adevărat inițial.

Progresul pentru $P2$:

$$\begin{aligned} & P2.q(t := t + 1) \\ \equiv & \{ \text{definiția lui } P2.q(t := t + 1) \} \\ & 2^{t+1} \leq q < p \Rightarrow m = M.(q - 2^{t+1} + 1).(q + 1) \\ \equiv & \{ \text{împărțirea domeniului} \} \\ & 2^{t+1} \leq q < p \Rightarrow m = M.(q - 2^{t+1} + 1)(q - 2^t + 1) \odot M.(q - 2^t + 1).(q + 1) \end{aligned}$$

Termenul $M.(q - 2^{t+1} + 1)(q - 2^t + 1)$ este cunoscut în procesul $q - 2^t$.

Notăm cu $\overline{M}.q.t = M.(q - 2^t + 1).(q + 1)$ dacă $q \geq 2^t$ și $\overline{M}.q.t = M.0.(q + 1)$ dacă $q < 2^t$.

În concluzie, vor fi trei tipuri de procese:

1. procesele q cu $q < 2^t$ au invarianții $P1$ și $P2$ adevărați,
2. procesele q cu $2^t \leq q < 2^{t+1}$ trebuie să restaureze $P1$, folosind valoarea din procesul $q - 2^t$,
3. procesele q cu $2^{t+1} \leq q < 2^k$ trebuie să restaureze $P2$ folosind valoarea din procesul $q - 2^t$.

Deci la iterația t , procesul $q, q \geq 2^t$ trebuie să se angajeze în recepție de la procesul $q - 2^t$ și în transmisie către procesul $q + 2^t$, dacă acesta există.

```

S.q ::
[[t, aux : int;
  t := 0; m := f(q); {m = M.q.(q + 1)}
  {P.q}
  ; do(t ≠ k) →
    if(q < 2t) → {m = M.0.(q + 1)}
      (q + 2t)!m
    [](2t ≤ q < 2k - 2t) → {m =  $\overline{M}.q.t$ }
      par (q - 2t)?aux, (q + 2t)!m rap
      {aux =  $\overline{M}.(q - 2^t).t$ }
      ; m := aux ⊙ m
    [](2k - 2t ≤ q < 2k) →
      (q - 2t)?aux
      {aux =  $\overline{M}.(q - 2^t).t$  ∧ m =  $\overline{M}.q.t$ }
      ; m := aux ⊙ m
    fi
    ; t := t + 1
  {P.q}
  od
]]

```

Figura 6.1 reprezintă vizualizarea structurii comunicației pentru un exemplu concret cu $p = 2^3$.

Complexitatea-timp este $T.p.p = O(\log_2 p)$, pentru că la fiecare iterare au loc cel mult două comunicații și o operație \odot .

Se observă că s-a ajuns la o altă variantă de calculare a operației prefix, diferită de cele prezentate în Secțiunea 4.10.

Se poate face implementare cu succes pe o rețea hipercub.

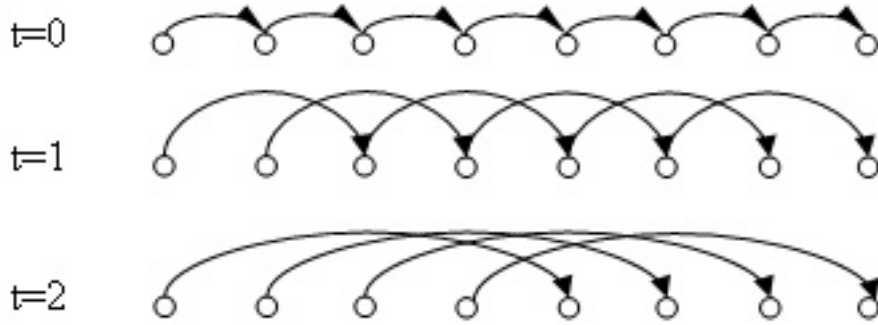


Figura 6.1: Calculul operației prefix – structura comunicației pentru $p = 8$, pe etape.

6.3.2 Înmulțire matriceală

În această secțiune prezentăm două variante de programe pentru înmulțirea matriceală. În secțiunile anterioare am analizat numărul total de comunicații în cele două cazuri: distribuții simple și distribuții multivoce. Se evidențiază aici importanța distribuției datelor, aceasta determinând programul care se construiește.

Datele sunt matricea A de ordin $(m \times o)$ și matricea B de ordin $(o \times n)$, iar rezultatul $C = A \times B$.

Cazul distribuțiilor simple

Considerăm distribuțiile, corespunzătoare exemplului 6.13:

$$\begin{aligned} D0 &= (\delta_0, \overline{m}, \overline{M}), & \delta_0 &: \overline{m} \rightarrow \overline{M}, \\ D2 &= (\delta_2, \overline{o}, \overline{N}), & \delta_2 &: \overline{o} \rightarrow \overline{N}, \\ D3 &= (\delta_3, \overline{o}, \overline{M}), & \delta_3 &: \overline{o} \rightarrow \overline{M}, \\ D1 &= (\delta_1, \overline{n}, \overline{N}), & \delta_1 &: \overline{n} \rightarrow \overline{N}. \end{aligned}$$

Pentru matricea A folosim distribuția $D0 \times D2$, pentru matricea B distribuția $D3 \times D1$, iar pentru matricea C distribuția $D0 \times D1$.

Postcondiția locală fiecărui proces (s, t) este:

$$\begin{aligned} R.s.t : & (\forall i, j : 0 \leq i < m \wedge 0 \leq j < n \wedge \delta_0.i = s \wedge \delta_1.j = t : \\ & C(i, j) = (\sum k : 0 \leq k < o : A(i, k) * B(k, j))). \end{aligned}$$

Pentru a putea obține un invariant concretizăm alegerea distribuțiilor. Din analiza numărului total de comunicații, s-a observat că putem alege orice distribuție. Alegem distribuții *ciclic* și considerăm că $N|o$:

$$\begin{aligned} \delta_0.i &= i \% M, \\ \delta_2.k &= k \% N, \\ \delta_3.k &= k \% M, \\ \delta_1.j &= j \% N. \end{aligned}$$

Invariantul local se obține introducând o variabilă locală ol :

$$\begin{aligned}
P.s.t &: P0.s.t \wedge P1.s.t \\
P0.s.t &: 0 \leq ol < N \wedge ol \% N = 0 \\
P1.s.t &: (\forall i, j : 0 \leq i < m \wedge 0 \leq j < n \wedge i \% M = s \wedge j \% N = t : \\
& C(i, j) = (\sum k : 0 \leq k < ol : A(i, k) * B(k, j)))
\end{aligned}$$

Notăm cu $S.i.j.x.y = (\sum k : x \leq k < y : A(i, k) * B(k, j))$. Dacă inițializăm $ol := 0$ și $C(i, j) := 0$, atunci invariantul este adevărat inițial. Progresul se realizează prin incrementarea lui ol cu N . Adică, la fiecare pas se vor adauga elementelor $C(i, j)$ termenii sumei cu indicii $k, ol \leq k < ol + N$:

$$\begin{aligned}
& P1.s.t(ol := ol + N) \\
= & \\
& (\forall i, j : 0 \leq i < m \wedge 0 \leq j < n \wedge i \% M = s \wedge j \% N = t : \\
& C(i, j) = S.i.j.0.(ol + N)) \\
= & \\
& (\forall i, j : 0 \leq i < m \wedge 0 \leq j < n \wedge i \% M = s \wedge j \% N = t : \\
& C(i, j) = S.i.j.0.ol + S.i.j.ol.(ol + N).
\end{aligned}$$

La fiecare pas trebuie restaurat invariantul $P1.s.t$.

Procesele parametrizate care se execută în paralel și care constituie programul paralel sunt:

```

S.s.t ::
|[ol : int;
  ol := 0;
  for all i, j : 0 ≤ i < m ∧ 0 ≤ j < n ∧ i % M = s ∧ j % N = t :
    C(i, j) := 0
  lla rof
  {P.s.t}
  do ol < o →
    RefaceP1.s.t
    ; ol := ol + N
    {P.s.t}
  od
  {R.s.t}
]|

```

Pentru a reface invariantul $P1$ este necesar să se comunice datele necesare calculării sumelor $S.i.j.ol.(ol + N)$. Procesul (s, t) trebuie să primească de la procesele (s, v) , $v \neq t$ valorile $A(i, k)$, $ol \leq k < ol + N$, pentru toți indicii i locali. Procesele $(k \% M, t)$, $ol \leq k < ol + N$ transmit pe coloană valorile $B(k, j)$, pentru toți indicii j locali. Pentru a reține datele care se transmit se folosesc două tablouri locale x și y . Deci procesul parametrizat $RefaceP1.s.t$ va repeta pentru fiecare ol cu $ol \% N = 0$ un proces de comunicație $C0.s.t$ și un proces de calcul $S0.s.t$.

RefaceP1.s.t ::
 $\llbracket [x(i, k : 0 \leq i < m \wedge 0 \leq k < N) : \text{array of real};$
 $y(k, j : 0 \leq k < N \wedge 0 \leq j < n) : \text{array of real};$
 $C0.s.t\{(\forall i, j, k : 0 \leq i < m \wedge i \% M = s \wedge 0 \leq j < n \wedge j \% N = t \wedge 0 \leq k < N :$
 $x(i, k) = A(i, k + ol) \wedge y(k, j) = B(k + ol, j))\}$
 $; S0.s.t\{(\forall i, j : 0 \leq i < m \wedge i \% M = s \wedge 0 \leq j < n \wedge j \% N = t :$
 $C(i, j) = (\sum k : 0 \leq k < ol + N : A(i, k) * B(k, j)))\}$
 \rrbracket

Pentru a evalua complexitatea comunicațiilor ținem cont de comunicațiile care se pot executa în paralel și considerăm că un broadcast al unei valori necesită o unitate de timp (rețea completă):

$$T_c.M.N.m.n.o = \frac{o}{N} * (N \frac{m}{M} + N \frac{n}{N})$$

$$\simeq o(m/M + n/N).$$

Procesul de calcul este definit de:

S0.s.t ::
 $\llbracket \text{for all } i : 0 \leq i < m \wedge i \% M = s :$
 $\text{for all } j : 0 \leq j < n \wedge j \% N = t :$
 $\text{for all } k : 0 \leq k < N :$
 $C(i, j) := C(i, j) + x(i, k) * y(k, j)$
 lla rof
 lla rof
 lla rof
 \rrbracket

Ca urmare complexitatea de calcul este:

$$T_f.M.N.m.n.o = 2 \frac{o}{N} * \frac{m}{M} * \frac{n}{N} * N$$

$$\simeq 2(m * o * n) / (M * N)$$

Cazul distribuțiilor multivoce

Reluăm cazul tratat în Exemplul 6.16.

Considerăm toate distribuțiile carteziene ca fiind distribuții *grid* care sunt definite în modul următor:

$$\begin{array}{l}
 A : \\
 \delta_0 : \bar{m} \rightarrow \overline{M}, \delta_0.i = i \% M \\
 \delta_2 : \bar{o} \rightarrow \overline{Q}, \delta_2.k = k \% Q \\
 \delta_0 \times \delta_2,
 \end{array}
 \left|
 \begin{array}{l}
 B : \\
 \delta_2 : \bar{o} \rightarrow \overline{Q}, \\
 \delta_1 : \bar{n} \rightarrow \overline{N}, \delta_1.j = j \% N \\
 \delta_2 \times \delta_1,
 \end{array}
 \right|
 \begin{array}{l}
 C : \\
 \delta_0 : \bar{m} \rightarrow \overline{M}, \\
 \delta_1 : \bar{n} \rightarrow \overline{N}, \\
 \delta_0 \times \delta_1.
 \end{array}$$

Postcondiția locală procesului (s, t, r) este:

$$R.s.t.r : r \neq 0 \vee (\forall i, j : 0 \leq i < m \wedge 0 \leq j < n \wedge \delta_0.i = s \wedge \delta_1.j = t : \\ C(i, j) = (\sum k : 0 \leq k < o : A(i, k) * B(k, j)))$$

Ca urmare, programul paralel are următoarea structură:

```

||[A(i, j : 0 ≤ i < m ∧ 0 ≤ j < o) : array of real;
  B(i, j : 0 ≤ i < o ∧ 0 ≤ j < n) : array of real;
  C(i, j : 0 ≤ i < m ∧ 0 ≤ j < n) : array of real;
  par s, t, r : 0 ≤ s < M ∧ 0 ≤ t < N ∧ 0 ≤ r < Q :
    ||
      S.s.t.r {r ≠ 0 ∨ (∀ i, j : 0 ≤ i < m ∧ 0 ≤ j < n ∧ δ0.i = s ∧ δ1.j = t :
        C(i, j) = (∑ k : 0 ≤ k < o : A(i, k) * B(k, j)))}
    ||
  rap
||
```

Postcondiția poate fi rescrisă în modul următor:

$$R.s.t.r : r \neq 0 \vee (\forall i, j : 0 \leq i < m \wedge 0 \leq j < n \wedge \delta_0.i = s \wedge \delta_1.j = t : \\ : C(i, j) = (\sum rr : 0 \leq rr < Q : sum.i.j.rr)).$$

unde $sum.i.j.r = (\sum k : 0 \leq k < o \wedge \delta_2.k = r : A(i, k) * B(k, j))$.

În consecință avem un proces de calcul $S0.s.t.r$ care calculează sumele $sum.i.j.r$. Postcondiția locală pentru acest proces este:

$$R0.s.t.r : (\forall i, j : 0 \leq i < m \wedge 0 \leq j < n \wedge \delta_0.i = s \wedge \delta_1.j = t : \\ w(i, j, r) = sum.i.j.r).$$

Procesul $S0.s.t.r$ conține 3 instrucțiuni **for all** și lucrează doar cu date locale.

Pentru a doua etapă se poate folosi câte un algoritm de tip arbore binar, pentru calculul valorii finale pentru fiecare $C(i, j)$. Dacă rețeaua de comunicație permite implementarea convenabilă a acestuia, atunci pentru această etapă se ajunge la o complexitate $O(\log_2 Q(mn)/(MN))$.

În acest caz complexitatea computațională și respectiv cea de comunicație totale sunt:

$$T_f.M.N.Q.m.n.o \simeq (m * n * o) / (M * N * Q) + \log_2 Q(m * n) / (M * N) \\ T_c.M.N.Q.m.n.o \simeq \log_2 Q(m * n) / (M * N).$$

Se pot analiza următoarele cazuri particulare:

1. $M = 1$, matricea A se distribuie doar pe coloane, dar e multiplicată pe fiecare coloană, iar matricea rezultat se distribuie pe linii.
2. $Q = 1$, matricea A se distribuie pe linii, iar matricea B pe coloane. Nu e necesară nici o transmisie.
3. $N = 1$, matricea B se distribuie pe linii și matricea rezultat C pe coloane.

Alegerea valorilor M, N, Q , se face astfel încât să se minimizeze complexitatea, în funcție de valorile concrete m, n, o .

6.3.3 Polinomul de interpolare Lagrange

În această secțiune se descrie construcția unor algoritmi paraleli pentru calculul valorii într-un punct a polinomului de interpolare Lagrange, folosind metoda descrisă în acest capitol. Sunt construiți doi algoritmi, pornind de la tipuri diferite de distribuții: simple și multivoce. Pentru analiza proceselor de comunicație considerăm rețele de interconectare complete.

Problema

Fie $[a, b] \subset \mathbb{R}$, $x(i) \in [a, b]$, $0 \leq i < m$, astfel încât $x(i) \neq x(j)$ pentru $i \neq j$ și $f : [a, b] \rightarrow \mathbb{R}$.

Polinomul de interpolare Lagrange e definit de formula:

$$(L_{(m-1)}f)(x) = \left(\sum_{i: 0 \leq i < m} l_i(x) * f.x(i) \right),$$

unde $l_i, 0 \leq i < m$ sunt polinoamele fundamentale de interpolare Lagrange:

$$\begin{aligned} l_i(x) &= \frac{(x - x(0)) \dots (x - x(i-1))(x - x(i+1)) \dots (x - x(m-1))}{(x(i) - x(0)) \dots (x(i) - x(i-1))(x(i) - x(i+1)) \dots (x(i) - x(m-1))} \\ &= \frac{u(x)}{(x - x(i))} * \frac{1}{(x(i) - x(0)) \dots (x(i) - x(i-1))(x(i) - x(i+1)) \dots (x(i) - x(m-1))} \end{aligned}$$

Postcondiția globală pentru calculul valorii polinomului Lagrange într-un punct dat x este:

$$R: lx = (L_{m-1}f)(x).$$

Varianta 1 – distribuții simple

Alegem distribuția $\delta : \bar{m} \rightarrow \bar{p}$, pentru datele $x(i), f(i), 0 \leq i < m$. Valoarea x e distribuită tuturor proceselor (sau putem considera că x e distribuită procesului 0 și apoi comunicată tuturor celorlalte procese, printr-un broadcast).

Folosind rafinarea în pași succesivi, determinăm următoarele etape în dezvoltarea programului:

1. calcularea valorii $u(x)$,
2. calcularea valorii polinoamelor fundamentale $l_i(x)$,
3. calcularea valorii $(L_m f)(x)$.

Postcondițiile locale pentru aceste etape sunt:

$$\begin{aligned} R0.q: & ux = u(x) \wedge (\forall i : 0 \leq i < m \wedge \delta.i = q : xx(i) = x - x(i)) \\ R1.q: & (\forall i : 0 \leq i < m \wedge \delta.i = q : l(i) = l_i(x)) \\ R2.q: & lx = (L_{m-1}f)(x). \end{aligned}$$

<pre> [[p, m : int; x, ux : real; l, xx, x(i : 0 ≤ i < m) : array of real; par q : 0 ≤ q < p : [[{Q.q : (∀i : i ∈ O.q : xx(i) = x - x(i)) ∧ ux = u.x} S.q {R1.q : l(i) = l_i.x}]] rap]] </pre>	
<pre> S.q :: [[pr(i : 0 ≤ i < m) : array of real; a(i : 0 ≤ i < m) : array of real; for all i : i ∈ O.q : a(i) := x(i); pr(i) := 1 lla rof {(∀i : i ∈ O.q : a(i) = x(i))} k := 0; {P1.q(k := 0)} do (k ≠ m) → RefaceP1.1.q {P1.1.q(k := k + p)} ; k := k + p {P1.q(k := k + p)} od for all i : i ∈ O.q : l(i) := (ux/xx(i))/pr(i) lla rof {R1.q}]] </pre>	<pre> RefaceP1.1.q :: [[C0.q {(∀i : 0 ≤ i < m ∧ i < k + p : a(i) = x(i))} ; S0.q]] </pre>
<pre> C0.q :: [[par u : 0 ≤ u < p ∧ u ≠ q : u!a(k + q) {transmisie} rap ; for all u : 0 ≤ u < p ∧ u ≠ q : u?a(k + u) {recepție} lla rof]] </pre>	<pre> S0.q :: [[for all i : i ∈ O.q : for all u : 0 ≤ u < p : if (i ≠ k + u) → pr(i) := pr(i) * (a(i) - a(k + u)) fi lla rof lla rof]] </pre>

Figura 6.2: Interpolare Lagrange cu distribuții simple – calcularea polinoamelor fundamentale $l_i(x)$.

Prima și ultima reprezintă calcularea unui produs și a unei sume și deci se poate folosi un algoritm de tip arbore.

Postcondiția pentru cea de-a doua etapă poate fi rescrisă în următoarea formă:

$$R1.q : (\forall i : 0 \leq i < m \wedge \delta.i = q : l(i) = \frac{ux}{x - x(i)} * \frac{1}{prod.i.m})$$

unde $prod.i.k = (\prod j : 0 \leq j < k \wedge j \neq i : x(i) - x(j))$.

Folosind tehnica de numărare a comunicațiilor putem decide că numărul comunicațiilor nu este influențat de funcția de distribuție a datelor ($NCom = m * (p - 1)$). Prin urmare, deoarece putem alege orice distribuție, alegem distribuția *ciclică*. Pentru simplificarea exprimării calculului presupunem că $m \% p = 0$. Vom folosi și notația $O.q = \{\forall i : 0 \leq i < m \wedge i \% p = q : i\}$.

Pentru derivarea programului este necesar să definim invarianți parametrizați. Introducem pentru aceasta, o variabilă $k : 0 \leq k < m \wedge k \% p = 0$. Așadar invarianții sunt:

$$\begin{aligned} P1.q &: P1.0.q \wedge P1.1.q \\ P1.0.q &: 0 \leq k < m \wedge k \% p = 0 \\ P1.1.q &: (\forall i : i \in O.q : pr(i) = prod.i.k) \end{aligned}$$

Dacă inițializăm variabila k cu 0 și $pr(i)$ cu 1 atunci invarianții sunt inițial adevărați. Progresul se realizează prin incrementarea variabilei k cu p :

$$\begin{aligned} &P1.1.q(k := k + p) \\ &= \{\text{substituție}\} \\ &(\forall i : i \in O.q : pr(i) = prod.i.(k + p)) \\ &= \{\text{descompunerea domeniului}\} \\ &(\forall i : i \in O.q : pr(i) = prod.i.k * (\prod j : k \leq j < k + p \wedge j \neq i : x(i) - x(j))) \end{aligned}$$

Algoritmul va conține compoziția în paralel a mai multor procese $S.q, 0 \leq q < p$ (Figura 6.2).

Complexitatea

Procesul $RefaceP1.q$ este apelat de $\frac{m}{p}$ ori și conține un proces de comunicație și un proces de calcul. În procesul de comunicație fiecare proces execută un broadcast prin care trimite o valoare celorlalte procese. Dacă considerăm că un broadcast se poate executa într-o unitate de timp, atunci $T_c.p.m = \frac{m}{p} * p = m$.

Deci, complexitatea celei de-a doua etape este:

$$\begin{aligned} T.p.m &= \frac{m}{p} * [p * \alpha + 2p * \frac{m}{p}] + 2\frac{m}{p} \\ &= m * \alpha + 2\frac{m^2}{p} + 2\frac{m}{p}. \end{aligned}$$

Varianta 2 – distribuții multivoce

Fie $p = M * M$ și identificăm fiecare proces printr-o pereche $(s, t), 0 \leq s, t < M$.

Vom folosi o distribuție *ciclică*: $\delta : \overline{M} \rightarrow \overline{m}$ și M permutări $\pi_t : \overline{M} \rightarrow \overline{M}, 0 \leq t < M$, definite de $\pi_t.i = (i + t)\%M$.

Distribuția multivocă este definită de relația:

$$x(i) \in O.s.t \Leftrightarrow \delta.i = \pi_t.s \Leftrightarrow i\%M = (s + t)\%M$$

Pentru $m = 9$ și $M = 3$ distribuția datelor este arătată în Figura 6.3.

s\t	0	1	2
0	x_0, x_3, x_6	x_1, x_4, x_7	x_2, x_5, x_8
1	x_1, x_4, x_7	x_2, x_5, x_8	x_0, x_3, x_6
2	x_2, x_5, x_8	x_0, x_3, x_6	x_1, x_4, x_7

Figura 6.3: Distribuția datelor pentru $m = 9$ și $M = 3$.

Considerăm din nou cele trei etape, definite de următoarele postcondiții locale:

$$\begin{aligned} R0.s.t : & (ux = u.x \wedge (\forall i : i \in O.s.t : xx(i) = x - x(i))) \\ R1.s.t : & t \neq 0 \vee (\forall i : i \in O.s.t : l(i) = l_i(x)) \\ R2.s.t : & (lx = (L_{m-1}f).x) \end{aligned}$$

Pentru prima și ultima etapă se poate folosi un algoritm de tip arbore, cu puține modificări față de cel clasic. Diferența constă în faptul că se folosește o numerotare diferită a proceselor.

De exemplu, pentru calcularea lui ux putem folosi următoarea derivare:

$$\begin{aligned} & (\prod i : 0 \leq i < m : xx(i)) \\ & = \{\forall i, \exists!(s, t) \text{ astfel încât } i\%M = (s + t)\%M \wedge i\%M^2 = s * M + (s + t)\%M\} \\ & (\prod s, t : 0 \leq s, t < M : \\ & \quad (\prod i : 0 \leq i < m \wedge i\%M = (s + t)\%M \wedge i\%M^2 = s * M + (s + t)\%M : xx(i))) \\ & = \{O.s.t = (\forall i : 0 \leq i < m \wedge i\%M = (s + t)\%M : i)\} \\ & (\prod s, t : 0 \leq s, t < M : \\ & \quad (\prod i : i \in O.s.t \wedge i\%M^2 = s * M + (s + t)\%M : xx(i))) \end{aligned}$$

Postcondițiile pentru produsele parțiale sunt:

$$R01.s.t : ux.s.t = (\prod i : i \in O.s.t \wedge i\%M^2 = s * M + (s + t)\%M : xx(i))$$

Deci, putem concluziona că

$$ux = (\prod i : 0 \leq i < m : xx(i)) = (\prod s, t : 0 \leq s, t < M : ux.s.t)$$

Invariantul este construit folosind o variabilă k , care este inițializată la început cu $s * M + (s + t)\%M$; progresul se realizează prin incrementarea variabilei k cu M^2 . Valoarea finală se obține prin înmulțirea produselor parțiale:

$$R02.s.t : ux = (\prod s, t : 0 \leq s, t < M : ux.s.t).$$

Așadar, complexitatea este aceeași cu cea de la varianta 1.

Această derivare se poate obține și pornind de la de definiția funcției ΘInd corespunzătoare: $\Theta Ind.i.k = (k, (i - k)\%M)$; in acest caz, postcondițiile parțiale corespunzătoare sunt:

$$R01.s.t : ux.s.t = \left(\prod i : 0 \leq i < m \wedge \Theta Ind.i.((i/M)\%M) = (s, t) : xx(i) \right),$$

care sunt echivalente cu cele scrise anterior.

În continuare vom detalia mai mult cea de-a doua etapă. Ca și în cazul înmulțirii a două matrice, vom considera două subetape: una pentru calcule **parțiale** și una pentru combinarea acestor calcule **parțiale**.

Fiecare linie $(s, .)$ calculează valorile $l(i), \forall i : 0 \leq i < m \wedge \delta.i = s$.

Postcondiția $R1.s.t$ poate fi rescrisă în următoarea formă:

$$R1.s.t : t \neq 0 \vee (\forall i : i \in O.s.t : l(i) = ux/xx(i) * 1/prod.i.m)$$

unde $prod.i.m = (\prod j : 0 \leq j < m \wedge i \neq j : (x(i) - x(j)))$.

Pentru a calcula produsele $prod.i.m$ putem să le împărțim în M subproduse. Fiecare subprodus corespunde mulțimii de elemente atribuite unui proces.

Deci, putem rescrie produse $prod.i.m$ astfel:

$$\begin{aligned} & prod.i.m \\ &= \{descompunerea\ domeniului\} \\ & \left(\prod t : 0 \leq t < M : \left(\prod j : j \in O.s.t \wedge i \neq j : (x(i) - x(j)) \right) \right) \\ &= \{j \in O.s.t \Leftrightarrow 0 \leq j < m \wedge j\%M = (s + t)\%M\} \\ & \left(\prod t : 0 \leq t < M : \left(\prod j : 0 \leq j < m \wedge \delta.j = \pi_t.(\delta.i) \wedge i \neq j : (x(i) - x(j)) \right) \right) \\ &= \{parprod.i.t \stackrel{not}{=} (\prod j : 0 \leq j < m \wedge \delta.j = \pi_t.(\delta.i) \wedge i \neq j : (x(i) - x(j)))\} \\ & \left(\prod t : 0 \leq t < M : parprod.i.t \right) \end{aligned}$$

Valorile $prod.i.m$ se obțin în final folosind un algoritm de tip arbore pe fiecare linie.

Invariantii pentru calcularea produselor parțiale sunt definiți prin introducerea variabilei k , care va fi incrementată cu M :

$$\begin{aligned} P1.s.t &: P1.0.s.t \wedge P1.1.s.t \\ P1.0.s.t &: 0 \leq k < m \wedge k\%M = 0 \\ P1.1.s.t &: (\forall i : 0 \leq i < k \wedge \delta.i = s : ppr(i) = parprod.i.t). \end{aligned}$$

Procesele parametrizate pentru calcularea produselor parțiale $S.s.t, 0 \leq s, t < M$ sunt descrise în Figura 6.4.

Complexitatea

Pentru această variantă complexitatea celei de-a doua etape este:

$$\begin{aligned} T.p.m &= \frac{m}{M} [\alpha + 2\frac{m}{M} + \log_2 M(\alpha + 1)] + 2\frac{m}{M} \\ &= 2\frac{m^2}{p} + \frac{m}{M} (\log_2 M + 2) + \alpha \frac{(1 + \log_2 M)}{M} m. \end{aligned}$$

Complexitatea comunicației este mai mică decât cea a primului algoritm.

```

S.s.t ::
[[ ppr( $i : 0 \leq i < m$ ) : array of real;
   a( $i : 0 \leq i < m$ ) : array of real;
   for all  $i : i \in O.s.t$  :
      $a(i) := x(i)$ ;
   lla rof
     { $(\forall i : i \in O.s.t : a(i) = x(i))$ }
      $k := 0$ ; { $P1.q(k := 0)$ }
     do ( $k \neq m$ )  $\rightarrow$ 
       RefaceP1.1.s.t { $P1.1.s.t(k := k + M)$ }
       ;  $k := k + M$  { $P1.s.t(k := k + M)$ }
     od
]]

```

```

RefaceP1.1.s.t ::
[[
  C0.s.t { $a(s + k) = x(s + k)$ }
  ; S0.s.t
  { $ppr(s + k) = (\prod i : i \in O.s.t \wedge i \neq s + k : a(s + k) - a(i))$ }
]]

```

<pre> <i>C0.s.t</i> :: [[if($t = 0$) \rightarrow par $v : 0 < v < M$: $(s, v)!a(k + s)$ rap]($t \neq 0$) \rightarrow $(s, 0)?a(k + s)$ fi]] </pre>	<pre> <i>S0.s.t</i> :: [[<i>ppr</i>($s + k$) := 1; for all $j : j \in O.s.t$: if ($j \neq s + k$) \rightarrow $ppr(s + k) := ppr(s + k) * (a(s + k) - a(j))$ fi lla rof]] </pre>
---	---

Figura 6.4: Interpolare Lagrange cu distribuții multivoce – procesele *S.s.t*.

Se pot trage următoarele concluzii:

- Ambele variante de algoritmi sunt construite pornind de la specificații, folosind reguli de derivare corecte.
- Tipuri diferite de distribuții conduc la algoritmi diferiți.
- Cel de-al doilea algoritm poate fi folosit în ambele cazuri: $p \leq m$, sau $p > m$ și are complexitatea de comunicație mai mică.

Dacă $p > m$, avantajul folosirii celui de-al doilea algoritm este evident.

Dacă $p \leq m$, comparația dintre complexitățile celor două variante duce la următoarea concluzie:

$$\alpha > 3.5 \text{ adevărat în multe cazuri} \\ \Rightarrow T_{\text{distributie-multivoca}} < T_{\text{distributie-simpla}}, \forall M \geq 4.$$

Dacă M este mai mare, atunci inegalitatea este adevărată și pentru cazurile în care α este mai mic.

- Dacă se consideră implementări pe rețele de tip hipercub sau latice și nu o rețea de interconectare ideală, atunci complexitatea variantei a doua este și mai bună.

Sumar

Metoda de programare paralelă propusă, seamănă mult cu o metodă de derivare corectă din specificații pentru programare secvențială. Se bazează pe reguli stricte care forțează structura unui program paralel:

- Un program paralel constă din p instanțe ale unui singur proces parametrizat S .
- S este mai departe rafinat, folosind tehnici standard ale programării secvențiale, în secvențe de programe secvențiale ordinare și procese de comunicație, fiecare fiind la rândul lui un proces parametrizat.
- Instanțele unui proces parametrizat de comunicare formează un nivel închis la comunicații (comunicațiile au loc doar între instanțele aceluiași proces parametrizat).

Ca o consecință a acestei structuri putem considera un program paralel ca fiind descompus pe nivele. În nivelele de calcul, operațiile sunt distribuite între cele p procese și fiecare proces realizează calcule pe propriul set de date locale. În nivelele de comunicație, procesele interacționează prin transmitere de mesaje. Descompunerea pe nivele facilitează demonstrarea corectitudinii. Fiecare nivel este construit folosind invarianți parametrizați și poate fi demonstrată corectitudinea lui aplicând reguli de demonstrare clasice și specifice. Un nivel de comunicație are specificații separate, de obicei, cu o funcționalitate simplă. Se pot face implementări alternative ale proceselor de comunicație, care se bazează pe diferite rețele de comunicație. Este de preferat să se lucreze cu nivele de

comunicație mici și evitarea lor pe cât posibil. Nivelele de calcul este bine să fie cât mai mari și bine echilibrate, pentru a reduce pe cât posibil timpii de așteptare.

Eficiența unui program paralel este mult determinată de distribuția datelor folosite, care la rândul ei determină încărcarea de calcul și numărul de comunicații.

Folosirea distribuțiilor multivoce este absolut necesară pentru cazul dezvoltării de programe paralele pentru sisteme cu granulație fină, când numărul de procesoare este foarte mare. Totuși, și în celelalte cazuri, mai ales datorită faptului că în general se construiesc mai multe procese decât numărul de procesoare efective (pentru ascunderea întârzierilor), folosirea distribuțiilor multivoce poate conduce la programe paralele generale eficiente.

Capitolul 7

Formalismul Bird-Meertens – BMF

Proprietățile programării funcționale fac ca aceasta să aducă avantaje importante pentru programarea paralelă, făcând posibilă dezvoltarea programelor prin transformări riguroase și exploatănd mecanisme de abstractizare a datelor și a controlului fluxului de execuție. Problema practică care se pune este de a găsi o modalitate de a folosi aceste proprietăți pentru a asigura eficiența și predictibilitatea execuției programelor pe arhitecturi paralele.

Formalismul Bird-Meertens (BMF)[20] a fost inițial creat pentru dezvoltarea programelor secvențiale. În timp, BMF a devenit tot mai popular pentru construcția programelor paralele. În BMF, funcții de nivel înalt (funcționale) captează conceptele generale ale programării paralele, într-un mod independent de arhitectură. Aceste funcționale pot fi compuse pentru a obține algoritmi. Funcționalele BMF au ca și parametrii operatori elementari și funcții, astfel încât o expresie BMF reprezintă o clasă de programe asupra căreia se poate raționa independent, sau ținând cont de proprietățile particulare ale funcțiilor concrete. Stilul acesta de programare se numește *generic* sau *bazat pe șabloane* (“skeletons”). În ultima perioadă, acest domeniu a fost investigat, dezvoltat și adaptat programării paralele.

Prezentăm în acest capitol o abordare de dezvoltare a programelor paralele numită SAT (Stages and Transformations), specificată de S. Gorlatch [70], bazată pe BMF, care combină abstractizarea și performanța într-un mod sistematic. Această metodă are la bază:

- **Etape** care structurează specificația abstractă a programelor paralele folosind funcționale BMF și conceptul de schemă și deci ascunde detaliile de programare de nivel jos.
- **Transformări** care captează procesul de construcție al programului prin tranziții care păstrează corectitudinea, fie între diferite specificații abstracte, fie între specificație și implementări.

Abordarea SAT include algoritmi care lucrează cu structuri de date construite recursiv, cum sunt listele și arborii. Paralelismul algoritmic este abstractizat prin scheme

de nivel înalt în contextul funcțional al BMF. Schema de bază care este folosită este *omeomorfismul*.

În continuare, este dată o prezentare succintă a notației BMF, pentru structura de date de bază lista nevidă, cu operatorul de concatenare (\diamond) ca și constructor. (Listele se notează printr-o înșiruire de elemente încadrate de paranteze drepte.) Pentru a nu încălca prezentarea, definirea funcționalelor se va face informal, presupunându-se că expresiile funcționalelor sunt corect tipizate.

Cea mai simplă și în același timp cea care conține cel mai înalt grad de paralelism este funcționala *map*, care aplică funcția unară f , fiecărui element al listei:

$$\text{map}(f).[x_1, x_2, \dots, x_n] = [f.x_1, f.x_2, \dots, f.x_n].$$

Calcularea lui f pe diferite elemente ale listei poate fi făcută independent, dacă sunt disponibile destule procesoare. Elementele listei pot fi la rândul lor liste și f poate fi o funcție complexă sau o compunere de funcții.

O variantă a funcționalei *map* este *dmap* (*distributed map*), care este o funcțională care aplică o listă $[h_1, h_2, \dots, h_n]$ de n funcții, pe o listă $[l_1, l_2, \dots, l_n]$ de n liste de argumente:

$$\text{dmap}([h_1, h_2, \dots, h_n]).[l_1, l_2, \dots, l_n] = [\text{map}(h_1).l_1, \text{map}(h_2).l_2, \dots, \text{map}(h_n).l_n]$$

Altă variantă de funcțională *map* este *omap*:

$$\text{omap}(\odot).[a_1, \dots, a_n].[b_1, \dots, b_n] = [a_1 \odot b_1, \dots, a_n \odot b_n]$$

care aplică operatorul binar \odot elementelor corespunzătoare din cele două liste argument.

În afara paralelismului lui *map*, BMF permite descrierea paralelismului de tip arbore. Acesta se exprimă prin funcționala *red* (de la reducere) cu un operator binar asociativ \oplus :

$$\text{red}(\oplus).[x_1, x_2, \dots, x_n] = x_1 \oplus x_2 \oplus \dots \oplus x_n.$$

Reducerea poate fi calculată pe un arbore binar echilibrat cu operatorul \oplus în noduri. Timpul calculului paralel depinde de adâncimea arborelui, care este $\log_2 n$, pentru o listă cu lungimea n .

Pe parcurs se vor introduce și alte funcționale. Expresiile BMF se pot obține prin compunerea funcționalelor BMF $(f \circ g).x$. Compunerea funcționalelor este asociativă și reprezintă execuția secvențială a celor două funcționale.

Pentru expresiile condiționale cum este *dacă* p *atunci* b *altfel* c , se folosește notația $p \rightarrow b; c$, cu următoarele proprietăți:

$$p \rightarrow h; h = h \tag{7.1}$$

$$(p \rightarrow b; h) \circ t = p \circ t \rightarrow b \circ t; h \circ t \tag{7.2}$$

Exemplul 7.1 (Rezolvare sistem linear prin metoda Jacobi) Pentru rezolvarea unui sistem linear $A \times X = B$, unde A este o matrice de dimensiune $n \times n$ cu proprietatea $a_{ii} \neq 0, \forall i = 1, \dots, n$ și X, B sunt vectori de dimensiune n , prin metoda iterativă Jacobi,

se pornește de la o aproximație inițială $X^0 = (x_1^0, \dots, x_n^0)$ și apoi se evaluează recursiv aproximațiile $X^1, \dots, X^n, n > 1$. Un pas de aproximare presupune următoarele calcule:

$$x_i^m = (b_i - \sum_{j=1, j \neq i}^n a_{i,j} \cdot x_j^{m-1}) / a_{i,i}, \quad i = 1, \dots, n, m > 1.$$

Considerăm lista $x = [x_1^0, \dots, x_n^0, 1]$ și lista de liste $a = [[a_{1,1}, \dots, a_{1,n}, -b_1], \dots, [a_{n,1}, \dots, a_{n,n}, -b_n]]$. Definim funcția *Jacobi* care returnează o listă care conține valorile $[x_1^1, \dots, x_n^1]$ și care reprezintă aplicarea unui pas Jacobi.

$$\begin{aligned} \text{Jacobi}.a.x &= \text{dmap}([j a_1.x, \dots, j a_n.x]).a \\ j a_i.x.y &= (-\text{red}(+).(prod_i.x.y)) / \pi_i.y \\ prod_i.x.y &= \text{dmap}([f_1.i, \dots, f_n.i]).(\text{lists}.(omap(\cdot).x.y)) \\ f_j.i.[z] &= i \neq j \rightarrow z; 0, \quad j = 1, \dots, n \\ \text{lists}.[z_1, \dots, z_n] &= [[z_1], \dots, [z_n]] \end{aligned}$$

S-a folosit funcția proiecție π_i , care returnează a i -a componentă a unei liste.

Funcția *lists* s-a introdus doar pentru a respecta definiția funcționalei *dmap* care are ca argument o listă de liste. În acest caz, fiecare sublistă conține un singur element.

Prin urmare un pas al iterației Jacobi este o compunere de funcționale *map* și *red* și avem o descriere funcțională a unui program paralel.

Expresiile BMF – și prin urmare și programele specificate de ele – pot fi manipulate prin aplicarea unor reguli ale formalismului, care păstrează semantica.

Această descriere abstractă a programelor paralele se poate lega de o descriere care să includă și performanța programului pe o anumită arhitectură, folosind conceptul de *model de programare*.

Modelul formal tradițional de paralelism, PRAM, permite descrierea și compararea algoritmilor paraleli, făcând abstracție de sincronicitate, localizarea datelor și capacitatea de comunicare. Într-un model rețea, un program este văzut ca o colecție de procese comunicante, fiecare cu o memorie locală. Folosind terminologia Occam sau CSP (Communicating Sequential Processes) [89], acesta poate fi numit model "PAR-SEQ" (PARallel composition of SEQquential processes). Acesta corespunde direct clasei SPMD și exprimă bine eficiența programelor, dar implică multe detalii de nivel jos.

Soluția este de a folosi modelul PAR-SEQ doar pentru reprezentarea programului țintă. Procesul de construcție al programului exploatează modelul dual SEQ-PAR. Acest model își are originile în paralelismul de tip SIMD și este extins la clasa programelor SPMD. Un program paralel în construcție este privit ca o secvență de etape paralele. Fiecare etapă încapsulează paralelism de diferite tipuri și implică potențial toate procesoarele. Se folosește din nou conceptul de "nivel închis la comunicații": nu sunt permise comunicații între etape diferite. BMF permite specificația directă a unui program cu un singur fir de execuție, care la rândul lui poate fi extins la un program SPMD, datorită închiderii la comunicație a etapelor.

Acest model simplifică semnificativ structura programelor: controlul global devine secvențial și părțile paralele ale programului devin mai mici și mai ușor de înțeles.

Formalismul BMF este un mediu care permite transformări ale programelor. Un exemplu simplu de transformare este legea fuziunii *map*:

$$\text{map}(f \circ g) = \text{map}(f) \circ \text{map}(g) \quad (7.3)$$

Dacă compunerea secvențială a celor doi pași paraleli din partea dreaptă este implementată prin bariera de sincronizare, atunci partea stângă e mai eficientă și deci preferabilă. Pentru a estima impactul unei anumite transformări asupra performanței se poate folosi un calcul de cost.

7.1 Omeomorfisme pe liste

Principiul omeomorfismului este foarte cunoscut și folosit în diferite ramuri ale matematicii; intuitiv, o funcție omeomorfă conservă structura domeniului său în codomeniu.

Definiția 7.1 *O funcție h definită pe o mulțime de liste este un omeomorfism dacă și numai dacă există un operator binar \otimes astfel încât, oricare ar fi listele x și y :*

$$h.(x \diamond y) = h.x \otimes h.y \quad (7.4)$$

Adică, valoarea unui omeomorfism pe o listă poate fi calculată prin aplicarea operatorului de combinare \otimes asupra componentelor acelei liste. Datorită faptului că valorile $h.x$ și $h.y$ se pot calcula independent, ele se pot calcula în paralel. Operatorul \otimes este în mod necesar asociativ, datorită asociativității operatorului de concatenare.

Omeomorfismele exprimă foarte bine paradigma *divide&impera*.

Exemplul 7.2 (Prefix) Funcția *prefix* furnizează pentru un operator binar \odot și o listă, lista tuturor “sumelor prefix”. De exemplu, pentru o listă cu 3 elemente:

$$\text{prefix}(\odot).[a, b, c] = [a, a \odot b, a \odot b \odot c].$$

Funcția *prefix* este un omeomorfism cu operatorul de combinare \otimes precizat în continuare:

$$\begin{aligned} S_1 \otimes S_2 &= S_1 \diamond (\text{map}(\text{last}.S_1 \odot).S_2) \\ \text{prefix}(\odot).(x \diamond y) &= \text{prefix}(\odot).x \otimes \text{prefix}(\odot).y, \end{aligned}$$

unde *last.S* returnează ultimul element din *S*.

(Algoritmul corespunde algoritmului “upper-lower” prezentat în Capitolul 4, Secțiunea 4.10, dar în acest caz avem și asigurarea corectitudinii.)

Teorema 7.1 (de caracterizare) *O funcție h este un omeomorfism dacă și numai dacă poate fi factorizată ca o compunere:*

$$h = \text{red}(\otimes) \circ \text{map}(f), \quad (7.5)$$

unde oricare ar fi un element a , $f.a=h.[a]$.

Fiecare omeomorfism este unic determinat de f și \otimes . Astfel, toate omeomorfismele pot fi privite ca instanțe ale unei singure *șablon omeomorfism*. În consecință, acest șablon poate fi calculat într-un mod uniform de un program cu două nivele, compus din funcționalele BMF *map* și *red*.

Pentru a folosi omeomorfismele în procesul de construcție al programelor paralele, trebuie rezolvate următoarele probleme:

1. *Extragere*: verificarea unei funcții dacă poate fi o instanță a schemei omeomorfism, adică găsirea specificației concrete pentru funcția f și pentru operatorul \otimes .
2. *Ajustare*: dacă o funcție nu e omeomorfism, se încearcă includerea ei într-un n -uplu de funcții care constituie un omeomorfism.
3. *Compunere*: găsirea unei modalități eficiente de a compune mai multe omeomorfisme ca nivele într-un program abstract mai mare.
4. *Implementare*: găsirea unei modalități de implementare eficiente, care țin cont de proprietățile funcțiilor concrete

7.1.1 Extragere

Pentru o funcție h este necesar să se găsească funcția f , care furnizează imaginea lui h pentru o listă cu un singur element și operatorul de combinare \otimes . Funcția f este în general ușor de găsit, dar găsirea operatorului \otimes nu este în general trivială.

Metoda CS

Se consideră constructorii *cons* și *snoc* tipici programării secvențiale funcționale. Constructorul *cons*(\triangleright) adaugă un element la începutul unei liste, iar constructorul *snoc*(\triangleleft) adaugă un element la sfârșitul unei liste.

Definiția 7.2 *Funcția h se numește de stânga (st) dacă și numai dacă există un operator binar \oplus astfel încât $h.(a \triangleright y) = a \oplus h.x$, oricare ar fi elementul a și lista x . Dual, o funcție h este de dreapta (dr) dacă și numai dacă există un operator \ominus astfel încât $h.(x \triangleleft a) = h.x \ominus a$.*

Datorită faptului că operatorii \oplus, \ominus pot fi complecși (pot conține și alternative) și nu sunt neapărat asociativi, o funcție poate fi numai *st* sau *dr* sau ambele.

Importanța pentru o funcție de a fi *st* și *dr* este evidentiată de următoarea teoremă, care combină prin cele două implicații ale sale, două teoreme clasice în BMF (a doua și a treia), ambele definite de Bird [20]. Prima implicație este simplu de demonstrat, iar a doua a fost demonstrată de Meertens și prezentată sistematic de Gibbons[65].

Teorema 7.2 *O funcție pe liste este un omeomorfism dacă și numai dacă este și (st) și (dr).*

Prin această teoremă se asigură faptul că pentru o funcție care este și (st) și (dr) , existența operatorului \otimes este asigurată, dar nu se dă o modalitate de obținere a lui. Pentru aceasta se impun restricții în plus pentru funcțiile (st) și (dr) .

Definiția 7.3 O funcție h se numește omeomorfă la stânga (os) dacă și numai dacă există \otimes astfel încât oricare ar fi lista x și elementul a : $h.(a \triangleright x) = h.[a] \otimes h.x$. Analog, pentru funcții omeomorfe la dreapta (od) $h.(x \triangleleft a) = h.x \otimes h.[a]$.

Introducem funcția f astfel încât $f.a = h.([a])$. Pentru o funcție dată f și un operator \otimes , există un singur omeomorfism la stânga, (respectiv la dreapta), notat cu $os(f, \otimes)$ (respectiv $od(f, \otimes)$).

Evident, orice funcție $os(od)$ este de asemenea și $st(dr)$, dar nu și invers. De exemplu, funcția g :

$$\begin{aligned} g.[a] &= |a| \\ g.(a \triangleright x) &= \text{if } a \leq g.x \rightarrow |a + g.x| ; |a - g.x| \end{aligned}$$

este de stânga, dar nu este omomorfism de stânga, deoarece $g.(a \triangleright x)$ nu poate fi exprimat doar cu ajutorul lui $|a|$ și $g.x$.

Se observă că, deoarece operația \otimes din (7.5) este în mod necesar asociativă, un \otimes -omeomorfism este complet determinat de acțiunea sa pe liste cu un singur element, deci putem scrie $om(f, \otimes)$ pentru unica funcție \otimes -omeomorfism, pentru care $h.[a] = f.a$ oricare ar fi a .

Teorema 7.3 Dacă o funcție e omeomorfism atunci este și (os) și (od) , cu același operator de combinare. Dacă funcția este (os) sau este (od) și operatorul de combinare este asociativ atunci funcția este omeomorfă cu operatorul de combinare specificat de (os) sau de (od) .

O demonstrație a acestei teoreme poate fi găsită în [73].

Teorema sugerează o modalitate de construcție a operatorului: se construiește o definiție a funcției omeomorfe la stânga, pe liste $cons$ și o definiție omeomorfe la dreapta, pe liste $snoc$ și se încearcă să se “potrivească” cele două definiții astfel încât să conțină același operator. Dacă operatorul găsit este asociativ, atunci este cel căutat.

Metoda CS:

1. Furnizarea a două definiții secvențiale pentru o funcție dată: o definiție $cons$ și o definiție $snoc$.
2. Determinarea unei generalizări CS, aplicată definițiilor $cons$ și $snoc$.
3. Dacă asociativitatea operatorului \otimes poate fi demonstrată inductiv, atunci din Teorema 7.3 rezultă că \otimes este operatorul căutat.

Exemplul 7.3 (extragere omeomorfism pentru prefix) Pentru listele cu un element $prefix.[a] = [a]$, și deci $f = [.]$. Pentru $prefix$, definițiile $cons$ și $snoc$ sunt:

$$\begin{aligned} [a] \otimes prefix(\odot).y &= a \triangleright (map(a\odot).(prefix(\odot).y)) \\ prefix(\odot).x \otimes [b] &= (prefix(\odot).x \triangleleft (last.(prefix(\odot).x) \odot b)) \end{aligned}$$

Generalizarea CS conduce la $u \otimes v = u \diamond map(last.(u)\odot).v$. Se poate demonstra ușor asociativitatea operatorului \otimes și astfel s-a demonstrat că $prefix$ este un omeomorfism cu $f = [.]$ și \otimes definit ca mai sus.

7.1.2 Aproape-omeomorfisme

Omeomorfismele pe liste se pot folosi cu mare succes în construcția programelor paralele, dar din păcate sunt multe funcții necesare și interesante care nu sunt omeomorfisme. Un astfel de exemplu este funcția mss (“**maximum segment sum**”) care caută maximumul dintre sumele formate din elementele segmentelor continue dintr-o listă de numere. De exemplu, $mss.[3, -4, 2, -1, 6, -3] = 7$, unde rezultatul s-a obținut prin adunarea elementelor segmentului $[2, -1, 6]$. Funcția mss nu este un omeomorfism, deoarece nu e suficient să cunoaștem $mss.xs$ și $mss.ys$ pentru a putea calcula $mss.(xs \diamond ys)$.

Un *aproape-omeomorfism* este o funcție, care împreună cu un număr de funcții auxiliare, formează o funcție de tip n -uplu, care este un omeomorfism. Ceea ce este dificil este de a găsi funcțiile auxiliare care împreună cu funcția dată formează un omeomorfism.

Poate fi folosită o abordare similară cu metoda *CS*. Metoda *CS* începe cu definirea funcției mss pentru liste $cons$. Notăm cu \uparrow operatorul care returnează maximumul a două argumente. Pentru orice element a și lista x , $mss.(a \triangleright x)$ ar fi egală cu $mss.[a] \uparrow mss.x$; dar astfel nu se ține cont de segmentele inițiale care se pot construi. De aceea, se introduce funcția mis (“maximum initial segment”) și obținem următoarea definiție a funcției mss :

$$\begin{aligned} mss.(a \triangleright x) &= mss.[a] \uparrow mss.x \uparrow (a + mis.x) \\ mis.(a \triangleright x) &= mis.[a] \uparrow (a + mis.x). \end{aligned}$$

În mod analog, se definește funcția mss pentru liste $snoc$ și pentru aceasta se definește funcția mcs (“maximum concluding segment”):

$$\begin{aligned} mss.(x \triangleleft a) &= mss.x \uparrow mss.[a] \uparrow (mcs.x + a) \\ mcs.(x \triangleleft a) &= (mcs.x + a) \uparrow mcs.[a] \end{aligned}$$

Avem deocamdată funcția (mss, mis, mcs) , dar funcția mis nu poate fi definită pentru listele $snoc$ doar pe baza acestor funcții și similar funcția mcs nu poate fi definită pentru liste $snoc$. Se introduce, de aceea, o altă funcție ts (“total sum”) care determină suma totală a unei liste de întregi. Rezultă, așadar, un 4-uplu (mss, mis, mcs, ts) pentru care avem următoarele definiții $cons$ și $snoc$:

$$\begin{aligned}
mss.(a \triangleright x) &= mss.[a] \uparrow mss.x \uparrow (a + mis.x) \\
mis.(a \triangleright x) &= mis.[a] \uparrow (a + mis.x) \\
mcs.(a \triangleright x) &= (a + ts.x) \uparrow mcs.x \\
ts.(a \triangleright x) &= ts.[a] + ts.x \\
mss.(x \triangleleft a) &= mss.x \uparrow mss.[a] \uparrow (mcs.x + a) \\
mis.(x \triangleleft a) &= mis.x \uparrow (ts.x + a) \\
mcs.(x \triangleleft a) &= (mcs.x + a) \uparrow mcs.[a] \\
ts.(x \triangleleft a) &= ts.x + ts.[a]
\end{aligned}$$

Funcția f determină rezultatul aplicării 4-uplului de funcții pe liste cu un singur element:

$$f.a = \langle mss, mis, mcs, ts \rangle . [a] = (a \uparrow 0, a \uparrow 0, a \uparrow 0, a).$$

Urmează să găsim părțile comune din definițiile *cons* și *snoc* pentru a găsi definiția generală pentru \diamond . Pentru funcția *ts* se observă că este și de stânga și de dreapta și deci definițiile se potrivesc perfect. Pentru celelalte funcții trebuie înlocuit a . Cea mai directă modalitate de înlocuire este cu $ts.[a]$, care este egal cu a pentru listele cu un element. Dar în acest caz definițiile pentru *mss* nu se potrivesc.

O altă modalitate este de a înlocui, pentru *mss*, pe a cu $mcs.[a]$ în definiția *cons* și cu $mis.[a]$ în definiția *snoc*:

$$\begin{aligned}
(a + mis.x) \uparrow mss.x &= (mcs.[a] + mis.x) \uparrow mss.x \\
mss.x \uparrow (a + mis.x) &= mss.x \uparrow (mcs[a] + mis.x).
\end{aligned}$$

Pentru definițiile *mis* și *mcs* se înlocuiește a cu $ts.[a]$, acolo unde nu a fost deja înlocuit.

Ca urmare se obțin următoarele definiții:

$$\begin{aligned}
mss.(a \triangleright x) &= mss.[a] \uparrow mss.x \uparrow (mcs.[a] + mis.x) \\
mss.(x \triangleleft a) &= mss.x \uparrow mss.[a] \uparrow (mcs.x + mis.[a]) \\
\\
mis.(a \triangleright x) &= mis.[a] \uparrow (ts.[a] + mis.x) \\
mis.(x \triangleleft a) &= mis.x \uparrow (ts.x + mis.[a]) \\
\\
mcs.(a \triangleright x) &= (mcs.[a] + ts.x) \uparrow mcs.x \\
mcs.(x \triangleleft a) &= (mcs.x + ts.[a]) \uparrow mcs.[a] \\
\\
ts.(a \triangleright x) &= ts.[a] + ts.x \\
ts.(x \triangleleft a) &= ts.x + ts.[a]
\end{aligned}$$

Se ajunge la următoarea definiție a operatorului \otimes :

$$\begin{aligned}
\langle mss.x, mis.x, mcs.x, ts.x \rangle \otimes \langle mss.y, mis.y, mcs.y, ts.y \rangle = \\
((mss.x) \uparrow (mss.y) \uparrow (mcs.x + mis.y), mis.x \uparrow (ts.x + mis.y)), \\
(mcs.x + ts.y) \uparrow mcs.y, (ts.x + ts.y)).
\end{aligned} \tag{7.6}$$

Asociativitatea operatorului poate fi demonstrată prin calcul direct și rezultă că funcția definită prin 4-uplul de funcții este omeomorfism.

Funcția mss se calculează după formula:

$$mss = \pi_1 \circ red(\otimes) \circ map(f),$$

unde π_1 este o proiecție care returnează prima componentă din 4-uplu.

Această reprezentare omeomorfă este paralelizabilă în modul standard pe o structură de procesoare de tip arbore. Deoarece și funcția f și operatorul \otimes necesită un timp constant de calcul, complexitatea timp totală este $O(\log_2 n)$. Numărul de procesoare poate fi redus la $O(n/\log_2 n)$ simulându-se nivelele joase ale arborelui, în mod secvențial, conform teoremei lui Brent.

7.2 Implementare

Metoda standard de implementare a omeomorfismelor este de a folosi reprezentarea:

$$h = red(\oplus) \circ map(f).$$

Funcția map se execută în paralel într-un timp constant, iar reducerea se face într-un timp $O(\log_2 n)$, dacă dimensiunea listei este n . Această implementare este optimă numai dacă presupunem că există suficiente procesoare, sau mai exact numărul de procesoare crește liniar cu dimensiunea datelor.

O abordare mai practică este a considera un număr limitat de procesoare p (paralelism limitat). Introducem tipul $[\alpha]_p$ al listelor cu lungimea p , și indexăm funcțiile definite pe acest tip de liste cu p (de exemplu map_p). Partiționarea unei liste arbitrare în p subliste, numite *blocuri*, este realizată cu ajutorul funcției distribuție, $dist^{(p)} : [\alpha] \rightarrow [[\alpha]]_p$. Următoarea egalitate este evidentă: $red(\diamond) \circ dist^{(p)} = id$.

Teorema 7.4 (Promovare) Pentru un \otimes -omeomorfism h :

$$h \circ red(\diamond) = red(\otimes) \circ map(h). \quad (7.7)$$

Datorită egalității (7.7), abstractizarea standard a omeomorfismului h pe p procesoare, se transcrie astfel:

$$h = red(\otimes) \circ map_p(h) \circ dist^{(p)}. \quad (7.8)$$

Pentru a ilustra folosirea schemei (7.8) reluăm exemplul MSS studiat. Deoarece 4-uplul $\langle mss, mis, mcs, ts \rangle$ definește un omeomorfism cu operatorul \otimes definit de (7.6), poate fi aplicată teorema de promovare și rezultă:

$$mss = \pi_1 \circ red(\otimes) \circ map_p(\langle mss, mis, mcs, ts \rangle) \circ dist^{(p)} \quad (7.9)$$

Cele trei etape sunt obținute direct din abstractizarea (7.9), care este urmată de $dist^{(p)}$.

Prima etapă $map_p(< mss, mis, mcs, ts >)$ este implementată prin apelul unui program secvențial, în fiecare procesor pentru blocul-listă local, care are dimensiunea n/p ; ca urmare complexitatea acestei etape este $O(n/p)$. Reducerea $red(\otimes)$ necesită un timp $O(\log_2 p)$, iar ultima etapă – proiecția se realizează într-un timp constant. Deci complexitatea totală este $O(n/p + \log_2 p)$.

Putem analiza trecerea de la paralelism nelimitat (fără limitarea numărului de procesoare) la paralelism limitat și separat pentru funcționalele map și red , independent, nu doar pentru omeomorfisme.

Pentru funcționala map avem următoarea egalitate:

$$map\ f = flat \circ map_p (map\ f) \circ dist^{(p)} \quad (7.10)$$

unde funcția $flat : [[\alpha]]_p \rightarrow [\alpha]$ transformă o listă de subliste într-o listă folosind concatenarea ($flat = red(\diamond)$).

Pentru reducere, transformarea este:

$$red(\oplus) = red_p(\oplus) \circ map_p (red(\oplus)) \circ dist^{(p)} \quad (7.11)$$

Vom considera că doar funcțiile cu indicele p vor fi distribuite pe procesoare. Celelalte vor fi calculate secvențial.

7.2.1 Sortare prin numărare

Ideea algoritmului de sortare prin numărare este următoarea: se determină rangul fiecărui element din secvența nesortată și se plasează apoi fiecare element pe poziția corespunzătoare rangului său. Rangul unui element este egal cu numărul de elemente mai mici decât el [96].

Sortarea prin numărare nu este un algoritm de sortare secvențială foarte eficient, pentru că complexitatea-timp pentru cazul secvențial este $O(n^2)$ (n este lungimea secvenței). Dar această idee conduce la algoritmi paraleli eficienți.

Folosind acest exemplu simplu, vom ilustra faptul că proiectarea abstractă bazată pe formalismul BMF poate să analizeze diferite cazuri care pot apare la faza de implementare. Și astfel se evidențiază faptul că abstractizarea nu exclude performanța [137].

Proiectarea BMF

Bazat pe definiția metodei se ajunge la următorul program BMF pentru calcularea rean-
gului fiecărui element:

$$\begin{aligned} \text{rank} &: [\alpha] \rightarrow [\alpha] \\ \text{rank}.l &= \text{map } (\text{count}.l).l \\ \\ \text{count} &: [\alpha] \times \alpha \rightarrow [\alpha] \\ \text{count}.l.x &= (\text{red}(+) \circ \text{map } (f.x)).l \end{aligned} \tag{7.12}$$

$$\begin{aligned} f &: \alpha \times \alpha \rightarrow \alpha \\ f.x.y &= \begin{cases} 1, & \text{if } x \geq y \\ 0, & \text{if } x < y \end{cases} \end{aligned}$$

Am considerat α ca fiind un tip pentru care există o relație de ordine între instanțele sale, iar $[\alpha]$ este tipul listelor construite peste acest tip.

Putem face o transformare foarte simplă:

$$(\text{red}(+) \circ \text{map } (f.x)).l = \text{red}(+).(\text{map } (f.x).l) \tag{7.13}$$

care presupune doar că aplicarea funcției $f.x$ se face în același pas cu reducerea și nu într-un pas separat secvențial.

Pentru calculul funcționalei map ar fi nevoie de un număr de procesoare egal cu lungimea listei de intrare – n . Fiecare aplicare a funcției $\text{count}.l$ reprezintă o reducere care poate fi calculată cu o complexitate-timp egală cu $O(\log_2 n)$, complexitatea-procesor fiind $O(n)$. Deci pentru întreg programul complexitatea-timp rămâne $O(\log_2 n)$.

Adaptarea la paralelism limitat

Pentru a adapta programul la paralelism limitat impunem ca numărul de procesoare să fie egal cu p și vom folosi funcția $\text{dist}^{(p)}$.

Se poate remarca faptul că algoritmul conține două faze: una reprezentată de funcția map și cealaltă reprezentată de funcția count , fiecare având lista l ca și argument. Funcția $\text{dist}^{(p)}$ divide lista argument în p subliste echilibrate ca lungime. Prin urmare, o putem aplica fie pentru calculul funcției map , fie pentru calculul funcției count , fie pentru amândouă.

Va trebui, de asemenea, să analizăm două cazuri:

1. $p \leq n$,
2. $n < p \leq n^2$

Cazul $p \leq n$

Dacă numărul de procese este egal sau mai mic decât lungimea secvenței, atunci funcția $\text{dist}^{(p)}$ poate fi aplicată doar o singură dată: pentru funcția map , sau pentru funcția count .

```

for  $i = 0, p - 1$  in parallel do
  for  $k = 0, n/p - 1$  do
     $global\_read(A[i * n/p + k], ak)$ ;
     $r = 0$ ;
    for  $j = 0, n - 1$  do {se numără câte elemente sunt mai mici decât  $ak$ }
       $global\_read(A[j], aj)$ ;
      if  $(aj < ak)$   $r = r + 1$ ; end if
    end for
     $global\_write(r, R[i * n/p + k])$ ;
  end for
end for

```

Figura 7.1: Sortare prin numărare – programul SM pentru $p \leq n$.

În primul caz, obținem următorul program BMF, folosind regula ecuațională (7.10):

$$\begin{aligned}
 rank.l &= (flat \circ map_p (map(count)) \circ dist^{(p)}).l \\
 count.l.x &= red(+).(map(f.x).l)
 \end{aligned}
 \tag{7.14}$$

Aceasta înseamnă că fiecare procesor calculează secvențial rangul pentru n/p elemente.

Dacă aplicăm funcția $dist$ funcției $count$ obținem următorul program BMF:

$$\begin{aligned}
 rank.l &= map(count.l).l \\
 count.l.x &= (red_p(+) \circ map_p (red(+)) \circ map(f.x) \circ dist^{(p)}).l
 \end{aligned}
 \tag{7.15}$$

S-a folosit de această dată regula (7.11). Acest program calculează secvențial rangurile pentru fiecare element, dar fiecare rang în parte se calculează în paralel folosind p procese. Pentru calcularea rangului elementului x , procesele compară valoarea lui x cu toate cele n/p elemente locale lor și astfel se calculează mai întâi rangurile locale; apoi rangurile locale se adună.

Aceste două cazuri reflectă modurile în care algoritmul se poate descompune în componente, care pot fi calculate folosind p procese. Dacă considerăm că funcțiile cu indexul p vor fi calculate în paralel cu p procese și funcțiile fără indexi vor fi calculate secvențial, obținem următoarele complexități: (n^2/p) pentru primul caz și $(n^2/p + n \log p)$ pentru cel de-al doilea. Evident primul este mai bun.

Implementări pentru $p \leq n$

Pe arhitecturi cu memorie partajată (SM) lista l poate fi partajată de toate procesele și prin urmare, în mod natural vom alege prima variantă care are complexitate-timp mai bună. Putem transforma programul BMF corespunzător într-un program de tip PRAM descris în Figura 7.1.

Fiecare proces face n^2/p citiri și n/p scrieri din/în memoria partajată. Dacă se consideră cazul unei arhitecturi CREW complexitatea este $(n^2/p + \alpha(n^2/p + n/p))$, unde α este unitatea de timp pentru accesul la memoria partajată.

```

Rank(mypid) :
  for  $i = 0, n - 1$  do
    Bcast( $A[i]$ ); { emițătorul este procesul care conține  $A[i]$  }
     $rl = ComputeLocalRank(A[i]);$ 
    Reduce( $rl, mypid$ );
  end for

```

Figura 7.2: Sortare prin numărare – programul DM pentru $p \leq n$.

Pe o arhitectură cu memorie distribuită (DM) cea de-a doua variantă este mai bună deoarece lista este distribuită pe procesoare. La un pas, un element este difuzat prin broadcast tuturor procesoarelor, care îi vor calcula rangul - sunt deci n pași. Rangurile locale sunt însumate folosind un calcul de tip arbore binar, care reprezintă operația de reducere. Figura 7.2 descrie într-un limbaj de tip pseudocod un astfel de program.

Complexitatea-timp este dată de expresia $n(n/p + \log p(1 + \beta) + b\beta)$, unde β este unitatea de timp pentru o comunicație a unei valori, iar constanta b reflectă timpul necesar pentru broadcast.

Arhitecturile pipeline pot fi de asemenea folosite pentru implementarea acestui algoritm. Dacă sunt n procesoare, fiecare procesor are o valoare locală $a[i]$. Elementele listei sunt “pompat” pe rând și rangul fiecărui element “pompat” este actualizat în fiecare procesor prin compararea cu valoarea locală. Rangul curent trebuie să fie de asemenea “pompat”. Dacă $p < n$ atunci fiecare procesor va avea mai multe valori locale și deci va face mai multe comparații la un pas. Complexitatea-timp, pentru această implementare, este: $(n + p - 1)(n/p + \beta)$, unde β este unitatea de timp necesară unei comunicații între două procesoare vecine.

Cazul $n < p \leq n^2$

Dacă avem mai mult de n procese și $p = q * r$, putem folosi funcția *dist* atât pentru calcularea funcționalei *map* cât și pentru *count*. Și astfel ajungem la următorul program BMF:

$$\begin{aligned}
 rank.l &= (flat \circ map_q (map (count.l)) \circ dist^{(q)}).l \\
 count.l.x &= (red_r(+)) \circ map_r (red(+)) \circ map (f.x) \circ dist^{(r)}.l
 \end{aligned}
 \tag{7.16}$$

Complexitatea-timp în acest caz este $(n/q)(n/r + \log r)$.

Pe o arhitectură SM programul diferă de programul prezentat în Figura 7.1 prin faptul că fiecare element al rezultatului funcției *count* este calculat folosindu-se un calcul de tip arbore binar. Fiecare procesor face $n^2/p + (n/q) \log r$ citiri și $(n/q) \log r$ scrieri din/în memoria partajată.

Pentru o arhitectură DM procesoarele pot fi aranjate ca o rețea grid (plasă) de dimensiune $q \times r$, iar distribuția datelor de pe prima linie poate fi replicată pe celelalte linii de procesoare. Fiecare linie calculează rangurile unei subliste de n/q elemente. Complexitatea-timp este $n^2/p + n/q(\log r(1 + \beta) + b\beta)$.

O arhitectură pipeline cu mai mult de n procesoare nu este folositoare pentru această problemă.

Sortarea prin numărare, deși este un algoritm secvențial ineficient conduce la algoritmi paraleli eficienți; deci relevă faptul că nu neapărat cea mai bună variantă secvențială conduce la cei mai buni algoritmi paraleli. Sortarea paralelă prin numărare a fost implementată în special pentru arhitecturile de tip SM [173]. Am evidențiat aici, într-un mod formalizat, bazat pe BMF, că și arhitecturile DM și pipeline pot fi considerate pentru o implementare eficientă.

Prin acest exemplu, se evidențiază faptul că programele BMF pot fi transformate formal pentru paralelism limitat, iar variantele obținute pot fi analizate mai departe pentru alegerea celei mai bune, în funcție de arhitectura țintă.

7.3 Tipuri de date categoriale

BMF a fost dezvoltat inițial doar pentru structuri de date de tip listă. Ulterior, a fost extins pentru tipuri de date categoriale [155], care sunt extensii ale tipurilor abstracte de date.

Definiția 7.4 (Categorie) *O categorie este o structură cu obiectele A, B, \dots , săgețile f, g, \dots și cu o operație binară asociativă \cdot (compunere) pe săgeți, astfel încât:*

$$\frac{f : A \rightarrow B \quad g : B \rightarrow C}{(g \cdot f) : A \rightarrow C}$$

care înseamnă că oricare ar fi săgețile $f : A \rightarrow B$ și $g : B \rightarrow C$ există o săgeată $(g \cdot f) : A \rightarrow C$ și

$$\overline{id_A : A \rightarrow A}$$

astfel încât pentru fiecare săgeată $f : A \rightarrow B$,

$$f \cdot id_A = f$$

$$id_b \cdot f = f$$

Considerăm o categorie *Type*, ale cărei obiecte sunt mulțimi, iar săgețile sunt funcții totale. Impunem următoarele proprietăți pentru această categorie:

- Are un obiect inițial **0**. Există o săgeată unică de la acest obiect la oricare alt obiect al categoriei.
- Are un obiect final **1**. Există o săgeată unică de la oricare alt obiect al categoriei la acest obiect.
- Are produse, astfel încât pentru toate perechile de obiecte A și B , există un obiect $A \times B$ și proiecțiile de la el la A și B .

- Are coproduse, astfel încât pentru toate perechile de obiecte A și B , există un obiect $A + B$ și injecțiile de la A și B la el (un element aparține mulțimii $A + B$ dacă aparține mulțimii A sau mulțimii B).
- pentru fiecare pereche de săgeți $f : A \rightarrow B$ și $g : B \rightarrow C$ există o săgeată, numită joncțiune, $f \nabla g : A + B \rightarrow C$.

Un functor este un omeomorfism pe categorii.

Definiția 7.5 (Functor) *Un functor $F : \mathcal{C} \rightarrow \mathcal{D}$ mapează obiectele categoriei \mathcal{C} pe obiectele categoriei \mathcal{D} și săgețile categoriei \mathcal{C} spre săgețile categoriei \mathcal{D} , astfel încât păstrează compunerile și identitățile:*

$$\begin{aligned} F(f : A \rightarrow B) &= F(f) : F(A) \rightarrow F(B) \\ F(g \cdot f) &= F(f) \cdot F(g) \\ F(id_A) &= id_{F(A)} \end{aligned}$$

Tipurile de date categoriale (A^*) sunt construite formal prin precizarea unor constructori definiți pentru o mulțime de bază (A). De exemplu, pentru liste omogene (posibil vide), acești constructori sunt:

$$\begin{aligned} [] &: \mathbf{1} \rightarrow A^* \\ [\cdot] &: A \rightarrow A^* \\ \diamond &: A^* \times A^* \rightarrow A^* \end{aligned}$$

Acești trei constructori corespund unei singure săgeți: $[] \nabla \cdot \nabla \diamond : \mathbf{1} + A + A^* \times A^* \rightarrow A^*$, a categoriei de bază (*Type*). Pentru a arăta că obiectul A^* există, se definește un functor $T : A^* \rightarrow \mathbf{1} + A + A^* \times A^*$ care este definit de $T = K_1 + K_A + |\times|$, unde K_X este functorul constant X care mapează fiecare obiect spre X și fiecare săgeată spre id_X . Functorul T este un functor polinomial și într-o astfel de categorie are un punct fix; A^* se definește ca fiind partea obiect a punctului fix al functorului T [158].

Dintr-o anumită perspectivă, tipurile de date categoriale captează un stil al programării funcționale de ordin doi, în care programele sunt construite din forme restrictive ale unor funcții de ordin doi. Din altă perspectivă, ele sunt extensii de obiecte fără stare, sau tipuri abstracte de date. Tipurile categoriale de date încapsulează fluxul de control și reprezentarea datelor. Prin încapsularea fluxului de control, programatorul nu trebuie să specifice cum sunt aranjate operațiile de calcul și de comunicare pe tipurile de date. Aceasta va cădea în sarcina implementatorilor. În acest fel se realizează o separare a noțiunilor, la un nivel corect.

Programele bazate pe tipuri categoriale de date sunt compuneri de operații monolitice, care calculează omeomorfisme pe obiectele tipurilor de date. Aceste operații ascund detaliile interne de calcul. În cazul paralel, aceasta înseamnă că se ascunde modul în care aceste calcule sunt descompuse în procese, modul în care acestea sunt mapate pe procesoare și modul în care acestea comunică și se sincronizează. Prin acestea, ele permit dezvoltarea de programe *independente de arhitectură*.

Dezvoltarea de programe are o metodologie formată din două părți. Prima se bazează pe faptul că structura calculului oricărui omeomorfism este aceeași, astfel încât programatorii se pot concentra asupra părților specifice fiecărui omeomorfism în parte. A doua constă în faptul că construcția unui tip de date furnizează un set de ecuații care pot fi folosite pentru transformarea programului. Această abordare încurajează dezvoltarea derivațională, prin care specificațiile sunt transformate în programe. Se poate considera că această abordare este restrictivă, pentru că se bazează pe omeomorfisme. Dar, totuși toate funcțiile injective sunt omeomorfisme și prin aceasta se includ foarte multe funcții. Pe de altă parte, anumite funcții pot fi adaptate, astfel încât să fie reprezentate ca un omeomorfism urmat de o proiecție (aproape-omeomorfisme).

Pot fi construite diferite tipuri de date categoriale, bazate pe: liste, arbori, mulțimi, tablouri, grafuri. Prezentăm în continuare tipul arbore binar omogen.

7.3.1 Tipul arbore binar omogen

Obiectele acestui tip sunt arbori binari cu o valoare dintr-un anumit tip de bază A pe fiecare nod (frunze sau noduri terminale) – prin urmare sunt omogeni – și un nod are doi descendenți sau nici unul.

Acest tip are doi constructori, unul transformă o valoare de tip A într-un arbore care constă dintr-un singur nod, iar cel de-al doilea transformă doi arbori și o valoare de tip A într-un arbore mai mare care îi conține.

$$\begin{aligned} \text{Leaf} & : A \rightarrow A_t \\ \text{Join} & : A_t \times A \times A_t \rightarrow A_t \end{aligned}$$

Omeomorfismele pe acești arbori sunt funcții definite pe o mulțime A_t , cu valori într-o mulțime P cu operațiile:

$$\begin{aligned} p_1 & : A \rightarrow P \\ p_2 & : P \times A \times P \rightarrow P \end{aligned}$$

De fapt, există o corespondență biunivocă între asemenea structuri (mulțime + operații) și omeomorfisme.

Astfel, dacă se dorește găsirea unui omeomorfism h de la arborii A_t la o anumită mulțime P , se poate porni direct de la ce trebuie să facă acel omeomorfism, sau se poate porni de la operațiile din P care trebuie să corespundă acțiunii lui h . Aceasta este în general o problemă mai simplă.

Toate omeomorfismele pe arbori pot fi calculate folosind aceeași schemă recursivă, parametrizată cu funcțiile p_1 și p_2 :

$$\begin{aligned} & \text{eval_hom}(p_1, p_2, t) \\ & \text{if } (t = \text{Leaf}(a)) \rightarrow p_1(a) \\ & \quad [] (t = \text{Join}(t1, a, t2)) \rightarrow \\ & \quad \quad p_2(\text{eval_hom}(p_1, p_2, t1), \\ & \quad \quad a, \\ & \quad \quad \text{eval_hom}(p_1, p_2, t2)) \end{aligned}$$

Exemplul 7.4 (înălțimea) Înălțimea unui arbore binar poate fi calculată printr-un omeomorfism, pentru care:

$$\begin{aligned} p_1 &= K_0 : A \rightarrow \mathbb{N} \\ p_2 &= \oplus : \mathbb{N} \times A \times \mathbb{N} \rightarrow \mathbb{N} \end{aligned}$$

unde $\oplus(n, a, m) = \uparrow(n, m) + 1$ și K_0 este funcția constant nulă.

Exemplul 7.5 (map) Funcționalele de tip $map(f)$ sunt omeomorfisme de la o mulțime de arbori A_t la o altă mulțime de arbori B_t , care aplică funcția f pe fiecare nod al arborelui. Ele se pot exprima formal prin precizarea funcțiilor p_1 și p_2 :

$$\begin{aligned} p_1 &= (Leaf \cdot f) : A \rightarrow B_t \\ p_2 &= (Join \cdot id \times f \times id) : B_t \times A \times B_t \rightarrow B_t \end{aligned}$$

În această abordare, complexitatea-timp de evaluare este proporțională cu adâncimea recursivității, care este înălțimea arborelui. Evident, această operație merită să fie considerată ca un caz special cu o implementare mai bună, în care funcția f este aplicată pe fiecare nod simultan.

Exemplul 7.6 (red) Pentru funcționala $red(\oplus)$ avem:

$$\begin{aligned} p_1 &= id : A \rightarrow A \\ p_2 &= \oplus : A \times A \times A \rightarrow A \end{aligned}$$

unde s-a folosit varianta ternară a operatorului asociativ \oplus .

Sumar

Modelul funcțional, prezentat în acest capitol, are în vedere două aspecte importante ale programării paralele: abstractizarea și performanța.

Abordarea construirii programelor folosind funcționalele:

- scutește programatorul de a lua decizii care țin de detaliile de nivel jos al unei aplicații particulare;
- furnizează implementări standard care măresc încrederea în corectitudinea programelor țintă;
- oferă predicția performanței;
- furnizează metode care păstrează corectitudinea, pentru compunere și rafinare.

Prin abstractizare se trece de la particular la general, ceea ce dă noi dimensiuni principiilor programării paralele.

Posibilele pierderi în ceea ce privește performanța sunt compensate de portabilitate și de ușurința programării.

Capitolul 8

Structuri de date pentru specificarea paralelismului

Algebrele de date distribuite sunt o noțiune abstractă utilizată pentru descrierea programelor paralele. Ideea de bază este aceea că structura de date este împărțită în subobiecte care pot fi alocate mai multor procesoare.

Pentru că se încearcă găsirea unor scheme de paralelizare cât mai simple și mai eficiente se poate pune problema găsirii unor metode de specificare specializate pe anumite clase de probleme.

Algoritmii recursivi intervin în rezolvarea unei mari varietăți de probleme, constituindu-se astfel într-o clasă importantă de probleme. *PowerList*, *ParList* și *PList* sunt structuri de date liniare, ce pot fi folosite cu succes în descrierea funcțională simplă a programelor paralele care sunt de natura Divide&Impera. Folosind tehnici formale se pot deriva descrieri succinte pentru programele paralele, plecând de la specificații. Acest formalism a fost introdus prima dată de către J. Misra[121] și dezvoltat apoi de către J. Kornerup[99]. Folosind acest formalism este posibil să se lucreze la un nivel înalt de abstractizare, prin eliminarea notațiilor de index. Se poate spune că unul dintre motivele pentru care programarea paralelă este considerată dificilă astăzi este folosirea intensivă a notațiilor de index în limbajele de programare paralelă. Aceasta duce și la o demonstrare a corectitudinii programelor paralele foarte anevoioasă.

Algoritmii sunt specificați cu ajutorul funcțiilor definite recursiv pe aceste structuri. Funcțiile pot fi transformate prin derivări corecte bazate pe axiomele algebrilor corespunzătoare, pentru a se ajunge la algoritmi mai eficienți.

Secțiunile 2, 3 și 4, ale acestui capitol, prezintă cele trei structuri de date împreună cu teoria asociată lor, precum și exemple care ilustrează avantajele și diferențele folosirii lor. Secțiunea 5 prezintă specificarea algoritmului de calcul al transformatei Fourier rapide în trei cazuri distincte, funcție de gradul polinomului care este transformat, folosindu-se cele trei structuri de date prezentate. În ultima secțiune se prezintă o extindere a celor trei structuri în structuri n -dimensionale *PowerArray*, *ParArray* și *PArray*, facilitând astfel specificarea algoritmilor care lucrează cu date structurate pe mai multe dimensiuni. Un exemplu elocvent este dat prin specificarea unui algoritm general pentru calcularea

formulelor recurente liniare, oarecare. Acesta este folosit la calcularea unor polinoamele ortogonale.

Complexitatea programelor paralele specificate prin acest formalism este discutată doar la un nivel abstract (fără a se ține seama de arhitectura pe care vor fi implementate). Este analizată în schimb implementarea algoritmilor specificați prin *PowerList* pe arhitecturi de tip hipercub, care se dovedește a fi foarte simplă și eficientă.

Tipuri folosite

Notăm cu *Type* mulțimea tuturor tipurilor folosite.

Tipurile simple folosite sunt următoarele:

Nume tip	Ce definește
<i>Nat</i>	Numere naturale
<i>Pos</i>	Numere naturale pozitive
<i>Real</i>	Numere reale
<i>Com</i>	Numere complexe
<i>Bool</i>	Valori booleene

Tipul unei funcții este precizat prin numele funcției, domeniu și codomeniu.

Tipurile structurilor *PowerList*, *ParList* și *PList* sunt formalizate prin introducerea unei funcții – *constructor de tip* pentru fiecare structură. Aceste funcții au două argumente, un tip și o lungime și returnează tipul tuturor instanțelor structurii cu elemente de tipul specificat și lungimea egală cu lungimea dată.

8.1 Structuri de date *PowerList*

În această secțiune vom prezenta structura de date *PowerList* și algebra definită pe mulțimea structurilor de date de acest tip. Demonstrarea proprietăților acestor structuri și definirea funcțiilor pe aceste structuri se face pe baza inducției structurale definite pe mulțimea structurilor *PowerList*. Este analizată maparea algoritmilor specificați cu ajutorul structurilor *PowerList* pe arhitecturi de tip hipercub. În final, sunt prezentați algoritmi paraleli pentru calcularea valorii unui polinom și pentru integrare numerică Romberg și Simpson.

8.1.1 Definiții

O structură *PowerList* este o structură liniară ale cărei elemente sunt de același tip. Lungimea unei structuri *PowerList* este o putere a lui 2. O structură *PowerList* de lungime 1 se numește *singleton* și este reprezentată astfel: $[a]$, unde a este unicul element al listei.

Constructorul de tip asociat acestei structuri de date este:

$$PowerList : Type \times Nat \rightarrow Type$$

care are ca argumente un tip (X) și un număr natural (k) și returnează tipul tuturor structurilor *PowerList* cu elemente de tipul X și cu lungimea egală cu 2^k . De exemplu, *PowerList.Nat.2* este tipul tuturor structurilor *PowerList* cu lungime 2^2 care conțin elemente numere naturale.

Două structuri *PowerList* care au aceeași lungime și elemente de același tip se numesc *similare* (aparțin unui tip *PowerList.X.n*).

Două structuri *PowerList* similare p, q , pot fi combinate într-o listă de lungime dublă în două moduri diferite:

- $p \mid q$ (*tie*) este lista care conține elementele din p urmate de elementele din q ,
- $p \# q$ (*zip*) este lista formată din elementele din p și q luate alternativ.

Ca urmare, constructorii de structuri *PowerList* sunt următorii:

$$\begin{aligned} [.] & : X \rightarrow PowerList.X.0 \\ . \mid . & : PowerList.X.n \times PowerList.X.n \rightarrow PowerList.X.(n+1) \\ .\# & : PowerList.X.n \times PowerList.X.n \rightarrow PowerList.X.(n+1) \end{aligned}$$

Funcțiile:

$$\begin{aligned} length & : PowerList.X.n \rightarrow Nat \text{ și} \\ loglen & : PowerList.X.n \rightarrow Nat \end{aligned}$$

sunt definite prin următoarele relații

$$\begin{aligned} (\forall p : p \in PowerList.X.n : length.p = 2^n) \\ (\forall p : p \in PowerList.X.n : loglen.p = n). \end{aligned}$$

Considerăm următoarele **axiome ale algebrei *PowerList***:

1. $p \in PowerList.X.n \wedge n > 0 \Rightarrow (\exists !u, v : u, v \in PowerList.X.(n-1) : p = u \mid v)$
2. $p \in PowerList.X.n \wedge n > 0 \Rightarrow (\exists !u, v : u, v \in PowerList.X.(n-1) : p = u \# v)$
3. $[a] = [b] \equiv a = b$
4. $p \mid q = u \mid v \equiv p = u \wedge q = v$
5. $p \# q = u \# v \equiv p = u \wedge q = v$
6. $[a] \mid [b] = [a \# b]$
7. $(p \mid q) \# (u \mid v) = (p \# u) \mid (q \# v)$

unde p, q, u, v sunt structuri *PowerList*.

Conform ultimei axiome putem spune că operațiile *zip* și *tie* “comută”.

Un element particular al unei structuri *PowerList* nu poate fi accesat direct. Singura cale de acces la elementele unei structuri *PowerList* este împărțirea listei folosind operațiile *tie* și *zip* ca și *deconstructori*, folosind axiomele 1 și 2.

8.1.2 Principiul inducției pentru *PowerList*

Funcțiile peste structuri *PowerList* se definesc cu ajutorul inducției structurale. Folosind inducția structurală putem demonstra diferite proprietăți ale structurilor *PowerList* și a funcțiilor definite pe acestea.

Fie $\Pi : PowerList.X.n \rightarrow Bool, X \in Type, n \in Nat$, un predicat al cărui adevăr trebuie stabilit pentru toate structurile *PowerList* cu elemente de tipul X . Putem să demonstrăm că predicatul Π este adevărat folosind următorul principiu al inducției:

$$\begin{aligned} & (\forall x : x \in X : \Pi. [x]) \\ \wedge & \\ & ((\forall p, q, n : p, q \in PowerList.X.n \wedge n \in Nat : \Pi.p \wedge \Pi.q \Rightarrow \Pi. (p|q)) \\ & \quad \vee (\forall p, q, n : p, q \in PowerList.X.n \wedge n \in Nat : \Pi.p \wedge \Pi.q \Rightarrow \Pi. (p\#q))) \\ \Rightarrow & \\ & (\forall p, n : p \in PowerList.X.n \wedge n \in Nat : \Pi.p) \end{aligned}$$

8.1.3 Operatori, relații și funcții

Fie $\otimes : X \times X \rightarrow X$ un operator binar definit pe tipul scalar X .

Extindem operatorul prin definirea lui pe structuri *PowerList*:

$$\otimes : PowerList.X.n \times PowerList.X.n \rightarrow PowerList.X.n$$

definit prin relațiile:

$$\begin{aligned} [a] \otimes [b] &= [a \otimes b] \\ (p|q) \otimes (u|v) &= (p \otimes u) | (q \otimes v) \quad \text{sau} \\ (p\#q) \otimes (u\#v) &= (p \otimes u) \# (q \otimes v) \end{aligned}$$

Ultimele două egalități nu sunt independente, fiecare putând constitui ipoteza de plecare în demonstrarea celeilalte, prin inducție structurală.

Ele exprimă faptul că $|$ și \otimes (respectiv $\#$ și \otimes) “comută”.

Relațiile peste tipurile scalare sunt extinse în același mod ca și operatorii binari.

Fie Δ o relație peste tipul X , definită prin funcția $\Delta : X \times X \rightarrow Bool$ și fie $p, q, u, v \in PowerList.X.n$ și $x, y \in X$. Definim relația extinsă prin:

$$\Delta : PowerList.X.n \times PowerList.X.n \rightarrow Bool$$

$$\begin{aligned} [x] \Delta [y] &\equiv [x \Delta y] \\ (p\#q) \Delta (u\#v) &\equiv (p \Delta u) \wedge (q \Delta v) \end{aligned}$$

Deci două structuri *PowerList* similare sunt în relația Δ dacă și numai dacă elementele de pe aceeași poziție sunt în relație. Se poate folosi și operatorul *tie* pentru definirea relației:

$$(p|q) \Delta [u|v] \equiv (p \Delta u) \wedge (q \Delta v)$$

Prezentăm în continuare câteva exemple de funcții definite pe structuri *PowerList*:

1. $sum : PowerList.X.n \rightarrow X$

calculează suma elementelor unei structuri *PowerList*. Presupunem că $\oplus : X \times X \rightarrow X$ este un operator aditiv asociativ, definit pe X :

$$\begin{aligned} sum.[a] &= a \\ sum.(p|q) &= sum.p \oplus sum.q \end{aligned}$$

Rețeaua de calcul a funcției *sum* are forma unui arbore binar total echilibrat.

2. Funcția *sum* este o particularizare a funcției de nivel înalt de reducere

$reduce : (X \times X \rightarrow X) \times PowerList.X.n \rightarrow X$ definită prin:

$$\begin{aligned} reduce.\otimes.[a] &= a \\ reduce.\otimes.(p|q) &= reduce.\otimes.p \otimes reduce.\otimes.q \end{aligned}$$

unde $\otimes : X \times X \rightarrow X$ este un operator asociativ.

Funcția *sum* se obține prin instanțierea $sum = reduce.\oplus$.

3. Un alt exemplu de funcțională este funcția

$$map : (X \rightarrow Z) \times PowerList.X.n \rightarrow PowerList.Z.n$$

care primește ca argumente o funcție și o structură *PowerList* și aplică funcția fiecărui element din structură. Este definită prin:

$$\begin{aligned} map.f.[a] &= [f.a] \\ map.f.(p\#q) &= map.f.p \# map.f.q \end{aligned}$$

Un exemplu de aplicare a funcționalei *map* este determinarea listei formate din elementele în valoarea absolută a unei liste de întregi, prin aplicarea funcției *abs*:

$$map.abs.[17, -3, 8, -5, 6] = [17, 3, 8, 5, 6]$$

(Am folosit pentru specificarea explicită a unei structuri *PowerList* parantezele drepte.)

Observație: Funcția *abs* poate fi extinsă astfel încât să aibă argumente de tip listă, așa cum am arătat la extinderea operatorilor binari și relațiilor.

4. Funcția $rev : PowerList.X.n \rightarrow PowerList.X.n$ este o funcție de permutare care returnează o listă formată din elementele liste argument în ordine inversă.

$$\begin{aligned} rev.[a] &= [a] \\ rev.(p|q) &= rev.q|rev.p \quad \text{sau} \\ rev.(p\#q) &= rev.q\#rev.p \end{aligned}$$

Pentru a ilustra modul de demonstrare a proprietăților folosind principiul inducției structurale, demonstrăm următoarea propoziție:

Propoziția 8.1

$$rev.(map.f.p) = map.f.(rev.p) \quad \forall p \in PowerList.X.k, \forall k \in Nat \wedge X \in Type$$

Demonstrație: *Cazul de bază:*

$$\begin{aligned} & rev.(map.f.[a]) \\ = & \{definiția\ map\} \\ & rev.([f.a]) \\ = & \{definiția\ rev\} \\ & [f.a] \\ = & \{definiția\ map\} \\ & map.f.[a] \\ = & \{definiția\ rev\} \\ & map.f.(rev.[a]) \end{aligned}$$

Pasul inductiv:

Presupunem că proprietatea e adevărată pentru toate structurile $PowerList.X.k, k > 0$ și demonstrăm proprietatea pentru structurile $PowerList.X.(k + 1)$.

$$\begin{aligned} & rev.(map.f.(p\#q)) \\ = & \{definiția\ map\} \\ & rev.(map.f.p\#map.f.q) \\ = & \{definiția\ rev\} \\ & rev.(map.f.q)\#rev.(map.f.p) \\ = & \{ipoteza\ inducției\} \\ & map.f.(rev.q)\#map.f.(rev.p) \\ = & \{definiția\ map\} \\ & map.f.(rev.q\#rev.p) \\ = & \{definiția\ rev\} \\ & map.f.(rev.(p\#q)) \end{aligned}$$

8.1.4 Complexitatea funcțiilor definite pe $PowerList$

Analizăm complexitatea-timp a programelor paralele descrise cu ajutorul structurilor $PowerList$, doar la nivel abstract fără să includem și costurile comunicațiilor care depind de implementarea pe o anumită arhitectură. Algoritmii descriși cu ajutorul structurilor $PowerList$ sunt de natură Divide&Impera și determină o partiționare a datelor în două părți de dimensiuni egale. Aceasta conduce la o complexitate în funcție de $n, n = \log len.p$ (unde p este lista de intrare). Putem deci să calculăm complexitatea-timp în funcție de n și nu de $length.p$. Calculăm mărimea $P.n$, care reprezintă complexitatea unui pas de combinare a rezultatelor obținute prin divizare; în final complexitatea-timp se aproximează prin formula $T.n = (\sum i : 0 \leq i < n : P.i)$.

Exemplul 8.1 Complexitatea funcției $sum : PowerList.X.n \rightarrow X$ folosind 2^{n-1} procesoare este dată de $P.i = c = O(1), \forall i$, dacă $T^\oplus = c$ (unde c este o constantă). Complexitatea-timp a celui mai bun algoritm secvențial pentru calcularea sumei a 2^n numere este $T_s.n = 2^n - 1$, deci accelerația este $S.n = (2^n - 1)/c * n$, iar costul este $C.n = O(n * 2^n)$; rezultă deci că algoritmul specificat de funcția sum este eficient.

8.1.5 Maparea pe hipercuburi

Deși în analiza complexității nu am implicat și costurile ce depind de arhitectura țintă, totuși există o arhitectură care se dovedește a fi foarte eficientă în implementarea algoritmilor specificați prin acest formalism.

Ca și structurile *PowerList*, hipercuburile au mărimi care sunt puteri ale lui 2. De asemenea două hipercuburi de aceeași mărime pot fi combinate rezultând un nou hipercub de mărime dublă. Există numeroase arhitecturi de supercalculatoare comerciale bazate pe hipercuburi. (Descrierea arhitecturii hipercub a fost dată în primul capitol.)

Dacă etichetăm elementele unei structuri *PowerList* cu un string de biți de lungime n ($n = \log_{len.p}$), care reprezintă poziția elementului respectiv în listă, atunci putem mapa fiecare element unui nod dintr-un hipercub de mărime 2^n . Folosind această mapare, operațiile *tie* și *zip* (deci și funcțiile care sunt definite cu ajutorul lor) pot fi implementate eficient prin descompunerea hipercubului respectiv (H_n) în cele două hipercuburi asociate (H_{n-1}).

8.1.6 Aplicații

Prima aplicație este calcularea valorii unui polinom cu gradul egal cu $2^n - 1$, iar următoarele două sunt aplicații de integrare numerică folosind formule repetate.

Valoarea unui polinom

Un polinom cu coeficienții $p_j, 0 \leq j < 2^n$, unde $n \geq 0$, poate fi reprezentat printr-o *PowerList* al cărui al j -lea element este p_j . Valoarea polinomului într-un punct x este $\sum_{0 \leq j < 2^n} p_j * x^j$. Pentru $n > 0$ această expresie se poate scrie:

$$\sum_{0 \leq j < 2^{n-1}} p_{2j} * x^{2j} + \sum_{0 \leq j < 2^{n-1}} p_{2j+1} * x^{2j+1} = \sum_{0 \leq j < 2^{n-1}} p_{2j} * (x^2)^j + x * \sum_{0 \leq j < 2^{n-1}} p_{2j+1} * (x^2)^j.$$

Funcția de evaluare *vp* folosește această strategie de calcul și se va folosi operatorul $\#$. Putem considera o mulțime de puncte (o lista w), în care să se calculeze valoarea polinomului:

$$\begin{aligned}
vp &: PowerList.X.n \times PowerList.X.m \rightarrow PowerList.X.m \\
vp.[a].[w] &= [a] \\
vp.p.(u|v) &= vp.p.u|vp.p.v \\
vp.(p\#q).w &= vp.p.w^2 \oplus (w \odot (vp.q.w^2))
\end{aligned}$$

Operatorul \odot este operatorul înmulțire extins pe structuri *PowerList*, iar $w^2 = w \odot w$. S-a folosit și operatorul aditiv extins \oplus .

Ordinea de aplicare a operatorului $|$ pentru w , sau a operatorului $\#$ pentru p este irelevantă.

Complexitatea-timp depinde de m și n și este $T.n.m = O(n * m)$, iar constanta de multiplicitate depinde de timpul necesar unei operații elementare $+$, $*$.

Integrare numerică folosind formula repetată Romberg

Pentru o funcție integrabilă $f : [a, b] \rightarrow \mathbb{R}$, integrala $I = \int_a^b f(x) dx$ poate fi aproximată folosind formula lui Romberg:

$$\begin{aligned}
Q_{T_0} &= \frac{b-a}{2} (f(a) + f(b)) \\
Q_{T_k}(f) &= \frac{1}{2} Q_{T_{k-1}}(f) + \frac{h}{2^k} \sum_{j=1}^{2^k-1} f\left(a + \frac{2j-1}{2^k} h\right),
\end{aligned}$$

unde $h = b - a$ și $k = 1, 2, \dots$

Șirul $Q_{T_k}(f)$ converge la valoarea I a integralei funcției f pe intervalul $[a, b]$.

Considerăm ca date inițiale lista valorilor funcției în punctele diviziunii:

$$[a, a + \frac{h}{2^n}, \dots, a + \frac{2^n-1}{2^n} h], \text{ deci } p = [f(a), f(a + \frac{h}{2^n}), \dots, f(a + \frac{2^n-1}{2^n} h)].$$

Observăm că elementele de pe pozițiile pare intervin în calculul valorii $Q_{T_{k-1}}(f)$, iar cele de pe pozițiile impare intervin în calculul termenului al doilea al sumei care ne dă valoarea $Q_{T_k}(f)$. În concluzie, definirea funcției care calculează $Q_{T_k}(f)$ va folosi în definiția structurală operatorul $\#$. Funcția va avea tipul *Romb* : $Real \times Real \times PowerList.Real.n \rightarrow Real$, unde primul argument este $hk = \frac{h}{2^n}$ pasul diviziunii, al doilea este valoarea funcției în punctul b , iar al treilea este lista valorilor funcției. Definim funcția *Romb* prin următoarele relații:

$$\begin{aligned}
Romb.hk.fb.[x] &= \frac{1}{2} * hk * x + \frac{1}{2} * hk * fb \\
Romb.hk.fb.(p\#q) &= \frac{1}{2} * Romb.(2 * hk).fb.p + hk * sum.q
\end{aligned}$$

Dacă presupunem că funcția *sum.q* se va calcula în paralel cu calcularea funcției *Romb* pe sublista p atunci $T.n = O(n)$.

Formula repetată de integrare numerică Simpson

Această formulă se obține din formula lui Romberg pe baza relației:

$$Q_{S_k}(f) = \frac{1}{3} [4Q_{T_{k+1}}(f) - Q_{T_k}(f)], k = 0, 1, \dots,$$

unde $Q_{S_k}(f)$ este formula repetată de ordin k a lui Simpson.

Definiția funcției *Sims* este:

$$Sims : Real \times Real \times PowerList.Real.(n + 1) \rightarrow Real,$$

primul argument este $hk = \frac{h}{2^{n+1}}$, al doilea este valoarea funcției în punctul b , iar al treilea este lista valorilor funcției, în punctele diviziunii $\left[a, a + \frac{h}{2^{n+1}}, \dots, a + \frac{2^{n+1}-1}{2^{n+1}}h \right]$, deci $p = \left[f(a), f\left(a + \frac{h}{2^{n+1}}\right), \dots, f\left(a + \frac{2^{n+1}-1}{2^{n+1}}h\right) \right]$, $loglen.p = n + 1$.

$$\begin{aligned} Sims.hk.fb.[x y] &= \frac{1}{3}Romb.hk.fb.[x] + \frac{2}{3}hk * y \\ Sims.hk.fb.(p\#q) &= \frac{1}{3} * Romb.(2 * hk).fb.(p) + \frac{4}{3} * hk * sum.q \end{aligned}$$

Funcția *Sims* este definită folosind funcția *Romb*. Se poate căuta o exprimare recursivă directă a funcției *Sims* folosind inducția structurală:

Cazul de bază:

$$\begin{aligned} &Sims.hk.fb.[x y] \\ &= \{ \text{definiția } Sims \} \\ &\quad \frac{1}{3}Romb.hk.fb.[x] + \frac{2}{3}hk * y \\ &= \{ \text{definiția } Romb, \text{ calcul} \} \\ &\quad \frac{hk}{6}[x + 4 * y + fb] \end{aligned}$$

Pasul inductiv:

$$\begin{aligned} &Sims.hk.fb.((p\#q)\#(u\#v)) \\ &= \{ \text{definiția funcției } Sims \} \\ &\quad \frac{1}{3}Romb.(2hk).fb.(p\#q) + \frac{4}{3}hk * sum.(u\#v) \\ &= \{ \text{definiția funcției } Romb \} \\ &\quad \left(\frac{1}{6}Romb.(4hk).fb.p + \frac{1}{3}(2hk) * sum.q \right) + \frac{4}{3}hk * sum.(u\#v) \\ &= \{ \text{definiția funcției } Sims \} \\ &\quad \frac{1}{2}Sims.(2hk).fb.(p\#q) + \frac{4}{3}hk * sum.(u\#v) - \frac{2}{3}hk * sum.q \end{aligned}$$

Prin urmare noua definiție a funcției *Sims* este:

$$\begin{aligned} \text{Sims.hk.fb.}[x\ y] &= \frac{hk}{6}[x + 4 * y + fb] \\ \text{Sims.hk.fb.}(p\#q) &= \frac{1}{2} * \text{Sims.}(2hk).\text{fb.}(p) + \frac{4}{3} * hk * \text{sum.q} - \frac{2}{3} * \text{sum2.p} \\ \\ \text{sum2.}[x, y] &= y \\ \text{sum2.}(p\#q) &= \text{sum.q} \end{aligned}$$

Din analiza celor două expresii ale funcției *Sims* se observă că este mai eficientă folosirea funcției *Romb* pentru calcularea funcției *Sims*. Explicația se datorează faptului că cea de-a doua expresie calculează un termen în plus față de prima și de asemenea folosește lista *p* pentru calculul a două valori; dacă considerăm datele distribuite pe mai multe procesoare, rezultă că încărcarea de calcul a procesoarelor care conțin date din *p* este mult mai mare.

Complexitatea este $T.n = O(n)$.

8.2 Structuri de date *ParList*

Notăția *PowerList* poate fi extinsă la liste de lungime arbitrară. Noua structură poartă numele *ParList*, care este o prescurtare de la “Parallel List”. Funcțiile peste structurile *ParList* sunt definite tot pe baza inducției structurale, dar de data acesta printr-un caz de bază și diferite cazuri inductive.

8.2.1 Definiții

O structură *ParList* este o listă nevidă ale cărei elemente au același tip și sunt ori scalari cu același tip de bază sau (recursiv) structuri *ParListe* similare. Două structuri *ParList* sunt *similare* dacă au aceeași lungime și elementele lor sunt similare; doi scalari sunt similari dacă au același tip.

Clasificăm structurile *ParList* în funcție de lungime; cea mai mică *ParList* are lungimea 1 și se numește *singleton* - $[x]$.

O structură *ParList* *v* care nu e singleton poate fi descompusă într-un singur element și o structură *ParList* a cărei lungime este mai mică cu o unitate față de lungimea lui *v*, folosind operatorul \triangleright (*cons*) sau operatorul \triangleleft (*snoc*):

$$v = a \triangleright p \wedge v = q \triangleleft b,$$

unde *a*, *b* și elementele listelor *p* și *q* sunt similare, iar listele *p* și *q* sunt similare. *a* este primul element din *v* și *b* este ultimul element din *v*. Această definiție corespunde cu cea din teoria listelor liniare secvențiale din limbajele funcționale.

O structură *ParList* p de lungime pară poate fi descompusă folosind operatorii $\#$ (*zip*) și $|$ (*tie*):

$$p = u\#v \wedge p = r|s,$$

unde u, v, r, s sunt structuri *ParList* similare, cu proprietățile:

- u conține elementele de pe pozițiile pare ale lui p ,
- v conține elementele de pe pozițiile impare ale lui p ,
- r conține prima jumătate de elemente ale lui p ,
- s conține a doua jumătate de elemente ale lui p .

Constructorul de tip asociat structurilor de date *ParList* este definit astfel:

$$ParList : Type \times Pos \rightarrow Type$$

unde primul argument reprezintă tipul de bază al structurii *ParList* construite, iar al doilea argument lungimea listei.

Constructorii structurilor *ParList* sunt următorii:

$$\begin{aligned} [.] & : X \rightarrow ParList.X.1 \\ .\triangleright. & : X \times ParList.X.n \rightarrow ParList.X.(n+1) \\ .\triangleleft. & : ParList.X.n \times X \rightarrow ParList.X.(n+1) \\ .| . & : ParList.X.n \times ParList.X.n \rightarrow ParList.X.(2 * n) \\ .\# . & : ParList.X.n \times ParList.X.n \rightarrow ParList.X.(2 * n) \end{aligned}$$

Tipul *ParList.X* are ca valori toate structurile *ParList* cu elemente de tipul X . El poate fi partiționat în următoarele subtipuri:

$$\begin{aligned} Singleton.X & = ParList.X.1 \\ EvenParList.X & = \{\cup k : k \in Pos : ParList.X.(2 * k)\} \\ OddParList.X & = \{\cup k : k \in Pos : ParList.X.(2 * k + 1)\} \end{aligned}$$

Se observă că *PowerList* este un subtip al lui *ParList*, corespunzător listelor a căror lungime este o putere a lui 2.

Funcția lungime $length : ParList.X.n \rightarrow Pos$ este definită prin:

$$(\forall p : p \in ParList.X.n : length.p = n).$$

Axiomele teoriei *PowerList* se extind pentru a ajunge la o axiomatizare a algebrei *ParList*.

Axiomele *ParList*:

1. $[a] = [b] \equiv a = b$
2. $p|q = u|v \equiv p = u \wedge q = v$
3. $p\#q = u\#v \equiv p = u \wedge q = v$
4. $a \triangleright p = b \triangleright q \equiv a = b \wedge p = q$
5. $p \triangleleft a = q \triangleleft b \equiv a = b \wedge p = q$
6. $t \in ParList.X.1 \Rightarrow (\exists! a : a \in X : t = [a])$
7. $t \in ParList.X.(2 * n) \Rightarrow (\exists! u, v : u, v \in ParList.X.n : t = u|v)$
8. $t \in ParList.X.(2 * n) \Rightarrow (\exists! u, v : u, v \in ParList.X.n : t = u\#v)$
9. $t \in ParList.X.(n+1) \Rightarrow (\exists! a, v : a \in X \wedge v \in ParList.X.n : t = a \triangleright v)$
10. $t \in ParList.X.(n+1) \Rightarrow (\exists! a, v : a \in X \wedge v \in ParList.X.n : t = v \triangleleft a)$

Următoarele două axiome sunt reținute din teoria *PowerList*:

11. $[a] \# [b] = [a] | [b]$
12. $(p|q) \# (u|v) = (p\#u) | (q\#v)$

Algebra *ParList* mai conține și următoarele axiome:

13. $a \triangleright [b] = [a] | [b]$
14. $[a] \triangleleft b = [a] | [b]$
15. $a \triangleright (p \triangleleft b) = (a \triangleright p) \triangleleft b$
16. $a \triangleright p|q \triangleleft b = a \triangleright (p|q) \triangleleft b$
17. $a \triangleright p\#q \triangleleft b = a \triangleright (p\#q) \triangleleft b$
18. $a \triangleright (b \triangleright (p\#q)) = (a \triangleright p)\#(b \triangleright q)$

În teoria *PowerList* rolul operatorilor $\#$ și $|$ putea fi interschimbat; în cazul *ParList* acest lucru nu este posibil.

8.2.2 Un principiu al inducției pentru *ParList*

O structură *ParList* cu elemente de tipul X poate fi descompusă unic într-o secvență ordonată a elementelor sale; acest lucru este posibil prin construirea unui *arbore de construcție* pentru p . Folosim arborii de construcție ca bază formală pentru principiul inducției pentru *ParList* și în definiția funcțiilor peste *ParList*. Arborele de construcție se poate forma după diferite reguli. O regulă posibilă ar fi folosirea operatorilor \triangleleft și \triangleright doar pentru a construi elemente de tipul *OddParList.X*. Astfel, un arbore de construcție pentru o structură *ParList* p , va fi un arbore binar care are un număr de noduri terminale egal cu lungimea listei p (și nodurile terminale sunt etichetate cu elementele listei), iar fiecare nod neterminal al său este etichetat cu una dintre operațiile: $|$, $\#$, \triangleleft , \triangleright și cu o structură care se obține prin aplicarea operatorului respectiv asupra structurilor din nodurile fii. Rădăcina va fi etichetată cu lista p . Un asemenea arbore de construcție poate fi realizat datorită axiomelor 6 – 10.

Fie $\Pi : ParList.X.n \rightarrow Bool$ predicatul al cărui adevăr dorim să fie stabilit pentru toate *ParList* peste tipul X . Pentru a demonstra că predicatul $\Pi.p$ este adevărat, construim arborele de construcție pentru p . Dacă putem dovedi că Π este adevărat pentru un nod dacă este adevărat pentru toate nodurile frunză ale subarborelui nodului p , atunci putem concluziona că Π este adevărat pentru rădăcina arborelui.

Corespunzător acestei reguli de construcție avem următorul principiu de inducției pentru structuri *ParList*:

$$\begin{aligned}
& (\forall x : x \in X : \Pi. [x]) \\
& \wedge (\quad (\forall p, q, n : p, q \in ParList.X.n \wedge n \in Pos : \Pi.p \wedge \Pi.q \Rightarrow \Pi. (p|q)) \\
& \quad \vee (\forall p, q, n : p, q \in ParList.X.n \wedge n \in Pos : \Pi.p \wedge \Pi.q \Rightarrow \Pi. (p\#q)) \quad) \\
& \wedge (\quad (\forall p, x, n : p \in EvenParList.X.n \wedge x \in X \wedge n \in Pos : \Pi.p \Rightarrow \Pi. (x \triangleright p)) \\
& \quad \vee (\forall p, x, n : p \in EvenParList.X.n \wedge x \in X \wedge n \in Pos : \Pi.p \Rightarrow \Pi. (p \triangleleft x)) \quad) \\
& \Rightarrow \\
& (\forall p, n : p \in ParList.X.n \wedge n \in Pos : \Pi.p)
\end{aligned}$$

Conform acestui principiu, o demonstrație va conține trei părți: cazul de bază, pasul inductiv par și pasul inductiv impar.

Este posibilă o generalizare prin folosirea unui operator de concatenare $\diamond : ParList.X.n \times ParList.X.m \rightarrow ParList.X.(n + m)$ care este o generalizare a operatorului $|$ (*tie*). (Formalismul Bird-Meertens se bazează pe acest operator.)

Ilustrăm principiul inducției prin demonstrarea următoarei propoziții:

Propoziția 8.2 *Funcția $rev : ParList.X.n \rightarrow ParList.X.n$ definită prin:*

$$\begin{aligned} rev.[a] &= [a] \\ rev.(a \triangleright p) &= rev.p \triangleleft a \\ rev.(p \triangleleft a) &= a \triangleright rev.p \\ rev.(p \# q) &= rev.q \# rev.p \end{aligned}$$

are proprietatea de idempotență:

$$rev.(rev.p) = p$$

Demonstrație

Cazul de bază:

$$\begin{aligned} & rev.(rev.[a]) \\ &= \{\text{definiția } rev\} \\ & rev.[a] \\ &= \{\text{definiția } rev\} \\ & [a] \end{aligned}$$

Pasul inductiv par:

Presupunem relația adevărată pentru orice listă cu n elemente și demonstrăm relația pentru listele cu $2n$ elemente.

$$\begin{aligned} & rev.(rev.(p \# q)) \\ &= \{\text{definiția } rev\} \\ & rev.(rev.q \# rev.p) \\ &= \{\text{definiția } rev\} \\ & rev.(rev.p) \# rev.(rev.q) \\ &= \{\text{ipoteza inducției}\} \\ & p \# q \end{aligned}$$

Pasul inductiv impar:

Presupunem relația adevărată pentru orice listă cu $2n$ elemente și demonstrăm relația pentru listele cu $2n + 1$ elemente.

$$\begin{aligned} & rev.(rev.(a \triangleright p \# q)) \\ &= \{\text{definiția } rev\} \\ & rev.(rev.(p \# q) \triangleleft a) \\ &= \{\text{definiția } rev\} \\ & a \triangleright rev.(rev.(p \# q)) \\ &= \{\text{ipoteza inducției}\} \\ & a \triangleright (p \# q) \end{aligned}$$

8.2.3 Operatori, relații și funcții

Fie $\otimes : X \times X \rightarrow X$ un operator binar definit pe tipul scalar X . Extindem operatorul prin definirea lui pe structuri *ParList*;

$\otimes : ParList.X.n \times ParList.X.n \rightarrow ParList.X.n$ este definit prin relațiile:

$$\begin{aligned} [a] \otimes [b] &= [a \otimes b] \\ (p|q) \otimes (u|v) &= (p \otimes u) | (q \otimes v) \quad \text{sau} \\ (p\#q) \otimes (u\#v) &= (p \otimes u) \# (q \otimes v) \\ (a \triangleright p) \otimes (b \triangleright q) &= (a \otimes b) \triangleright (p \otimes q) \quad \text{sau} \\ (p \triangleleft a) \otimes (q \triangleleft b) &= (p \otimes q) \triangleleft (a \otimes b) \end{aligned}$$

Relațiile peste tipurile scalare sunt extinse în același mod ca și operatorii binari.

Fie Δ o relație peste tipul X , definită prin funcția booleană $\Delta : X \times X \rightarrow Bool$ și fie $p, q, u, v \in PowerList.X.n$ și $x, y \in X$, definim relația extinsă prin:

$$\begin{aligned} \Delta : ParList.X.n \times ParList.X.n &\rightarrow Bool \\ [x] \Delta [y] &\equiv [x \Delta y] \\ (p\#q) \Delta (u\#v) &\equiv (p \Delta u) \wedge (q \Delta v) \\ (a \triangleright p) \Delta (b \triangleright q) &\equiv (a \Delta b) \wedge (p \Delta q) \end{aligned}$$

Deci două structuri *ParList* sunt în relația Δ dacă și numai dacă elementele de pe aceeași poziție sunt în relație.

Funcțiile *map* și *reduce* se definesc pe structuri *ParList*, în mod analog cu definirea lor pe structurile *PowerList*:

1. Funcția

$$reduce : (X \times X \rightarrow X) \times ParList.X.n \rightarrow X$$

definită prin:

$$\begin{aligned} reduce. \otimes . [a] &= a \\ reduce. \otimes . (p|q) &= reduce. \otimes . p \otimes reduce. \otimes . q \\ reduce. \otimes . (a \triangleright p) &= a \otimes reduce. \otimes . p \end{aligned}$$

unde $\otimes : X \times X \rightarrow X$ este un operator asociativ.

Funcția *sum* se obține prin instanțierea $sum = reduce. \oplus$.

2. Funcția

$$\begin{aligned} map : (X \rightarrow Z) \times ParList.X.n &\rightarrow ParList.Z.n \\ map.f. [a] &= [f.a] \\ map.f. (p\#q) &= map.f.p \# map.f.q \\ map.f. (a \triangleright p) &= f.a \triangleright map.f.p \end{aligned}$$

primește ca argumente o funcție și o structură *PowerList* și aplică funcția fiecărui element din structură.

8.2.4 Aplicații

Pentru exemplificarea teoriei *Parlist*, prezentăm următoarele aplicații: sumă broadcast, calcularea diferențelor divizate și pe baza diferențelor divizate, polinomul de interpolare Newton.

Deși în cazul teoriei *ParList* paralelismul este introdus mai ales prin folosirea operatorilor $|$ și $\#$, sunt cazuri în care doar folosirea operatorilor \triangleright și \triangleleft conduce la paralelizări eficiente. Din această cauză definim și un principiu al inducției alternativ bazat doar pe acești operatori:

$$\begin{aligned} & (\forall x : x \in X : \Pi. [x]) \\ \wedge & \left(\begin{array}{l} (\forall p, x, n : p \in \text{ParList}.X.n \wedge x \in X \wedge n \in \text{Pos} : \Pi.p \Rightarrow \Pi. (x \triangleright p)) \\ \vee (\forall p, x, n : p \in \text{ParList}.X.n \wedge x \in X \wedge n \in \text{Pos} : \Pi.p \Rightarrow \Pi. (p \triangleleft x)) \end{array} \right) \\ \Rightarrow & \\ & (\forall p, n : p \in \text{ParList}.X.n \wedge n \in \text{Pos} : \Pi.p) \end{aligned}$$

Funcțiile care sunt definite doar cu acești operatori se vor baza pe acest principiu al inducției.

Sumă broadcast

Funcția $b_sum : \text{ParList}.Y.n \rightarrow \text{ParList}.Y.n$ returnează o listă în care fiecare element este suma tuturor elementelor din lista argument. Y este un tip cu proprietatea că $(Y, +)$ este un semigrup.

Este necesar să definim funcția $\langle a+ \rangle : \text{ParList}.Y.n \rightarrow \text{ParList}.Y.n$ care returnează o listă obținută prin adăugarea la fiecare element din lista argument a valorii a . Această funcție, ar putea fi definită cu ajutorul funcției $map: \langle a+ \rangle .p = map.(a+).p$.

$$\begin{aligned} b_sum.[a] &= [a] \\ b_sum.(a \triangleright p) &= (a + first.t) \triangleright \langle a+ \rangle .t, \quad \text{unde } t = b_sum.p \\ b_sum.(p \# q) &= t \# t, \quad \text{unde } t = b_sum.(p + q) \end{aligned}$$

$$\begin{aligned} \langle a+ \rangle . [b] &= [a + b] \\ \langle a+ \rangle . (b \triangleright p) &= (a + b) \triangleright \langle a+ \rangle .p \\ \langle a+ \rangle . (p|q) &= \langle a+ \rangle .p | \langle a+ \rangle .q \end{aligned}$$

$$\begin{aligned} first : \text{ParList}.Y.n &\rightarrow Y \\ first.[a] &= a \\ first.(p|q) &= first.p \\ first.(a \triangleright p) &= a \\ first.(p \triangleleft a) &= first.p \end{aligned}$$

Fiecare descompunere necesită un pas paralel. Cel mai defavorabil caz apare atunci când $n = 2^k - 1, k > 0$; fiind necesară folosirea de $k - 1$ ori a deconstructorului \triangleright și de

$k - 1$ ori deconstructorului $\#$. Deci, în total $2k - 2$ pași paraleli, în comparație cu k pași paraleli în cazul $n = 2^k$. O soluție ar fi să se completeze lista inițială cu elemente egale cu elementul unitate al semigrupului $(Y, +)$, dacă acesta există, pentru a se forma o *PowerList*.

Diferențe divizate

Fie $X = \{x_i | x_i \in \mathbb{R}, i = 0, 1, \dots, m\}$ o mulțime de puncte și o funcție $f : X \rightarrow \mathbb{R}$.

Dacă $r \in \mathbb{N}, r < m$ atunci mărimea

$$(Df)(x_r) = \frac{f(x_{r+1}) - f(x_r)}{x_{r+1} - x_r}$$

se numește *diferență divizată* a funcției f relativ la punctele x_r și x_{r+1} .

Dacă $r, k \in \mathbb{N}, r < m \wedge 1 \leq k \leq m - r$ atunci mărimea

$$(D^k f)(x_r) = \frac{(D^{k-1} f)(x_{r+1}) - (D^{k-1} f)(x_r)}{x_{r+k} - x_r}$$

se numește *diferență divizată de ordinul k* a funcției f pe punctul x_r și se notează cu $(D^k f)(x_0) = [x_0, \dots, x_k; f]$.

Funcția *dif* : $ParList.Real.(m + 1) \times ParList.Real.(m + 1) \rightarrow Real$ calculează diferența divizată de ordin m . Argumentele sunt două liste *ParList* p și q care conțin punctele diviziunii și respectiv valorile funcției în punctele diviziunii: $p = [x_0, x_1, \dots, x_m]$ și $q = [f(x_0), f(x_1), \dots, f(x_m)]$.

$$\begin{aligned} dif.[a].[x] &= x \\ dif.[a, b][x, y] &= \frac{y-x}{b-a} \\ dif.(a \triangleright p \triangleleft b).(x \triangleright q \triangleleft y) &= (dif.(p \triangleleft b).(q \triangleleft y) - dif.(a \triangleright p).(x \triangleright q)) / (b - a) \end{aligned}$$

Complexitatea-timp este $T.m = T.(m-1) + 2 = O(m)$. Faptul că $dif.(p \triangleleft b).(q \triangleleft y)$ și $dif.(a \triangleright p).(x \triangleright q)$ se calculează în paralel, nu impune ca ele să fie calculate și independent – calculele comune celor două pot fi realizate o singură dată (Figura 8.1).

Complexitatea-timp în cazul secvențial este $T_s.m = O(m^2)$, deci accelerația este $S.n = O(m)$.

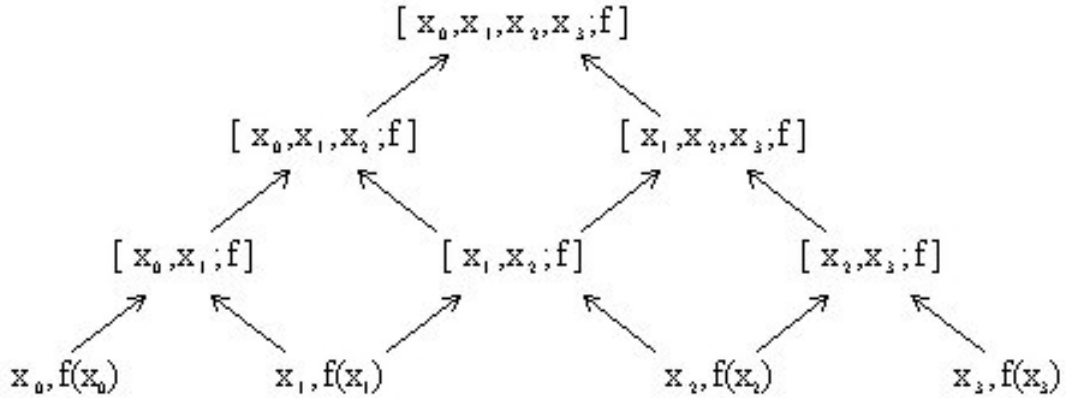
Polinomul de interpolare Newton

Fie o mulțime de puncte X și o funcție $f : [a, b] \rightarrow \mathbb{R}$.

Polinomul de interpolare Newton, corespunzător funcției $f : [a, b] \rightarrow \mathbb{R}$,

$(X = \{x_i | x_i \in \mathbb{R}, i = 0, 1, \dots, m\}, X \subset [a, b])$

este definit prin formula:

Figura 8.1: Rețeaua de calcul pentru $[x_0, x_1, x_2, x_3; f]$

$$(N_k f)(x) = (N_{k-1} f)(x) + (x - x_0) \dots (x - x_{k-1}) [x_0, \dots, x_k; f]$$

$$(N_0 f)(x) = f(x_0).$$

Folosind structuri *ParList* definim funcția:

$$Newton : ParList.Real.(m + 1) \times ParList.Real.(m + 1) \times Real \rightarrow Real$$

Parametrii funcției sunt două liste *ParList* p și q care conțin punctele diviziunii și respectiv valorile funcției în punctele diviziunii: $p = [x_0, x_1, \dots, x_m]$ și

$q = [f(x_0), f(x_1), \dots, f(x_m)]$ și punctul $x \in [a, b]$ în care se aproximează funcția f .

Funcția *Newton* se definește prin:

$$Newton.[a].[b].x = b$$

$$Newton.(p \triangleleft a).(q \triangleleft b).x = Newton.p.q.x + prod.pp * dif.(p \triangleleft a).(q \triangleleft b),$$

unde $pp = \langle x- \rangle.p$, $\langle x- \rangle.p$ este funcția definită la aplicația suma broadcast, iar funcția *prod* este aplicația funcției *reduce* cu operatorul produs.

Analiza expresiei funcției *Newton* conduce la concluzia că funcția *prod* trebuie să fie calculată la fiecare etapă, ceea ce ar fi ineficient. Expresia funcției poate fi transformată.

Notăm $DP.p.q.x = prod.(\langle x- \rangle.p) * dif.p.q$ și căutăm o definiție recursivă pentru *DP*:

Cazul de bază:

$$DP.[a, b].[c, d].x$$

$$= \{calcul\}$$

$$(x - a)(x - a)(d - c)/(b - a)$$

Pasul inductiv:

$$\begin{aligned}
& DP.(a \triangleright p \triangleleft b) . (c \triangleright q \triangleleft d) \\
= & \{ \text{substituție, definiția funcției } dif \} \\
& prod.(\langle x- \rangle . (a \triangleright p \triangleleft b)) * ((dif.(p \triangleleft b) . (q \triangleleft d) - dif.(a \triangleright p) . (c \triangleright q)) / (b - a)) \\
= & \{ \text{calcul} \} \\
& DP.(p \triangleleft b) . (q \triangleleft d) . x * (x - a) / (b - a) - DP.(a \triangleright p) . (c \triangleright q) . x * (x - b) / (b - a)
\end{aligned}$$

Prin urmare, definiția completă a funcției DP este:

$$\begin{aligned}
DP.[a, b].[c, d].x &= (x - a)(x - a)(d - c) / (b - a) \\
DP.(a \triangleright p \triangleleft b) . (c \triangleright q \triangleleft d) &= \\
& (DP.(p \triangleleft b) . (q \triangleleft d) . x * (x - a) - DP.(a \triangleright p) . (c \triangleright q) . x * (x - b)) / (b - a)
\end{aligned}$$

Folosind funcția DP redefinim funcția *Newton*:

$$\begin{aligned}
Newton.[a].[b].x &= b \\
Newton.(p \triangleleft a) . (q \triangleleft b) . x &= Newton.p.q.x + DP.(p \triangleleft a) . (q \triangleleft b) . x / (x - a),
\end{aligned}$$

Complexitatea funcției DP este $O(m)$ și prin urmare, dacă funcțiile $Newton.p.q.x$ și $DP.(p \triangleleft a) . (q \triangleleft b) . x$ pot fi calculate în paralel atunci complexitatea funcției *Newton* este $O(m)$. Complexitatea-timp în cazul secvențial este $O(m^2)$.

8.3 Structuri de date *PList*

Structurile *PList* sunt o generalizare a structurilor de date *PowerList*. Ele sunt construite cu ajutorul operatorilor n -ari $\#$ și $|$; pentru n pozitiv operatorul $|$ n -ar concatenează n structuri *PList* similare. Dacă notația *PowerList* este limitată la baza 2, notația *PList* este mult mai generală, ea permițând folosirea în specificații a unor baze compuse și facilitează demonstrarea algebrică a acestor specificații.

În această secțiune, vom folosi pentru notarea cuantificării ordonate, parantezele drepte; expresia $\left[\#i : i \in \bar{n} : p.i \right]$ exprimă aplicarea operatorului n -ar $\#$ asupra structurilor *PList* $p.i$ în ordine. Domeniul $i \in \bar{n}$ exprimă faptul că termenii expresiei sunt scriși de la 0 la $n - 1$ în ordine.

8.3.1 Definiții

O structură *PList* este o structură de date liniară ale cărei elemente sunt toate de același tip, fie scalari cu același tip de bază, fie (recursiv) structuri *PList* care sunt similare.

Definim lungimea unei structuri *PList* prin:

$$\begin{aligned}
length : PList.X.n &\rightarrow Pos \\
(\forall p : p \in PList.X.n : length.p &= n) .
\end{aligned}$$

Două structuri *PListe* sunt *similare* dacă au aceeași lungime și elementele constitutive sunt similare; doi scalari sunt similari dacă aparțin aceluiași tip de bază.

Cea mai simplă structură *PList* este numită *singleton* și are un singur element; un singleton care-l conține pe x se notează $[x]$.

Fie $p.i$, unde $0 \leq i < n \wedge n \in Pos$ un grup de n structuri *PList*, similare, cu lungimea m . Definim structurile u, v astfel:

- $u = [[i : i \in \bar{n} : p.i],$
 u se obține prin concatenarea elementelor listelor $p.i$ în ordine, astfel încât al j -lea element din $p.i$ apare ca elementul $i * m + j$ în u .
- $v = [\#i : i \in \bar{n} : p.i],$
 conține interclasarea elementelor listelor $p.i$ în ordine, astfel încât al j -lea element din $p.i$ apare ca elementul $i + m * j$ în v .

Formal, constructorii structurii *PList* au următoarele tipuri:

$$\begin{aligned} [.] & : X \rightarrow PList.X.1 \\ [i : i \in \bar{n} : .] & : (PList.X.m)^n \rightarrow PList.X.(n * m) \\ [\#i : i \in \bar{n} : .] & : (PList.X.m)^n \rightarrow PList.X.(n * m) \end{aligned}$$

Axiomele algebrei *PList*

Fie $p.i.j \in PList.X.k$, pentru $0 \leq i < n$ și $0 \leq j < m$ (unde $n, m \in Pos$) și fie $x.i, a, b \in X$. Următoarele axiome definesc algebra *PList*:

1. $(\forall t : t \in PList.X.1 : (\exists! a : a \in X : t = [a]))$
2. $(\forall t : t \in PList.X.(k * n) : (\exists! u : u \in (PList.X.n)^k : t = [\#i : i \in \bar{n} : u.i]))$
3. $(\forall t : t \in PList.X.(k * n) : (\exists! u : u \in (PList.X.n)^k : t = [i : i \in \bar{n} : u.i]))$
4. $[a] = [b] \equiv a = b$
5. $[\#i : i \in \bar{n} : u.i] = [\#i : i \in \bar{n} : v.i] \equiv (\forall i : 0 \leq i < n : u.i = v.i)$
6. $[i : i \in \bar{n} : u.i] = [i : i \in \bar{n} : v.i] \equiv (\forall i : 0 \leq i < n : u.i = v.i)$
7. $[\#i : i \in \bar{n} : [x.i]] = [i : i \in \bar{n} : [x.i]]$
8. $[\#i : i \in \bar{n} : [j : j \in \bar{m} : p.i.j]] = [j : j \in \bar{n} : [\#i : i \in \bar{m} : p.i.j]]$

Liste liniare

Folosim funcția de tip:

$$List : Type \rightarrow Type$$

pentru a construi tipul listelor liniare peste un tip de date. Lista vidă este notată cu $[]$. Pentru un element $x \in X$ și o listă $l \in List.X$ putem forma lista $x \triangleright l$ care are primul element x și următoarele elemente din lista l și analog $l \triangleleft x$ care are ultimul element x și primele elemente din lista l . Pentru lista care conține un element folosim notația $[x]$. Pentru că vom folosi în special *List.Pos*, introducem notația $PosList = List.Pos$.

Putem defini funcții pe aceste structuri de date. Funcția

$$prod : PosList \rightarrow Pos$$

definită prin:

$$\begin{aligned} \text{prod.} [] &= 1 \\ \text{prod.} (x \triangleright l) &= x * \text{prod.} l \end{aligned}$$

calculează produsul elementelor conținute într-o *PosList*.

8.3.2 Un principiu al inducției pentru *PList*

Funcțiile peste *PList* sunt definite prin inducție structurală peste două structuri *PosList* și *PList*, perechile admise fiind specificate printr-o funcție specială numită *valid*.

Prima listă *PosList* specifică aritățile, iar a doua, lista *PList*, este argumentul propriu zis. Legătura dintre ele este făcută de către funcția *valid* care definește de fapt, un predicat ce specifică unde este definită funcția:

$$\text{valid} : ((\text{PosList} \times \text{PList}) \rightarrow X) \times \text{PosList} \times \text{PList} \rightarrow \text{Bool}$$

Se poate stabili un principiu al inducției fie bazat pe structurile *PList*, fie pe listele *PosList*. Vom defini un principiu bazat pe *PosList*.

Fie

$$\Pi : \text{PosList} \times \text{PList}.X.n \rightarrow \text{Bool}$$

predicatul al cărui adevăr vrem să-l stabilim pentru toate perechile din $\text{PosList} \times \text{PList}$ peste X , unde aplicarea funcției este definită.

Pentru a demonstra că predicatul Π este adevărat putem folosi următorul principiu al inducției:

$$\begin{aligned} &(\forall p : p \in \text{PList}.X.n \wedge \text{valid.} [] .p : \Pi. [] .p) \\ \wedge &(\forall x, p, q, l : x \in \text{Pos} \wedge p \in \text{PList}.X.n \wedge q \in \text{PList}.X.m \wedge l \in \text{PosList} : \\ &(\text{valid.}\Pi.l.p \Rightarrow \Pi.l.p) \Rightarrow (\text{valid.}\Pi.(x \triangleright l).q \Rightarrow \Pi.(x \triangleright l).q)) \\ \vee &(\forall x, p, q, l : x \in \text{Pos} \wedge p \in \text{PList}.X.n \wedge q \in \text{PList}.X.m \wedge l \in \text{PosList} : \\ &(\text{valid.}\Pi.l.p \Rightarrow \Pi.l.p) \Rightarrow (\text{valid.}\Pi.(l \triangleleft x).q \Rightarrow \Pi.(l \triangleleft x).q))) \\ \Rightarrow &(\forall p, l : p \in \text{PList}.X.n \wedge l \in \text{PosList} : \text{valid.}\Pi.l.p \Rightarrow \Pi.l.p) \end{aligned}$$

Operatorii binari și relațiile pot fi extinse la structuri *PList*, folosindu-se acest principiu (în mod similar cu modul de extindere pentru celelalte structuri).

Funcții definite pe structuri *PList*

1. Suma elementelor unei *PList*:

$$\begin{aligned} \text{sum} &: \text{PosList} \times \text{PList}.X.n \rightarrow X \\ \text{valid.sum.l.p} &\equiv \text{prod.l} = \text{length.p} \\ \text{sum.} [] . [a] &= a \\ \text{sum.} (x \triangleright l) . [i : i \in \bar{x} : p.i] &= (+i : 0 \leq i < x : \text{sum.l.}(p.i)) \end{aligned}$$

2. Funcția *map* definită pe structuri *PList*:

$$\begin{aligned} \text{map} &: (X \rightarrow Y) \times \text{PosList} \times \text{PList}.X.n \rightarrow \text{PList}.Y.n \\ \text{valid.map.l.p} &\equiv \text{prod.l} = \text{length.p} \\ \text{map.f.[]} \cdot [x] &= [f.x] \\ \text{map.f.}(x \triangleright l) \cdot [i : i \in \bar{x} : p.i] &= [i : i \in \bar{x} : \text{map.f.l.}(p.i)] \end{aligned}$$

Un caz special al funcției *map* se obține dacă funcția *f* care se distribuie, realizează înmulțirea fiecărui element al listei cu un element dat (*z*):

$$\langle z* \rangle .l.p = \text{map.}(z*) .l.p.$$

3. Funcția de permutare *inv*.

Funcția *inv* permută un element a cărui poziție poate fi scrisă ca un șir de cifre într-o notație cu baza compusă, pe o poziție care poate fi scrisă ca inversa șirului inițial:

$$\begin{aligned} \text{valid.inv.l.p} &\equiv \text{prod.l} = \text{length.p} \\ \text{inv.[]} \cdot [a] &= [a] \\ \text{inv.}(x \triangleright l) \cdot [i : i \in \bar{x} : p.i] &= [\#i : i \in \bar{x} : \text{inv.l.}(p.i)] \end{aligned}$$

Propoziția 8.3

$$\text{inv.}(l \triangleleft x) \cdot [\#i : i \in \bar{x} : p.i] = [i : i \in \bar{x} : \text{inv.l.}(p.i)]$$

Demonstrație: Folosim principiul inducției definit anterior.

Cazul de bază:

$$\begin{aligned} &\text{inv.}[x] \cdot [\#i : i \in \bar{x} : [a.i]] \\ &= \{\text{axioma 7}\} \\ &\text{inv.}[x] \cdot [i : i \in \bar{x} : [a.i]] \\ &= \{\text{definiția inv}\} \\ &[\#i : i \in \bar{x} : \text{inv.[]} \cdot [a.i]] \\ &= \{\text{definiția inv}\} \\ &[\#i : i \in \bar{x} : [a.i]] \\ &= \{\text{axioma 7}\} \\ &[i : i \in \bar{x} : [a.i]] \\ &= \{\text{definiția inv}\} \\ &[i : i \in \bar{x} : \text{inv.[]} \cdot [a.i]] \end{aligned}$$

Pasul inductiv:

$$\begin{aligned}
& \text{inv. } ((y \triangleright l) \triangleleft x) . [\#i : i \in \bar{x} : [j : j \in \bar{y} : p.i.j]] \\
& = \{\text{axioma 8}\} \\
& \text{inv. } ((y \triangleright l) \triangleleft x) . [j : j \in \bar{y} : [\#i : i \in \bar{x} : p.i.j]] \\
& = \{\text{definiția inv}\} \\
& [\#j : j \in \bar{y} : \text{inv. } (l \triangleleft x) . [\#i : i \in \bar{x} : p.i.j]] \\
& = \{\text{ipoteza inducției}\} \\
& [\#j : j \in \bar{y} : [i : i \in \bar{x} : \text{inv.l.p.i.j}]] \\
& = \{\text{axioma 8}\} \\
& [i : i \in \bar{x} : [\#j : j \in \bar{x} : \text{inv.l.p.i.j}]] \\
& = \{\text{definiția inv}\} \\
& [i : i \in \bar{x} : \text{inv. } (y \triangleright l) . [j : j \in \bar{y} : p.i.j]]
\end{aligned}$$

8.3.3 Aplicații

Secțiunea de aplicații pentru *PList* conține definirea unei funcții pentru calcularea valorilor unui polinom într-o mulțime de puncte date, folosind structurile *PList*; este prezentată de asemenea o aplicație pentru integrare numerică, folosind de această dată formula repetată a dreptunghiului definită recursiv.

Valoarea unui polinom

Extindem funcția *vp* de calculare a valorii unui polinom, definită pentru structuri *PowerList* la structuri *PList*.

Funcția este definită pe două structuri *PList* corespunzătoare coeficienților polinomului (*p*) și punctelor (*a*) în care se calculează valorile acestuia. Pentru fiecare dintre acestea avem și un parametru de tip *PosList*:

$$vp : PosList \times PList.X.n \times PosList \times PList.X.m \rightarrow PList.X.m$$

$$valid.vp.lx.p.ly.a \equiv prod.lx = length.p \wedge prod.ly = length.a$$

$$vp.[].[p].[].[a] = p$$

$$vp.l.p.(y \triangleright ly).[i : i \in \bar{y} : a.i] = [i : i \in \bar{y} : vp.l.p.ly.(a.i)]$$

$$vp.(x \triangleright l).[i : i \in \bar{x} : p.i].ly.a = (+i : i \in \bar{x} : a^i * vp.l.(p.i).ly.a^x)$$

Definiția funcției *vp* se bazează pe ideea folosită la structurile *PowerList*, de a împărți lista coeficienților polinomului în subliste, care se consideră a fi coeficienții unor polinoame de grad $n/x - 1$ (gradul polinomului inițial este $n - 1$). (Dacă $x = 2$ se folosesc două subliste.)

Integrare numerică folosind formula repetată a dreptunghiului

Pentru o funcție $f : [a, b] \rightarrow R$, integrala $I = \int_a^b f(x) dx$ poate fi aproximată folosind formula dreptunghiului:

$$Q_{D_0}(f) = f(x_0)$$

$$Q_{D_k}(f) = \frac{1}{3}Q_{D_{k-1}}(f) + h \sum_{i=0}^{2m-1} f(x_i), \text{ unde } h = \frac{b-a}{3^k}, m = 3^{k-1} \text{ și } k = 1, 2, \dots$$

Punctul $x_0 = a + h/2$, iar pentru $i > 0$ punctele x_i se obțin după formula

$$x_i = \begin{cases} x_{i-1} + 2h, & \text{pentru } i \text{ impar} \\ x_{i-1} + h, & \text{pentru } i \text{ par} \end{cases}.$$

Șirul $Q_{D_k}(f)$ converge la valoarea I a integralei funcției f pe intervalul $[a, b]$.

Considerăm ca date inițiale lista valorilor funcției în punctele diviziunii:

$[x_0, x_1, \dots, x_{3^n-1}]$; deci $p = [f(x_0), f(x_1), \dots, f(x_{3^n-1})]$.

Observăm că 3^{n-1} puncte sunt folosite pentru calculul valorii $Q_{D_{n-1}}(f)$, iar $2 * 3^{n-1}$ puncte intervin în calculul termenului al doilea al sumei care ne dă valoarea $Q_{D_n}(f)$. În concluzie, definirea funcției care calculează $Q_{D_n}(f)$ va folosi în definiția structurală operatorul $\#$.

Funcția *drept* : $Real \times PosList \times PList.Real.m \rightarrow Real(m = 3^n)$ are primul argument $hk = \frac{b-a}{3^n}$ pasul diviziunii, al doilea este o listă formată din n valori egale cu 3, iar al treilea este lista valorilor funcției. Definim funcția *drept* prin:

valid.drept.l.p \equiv *prod.l = length.p*

drept.hk. [] . [x] = *hk * x*

drept.hk. (3 > l) . [#i : i ∈ 3̄ : p_i] = $\frac{1}{3} * \text{drept.}(3 * hk) . l.p_1 + hk * \text{sum.}(2 > l) . (p_0 \# p_2)$

În complexitatea algoritmului intervine ca și factor $\log_3 m$ (numărul de pași paraleli, $m = \text{length.p}$). Fiecare pas paralel trebuie să calculeze și o sumă de $2k$, $k = m/3, m/3^2, \dots, 1$ elemente; aceasta poate fi calculată într-un timp de $\log_3 k + 1$.

Complexitatea este $O(\log_3 m)$, dacă cei doi termeni din definiția funcției pot fi calculați în paralel. Complexitatea în cazul secvențial este $O(m)$.

8.4 Transformarea Fourier rapidă

Această secțiune prezintă algoritmul pentru *transformarea Fourier rapidă*, printr-o specificare care folosește structurile de date prezentate anterior.

Prin transformarea Fourier discretă se trece de la reprezentarea convențională a unui polinom, prin suita de coeficienți, la o altă reprezentare printr-o suită de valori care reprezintă valori ale polinomului în puncte distincte.

Această transformare este un instrument important, folosit în multe aplicații științifice. Permite o înmulțire rapidă a polinoamelor, calcule cu mare precizie, sinteza imaginilor precum și alte aplicații.

Prin această transformare, reprezentarea unui polinom de grad $n - 1$ și cu coeficienții $(a_i, 0 \leq i < n)$ se face prin valorile polinomului în rădăcinile de ordin n ale unității $(w_j, 0 \leq j < n)$.

În funcție de valorile lui n se disting trei cazuri [134], care vor fi prezentate în continuare.

În toate cele trei cazuri vom folosi o funcție scalară $root : Nat \rightarrow Com$, care aplicată lui n returnează următoarea rădăcină de ordin n a unității:

$$root.n = e^{\frac{2\pi i}{n}}.$$

8.4.1 Cazul $n=2^k$

Formula de calcul a valorii polinomului în punctul w_j este:

$$f(w_j) = \sum_{m=0}^{2^{k-1}-1} a_{2m} * e^{\frac{2\pi ijm}{2^{k-1}}} + e^{\frac{2\pi ij}{2^k}} \sum_{m=0}^{2^{k-1}-1} a_{2m+1} * e^{\frac{2\pi ijm}{2^{k-1}}}, 0 \leq j < n$$

Complexitatea unui algoritm recursiv secvențial este $T_s.n = O(n \log_2 n)$.

Pentru specificarea unui algoritm paralel, în acest caz, se pot folosi structuri de tip *PowerList*.

Pentru a ajunge la algoritmul paralel se pornește de la funcția:

$$fft : PowerList.Com.k \rightarrow PowerList.Com.k.$$

Argumentul de tip *PowerList* conține lista coeficienților polinomului și funcția este definită astfel:

$$fft.p = vp.p.u,$$

unde $u = powers.z.p, z = root.(length.p)$ și am folosit funcția vp definită în secțiunea 8.1.6.

Funcția *powers* are un argument număr complex și un argument listă; returnează o listă de lungime egală cu lungimea listei argument și care conține puterile parametrului complex, în ordine, de la 0 la lungimea listei minus 1:

$$\begin{aligned} powers &: Com \times PowerList.X.n \rightarrow PowerList.Com.n \\ powers.x.[a] &= [x^0] \\ powers.x.(p\#q) &= powers.x^2.p \# \langle x* \rangle.(powers.x^2.p) \end{aligned}$$

Funcția $\langle x* \rangle$ este definită folosind funcția *map*: $\langle x* \rangle.p = map.(x*).p$.

Derivarea algoritmului pentru transformarea Fourier, presupune găsirea unei alte expresii pentru funcția fft – mai eficientă și aceasta se realizează cu ajutorul inducției structurale. Notăm $W.z.p = powers.z.p$, pentru care sunt valabile următoarele două proprietăți, care se bazează pe proprietățile rădăcinilor unității:

$$\begin{aligned} W^2.z.(p\#q) &= W.z^2.p|W.z^2.q \\ W.z.(p\#q) &= W.z.p| - W.z.q \end{aligned}$$

Cazul de bază:

$$\begin{aligned} &fft.[x] \\ &= \{ \text{definiția } fft \} \\ &vp.[x].z \\ &= \{ \text{definiția } vp \} \\ &[x] \end{aligned}$$

Pasul inductiv: Considerăm operatorii extinși ai operatorilor binari $+$, $-$, $*$ și folosim aceleași simboluri.

$$\begin{aligned} &fft.(p\#q) \\ &= \{ \text{definiția } fft \} \\ &vp.(p\#q).(W.z.(p\#q)) \\ &= \{ \text{definiția } vp \} \\ &vp.p.(W.z.(p\#q))^2 + (W.z.(p\#q)) * (vp.q.(W.z.(p\#q))^2) \\ &= \{ \text{proprietatea funcției } W \} \\ &vp.p.(W.z^2.p|W.z^2.q) + W.z.(p\#q) * vp.p.(W.z^2.p|W.z^2.q) \\ &= \{ \text{definiția } vp \} \\ &vp.p.(W.z^2.p|vp.q.(W.z^2.q) + (W.z.(p\#q)) * (vp.p.(W.z^2.p|vp.q.(W.z^2.q))) \\ &= \{ \text{definiția } fft \} \\ &fft.p|fft.q + (W.z.(p\#q)) * (fft.p|fft.q) \\ &= \{ \text{proprietatea funcției } W \} \\ &fft.p|fft.q + (W.z.p| - W.z.q) * (fft.p|fft.q) \\ &= \{ \text{definiția operatorului multiplicativ } \} \\ &fft.p|fft.q + (W.z.p * fft.p)|(-W.z.p) * fft.q \\ &= \{ \text{definiția operatorului aditiv } \} \\ &(fft.p + W.z.p * fft.q)|(fft.p - W.z.p * fft.q) \end{aligned}$$

În consecință noua definiție a funcției este următoarea:

$$\begin{aligned} fft.[a] &= [a] \\ fft.(p\#q) &= (r + u * s) | (r - u * s) \end{aligned}$$

$$\begin{aligned} r &= fft.p \\ s &= fft.q \\ u &= powers.z.p \\ z &= root.(length.(p\#q)) \end{aligned}$$

Complexitatea pentru algoritmul paralel *fft* este $T.n = O(\log_2 n)$.

8.4.2 Cazul n prim

În acest caz este necesară calcularea directă a valorilor polinomului și se folosesc structurile *ParList*.

Functia $fft : ParList.Com.n \rightarrow ParList.Com.n$ este definită prin:

$$fft.p = vp.p.(powers.(root.(length.p)).p)$$

$$vp : ParList.X.n \times ParList.X.m \rightarrow ParList.X.m$$

$$vp.[a].[z] = a$$

$$vp.p.(z \triangleright u) = vp.p.[z] \triangleright vp.u.p$$

$$vp.p.(u \mid v) = vp.p.u \mid vp.p.v$$

$$vp.(p \# q).z = vp.p.z^2 + z * vp.q.z^2$$

$$vp.(a \triangleright p).z = a + z * vp.p.z$$

$$powers : Com \times ParList.X.n \rightarrow ParList.Com.n$$

$$powers.x.[a] = [x^0]$$

$$powers.x.(a \triangleright p) = [x^0] \triangleright \langle x^* \rangle . powers.z.p$$

$$powers.x.(p \# q) = powers.x^2.p \# \langle x^* \rangle . (powers.x^2.p)$$

Functia vp , care calculează valoarea unui polinom într-un punct dat, este extinsă pe structuri *ParList*. Ea primește ca parametrii lista rădăcinilor unității și lista coeficienților polinomului.

Se folosește funcția $powers$ care calculează puterile unui parametru scalar. Este făcută extinderea funcției $powers$ de la structuri *PowerList* la structuri *ParList*.

Se observă că s-a folosit definiția de la cazul întâi, pentru cazul în care $p \in EvenParList$.

Complexitatea maximă se obține atunci când $n = 2^k - 1$, când sunt necesari $2k - 2$ pași, iar cea minimă este egală cu cea a cazului $n = 2^k$. În consecință $T.n = O(\log_2 n)$, dacă cele n valori pot fi calculate în paralel.

8.4.3 Cazul $n = r_1 r_2 \dots r_p$

În cazul în care n nu este o putere a lui 2, dar este un produs a două numere r_1 și r_2 algoritmul prezentat în primul caz poate fi generalizat astfel:

$$f(w_j) = \sum_{k=0}^{r_1-1} \left\{ \sum_{t=0}^{r_2-1} a_{t r_1 + k} e^{\frac{2\pi i j t}{r_2}} \right\} e^{\frac{2\pi i j k}{n}}, 0 \leq j < n$$

Suma interioară reprezintă valoarea în punctul $w_{j\%r_2}$ a polinomului de grad $r_2 - 1$ cu coeficienții $\{a_k, a_{k+r_1}, \dots, a_{k+r_1(r_2-1)}\}$, $k = 0, 1, \dots, r_1-1$, care este calculată de transformarea Fourier pentru acest polinom.

Concluzia este că se poate defini un algoritm recursiv care combină r_1 transformate Fourier.

Teorema 8.1 *Cea mai bună factorizare $n = r_1 r_2$, pentru algoritmul FFT (din punctul de vedere al complexității) este alegerea lui r_1 printre divizorii primi ai lui n .*

Demonstrația poate fi găsită în [172].

Ca urmare, pentru specificarea algoritmului paralel, considerăm descompunerea în factori primi a lui $n (n = r_1 r_2 \dots r_p)$ și folosim structurile *PList*.

$$fft : PosList \times PList.Com.n \rightarrow PList.Com.n$$

Lista *PosList* este formată din factorii primi ai lui $n : [r_1, r_2, \dots, r_p]$.

Pentru a ajunge la o definiție a funcției *fft*, pornim derivarea ca și în cazul $n = 2^k$, de la definiția transformatei Fourier: $fft.l.p = vp.l.p.l.w$, unde $w = powers.z.l$.

Am folosit funcția *vp* definită pe structuri *PList* și funcția *powers* care calculează lista care conține puterile lui z , de la 0 până la $prod.l - 1$. Funcția *powers* are următoarea definiție:

$$\begin{aligned} powers &: Com \times PosList \rightarrow PList.Com.(prod.l) \\ powers.z.[] &= [z^0] \\ powers.z.(x \triangleright l) &= [\#i : i \in \bar{x} :< (z^i)* > .q] \end{aligned}$$

unde $q = powers.(z^x).l$.

Vom folosi notația $W.z.l = powers.z.l$. Pentru funcția *powers.z.l* avem următoarele proprietăți:

$$\begin{aligned} W.z.(x \triangleright l) &= [i : i \in \bar{x} :< z^{\frac{n}{x}i} * > .(W.z.l)] \\ (W.z.(x \triangleright l))^x &= [i : i \in \bar{x} : W.z^x.l] \\ (W.z.l)^i &= W.(z^i).l \end{aligned}$$

unde $n = x * prod.l$.

Derivarea funcției *fft*:

Cazul de bază:

$$\begin{aligned} &fft.[x].[\#i : i \in \bar{x} : [p.i]] \\ &= \{\text{definiția } fft\} \\ &vp.[x].[\#i : i \in \bar{x} : [p.i]].[x].[\#i : i \in \bar{x} : [z^i]] \\ &= \{\text{calcul}\} \\ &[[j : j \in \bar{x} : (+i : i \in \bar{x} : p.i * z^{(i*j)})]] \end{aligned}$$

Pasul inductiv:

$$\begin{aligned}
& fft.(x \triangleright l).[\#i : i \in \bar{x} : p.i] \\
= & \{ \text{definiția } fft \} \\
& vp.(x \triangleright l).[\#i : i \in \bar{x} : p.i].(x \triangleright l).(W.z.(x \triangleright l)) \\
= & \{ \text{definiția } vp \} \\
& (+i : i \in \bar{x} : (W.z.(x \triangleright l))^i * vp.l.(p.i).(x \triangleright l).(W.z.(x \triangleright l))^x) \\
= & \{ \text{proprietatea funcției } W.z.l, \text{ definiția } vp \} \\
& (+i : i \in \bar{x} : (W.z.(x \triangleright l))^i * [[j : j \in \bar{x} : vp.l.(p.i).l.(W.z^x.l)]]) \\
= & \{ \text{definiția } fft \} \\
& (+i : i \in \bar{x} : (W.z.(x \triangleright l))^i * [[j : j \in \bar{x} : fft.l.(p.i)]]) \\
= & \{ \text{proprietatea funcției } W.z.l \} \\
& (+i : i \in \bar{x} : [[j : j \in \bar{x} : < z^{\frac{n}{x}j} * > W.z.l]^i * [[j : j \in \bar{x} : fft.l.(p.i)]]) \\
= & \{ \text{calcul} \} \\
& (+i : i \in \bar{x} : [[j : j \in \bar{x} : < z^{\frac{n}{x}ij} * > (W.z.l)^i * [[j : j \in \bar{x} : fft.l.(p.i)]]) \\
= & \{ \text{proprietatea funcției } W.z.l \} \\
& (+i : i \in \bar{x} : [[j : j \in \bar{x} : < z^{\frac{n}{x}ij} * > W.(z^i).l * fft.l.(p.i)]])
\end{aligned}$$

Prin urmare, definiția funcției *fft* este:

$$\begin{aligned}
& valid.fft.l.p \equiv (prod.l = length.p) \\
& fft.[x][\#i : i \in \bar{x} : [a.i]] = [[j : j \in \bar{x} : (+i : i \in \bar{x} : a.i * z^{(i*j)})]] \\
& fft.(x \triangleright l).[\#i : i \in \bar{x} : p.i] = [[j : j \in \bar{x} : (+i : i \in \bar{x} : r.i * u.i.j)]] \\
& r.i = fft.l.(p.i) \\
& u.i.j = < z^{(ij * \frac{n}{x})} * > .powers.(z^i).l \\
& z = root.n \\
& n = length.p
\end{aligned}$$

Dacă lista *PosList* are un singur element, cazul se reduce la aplicarea funcției *fft* pe structuri *ParList* (structura *PList* corespunzătoare putând fi tratată ca și o *ParList*):

$$fft.[x][\#i : i \in \bar{x} : [a.i]] = fft|_{ParList}.[\#i : i \in \bar{x} : [a.i]]$$

care este mai eficientă.

Pentru cazul $x = 2$ se poate observa că se ajunge la algoritmul specificat cu *PowerList*:

$$\begin{aligned}
& [[j : j \in \bar{2} : [+i : i \in \bar{2} : r.i * u.i.j]]] = \\
& (r.0 * u.0.0 + r.1 * u.1.0) | (r.0 * u.0.1 + r.1 * u.1.1) = \\
& (r.0 + r.1 * powers.z.l) | (r.0 + r.1 * \langle \exp .z. \frac{n}{2} * \rangle .powers.z.l) = \\
& (r.0 + r.1 * powers.z.l) | (r.0 - r.1 * powers.z.l)
\end{aligned}$$

Algoritmul pentru transformarea Fourier poate fi aplicat simultan cu descompunerea în factori prim al lui n . Dacă se ajunge la divizori mari se poate aplica algoritmul corespunzător cazului n prim, pentru simplificarea calculelor.

Complexitatea algoritmului în acest caz depinde de factorii primi ai descompunerii lui n și de numărul acestora m . Dacă considerăm că toți factorii primi sunt mai mici decât un număr M atunci complexitatea este $O(m)$ și constanta de multiplicitate depinde de M . Dacă, de exemplu, $n = 3^k$ atunci $T.n = O(\log_3 n)$.

În cazul secvențial se obține o complexitate $T_m.n = n(a_1(p_1 - 1) + \dots + a_m(p_m - 1))$, dacă $n = p_1^{a_1} \dots p_m^{a_m}$ [172].

8.5 Structuri de date n-dimensionale

Structurile de date *PowerList*, *ParList* și *PList* sunt structuri liniare. Pentru reprezentarea tablourilor multidimensionale se pot folosi aceste structuri cu elemente care la rândul lor sunt structuri *PowerList*, *ParList* și *PList*. Dar în acest mod anumiți algoritmi, cum este de exemplu transpoziția matricelor, sunt dificil de specificat. O variantă mai adecvată este generalizarea la structuri n -dimensionale prin folosirea unor constructori pe fiecare dimensiune.

Structurile rezultate se vor numi *PowerArray*, *ParArray* și respectiv *PArray*. În această secțiune se prezintă algebra și notația *PowerArray* cu exemplificări în cazul bidimensional. Pentru celelalte tipuri de structuri n -dimensionale extinderea se face în mod analog, ținând cont de teoria asociată structurilor liniare corespunzătoare.

8.5.1 Definiții

O structură *PowerArray* este o structură de date nevidă care conține o putere a lui 2 elemente de același tip.

Constructorul de tip asociat structurii de date *PowerArray* este:

$$PowerArray : Type \times (Nat)^n \rightarrow Type$$

care are ca argumente un tip (X) și n numere naturale ($n_i : 0 \leq i < n$) și returnează tipul tuturor structurilor cu elemente de tipul X și cu 2^{n_i} elemente pe dimensiunea i . De exemplu, *PowerArray.Nat.2.3* este tipul tuturor matricelor cu 2^2 coloane și 2^3 linii care conțin elemente numere naturale.

Două structuri *PowerArray* care au aceleași dimensiuni și elemente de același tip se numesc *similare*. O structură *PowerArray* cu un element pe fiecare dimensiune se numește *singleton* și este reprezentată astfel: $[a]$, unde a este unicul element al structurii.

Două structuri *PowerArray* similare p, q , pot fi combinate pe o dimensiune sau pe alta, în două moduri diferite:

- $p \mid_i q$ (*tie*) este structura obținută prin concatenarea structurii p cu structura q pe dimensiunea i .
- $p \#_i q$ (*zip*) este structura obținută prin interclasarea structurii p cu structura q pe dimensiunea i .

De exemplu, dacă $p, q \in \text{PowerArray}.X.m.n$ și $u = p|_0q, v = p\#_0q$ atunci $u, v \in \text{PowerArray}.X.(m+1).n$. Structura u este matricea care se obține din coloanele lui p concatenate cu coloanele lui q , iar v este matricea ale cărei coloane sunt luate alternativ din p și q .

Deoarece matricele sunt cele mai folosite structuri de date multidimensionale, vom defini doar algebra *PowerArray* pentru acest tip de structuri. Pentru celelalte structuri multidimensionale, algebrele se definesc similar.

Algebra structurilor *PowerArray* bidimensionale se definește în mod analog cu cele definite în cazurile liniare. Alegem, prin convenție, prima dimensiune –0– coloanele și a doua –1– liniile.

Constructorii pentru structurile *PowerArray* bidimensionale sunt:

$$\begin{aligned} [\cdot] &: X \rightarrow \text{PowerArray}.X.0.0 \\ \cdot|_0 &: \text{PowerArray}.X.m.n \times \text{PowerArray}.X.m.n \rightarrow \text{PowerArray}.X.(m+1).n \\ \cdot|_1 &: \text{PowerArray}.X.m.n \times \text{PowerArray}.X.m.n \rightarrow \text{PowerArray}.X.m.(n+1) \\ \cdot\#_0 &: \text{PowerArray}.X.m.n \times \text{PowerArray}.X.m.n \rightarrow \text{PowerArray}.X.(m+1).n \\ \cdot\#_1 &: \text{PowerArray}.X.m.n \times \text{PowerArray}.X.m.n \rightarrow \text{PowerArray}.X.m.(n+1) \end{aligned}$$

Funcțiile de lungime pe fiecare dimensiune:

$$\text{length}_i : \text{PowerArray}.X.n_0.n_1 \rightarrow \text{Nat} \text{ și}$$

$$\text{loglen}_i : \text{PowerArray}.X.n_0.n_1 \rightarrow \text{Nat} \text{ pentru } i = 0, 1$$

sunt definite prin:

$$\begin{aligned} (\forall p : p \in \text{PowerArray}.X.n_0.n_1 : \text{length}_i.p = 2^{n_i}) \\ (\forall p : p \in \text{PowerArray}.X.n_0.n_1 : \text{loglen}_i.p = n_i) \end{aligned} \text{ pentru } i = 0, 1.$$

Algebra corespunzătoare structurii *PowerArray* este formată din axiomele existente în algebra *PowerList* replicate pentru fiecare dimensiune.

1. $[a] = [b] \equiv a = b$
2. $\text{loglen}_0 > 0 \Rightarrow (\exists !u, v :: p = u|_0v)$
3. $\text{loglen}_0 > 0 \Rightarrow (\exists !u, v :: p = u\#_0v)$
4. $p|_0q = u|_0v \equiv p = u \wedge q = v$
5. $p\#_0q = u\#_0v \equiv p = u \wedge q = v$
6. $[a]|_0[b] = [a]\#_0[b]$
7. $\text{loglen}_1 > 0 \Rightarrow (\exists !u, v :: p = u|_1v)$
8. $\text{loglen}_1 > 0 \Rightarrow (\exists !u, v :: p = u\#_1v)$
9. $p|_1q = u|_1v \equiv p = u \wedge q = v$
10. $p\#_1q = u\#_1v \equiv p = u \wedge q = v$
11. $[a]|_1[b] = [a]\#_1[b]$

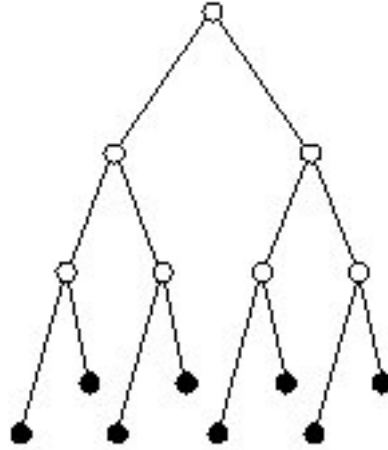
Comutativitatea este valabilă între oricare doi operatori, indiferent de dimensiune:

$$(p\pi q)\delta(u\pi v) = (p\delta u)\pi(q\delta v)$$

oricare ar fi π, δ operatori *tie* sau *zip*.

8.5.2 Un principiu al inducției pentru *PowerArray*

Fie $\Pi : \text{PowerArray}.X.m.n \rightarrow \text{Bool}$ un predicat al cărui adevăr trebuie stabilit pentru toate structurile *PowerArray* cu elemente de tipul X . Putem să demonstrăm că predicatul

Figura 8.2: Structura arborescentă pentru matricea M

Π este adevărat, folosind următorul principiu al inducției [131]:

$$\begin{aligned}
 & (\forall x : x \in X : \Pi. [x]) \\
 \wedge & \left(\begin{array}{l} (\forall p, q, m, n : p, q \in PowerArray.X.m.n \wedge n, m \in Nat : \Pi.p \wedge \Pi.q \Rightarrow \Pi. (p|_0q)) \\ \vee (\forall p, q, m, n : p, q \in PowerArray.X.m.n \wedge n, m \in Nat : \Pi.p \wedge \Pi.q \Rightarrow \Pi. (p\#_0q)) \end{array} \right) \\
 \wedge & \left(\begin{array}{l} (\forall p, q, m, n : p, q \in PowerArray.X.m.n \wedge n, m \in Nat : \Pi.p \wedge \Pi.q \Rightarrow \Pi. (p|_1q)) \\ \vee (\forall p, q, m, n : p, q \in PowerArray.X.m.n \wedge n, m \in Nat : \Pi.p \wedge \Pi.q \Rightarrow \Pi. (p\#_1q)) \end{array} \right) \\
 \Rightarrow & (\forall p, m, n : p \in PowerArray.X.m.n \wedge n, m \in Nat : \Pi.p)
 \end{aligned}$$

Pentru cazul n -dimensional principiul inducției va conține un pas inductiv pentru fiecare dimensiune.

Este necesar să se folosească operatorii de construcție într-o ordine bine determinată: întâi operatorii pentru prima dimensiune, apoi cei pentru cea de a doua și așa mai departe. Așadar, dacă asociem o structură arborescentă unei structuri $PowerArray$, aceasta va fi unică. Structura arborescentă (care poate fi considerată un arbore binar de construcție în spațiu) reprezintă de fapt o descompunere unică a structurii. Nodurile arborelui reprezintă elementele structurii $PowerArray$. Folosim mai întâi operatorii primei dimensiuni și rezultă un arbore ale cărui frunze sunt toate rădăcini ale altor arbori corespunzători dimensiunilor rămase.

De exemplu, dacă avem o matrice cu 4 coloane și 2 linii, care are tipul $PowerArray.X.2.1$, structura arborescentă asociată structurii este prezentată în Figura 8.2.

8.5.3 Operatori, relații și funcții

Fie $\otimes : X \times X \rightarrow X$ un operator binar definit pe tipul scalar X . Extindem operatorul prin definirea lui pe structuri $PowerArray$. În cazul bidimensional, operatorul extins este:

$$\otimes : PowerArray.X.m.n \times PowerArray.X.m.n \rightarrow PowerArray.X.m.n$$

definit prin relațiile:

$$\begin{aligned}
[a] \otimes [b] &= [a \otimes b] \\
(p|_0q) \otimes (u|_0v) &= (p \otimes u) |_0 (q \otimes v) \quad \text{sau} \\
(p\#_0q) \otimes (u\#_0v) &= (p \otimes u) \#_0 (q \otimes v) \\
(p|_1q) \otimes (u|_1v) &= (p \otimes u) |_1 (q \otimes v) \quad \text{sau} \\
(p\#_1q) \otimes (u\#_1v) &= (p \otimes u) \#_1 (q \otimes v)
\end{aligned}$$

Relațiile peste tipurile scalare sunt extinse în același mod ca și operatorii binari.

Fie o relație peste tipul X , definită prin funcția booleană $\Delta : X \times X \rightarrow Bool$ și fie $p, q, u, v \in PowerArray.X.m.n$ și $x, y \in X$, definim relația extinsă prin:

$$\Delta : PowerArray.X.n.m \times PowerArray.X.n.m \rightarrow Bool$$

$$\begin{aligned}
[x] \Delta [y] &\equiv [x \Delta y] \\
(p\#_0q) \Delta (u\#_0v) &\equiv (p \Delta u) \wedge (q \Delta v) \\
(p\#_1q) \Delta (u\#_1v) &\equiv (p \Delta u) \wedge (q \Delta v)
\end{aligned}$$

Deci două $PowerArray$ sunt în relația Δ dacă și numai dacă elementele de pe aceeași poziție sunt în relație. Se poate folosi și operatorul (*tie*) pentru definirea relației:

$$\begin{aligned}
(p|_0q) \Delta [u|_0v] &\equiv (p \Delta u) \wedge (q \Delta v) \\
(p|_1q) \Delta [u|_1v] &\equiv (p \Delta u) \wedge (q \Delta v)
\end{aligned}$$

Funcțiile definite pe structurile $PowerArray$ se definesc pe baza principiului inducției enunțat anterior, în mod analog cu cele definite pe structurile $PowerList$.

1. Funcția de reducere $reduce : (X \times X \rightarrow X) \times PowerArray.X.m.n \rightarrow X$ definită prin:

$$\begin{aligned}
reduce. \otimes . [a] &= a \\
reduce. \otimes . (p|_0q) &= reduce. \otimes . p \otimes reduce. \otimes . q \\
reduce. \otimes . (p|_1q) &= reduce. \otimes . p \otimes reduce. \otimes . q
\end{aligned}$$

unde $\otimes : X \times X \rightarrow X$ este un operator asociativ.

Funcția $sum : PowerArray.X.m.n \rightarrow X$ se obține prin instanțierea funcției $reduce$ cu operatorul aditiv.

2. Funcția

$$map : (X \rightarrow Z) \times PowerArray.X.m.n \rightarrow PowerArray.Z.m.n$$

care primește ca argumente o funcție și o structură $PowerArray$ și aplică funcția fiecărui element din structură. Este definită prin:

$$\begin{aligned}
map.f. [a] &= [f.a] \\
map.f. (p\#_0q) &= map.f.p \#_0 map.f.q \\
map.f. (p\#_1q) &= map.f.p \#_1 map.f.q
\end{aligned}$$

3. Funcția $rev : PowerArray.X.m.n \rightarrow PowerArray.X.m.n$ este o funcție de permutare care returnează o matrice formată din elementele matricei argument în ordine inversă pe fiecare dimensiune:

$$\begin{aligned} rev.[a] &= [a] \\ rev.(p|_0q) &= rev.q|_0rev.p \\ rev.(p|_1q) &= rev.q|_1rev.p \end{aligned}$$

4. Funcții de permutare

Elementele unei matrice pot fi rotite pe linii, la stânga sau dreapta, iar coloanele rotite în sus sau în jos. Prezentăm aici două funcții rr (rotire la dreapta) și rd (rotire în jos):

$$\begin{array}{l} rr : PowerArray.X.m.n \rightarrow PowerArray.X.m.n \\ rd : PowerArray.X.m.n \rightarrow PowerArray.X.m.n \end{array}$$

$$\begin{array}{l|l} rr.[a] = [a] & rd.[a] = [a] \\ rr.(p \#_0 q) = rr.q \#_0 p & rd.(p |_0 q) = rd.p |_0 rd.q. \\ rr.(p |_1 q) = rr.p |_1 rr.q & rd.(p \#_1 q) = rd.q \#_1 p \end{array}$$

Pentru a ilustra modul de demonstrare a proprietăților folosind principiul inducției structurale, demonstrăm următoarea propoziție:

Propoziția 8.4

$$rev.(map.f.p) = map.f.(rev.p)$$

Demonstrație:

<p><i>Cazul de bază:</i></p> $\begin{aligned} & rev.(map.f.[a]) \\ = & \{ \text{definiția } map \} \\ & rev.([f.a]) \\ = & \{ \text{definiția } rev \} \\ & [f.a] \\ = & \{ \text{definiția } map \} \\ & map.f.[a] \\ = & \{ \text{definiția } rev \} \\ & map.f.(rev.[a]) \end{aligned}$	<p><i>Pasul inductiv pentru #₀:</i></p> $\begin{aligned} & rev.(map.f.(p\#_0q)) \\ = & \{ \text{definiția } map \} \\ & rev.(map.f.p\#_0map.f.q) \\ = & \{ \text{definiția } rev \} \\ & rev.(map.f.q) \#_0 rev.(map.f.p) \\ = & \{ \text{ipoteza inducției} \} \\ & map.f.(rev.q) \#_0 map.f.(rev.p) \\ = & \{ \text{definiția } map \} \\ & map.f.(rev.q\#_0rev.p) \\ = & \{ \text{definiția } rev \} \\ & map.f.(rev.(p\#_0q)). \end{aligned}$
--	--

Pasul inductiv #₁ este analog cu cel pentru #₀.

Complexitatea

Complexitatea computațională a unei funcții:

$$f : \text{PowerArray}.X.(n_0) \dots (n_i) \dots (n_{k-1}) \rightarrow \text{Type}$$

definită de

$$f.(p \pi_i q) = \phi_i.(f.p).(f.q), i = 0, 1, \dots, (k - 1)$$

unde π_i este un operator *tie* sau *zip*, iar ϕ_i este o funcție de combinare,

poate fi evaluată cu ajutorul următoarei formule

$$T_f = \sum_{i=0}^{k-1} n_i * (T.\phi_i)$$

unde $T.\phi_i$ reprezintă complexitatea de calcul a funcției ϕ_i .

8.5.4 Aplicații

Transpusa unei matrice

Algoritmul de transpunere a unei matrice are o descriere foarte simplă folosind structurile *PowerArray*:

$$\text{Trans} : \text{PowerArray}.X.n.m \rightarrow \text{PowerArray}.X.n.m$$

$$\text{Trans}.[a] = [a]$$

$$\text{Trans}.(p|_0q) = \text{Trans}.p |_1 \text{Trans}.q$$

$$\text{Trans}.(p|_1q) = \text{Trans}.p |_0 \text{Trans}.q$$

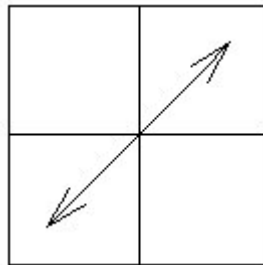


Figura 8.3: Transpunerea unei matrice

Atunci când o matrice este transpusă, liniile devin coloane și reciproc (Figura 8.3); acest lucru este evidențiat foarte simplu de funcția definită anterior. Complexitatea este $m + n$.

Înmulțirea a două matrice

Algoritmul prezentat se bazează pe segmentarea matricelor și multiplicarea elementelor lor pe o a treia dimensiune pentru realizarea în paralel a operațiilor de înmulțire [131].

$$\begin{aligned} Mult &: PowerArray.X.n.m \times PowerArray.X.p.n \rightarrow PowerArray.X.p.m. \\ Mult.a.b &= SumT.((R1.(TR.a).b) * (R2.b.a)) \end{aligned}$$

Se folosește operatorul multiplicativ extins $*$.

$$\begin{aligned} TR &: PowerArray.X.n.m \rightarrow PowerArray.X.0.n.m \\ TR.[a] &= [a] \\ TR.(p|_0q) &= TR.p|_1TR.q \\ TR.(p|_1q) &= TR.p|_2TR.q \end{aligned}$$

$$\begin{aligned} R1 &: PowerArray.0.n.m \times PowerArray.X.n.p \rightarrow PowerArray.X.p.n.m \\ R2 &: PowerArray.p.n \times PowerArray.X.n.m \rightarrow PowerArray.X.p.n.m \\ R1.a.[b] &= a \\ R1.a.(p|_0q) &= R1.a.p \\ R1.a.(p|_1q) &= R1.a.p|_0R1.a.q \end{aligned}$$

$$\begin{aligned} R2.b.[a] &= b \\ R2.b.(p|_0q) &= R1.b.p \\ R2.b.(p|_1q) &= R1.b.p|_2R1.b.q \end{aligned}$$

$$\begin{aligned} SumT &: PowerArray.X.p.n.m \rightarrow PowerArray.X.m.p \\ SumT.[a] &= [a] \\ SumT.(p|_0q) &= SumT.p|_0SumT.q \\ SumT.(p|_1q) &= SumT.p + SumT.q \\ SumT.(p|_2q) &= SumT.p|_1SumT.q \end{aligned}$$

Funcția TR realizează o transpoziție și schimbă dimensiunea 0 în dimensiunea 2.

Folosim două funcții de multiplicare $R1$ și $R2$; prima pentru prima matrice și a doua pentru a doua matrice. Cel de-al doilea parametru al lor aduce doar informații despre numărul necesar de multiplicări.

Funcția $SumT$ execută o reducere cu operatorul aditiv pe dimensiunea 1 și schimbă dimensiunea 2 în dimensiunea 1.

Complexitatea depinde de complexitatea fiecărei funcții în parte:

$$\begin{aligned} T_{TR \cdot n \cdot m} &= n + m, \\ T_{R2 \cdot p \cdot n \cdot m} &= n + m, \\ T_{R1 \cdot p \cdot n \cdot m} &= n + p, \\ T_{SumT \cdot p \cdot n \cdot m} &= p + n + m. \end{aligned}$$

Funcțiile TR și $R2$ pot fi calculate în paralel. Rezultă, deci, $T_{Mult \cdot m \cdot n \cdot p} = 3n + 2m + 2p$.

Pentru matrice pătratice, algoritmul poate fi simplificat prin condensarea într-o singură etapă (funcție) a multiplicării matricei a și a transpunerii ei; deasemenea, nu sunt necesare funcții care au ca parametrii două structuri *PowerArray*.

8.5.5 Evaluarea relațiilor de recurență

În numeroase cazuri, soluția unei probleme se reduce la evaluarea ultimului termen, sau a tuturor termenilor unei relații de recurență.

O recurență liniară cu doi termeni de forma:

$$x_i = a_i x_{i-1} + b_i x_{i-2}, \quad (i = 2, \dots, n), \text{ unde se cunosc } x_0 \text{ și } x_1, a_i \text{ și } b_i$$

se poate scrie folosind ecuația matriceală:

$$y_i = M_i y_{i-1}, \text{ unde } y_i = \begin{bmatrix} x_i \\ x_{i-1} \end{bmatrix}, \quad (i = 1, \dots, n) \quad M_i = \begin{bmatrix} a_i & b_i \\ 1 & 0 \end{bmatrix}, \quad (i = 2, \dots, n),$$

prin urmare:

$$\begin{bmatrix} x_n \\ x_{n-1} \end{bmatrix} = y_n = M_n M_{n-1} \dots M_2 \begin{bmatrix} x_1 \\ x_0 \end{bmatrix}, \quad n \geq 2.$$

O recurență liniară cu k termeni

$$x_i = a_i^0 x_{i-1} + a_i^1 x_{i-2} + \dots + a_i^{k-1} x_{i-k}, \quad (i = k, \dots, n)$$

poate fi scrisă matriceal astfel:

$$\begin{bmatrix} x_i \\ x_{i-1} \\ \vdots \\ x_{i-k+1} \end{bmatrix} = \begin{bmatrix} a_i^0 & a_i^1 & \dots & a_i^{k-2} & a_i^{k-1} \\ 1 & 0 & \dots & 0 & 0 \\ \vdots & \ddots & & & \\ 0 & 0 & \dots & 1 & 0 \end{bmatrix} \begin{bmatrix} x_{i-1} \\ x_{i-2} \\ \vdots \\ x_{i-k} \end{bmatrix},$$

iar o recurență de forma

$$x_i = a_i^0 x_{i-1} + a_{i-2}^1 x_i + \dots + a_i^{k-2} x_{i-k+1} + c_i, \quad (i = k - 1, \dots, n)$$

poate fi scrisă astfel:

$$\begin{bmatrix} x_i \\ x_{i-1} \\ \vdots \\ 1 \end{bmatrix} = \begin{bmatrix} a_i^0 & a_i^1 & \dots & a_i^{k-2} & c_i \\ 1 & 0 & \dots & 0 & 0 \\ \vdots & \ddots & & & \\ 0 & 0 & \dots & 0 & 1 \end{bmatrix} \begin{bmatrix} x_{i-1} \\ x_{i-2} \\ \vdots \\ 1 \end{bmatrix}.$$

Recurențele neliniare se pot reduce la recurențe liniare printr-o schimbare de variabilă corespunzătoare.

De exemplu, fie recurența neliniară de ordinul întâi

$$x_i = a_i + b_i/x_{i-1},$$

cu x_0 dat.

Dacă înmulțim ambii membri ai ecuației precedente cu $x_0x_1 \dots x_{i-1}$ și notăm $y_i = x_i * \dots * x_0$, vom obține:

$$y_i = a_i y_{i-1} + b_i y_{i-2},$$

cu $y_0 = x_0$ dat, care este o recurență liniară de ordinul doi și poate fi rezolvată conform metodei anterioare. Apoi x_i se poate calcula prin $x_i = y_i/y_{i-1}$.

Cazul mai general de recurență neliniară

$$x_0 \text{ dat, iar } x_i = \frac{a_i x_{i-1} + b_i}{c_i x_{i-1} + d_i},$$

se reduce la forma unei recurențe liniare de ordinul întâi prin schimbarea de variabilă $X_i = c_{i+1}x_i + d_{i+1}$.

O altă posibilitate de rezolvare a recurențelor neliniare este prin exprimarea lor directă în formă matriceală. Dacă înlocuim expresia

$$x_1 = \frac{a_1 x_0 + b_1}{c_1 x_0 + d_1}$$

în formula corespunzătoare a lui x_2 , vom obține o exprimare a lui x_2 în funcție de x_0 :

$$x_2 = \frac{(a_2 a_1 + b_2 c_1) x_0 + a_2 b_1 + b_2 d_1}{(c_2 a_1 + d_2 c_1) x_0 + c_2 b_1 + d_2 d_1},$$

și procesul poate continua.

Dacă expresia finală este de forma

$$x_n = \frac{\alpha x_0 + \beta}{\gamma x_0 + \delta}$$

atunci

$$\begin{bmatrix} \alpha & \beta \\ \gamma & \delta \end{bmatrix} = \begin{bmatrix} a_n & b_n \\ c_n & d_n \end{bmatrix} \begin{bmatrix} a_{n-1} & b_{n-1} \\ c_{n-1} & d_{n-1} \end{bmatrix} \cdots \begin{bmatrix} a_1 & b_1 \\ c_1 & d_1 \end{bmatrix}.$$

Algoritmul paralel pentru rezolvarea recurențelor

Folosind structuri *PowerArray* și *ParList*, putem obține un algoritm eficient și simplu pentru rezolvarea formulelor recurente liniare.

Presupunem că recurența are k termeni și $k = 2^t$ (în caz contrar putem să completăm cu zerouri). Primul argument este o structură *ParList* ale cărei n elemente sunt structuri *PowerArray* reprezentând matricele M_i . Cel de-al doilea argument reprezintă un vector care conține primii k termeni ai recurenței (cei dați).

$Recc : ParList.(PowerArray.X.t.t).n \times PowerArray.X.t.1 \rightarrow PowerArray.X.t.1$
 $Recc.p.x = Mult.(reduce.(Mult).p).x.$

Algoritmul de înmulțire a matricelor poate fi extins ușor pentru structuri *ParArray* și în acest caz, nu mai este nevoie să se impună condiții asupra lui k .

Folosim acest algoritm pentru a calcula polinoame ortogonale, cum sunt polinoamele *Legendre* și *Cebâșev* și *Hermite* [37]. Pentru toate cazurile prezentate k este egal cu 2.

Polinoame Legendre

Relația de recurență care definește polinoamele ortogonale Legendre este:

$$\begin{cases} l_0(x) & = 1 \\ l_1(x) & = x \\ l_{(n+1)}(x) & = xl_n(x) - \frac{n^2}{(2n-1)(2n+1)}l_{(n-1)}(x), n \geq 1 \end{cases}$$

Algoritmul paralel corespunzător bazat pe funcția *Recc*, calculează valorile polinoamelor de grad $n + 1$ și n în punctul x dat:

$$[l_{n+1}(x) \quad l_n(x)] = Recc. \left[|i : i \in \bar{n} - \{0\} : \begin{bmatrix} x & \frac{-i^2}{(2i-1)(2i+1)} \\ 1 & 0 \end{bmatrix} \right] [x \ 1].$$

Polinoame Cebâșev (speța I)

Relația de recurență care definește polinoamele ortogonale Cebâșev (speța I) este:

$$\begin{aligned} t_0(x) & = 1 \\ t_1(x) & = x \\ t_{n+1}(x) & = 2xt_n(x) - t_{n-1}(x), n \geq 1. \end{aligned}$$

Algoritmul paralel corespunzător bazat pe funcția *Recc* calculează valorile polinoamelor de grad $n + 1$ și n în punctul x dat:

$$[t_{n+1}(x) \quad t_n(x)] = Recc. \left[|i : i \in \overline{(n-1)} : \begin{bmatrix} 2x & -1 \\ 1 & 0 \end{bmatrix} \right] [x \ 1].$$

Polinoame Cebâșev (speța II)

Relația de recurență care definește polinoamele ortogonale Cebâșev(speța I) este:

$$\begin{aligned} q_0(x) &= 1 \\ q_1(x) &= 2x \\ q_{n+1}(x) &= 2x q_n(x) - q_{n-1}(x), n \geq 1. \end{aligned}$$

Algoritmul paralel corespunzător bazat pe funcția *Recc* calculează valorile polinoamelor de grad $n + 1$ și n în punctul x dat:

$$\begin{bmatrix} q_{n+1}(x) & q_n(x) \end{bmatrix} = \text{Recc.} \left[|i : i \in \overline{(n-1)} : \begin{bmatrix} 2x & -1 \\ 1 & 0 \end{bmatrix} \right] [2x \ 1].$$

Polinoame Hermite

Relația de recurență care definește polinoamele ortogonale Hermite este:

$$\begin{aligned} h_0(x) &= 1 \\ h_1(x) &= 2x \\ h_{n+1}(x) &= 2x h_n(x) - 2n h_{n-1}(x), n \geq 1. \end{aligned}$$

Algoritmul paralel corespunzător, calculează valorile polinoamelor de grad $n + 1$ și n în punctul x dat:

$$\begin{bmatrix} h_{n+1}(x) & h_n(x) \end{bmatrix} = \text{Recc.} \left[|i : i \in \bar{n} - \{0\} : \begin{bmatrix} 2x & -2n \\ 1 & 0 \end{bmatrix} \right] [2x \ 1].$$

Sumar

Structurile de date definite în acest capitol permit specificarea unor algoritmi paraleli cu ajutorul definirii unor funcții pe aceste structuri. Deși sunt dedicate numai anumitor tipuri de algoritmi (Divide&Impera), ele sunt foarte folositoare, permițând specificarea și construcția algoritmilor într-un mod simplu și corect.

PowerList este o structură de date care permite descrierea unei diversități de algoritmi. Teoria *PowerList* este foarte simplă. Proprietățile structurilor *PowerList* pot fi demonstrate folosind principiul inducției structurale, pe baza căruia se definesc și funcțiile peste structuri *PowerList*. Paralelismul este introdus implicit prin constructorii $|$ și $\#$. Legătura dintre *PowerList* și hipercuburi conduce la implementări eficiente pe arhitecturi cu o astfel de topologie.

Structurile de date *ParList* reprezintă o generalizare a structurilor de date *PowerList* și permit specificarea unor algoritmi diverși. Funcțiile definite peste structurile *PowerList* pot fi ușor extinse la cazul *ParList* prin adăugarea unei definiții noi corespunzătoare pasului inducției bazat pe operatorii \triangleleft și \triangleright . De asemenea, folosind doar operatorii \triangleleft și \triangleright se pot obține algoritmi paraleli pentru anumite clase de probleme.

Structurile *PList* sunt cele mai generale ele permițând descrierea unor algoritmi Divide&Impera folosind divizare multiplă și combinată. Gradul de paralelizare poate fi astfel mult mărit. Datorită faptului că divizarea datelor se poate face în mai mult decât două părți, eficiența crește. Totuși o segmentare prea mare a datelor nu este până la urmă eficientă, datorită faptului că determină creșterea complexității pasului de combinare. În acest caz, o posibilitate de sporire a eficienței algoritmilor specificați prin *PList* ar fi tratarea fiecărui pas de combinare ca un algoritm specificat prin *ParList*.

Pentru calculul transformatei Fourier, a treia formă de specificare *-PList* este cea mai generală, ea incluzându-le și pe primele două. Dacă n este o putere a lui 2 algoritmul este cel specificat cu notația *PowerList*. Dacă n este prim, lista *PosList* din definiția funcției *fft* pe *PList* va conține un singur element egal cu n , și este echivalentă cu algoritmul specificat prin *ParList*.

Structurile *PowerArray* permit specificarea concisă a diferiți algoritmi. Cu ajutorul lor se pot defini algoritmi paraleli generali pentru diferite clase de probleme în care intervin date cu structură matriceală. Extinderea pe mai multe dimensiuni conduce la obținerea unor algoritmi paraleli clari și eficienți.

Corectitudinea acestor algoritmi este ușor de demonstrat datorită faptului că definirea lor se bazează pe principiul inducției structurale asociat mulțimii de structuri specificate.

Deși folosirea acestor structuri se restrânge doar la un anumit tip de algoritmi, ele pot fi incluse în definiția unui model de dezvoltare de programe paralele mai complex, care să susțină avantajele aduse de acestea.

Partea IV

Modele

Capitolul 9

Modele de calcul paralel

Neconcordanța dintre arhitecturile paralele și softul paralel, poate fi rezolvată prin dezvoltarea unui model de calcul paralel (MCP). Un asemenea model, trebuie să ascundă detaliile arhitecturale, dar să rămână suficient de concret, astfel încât să permită realizarea de programe eficiente.

Un *model de calcul paralel* este o interfață între soft și hard. Un model de calcul paralel poate fi considerat o *mașină abstractă*, care furnizează anumite operații nivelului de programare și care necesită implementări pentru fiecare dintre aceste operații, pe toate tipurile de arhitecturi paralele. Rolul unui model de calcul paralel este de a separa dezvoltarea programelor paralele de detaliile ce țin de execuția efectivă pe diferite arhitecturi. Furnizează atât abstractizare cât și stabilitate. Abstractizarea apare datorită faptului că operațiile furnizate de către model sunt de nivel mai înalt decât cel al arhitecturilor, simplificând astfel structura softului și diminuând dificultatea construirii lui. În același timp, modelul reprezintă un punct de start fix pentru implementarea pe fiecare arhitectură. Prin urmare, un model de calcul paralel separă dezvoltarea programelor de detaliile de implementare. Mai mult decât atât, permite ca deciziile de implementare să fie considerate doar o singură dată pentru fiecare arhitectură țintă și nu pentru fiecare program în parte.

În acest capitol vom analiza caracteristicile necesare ale unui MCP precum și o clasificare a modelelor de calcul paralel. Această analiză se bazează pe analiza făcută de D. Skilicorn and D. Talia în [156].

9.1 Caracteristicile unui model de calcul paralel ideal

Deoarece putem considera modelele ca fiind mașini abstracte, aceste modele sunt pe diferite nivele de abstractizare. De exemplu, fiecare limbaj de programare poate fi interpretat ca și un model în acest sens, deoarece furnizează o vedere simplificată a hardware-ului. Compararea modelelor este prin urmare dificilă, nu numai datorită diferitelor nivele de abstractizare dar și datorită faptului că anumite modele de nivel înalt pot fi emulate de către altele de nivel mai scăzut. Un model de nivel scăzut poate emula nu doar un model de nivel mai înalt, ci chiar mai multe.

După cum am mai precizat, un program paralel poate fi extrem de complex. Putem considera un program care se execută pe un sistem cu o sută de procesoare, care execută la orice moment o sută de procese în fiecare moment. Pentru a limita întârzierile datorită comunicațiilor și accesului la memorie, fiecare procesor multiplexează câteva fire de execuție, deci numărul de fire de execuție active este mai mare decât o sută (să-l considerăm 300). Orice fir de execuție poate să comunice cu orice alt fir și această comunicație poate fi sincronă sau asincronă. Prin urmare pot fi până la 300^2 de interacțiuni “în execuție” la fiecare moment. Concluzia este deci că programul corespunzător trebuie să permită o descriere mult mai abstractă decât descrierea fiecărei entități în parte. Acest lucru implică faptul că modelele de calcul paralel trebuie să aibă un nivel mai ridicat de abstractizare decât cele corespunzătoare programării secvențiale.

De asemenea, datorită diferențelor de implementare pe diferite arhitecturi, modelele de calcul paralel trebuie să conțină abstractizări corespunzătoare fiecărei clase de arhitecturi.

Abstractizarea însă poate conduce la o micșorare a performanței, iar creșterea performanței este principala motivație a utilizării calculului paralel. Prin urmare, abstractizarea nu trebuie deci să depășească un nivel de la care nu se mai poate ajunge la o execuție suficient de eficientă pe diferite tipuri de arhitecturi.

Un model trebuie să fie deci și abstract și eficient. Precizăm în continuare principalele caracteristici pe care ar trebui să le aibă un asemenea model:

1. **Abstractizare.** Deoarece un program paralel executabil este atât de complex, modelul trebuie să ascundă programatorului detaliile de implementare. Este preferabil ca structura programului executabil să fie specificată pe cât posibil printr-un mecanism de translație (compilator, sistem run-time) decât de către programator. Aceasta implică ca modelul să trateze următoarele:

- *Partiționarea* programului în procese paralele.
- *Maparea* proceselor pe procesoare.
- *Comunicația* între procese.
- *Sincronizarea* între procese.

(Amănunte cu privire la partiționare, mapare, comunicație și sincronizare au fost discutate în Capitolul 2, Secțiunea 2.1.)

Partiționarea și maparea sunt cunoscute ca fiind probleme cu complexitate-timp exponențială în cazul în care se dorește obținerea optimelor. Comunicația necesită plasarea celor două capete ale comunicației în procesele corespunzătoare la pozițiile corespunzătoare. Sincronizarea impune evaluarea stării globale a calculului, care este de dimensiuni mari. Prin urmare, productivitatea ar scădea foarte serios, dacă s-ar pretinde programatorului să trateze toate acestea.

Deci, modelul trebuie să fie cât mai abstract și mai simplu posibil. Nu este necesar să existe o cuplare foarte strânsă între modul de specificare al programului și modul său de execuție.

2. **Metodologie de dezvoltarea a softului.** Cerința anterioară implică o distanță mare între informația furnizată de către programator despre structura semantică a programului și structura detaliată a execuției lui. Cuplarea acestor două necesită un fundament semantic foarte strict pe care să se poată construi tehnici de transformare corecte. Tehnicile de compilare *ad hoc* nu pot face față unor probleme de asemenea complexitate.

Există de asemenea o mare distanță între specificații și programe, care trebuie să fie și ea rezolvată pe baza unui temeinic fundament semantic. Cu mici excepții, softul secvențial este construit pe baza unor blocuri standard. Corectitudinea acestor programe este foarte rar demonstrată; mai degrabă se folosesc diferite variante de testare. Această metodologie bazată pe testare și depanare, nu se potrivește programării paralele din cel puțin două motive. În primul rând, spațiul stărilor care trebuie să fie testate este mult mai mare datorită partiționării și mapării. Depanarea ar fi extrem de dificilă pentru că, de exemplu, un simplu “checkpoint” ar fi extrem de dificil de construit. În al doilea rând, un programator ar putea face testarea doar pe o gamă redusă de arhitecturi țintă; prin urmare testarea nu ar implica o validare completă nici pentru stările considerate de testare.

Verificarea unui program după construcția sa nu este o tehnică larg răspândită și probabil nici nu va fi. Astfel, doar o metodologie de dezvoltare a programelor corect prin construcție poate fi avută în vedere. Folosirea unor asemenea metodologii pentru programarea secvențială este considerată de către mulți suflă, dar în cazul programării paralele este esențială. Spre deosebire de programarea secvențială unde folosirea unor asemenea metodologii este considerată a fi mult prea costisitoare în raport cu costul programului rezultat, în cazul programării paralele folosirea unei astfel de metodologii conduce nu doar la asigurarea corectitudinii dar și la micșorarea costurilor de dezvoltare.

Un program paralel este dificil de realizat fără structurarea, într-un fel sau altul, a procesului de construcție. Este deci necesară structurarea construcției și construcția corectă se poate face pe baza acestei structurări. O variantă foarte bună este de a adapta abordarea derivațională și de calcul a construcției programelor secvențiale pentru cazul paralel. Folosind această abordare, un program este construit pornind de la o specificație, care este rafinată în mod repetat, până se ajunge la o formă executabilă. Dacă este necesar, procesul de rafinare poate fi continuat pentru a se ajunge la o formă executabilă mai eficientă. Avantajele abordării acestei variante sunt:

- structurează procesul de dezvoltare, simplificând și micșorând pașii,
- evidențiază punctele de decizie, forțând programul să aleagă cum să fie făcut fiecare calcul, mai degrabă decât să folosească prima metodă disponibilă,
- furnizează o înregistrare a construcției programului, care servește ca și documentație,
- păstrează corectitudinea în timpul procesului, prin folosirea doar a transformărilor

pentru care este demonstrat faptul că păstrează corectitudinea; deci nu mai este nevoie de o demonstrație finală,

- demonstrațiile pentru proprietățile de păstrare a corectitudinii, trebuie făcute doar în timpul construcției sistemului de derivare.

3. **Independența de arhitectură.** Un model nu trebuie să înglobeze trăsături particulare ale unei arhitecturi, astfel încât un program dezvoltat pe baza modelului să nu necesite schimbări pentru a se executa pe diferite arhitecturi. Această cerință este esențială, dacă se are în vedere dezvoltarea pe scară largă a softului pentru calculatoare paralele.

Arhitecturile paralele au durată de viață relativ scurtă, datorită vitezei cu care se dezvoltă tehnologia procesoarelor și de interconectare. Și, pe de altă parte, este puțin probabil ca un calculator paralel nou să semene foarte mult cu arhitecturile pe care le înlocuiește. Pentru a impune programarea paralelă pe viitor este necesar să se izoleze softul de schimbările ce au loc la nivel de arhitectură.

Prin urmare, un model trebuie să nu depindă de caracteristicile nici unei arhitecturi. Această cerință nu ar fi dificil de realizat, datorită faptului că orice model suficient de abstract o poate satisface, dar este în opoziție cu alte cerințe asupra modelului, cum sunt de exemplu, cerințele asigurării unei implementări eficiente și de evaluare a costurilor.

4. **Simplitate.** Un model trebuie să fie simplu de înțeles și predat pentru a se putea asigura pregătirea de dezvoltatori de programe care să îl folosească. Această cerință este necesară dacă se dorește ca programarea paralelă să se impună în lumea informaticii aplicative. Dacă modelele de calcul paralel vor putea să ascundă complexitățile impuse de calculul paralel atunci mulți programatori vor putea să folosească calculul paralel. Aceasta ar putea duce la impunerea programării paralele pe scară largă.
5. **Implementare eficientă.** Un MCP trebuie să facă posibilă implementarea, pe întreaga gamă de arhitecturi existente, cu o eficiență rezonabilă pe fiecare. Nu este nevoie ca această cerință să fie respectată la un nivel la fel de ridicat ca și în cazul calculului de înaltă performanță ("high-performance computing"), deoarece pentru majoritatea aplicațiilor paralele, costul dezvoltării softului este mult mai mare decât orice costuri asociate cu timpul de execuție. Este suficient să se ceară ca timpii de execuție pe diferite arhitecturi paralele să fie de același ordin și diferențele dintre constante să nu fie prea mari. Este acceptabil chiar să existe diferențe logaritmice în performanță.

Pentru majoritatea problemelor (diferite de cele ce țin de calculul de înaltă performanță) asigurarea celei mai performante variante pentru o arhitectură dată, nu este o cerință chiar atât de stringentă, mai ales dacă aceasta s-ar obține pe baza unor costuri foarte ridicate de dezvoltare și de întreținere.

Anumite constrângeri ale arhitecturilor, bazate pe proprietățile de comunicare sunt bine fundamentate acum. O arhitectură este considerată a fi puternică dacă poate să execute orice aplicație eficient.

Cea mai puternică clasă de arhitecturi conține calculatoare MIMD cu memorie partajată și calculatoare MIMD cu memorie distribuită, pentru care capacitatea rețelei de interconectare crește mai repede decât numărul de procesoare – p , cu un factor de cel puțin $p \log p$. Pe un asemenea calculator, execuția unei aplicații arbitrare cu paralelism p care necesită un timp t , poate fi executată astfel încât costul $p * t$ să se conserve. Timpul estimat pentru un calcul abstract nu se poate regăsi pentru o implementare reală deoarece comunicațiile și accesurile la memorie impun întârzieri (“latencies”), care sunt în general proporționale cu diametrul rețelei. Totuși aceste întârzieri pot fi compensate prin folosirea multiprogramării. Arhitecturile din această clasă sunt foarte puternice, dar nu sunt scalabile datorită proporției mari a resurselor lor care sunt implicate în rețeaua hardware de interconectare.

O altă clasă de arhitecturi conține calculatoare MIMD cu memorie distribuită, pentru care capacitatea rețelei crește doar liniar cu numărul de procesoare (factor p). Aceste calculatoare sunt scalabile deoarece necesită doar un număr constant de legături de comunicație pentru fiecare procesor (vecinii unui procesor nu sunt modificați prin scalare) și deoarece doar o proporție constantă din resurse sunt afectate rețelei hardware. Costul execuției unei aplicații este în acest caz $p * t * d$, unde d este diametrul rețelei de interconectare. În execuția aplicațiilor arbitrare este posibil ca fiecare procesor să fie angrenat în câte o operație de comunicație, care ar necesita d pași. Arhitecturile din această clasă sunt deci scalabile, dar nu atât de puternice ca și cele din prima clasă.

Calculatoarele SIMD formează o clasă de calculatoare scalabile, dar ineficiente pentru aplicații arbitrare. Aceasta se datorează incapacității de a executa mai mult decât un mic număr de operații diferite simultan.

În general, timpul necesar comunicațiilor pentru un program poate fi micșorat în două moduri: fie prin reducerea numărului de operații de comunicație simultane, fie prin reducerea distanței pe care o traversează un mesaj.

6. **Măsuri de cost.** În afara timpului de execuție, care este critic pentru un program paralel, trebuie avute în vedere și alte metrici care permit evaluarea performanței unui program paralel.

În cazul programării secvențiale, interacțiunea dintre metricile de cost și procesul de proiectare este una relativ simplă. Procesul de proiectare trebuie să ia în calcul doar modificarea complexității asimptotice. Sau altfel spus, procesul de proiectare pentru programarea secvențială poate fi divizat în două părți: în prima, se iau decizii cu privire la algoritmi și costurile asimptotice ale programului ce pot fi afectate, iar în cea de-a doua, se are în vedere un sistem țintă și în funcție de acesta se pot lua anumite decizii de eficientizare (aranjarea textului sursă), dar care nu schimbă decât constantele din fața costurilor asimptotice.

În cazul programării paralele, chiar și mici schimbări în codul sursă sau schimbarea arhitecturii țintă pot conduce la modificări ale costurilor asimptotice ale unui program.

Prin urmare, un MCP trebuie să conțină un mecanism de determinare a costurilor pentru un program (timp de execuție, număr de procesoare, memorie folosită, etc.) încă din timpul ciclului de dezvoltare, într-un mod care să nu depindă critic de arhitectura țintă. Aceste măsuri de cost sunt singura cale de a decide în timpul dezvoltării, alegerea unui algoritm sau al altuia. Pentru a putea fi practice, asemenea măsuri de cost, trebuie să se bazeze pe selectarea câtorva proprietăți, deopotrivă ale arhitecturilor și a softului. Dacă se folosește o metodologie de dezvoltare a programelor bazată pe derivare, se poate impune ca măsurile de cost să formeze un calcul de cost. Un asemenea calcul permite evaluarea costului unui program, independent de evaluarea altora și permite ca transformările să fie clasificate după proprietățile lor de modificare a costurilor.

Această cerință pare a viola proprietatea de abstractizare a unui MCP. Nu se pot evalua cu acuratețe costurile unui program fără a avea ceva informații despre calculatorul pe care programul se va executa, dar ceea ce se cere este ca aceste informații să fie cât mai minimale posibil. Vom presupune că un model are măsuri de cost dacă este posibilă determinarea costului unui program din dimensiunea datelor de intrare, din textul său și din proprietățile minimale ale arhitecturii. Aceasta înseamnă că modelul trebuie să furnizeze *costuri predictive*.

Alte cerințe de măsurarea costurilor pentru un MCP sunt *compoziționalitatea* și *convexitatea*. Adică costurile unui întreg să poată fi calculate din costurile părților lui și costul total să nu poată fi redus prin creșterea unuia dintre părțile sale.

Reconcilierea între cerințe

Toate aceste proprietăți, care sunt de dorit pentru un MCP performant, sunt într-o oarecare măsură mutual exclusive și de aceea nu este ușor de a se găsi un echilibru între ele.

Modelele abstracte permit o construcție simplă a programelor, dar acestea sunt dificil de compilat în cod eficient, în timp ce modelele mai puțin abstracte fac dificilă construcția softului dar asigură implementare eficientă.

Cerințele teoretice pentru un MCP pot fi considerate metrici pentru clasificarea și compararea modelelor.

Nivelul de abstractizare va fi utilizat ca bază în gruparea acestora. Abstractizarea implică și nivelul de simplitate a modelului, deoarece un model abstract nu necesită specificarea detaliilor cu privire la structura proceselor, a comunicațiilor și a sincronizărilor. Abstractizarea este de asemenea în strânsă legătură cu metodologia de dezvoltare a softului, deoarece operațiile abstracte pot fi în general direct implementate dacă sunt corecte semantic.

În cazul în care structura programului de implementare este restricționată de structura programului abstract, cerințele de implementare eficientă și asigurării evaluării costurilor

se pot considera îndeplinite. Un model care permite o comportare perfect dinamică a proceselor nu va asigura o implementare eficientă sau măsuri de cost, pentru că acestea depind de interacțiunile dintre procese, care nu vor fi cunoscute exact decât la momentul execuției. În cazul în care nu se permite crearea dinamică de procese, este posibil totuși să nu se poată controla comunicațiile și acestea să nu poată fi limitate. Deci, doar în cazul unei structuri statice a programelor și comunicației limitate, cele două cerințe pot fi asigurate. Prin urmare, a doua bază de clasificare va fi constituită din controlul structurii și al comunicațiilor.

Este foarte probabil ca să nu se poate construi un model care să satisfacă toate cerințele și să fie satisfăcător pentru toți utilizatorii de calcul paralel din toate domeniile. Totuși modelele care satisfac în mare măsură cerințele enunțate sunt potențiali candidați pentru un paralelism de tip “scop general”, pentru aplicații paralele dintr-o gamă largă de domenii.

De asemenea, analiza modelelor de calcul paralel cu privire la modul în care acestea respectă cerințele ne conduce la posibilitatea alegerii celui mai potrivit model pentru clasa de probleme pe care o avem în vedere.

9.2 Clasificarea modelelor

În funcție de gradul lor de abstractizare modelele pot fi clasificate în șase mari categorii:

1. *Modele care abstractizează paralelismul complet.* Prin aceste modele se descrie doar scopul unui program nu și modul în care acest scop este realizat. Dezvoltatorii de programe care folosesc aceste modele nu vor ține cont de modul în care se vor executa programele – în paralel sau secvențial; ei doar specifică prin notațiile furnizate de către model ceea ce trebuie să realizeze programele. Aceste modele sunt foarte abstracte și relativ simple deoarece nu vor fi mai complexe decât un model pentru calcul secvențial.
2. *Modele în care paralelismul este explicit, dar partiționarea programelor în procese (componente) este implicită.* Datorită faptului că descompunerea în componente este implicită rezultă că și maparea, comunicarea și sincronizarea lor sunt tot implicite. Folosind aceste modele, programatorii țin cont de faptul că paralelismul va fi folosit și trebuie să evedențieze potențialul de calcul care poate fi paralelizat; ei vor ignora totuși măsura în care acest potențial va fi folosit la execuție. Aceste modele pretind în general evedențierea paralelismului maxim prezent în algoritm și apoi prin adaptarea algoritmului la o arhitectură țintă se reduce în mod corespunzător gradul de paralelism. Implicațiile legate de mapare, comunicare și sincronizare sunt analizate la momentul adaptării unui program descris cu ajutorul unui astfel de model pentru execuția pe o anumită arhitectură.
3. *Modele în care paralelismul și partiționarea sunt explicite, dar maparea, comunicația și sincronizarea sunt implicite.* În acest caz partiționarea se face explicit, dar nu sunt analizate implicațiile legate de mapare, comunicare și sincronizare a

componentelor rezultate. Aceste implicații sunt analizate ca și în cazul modelelor anterioare la implementarea programelor.

4. *Modele în care paralelismul, partiționarea și maparea sunt explicite, dar comunicația și sincronizarea sunt implicite.* În acest caz, programatorii nu trebuie doar să descompună calculul în procese, dar trebuie să analizeze și cum trebuie aceste procese să fie mapate pe diferitele procesoare ale unei arhitecturi paralele, pentru a se obține performanța. Aceste modele furnizează o anumită abstractizare pentru acțiunile de comunicare dintre procese. Cea mai dificilă parte a descrierii comunicației este necesitatea de a eticheta cele două capete ale fiecărei acțiuni de comunicare. Aproape toate modelele din această categorie încearcă să decupleze aceste două capete ale unei comunicații furnizând abstractizări de nivel înalt, prin șabloane de comunicare (“skeletons”) sau să folosească alte căi pentru specificarea comunicației. Deoarece localizarea are în general un efect important asupra performanței, tipul rețelei de interconectare trebuie să fie luat în considerare. Datorită acestui lucru este dificil de a construi programe portabile folosind asemenea modele.
5. *Modele în care paralelismul, partiționarea, maparea și comunicația sunt explicite, dar sincronizarea este implicită.* În acest caz aproape toate detaliile de implementare sunt analizate cu excepția deciziilor de sincronizare. În general aceasta se face prin considerarea unei semantici asincrone: mesajele sunt trimise, dar procesul care trimite nu poate depinde de momentul în care aceasta transmisie se face, și de asemenea trimiterea de mesaje multiple nu presupune recepționarea lor în ordinea trimiterii.
6. *Modele în care totul este explicit.* Majoritatea dintre primele modele de calcul paralel fac parte din aceasta categorie. Ele sunt destinate unui singur tip de arhitectură, gestionată în mod explicit. Este deci extrem de dificil de a construi programe folosind aceste modele datorită faptului că atât corectitudinea cât și performanța se asigură doar prin analiza atentă a foarte multor detalii – ceea ce poate duce la o complexitate foarte ridicată în construcția softului. Aceasta este clasa care include modelele bazate pe “message passing” cum sunt foarte cunoscutele PVM și MPI.

Pentru fiecare dintre aceste categorii se poate aplica o subclasificare în funcție de gradul de control al structurii și comunicației:

- *Modele în care structura proceselor este dinamică.* Structura proceselor fiind dinamică noi procese pot fi create în timpul execuției, iar altele pot fi distruse. În general, acestea nu sunt foarte eficiente datorită faptului că nu pot limita volumul de comunicație și astfel vor depăși capacitatea de comunicație a anumitor arhitecturi. De asemenea, nu pot defini măsuri de cost deoarece costurile programului depind de decizii care se vor lua la momentul execuției și deci nu pot fi evaluate la momentul proiectării.

- *Modele care sunt statice, dar nu limitează comunicația.* Nici acestea nu sunt în general eficiente, tot datorită nelimitării volumului de comunicație, dar pot defini măsuri de cost.
- *Modele care sunt statice și care limitează comunicația.* Aceste modele pot restricționa comunicația și astfel pot deveni eficiente. Se pot defini de asemenea măsuri de cost.

Tabelele 9.1 și 9.2 prezintă cele mai folosite modele de calcul paralel definite până în prezent, clasificate în funcție de criteriile date mai înainte.

Vom analiza pe rând aceste tipuri de modele de calcul paralel pentru a evidenția mai bine caracteristicile și diferențele dintre ele.

9.2.1 Paralelism implicit

Pentru programatori modelele de calcul paralel cele mai simplu de folosit sunt acelea în care nu trebuie să se evidențieze paralelismul în mod explicit. Ascunzându-se toate acțiunile care sunt necesare pentru a se executa un calcul paralel, programatorii pot folosi cunoștințele dobândite în dezvoltarea de programe secvențiale. Evident aceste modele sunt foarte abstracte și prin urmare sarcina implementatorilor nu este deloc ușoară deoarece transformarea, compilarea și sistemul de execuție trebuie să fie în concordanță cu structura programului. Aceasta înseamnă divizarea calculului în componente pentru execuție, maparea acestor componente și planificarea tuturor comunicațiilor și sincronizarea dintre acestea.

S-a crezut mult timp că translatarea automată a unui program abstract în implementare poate fi realizată eficient pornind de la un limbaj imperativ secvențial ordinar. Deși s-a investit foarte multă muncă în crearea de *compilatoare de paralelizare*, această abordare s-a dovedit nerealistă datorită dificultății de a determina dacă un anumit aspect al programului este esențial sau nu. Este un fapt cunoscut acum că procesul de translatare automată de nivel înalt este practic doar dacă începe de la un model ales cu grijă, care este în aceeași măsură abstract dar și expresiv.

Este posibil să se trateze toate detaliile necesare pentru obținerea unei implementări eficiente, independente de arhitectură, dar este în schimb extrem de dificil. În prezent doar foarte puține asemenea modele pot garanta implementări eficiente.

Modele cu structură dinamică

Programarea funcțională a introdus un nivel înalt de abstractizare în programare. Calculul este precizat folosind o mulțime de funcții și ecuații, iar rezultatul calculului este specificat fără a se preciza cum este obținut. Rezultatul calculului este o soluție, de obicei un punct fix, a acestor ecuații. Reprezintă un cadru de lucru în care programele sunt și abstracte și posibil a fi transformate formal folosind substituții ecuaționale. Problema implementării constă în a găsi soluția acestor ecuații.

Programarea funcțională de nivel înalt tratează funcțiile ca și λ -termeni și calculează valorile lor folosind reducerea din λ -calcul, permițând stocarea lor în structuri de date

Clasa	Dinamice	Stative	Stative și cu comunicații limitate
Paralelism implicit	Higher order functional – Haskell Concurrent Rewriting - OBJ, Maude Interleaving – UNITY Implicit Logic Languages – PPP, AND/OR, REDUCE/OR, Opera, Palm, concurrent constraint languages	Algorithmic Skeletons – PL3, Cole, Darlington	Homomorphic Skeletons – BMF Cellular Processing Languages – Cellang, Carpet, CDL, Cepron, Crystal
Paralelism explicit, Descompunere implicită	Dataflow – Sisal, Id Explicit Logic Languages – Concurrent Prolog, PARLOG, GHC, Delta-Prolog, Strand Multitisp	Data Parallelism using Loops – variante Fortran, Modula 3* Data Parallelism on types – pSETL, parallel sets, Gamma, PEL, MOA, Nial, AT	Data-Specific Skeletons – scan, multiprefix, paralations, dataparallel C, NESL, CamlFlight
Descompunere explicită, Mapare implicită		BSP, LogP	

Tabela 9.1: Clasificarea modelelor de calcul paralel.

Clasa	Dinamice	Statice	Statice și cu comunicații limitate
Mapare explicită, Comunicații implicite	Coordonation Languages – Linda, SDL Non-message Communication Languages – ALMS, PCN, Compositional C++ Virtual Shared Memory Annotated Functional Languages – ParAlf RPC - DP, Cedar, Concurrent CLU, DP	Graphical Languages – Enterprise, Parsec, Code Contextual Coordination Languages- Ease, ISETL-Linda, Opus	Communication Skeletons
Comunicații explicite, Sincronizare implicită	Process Networks – Actors, Concurrent Aggregates, ActorSpace, Darwin External OO – ABCL/1, ABCL/R, POOL-T, EPL, Emerald, Concurrent Smalltalk Objects and processes – Argus, Presto, Nexus Active Messages - Movie	Process Networks – static dataflow Internal OO - Mentat	Systolic Arrays - Alpha
Total explicit	Message Passing – PVM, MPI Shared Memory – FORK, Java, thread packages Rendezvous- Ada, SR, Concurrent C	Occam	

Tabela 9.2: Clasificarea modelelor de calcul paralel(cont.).

transmise ca parametri și returnate ca și rezultate. Un exemplu de asemenea limbaj, care folosește funcționale de nivel înalt, este Haskell [163]. Acesta include câteva caracteristici clasice ale programării funcționale cum sunt evaluarea întârziată, tipuri de date utilizator, potrivirea modelelor (“pattern matching”). Limbajul Haskell are chiar un sistem paralel de intrare-ieșire și permite lucrul cu module.

Tehnica folosită de limbajele funcționale de nivel înalt pentru calcularea valorilor funcțiilor se numește *reducere de graf* [145]. Funcțiile sunt exprimate ca și arbori cu subarbori comuni pentru subfuncțiile partajate, prin urmare prin grafuri. Regulile de calcul selectează substructuri ale grafului, le reduc la forme mai simple pe care apoi le înlocuiesc în graful inițial. Atunci când nu se mai poate face nici o reducere, graful rămas reprezintă rezultatul calculului.

Reducerea de graf poate fi paralelizată; se pot alege subgrafuri independente care se pot reduce în paralel. De exemplu, dacă trebuie să evaluăm o expresie ($exp1 * exp2$), unde $exp1$ și $exp2$ sunt expresii arbitrare, putem folosi două fire de execuție care evaluează independent $exp1$ și $exp2$.

Deși ideea este simplă, este destul de dificil de aplicat în practică. În primul rând, doar calculele care contribuie la rezultatul final ar trebui calculate, altminteri s-ar face risipă de resurse și s-ar putea ajunge, de asemenea, la alterarea semnificativă a programului, dacă un asemenea calcul eșuează (nu se termină). De exemplu, majoritatea limbajelor funcționale permit construcții condiționale de forma:

```
if b(x) then
  f(x)
else
  g(x)
```

Evident doar una dintre valorile $f(x)$ și $g(x)$ este necesară, dar acest lucru nu este cunoscut decât după ce valoarea $b(x)$ este cunoscută. Deci evaluarea mai întâi a valorii $b(x)$ va preveni calculul inutil, dar mărește lungimea drumului critic. Dacă se alege evaluarea valorilor $f(x)$ și $g(x)$ mai înainte, și de exemplu, calculul valorii $f(x)$ eșuează doar pentru valori ale lui x pentru care $b(x)$ este fals, atunci programul nu se va termina.

Reducerea de graf în paralel a avut un succes limitat pentru calculatoarele cu memorie partajată, iar pentru calculatoarele cu memorie distribuită eficiența folosirii ei este încă neobținută.

Asemenea sisteme sunt simple și abstracte și permit dezvoltarea de programe prin transformare, dar nu sunt eficient implementabile. Ceea ce se întâmplă la execuție este determinat dinamic de sistemul de execuție și prin urmare nu se pot furniza măsuri de cost.

Rescrierea concurrentă este o abordare asemănătoare în care se folosesc reguli de rescriere a unor părți de program. Și în acest caz programele sunt formate din termeni care descriu un anumit rezultat. Ele sunt rescrise prin aplicarea unor seturi de reguli aplicabile subtermenilor, în mod repetat, până când nu se mai poate aplica nici o regulă. Termenul rezultat este chiar rezultatul programului. Setul de reguli este ales astfel încât să fie con-

fluent (adică aplicarea regulilor pe subtermeni care se suprapun duce la același rezultat în final) și să asigure terminarea (nu există secvențe infinite de rescrieri). În acest fel, ordinea în care se aplică aceste reguli nu modifică rezultatul final. Exemple de asemenea modele sunt OBJ [66] - un limbaj funcțional cu o semantică bazată pe logică ecuațională și Maude [117].

Prezentăm un exemplu bazat pe unul din [109] care va da o idee despre cum se aplică aceste rescrieri. Considerăm un modul funcțional pentru derivarea polinomială. Regulile de rescriere sunt notate pe linii care încep cu **eq**, iar cele care încep cu **ceq** sunt reguli de rescriere condiționate.

```
fmod PolyDer is
  protected POLYNOMIAL .
  op der : Var Poly -> Poly .
  op der : Var Mon -> Poly .
  var A : Int .
  var N : NzNat .
  vars P Q : Poly .
  vars U V : Mon .
  eq der(P + Q) = der(P) + der(Q) .
  eq der(U . V) = (der(U) . V) + (U . der(V)) .
  eq der(A * U) = A * der(U) .
  eq der(X ^ N) = N * (X ^ (N-1)) if N>1 .
  eq der(X ^ 1) = 1 .
  eq der(A) = 0 .
endfm
```

O expresie cum este $\text{der}(X^5 + 3 * X^4 - X^2 + 3)$ poate fi calculată în paralel deoarece se pot aplica simultan mai multe reguli de rescriere.

Și aceste modele sunt simple și abstracte și permit dezvoltarea softului prin transformare, dar sunt dificil de implementat eficient și sunt prea dinamice pentru a putea defini măsuri de cost.

Întreșeserea este o abordare care derivă din ideile multiprogramării folosite în sistemele de operare prin modele de concurență cum sunt *sistemele de tranziție*. Dacă un calcul poate fi exprimat ca un set de subcalculi care comută astfel încât acestea pot fi efectuate în orice ordine și în mod repetat, atunci există o mare libertate pentru sistemul de implementare în a decide structura reală a executării calculului. Nu este foarte ușor de a exprima un calcul în această formă, dar exprimarea poate fi ușurată prin precedarea subcalculelor de *gărzi*, care sunt valori booleene. Informal, se poate considera că semantica programului în această formă este de a evalua fiecare gardă și apoi a executa unul sau mai multe subcalculi care au gărzile adevărate; iar această operație se repetă. Gărzile pot determina întreaga ordine de execuție a subcalculelor, chiar și cea secvențială, dacă se folosesc gărzi de tipul **pas=i**. Totuși intenția e de a folosi gărzi cât mai slabe.

Un model care folosește această abordare este UNITY - model care a fost prezentat pe larg în Capitolul 5.

Modele bazate pe întretesere sunt simple și abstracte, dar nu par a fi eficient implementabile și nu se pot defini măsuri de cost.

Limbajele logice paralele implicite exploatează faptul că procesul logic de rezoluție conține multe activități care se pot executa în paralel. Principalele tipuri de paralelism în programele logice sunt: paralelismul OR și paralelismul AND. Paralelismul OR este exploatat prin unificarea în paralel a unui subscop prin potrivirea cu capurile mai multor clauze. De exemplu, dacă trebuie rezolvat subscopul $? - a(x)$ și clauzele de potrivire sunt

$$a(x) : -b(x). \quad a(x) : -c(x).$$

atunci prin paralelismul OR se unifică în paralel $a(x)$ cu cele două clauze.

Paralelismul AND divide calculul scopului în mai multe fire, fiecare dintre acestea rezolvând un singur subscop în paralel. De exemplu dacă trebuie rezolvat scopul:

$$? - a(x), b(x), c(x).$$

atunci subscopurile $a(x), b(x), c(x)$ sunt rezolvate în paralel.

Limbajele logice paralele implicite determină descompunerea automată a arborelui de execuție a unui program logic într-o rețea de fire de execuție paralele. Aceasta se realizează de limbaj atât printr-o analiză statică la compilare cât și la momentul execuției. Nu sunt necesare adnotări explicite ale programului. Exemple de asemenea limbaje sunt: PPP[57], modelul proces AND/OR [40], modelul REDUCE/OR [94], OPERA [27], PALM [28]. Aceste modele diferă prin modul în care este văzut paralelismul, dar sunt proiectate în principal pentru a fi implementate pe sisteme MIMD cu memorie distribuită. Pentru a implementa paralelismul, aceste modele folosesc fie fire de execuție, fie strategii bazate pe subarbori. Aceste abordări corespund unor granularități diferite: în modelele bazate pe fire de execuție granularitatea este fină, iar în cele bazate pe subarbori granularitatea este medie sau brută.

Ca și celelalte modele prezentate anterior în această secțiune, aceste modele sunt simple și abstracte dar nu pot fi implementate eficient. Totuși există și excepții, unele dintre ele conducând la o performanță foarte bună. Măsuri de cost nu pot fi definite datorită faptului că limbajele logice implicite sunt foarte dinamice.

Programarea logică prin constrângeri este o importantă generalizare a programării logice, prin care se înlocuiește mecanismul de unificare prin potrivirea modelului ("pattern matching") cu o operație mai generală numită satisfacerea constrângerilor ("*constraint satisfaction*"). În acest cadru, o constrângere este o submulțime a spațiului tuturor valorilor posibile pe care o variabilă o poate lua. Programatorul nu folosește explicit construcții paralele în program, dar definește un set de constrângeri pe variabile. În programarea concurentă logică prin constrângeri, un calcul evoluează prin executarea firelor de execuție care comunică concurent, prin plasarea constrângerilor într-un spațiu global, iar sincronizarea se face prin verificarea dacă o constrângere este determinată de acest spațiu. Firele de execuție corespund unor scopuri atomice și deci sunt activate în mod dinamic în timpul execuției programului. Modelele de programare concurentă logică prin constrângeri includ limbajul *cc* [150] și limbajele CHIP CLP [86], CLP [92]. Ca și pentru alte modele paralele logice și acestea sunt prea dinamice pentru a se putea defini măsuri de cost.

Modele cu structură statică

Dacă impunem ca un program abstract să fie construit pe baza unor unități sau componente fundamentale a căror implementare este predefinită, atunci structura necesară pentru a executa acel program abstract se poate deduce fără probleme. Deci o abordare posibilă în construcția programelor paralele este de a conecta blocuri de construcție gata făcute, aceasta având următoarele avantaje:

- Blocurile de construcție măresc nivelul de abstractizare pentru că reprezintă unități fundamentale cu care programatorul lucrează. Ele ascund o parte însemnată a complexității interne.
- Blocurile de construcție pot reprezenta calcul paralel, dar pot fi compuse secvențial, astfel încât programatorul nu trebuie să evidențieze paralelismul explicit.
- Implementarea blocurilor de construcție trebuie să fie făcută doar odată pentru fiecare arhitectură. Această implementare poate fi făcută de către specialiști, astfel încât să se ajungă a soluții eficiente.

În contextul programării paralele asemenea blocuri au fost numite “*skeletons*” (șabloane) [35]. În Secțiunea 4.13 a Capitolului 4 am prezentat pe scurt avantajele lucrului cu aceste șabloane. De asemenea, în Capitolul 7 am analizat formalismul BMF, unde s-a evidențiat rolul de șablon al funcțiilor *map* și *reduce*.

În această secțiune, ne vom focaliza atenția asupra șabloanelor algoritmice (“*algorithmic skeletons*”), acele șabloane care încapsulează structuri de control. Fiecare șablon de acest fel corespunde unui algoritm standard sau unui fragment de algoritm, iar aceste șabloane pot fi compuse secvențial. Pentru fiecare arhitectură, compilatorul va alege modul în care fiecare algoritm încapsulat este implementat și cum se exploatează paralelismul intra- și inter- șabloane pentru fiecare arhitectură țintă.

Un exemplu al acestei abordări este limbajul de programare paralelă Pisa (P^3L) [43], care folosește un set de șabloane algoritmice care cuprind paradigme comune ale programării paralele cum sunt: *pipeline*, *worker farms* și *reductions*. De exemplu, pentru paradigma *worker farm* se folosește constructorul *farm*:

```
farm P in (int data) out (int result)
  W in (data) out (result)
  result = f(data)
end
end farm
```

Când șablonul este executat, un număr de componente (workers, tasks) W se execută în paralel cu două procese P (emițătorul și colectorul). Fiecare componentă execută funcția $f()$ pe partea sa de date.

Cole [35, 36] a dezvoltat șabloane similare, pentru care a furnizat de asemenea și măsuri de cost. S-au dezvoltat șabloane și pentru *reduce* și *map over pairs*, *pipeline* și *farms* [44].

Șabloanele algoritmice sunt simple și abstracte. Sunt posibile implementări eficiente pentru șabloane și de asemenea și măsuri de cost. Totuși datorită faptului că programele sunt dezvoltate printr-o compunere de șabloane, expresivitatea limbajului de programare abstract este discutabilă.

Modele cu structură statică și comunicație limitată

Există și abordări care folosesc șabloane ce limitează comunicația, în general datorită faptului că încorporează și informație geometrică a datelor.

Șabloanele omeomorfe bazate pe tipuri de date, derivate din formalismul BMF reprezintă un asemenea model. Șabloanele acestui model se bazează pe anumite tipuri de date cum sunt listele, tablourile, arborii și altele. Toate omeomorfismele pe un tip de date pot fi exprimate ca o instanță a unui singur șablon de calcul recursiv, astfel încât pașii de implementare trebuie făcuți doar o dată pentru fiecare tip de dată. Mai multe despre această abordare au fost prezentate în Capitolul 7.

Această abordare este simplă și abstractă și generează un mediu de transformări ecuaționale. Șablonul de comunicație necesar pentru fiecare tip de dată este cunoscut ca o topologie standard pentru acel tip. Se pot construi implementări eficiente dacă această topologie standard poate fi scufundată eficient pe rețeaua de interconectare a arhitecturii țintă. Datorită faptului că atât calculul cât și comunicațiile sunt determinate în avans, pot fi furnizate măsuri de cost.

Un alt model care se încadrează în această clasă îl formează *limbajele de procesare celulară* bazate pe modelul de execuție a automatelor celulare. Un automat celular constă dintr-o latică de celule de dimensiune n , posibil infinită. Fiecare celulă este conectată la un număr limitat de celule adiacente. O celulă are o stare care este aleasă dintr-un alfabet finit. Starea globală a automatului celular este determinată complet de valorile stărilor celulelor. Starea fiecărei celule este dată de o variabilă simplă sau structurată care ia valori într-o mulțime finită. Stările tuturor celulelor sunt actualizate simultan, periodic, la intervale de timp discrete. Celulele își actualizează valorile folosind o funcție de tranziție, care preia ca intrare starea curentă a celulei locale și a câtorva celule vecine aflate la o distanță mărginită.

Exemple de asemenea limbaje sunt Cellang [54], CARPET [159], CDL și CEPROL [154]. Ele permit decrierea algoritmilor celulari prin definirea stării celulelor ca variabile tipizate sau ca o înregistrare de variabile tipizate și printr-o funcție de tranziție care conține regulile de evoluție ale automatului. Aceste limbaje folosesc modelul SIMD sau SPMD în funcție de clasa arhitecturii țintă. În varianta SPMD, algoritmi celulari sunt implementați ca o colecție de procese cu granularitate medie, mapate pe diferite elemente de procesare. Fiecare proces execută același program (funcția de tranziție) pe date diferite (starea celulelor). Astfel, toate procesoarele execută în paralel aceeași transformare din care rezultă o transformare globală a automatului. Comunicațiile apar doar între celulele vecine, iar șablonul de comunicație este cunoscut static. Aceasta duce la implementări scalabile și eficiente atât pentru arhitecturile MIMD cât și pentru SPMD. Pot fi furnizate și măsuri de cost.

Crystal este un alt model care se bazează exploatarea aranjamentului geometric al

datelor [33]. Acesta este un limbaj funcțional cu tipuri de date adăugate, numite *domenii index*, necesare pentru a reprezenta geometria datelor. Caracteristica distinctivă constă în faptul că domeniile index pot fi transformate și transformările se reflectă în partea de calcul a programelor. Este simplu și abstract și posedă un sistem transformațional bazat atât pe semantica funcțională cât și pe transformările domeniilor index. Domeniile index reprezintă o modalitate flexibilă de a incorpora topologia rețelei de interconectare a arhitecturii țintă în derivări și, de asemenea, Crystal posedă un set de măsuri de cost care pot ghida aceste derivări.

9.2.2 Descompunere implicită

A doua clasă conține modele pentru care paralelismul este explicit dar descompunerea în componente de calcul (fire de execuție, procese, ...) este implicită. În aceste modele, programatorii sunt conștienți că paralelismul va fi folosit și trebuie să exprime cât mai bine potențialul de paralelizare al programelor, dar nu știu exact cât paralelism va fi folosit de fapt la execuție. Ele necesită deseori ca programul să exprime paralelismul maximal al algoritmului și apoi se reduce gradul paralelismul pentru a se adapta arhitecturii țintă.

Modele cu structură dinamică

Dataflow [87] reprezintă un model care exprimă calculele ca și operații cu intrări și ieșiri explicite; operațiile pot fi în principiu de orice mărime, dar sunt în general mici. Execuția acestor operații depinde doar de dependențele lor de date, adică o operație se execută doar după ce toate intrările ei sunt calculate. Operațiile care nu au dependențe mutuale de date pot fi executate concurrent.

Operațiile unui program de tip dataflow se consideră a fi conectate de căi care exprimă dependențele de date și pe aceste căi are loc curgerea fluxului de date. Aceste programe pot fi considerate colecții de funcții de ordin unu. Descompunerea este implicită deoarece compilatorul poate divide graful de execuție în orice mod. Procesoarele execută operații într-o ordine care este determinată doar de datele valabile la un anumit moment. Deoarece operațiile care au dependențe directe între ele se execută la mari diferențe de timp, foarte posibil pe procesoare diferite, localizarea spațială nu aduce nici un avantaj. Prin urmare, descompunerea are un efect foarte mic asupra performanței.

Descompunerea se poate face automat prin descompunerea programului în operații cât mai mici și apoi clusterizarea (gruparea) lor pentru a obține componente de dimensiuni corespunzătoare pentru a fi executate de procesoarele arhitecturii țintă. Chiar și alocarea aleatoare a operațiilor pe procesoare conduce la performanțe bune pentru multe din sistemele dataflow.

Comunicația nu se face explicit în programe. Apariția unui nume ca rezultat al unei operații este asociată cu toate locurile unde acel nume reprezintă o intrare a unei operații. Deoarece operațiile se execută doar când toate intrările lor sunt disponibile, comunicația va fi întotdeauna asincronă.

Limbajele dataflow abordează diferite variante pentru a exprima operații repetitive. Limbaje precum Id [53] și Sisal [116] sunt limbaje funcționale de ordin întâi (cu atri-

buire singulară). Ele au structuri sintactice asemănătoare ciclurilor, care creează un nou context pentru fiecare execuție a “corpului ciclului” (de aceea ele seamănă cu limbajele imperative cu excepția faptului că fiecare nume de variabilă poate fi setat doar o dată într-un context).

În limbajul Sisal, de exemplu, paralelismul nu este explicit la nivelul codului sursă. Totuși, sistemul de execuție al limbajului poate exploata paralelismul; corpurile ciclurilor pot fi programate a fi executate simultan și apoi se colectează rezultatele lor.

Limbajele dataflow sunt simple și abstracte dar nu au o metodologie naturală de dezvoltare a programelor. Ele pot fi implementate eficient; de exemplu Sisal obține o performanță comparabilă cu cele mai bune compilatoare Fortran, pe arhitecturi cu memorie partajată. Dar pe sistemele cu memorie distribuită nu se obține eficiență. Măsurile de cost nu pot fi definite datorită faptului că planificarea operațiilor se face mai ales în timpul execuției.

Limbajele logice explicite, numite și limbaje logice concurente, specifică paralelismul explicit. Exemple de asemenea limbaje sunt PARLOG [74], Delta-Prolog [143], Concurrent Prolog [152], GHC și Strand [60].

Aceste limbaje pot fi considerate ca o nouă interpretare a clauzelor Horn, o interpretare proces. Conform acestei interpretări, un scop atomic $\leftarrow C$ poate fi văzut ca și un proces, un scop conjunctiv $\leftarrow C_1, C_2, \dots, C_n$ ca și un proces rețea, iar o variabilă logică partajată de două subscopuri poate fi văzută ca și un canal de comunicație între cele două procese. Paralelismul se obține prin îmbogățirea unui limbaj precum Prolog cu un set de mecanisme de adnotare a programelor. De exemplu, unul dintre aceste mecanisme este adnotarea variabilelor logice partajate pentru a se asigura că ele sunt instanțiate doar de un singur subscop.

Un program într-un limbaj logic concurent este format dintr-o mulțime de clauze gardate:

$$H \leftarrow G_1, G_2, \dots, G_n \mid B_1, B_2, \dots, B_m. \quad n, m \geq 0$$

unde H este capul clauzei, mulțimea G_i este garda și B_i este corpul clauzei. Operațional, garda este un test care trebuie evaluat cu succes cu unificarea capului pentru clauza care va fi aleasă. Simbolul \mid este numit operator “*commit*” și este folosit ca o conjuncție între gardă și corp. Dacă garda este vidă, atunci operatorul \mid este omis.

Citirea declarativă a unei clauze gardate este: H este adevărată dacă atât conjuncțiile G_i cât și B_i sunt adevărate. Conform interpretării proces, pentru a rezolva H este necesar a se rezolva garda G_i și dacă rezoluția sa este cu succes atunci B_1, B_2, \dots, B_m se rezolvă în paralel.

În aceste limbaje este necesară specificarea explicită, folosind adnotări, ce precizează ce clauze pot fi rezolvate în paralel. De exemplu, în PARLOG, separatorii de clauze \cdot și $;$ controlează căutarea clauzelor candidate. Pentru fiecare grup de clauze separate prin \cdot se încearcă execuția în paralel. Clauzele care urmează după un $;$ sunt încercate doar dacă toate clauzele care preced $;$ au fost găsite ca fiind clauze care nu pot fi candidat.

Deși limbajele logice concurente extind ariile de aplicații ale programării logice de la inteligența artificială la aplicații la nivel sistem, totuși adnotarea programelor impune un

stil de programare diferit. Acestea diminuează natura declarativă a programării logice prin faptul că impune ca exploatarea paralelismului să fie responsabilitatea programatorului.

Multilisp [82] este un alt limbaj de programare simbolic în care paralelismul se realizează explicit. Acesta este o extensie a limbajului Lisp în care oportunitățile de paralelism sunt create prin *futures*. În implementarea limbajului există o corespondență unu-la-unu între fire de execuție și *futures*. O *future* aplicată unei expresii creează un fir de execuție pentru a evalua aceea expresie în paralel. Expresia (**future X**) returnează o suspensie pentru valoarea *X* și creează un fir de execuție pentru a evalua concurrent *X*, permițând astfel paralelismul între două procese dintre care unul calculează valoarea și unul o folosește. După ce valoarea *X* este calculată aceasta înlocuiește expresia **future**. Aceste *futures* reprezintă un model de reprezentare a valorilor parțial calculate. Construcția *future* generează un stil de programare asemănător cu cel din modelul *dataflow*.

Modele cu structură statică

Analiza algoritmilor din punct de vedere a situațiilor, în care aceeași operație este aplicată unor date diferite și aceste aplicații nu interacționează, a dus la apariția paralelismului de date. Aceste situații implică folosirea de tablouri și pot fi văzute mai abstract ca instanțieri ale funcționalei *map*. Astfel s-a ajuns a se considera paralelismul de date ca o abordare generală în care programele sunt compuneri de operații monolitice aplicate obiectelor unui tip de date și care produc operații de același tip.

Se disting două abordări pentru descrierea paralelismului: prima bazată pe cicluri paralele și cea de-a doua bazată pe operații monolitice pe tipuri de date.

Considerăm limbajul Fortran îmbogățit cu instrucțiunea **ForAll**, în care iterațiile corpului ciclului sunt conceptual independente și pot fi executate concurrent. De exemplu, instrucțiunea

```
ForAll (I=1:N, J=1:M)
  A(I,J) = I * B(J)
```

poate fi executată în paralel pe un calculator paralel. Trebuie însă ca ciclurile să nu refere aceleași locații de memorie. Această cerință nu se poate verifica automat, în general, și de aceea majoritatea dialectelor de Fortran de acest fel lasă în responsabilitatea programatorului realizarea acestei verificări. Aceste cicluri sunt instanțe *map*, deși nu sunt aplicate întotdeauna asupra unui singur obiect de date

Multe dialecte de Fortran, cum este și High Performance Fortran (HPF) [88] folosesc acest tip de paralelism la care se mai adaugă și un paralelism mai direct prin includerea unor construcții pentru specificarea modului în care structurile de date se alocă pe procesoare, cât și a unor operații pentru alte calcule paralele pe date, cum sunt reducerile.

Au fost dezvoltate și limbaje cu paralelism de date bazate pe alte tipuri de date, diferite de tablouri. Asemenea exemple sunt: parallel SETL, parallel sets, Gamma și PEI. Limbajul paralel SETL este un limbaj asemănător limbajelor imperative cu operații paralele pe colecții. De exemplu, produsul interior pentru înmulțirea matricelor se face

astfel:

$$c(i, j) := +/\{a(i, k) * b(k, j) : k \text{ over } \{1..n\}\}$$

Gamma este un limbaj cu operații paralele pe mulțimi finite.

Limbajele cu paralelism de date simplifică programarea prin faptul că operații care necesită ciclare în limbajele paralele de nivel jos pot fi scrise ca operații singulare. Maparea naturală pe arhitecturi, a operațiilor paralele pe date, cel puțin pentru tipurile simple, determină implementări eficiente și posibilitatea definirii unor măsuri de cost.

Modele cu structură statică și cu comunicație limitată

Limbajele cu paralelism de date descrise anterior au fost dezvoltate avându-se în prim plan construcția programelor. Există și limbaje care au fost dezvoltate plecând de la caracteristici arhitecturale. Din această cauză, ele pun mai mult accent pe comunicațiile care au loc la calcularea fiecărei operații.

Arhitectura Connection Machine 2 a inspirat o varietate de limbaje, operațiile de bază fiind operații paralele pe liste. Aceste operații includ în general operația *map*, operații *reduce* și posibil și operații *scan* și de permutare. Exemple de asemenea limbaje sunt: *scan*, *multiprefix*, *paralations*, limbajul paralel C^* , modelul *scan-vector*, *NESL* și *CamlFlight*. Acestea sunt în general simple și destul de abstracte. De exemplu, C^* este o extensie a limbajului C care încorporează trăsături ale modelului paralel SIMD. Paralelismul este implementat prin definirea unor tipuri de date paralele. Programele C^* mapează variabilele unui tip de date particular definit ca fiind paralel prin cuvântul cheie *poly*, pentru a separa elementele care se procesează. În acest fel, fiecare element de procesare execută în paralel aceeași instrucțiune pentru fiecare instanță a tipului de date specificat.

Limbajele cu paralelism de date furnizează în general implementări eficiente pe cel puțin câteva arhitecturi. Se pot defini pentru ele și măsuri de cost destul de precise. Punctul lor slab constă în faptul că operațiile paralele sunt alese în funcție de ceea ce poate fi implementat eficient și prin urmare, nu există o bază pentru o metodologie formală de dezvoltare a softului.

9.2.3 Descompunere explicită

Modelele de acest tip impun ca programele abstracte să specifice componentele în care sunt divizate, dar fără a preciza plasarea acestor componente pe procesoare și modul în care se face comunicarea.

Modele cu structură statică

Singurele exemple din această clasă sunt cele pentru care se renunță la obținerea *localității* datelor asigurându-se faptul că maparea nu va influența performanța.

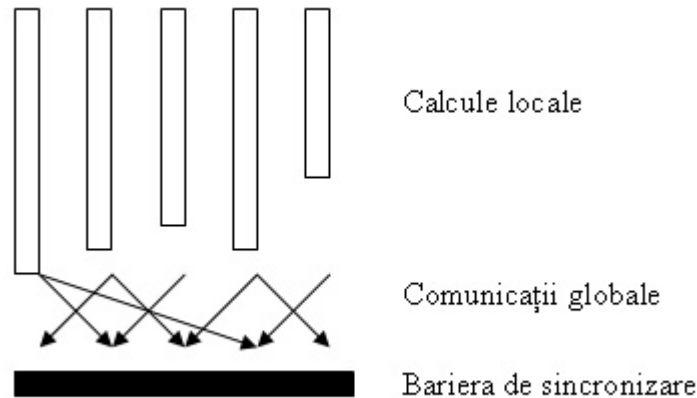


Figura 9.1: Un superpas BSP.

Bulk Synchronous Parallelism (BSP) [166] este un model în care caracteristicile rețelei de interconectare sunt evidențiate prin câțiva parametrii arhitecturali. O mașină BSP abstractă constă într-o colecție de p procesoare abstracte, fiecare cu memorie locală, conectate printr-o rețea de interconectare pentru care singurele proprietăți care interesează sunt timpul necesar executării unei bariere de sincronizare (l) și timpul în care o dată aflată la o adresă aleatoare poate fi transmisă (g). Acești parametrii pot fi determinați experimental pentru fiecare sistem paralel.

Un program abstract BSP constă din p componente și este împărțit în *superpași*. Fiecare superpas constă din: un calcul pe fiecare procesor, care folosește doar valori locale; o comunicație globală de la fiecare procesor la orice submulțime de procesoare și o barieră de sincronizare. La sfârșitul superpasului, rezultatele comunicațiilor globale devin vizibile în memoria fiecărui procesor. Structura unui superpas este prezentată în Figura 9.1. Dacă maximul calculului global pentru un superpas necesită w unități de timp și numărul maxim de valori trimise sau recepționate de orice procesor este h , atunci timpul total pentru acel superpas este

$$t = w + hg + l$$

(unde g și l sunt parametrii rețelei definiți anterior). Astfel este ușor de determinat costul global al unui program.

Programele BSP trebuie să fie descompuse în componente de calcul, dar plasarea lor pe procesoare se va face automat. Comunicația va fi determinată de maparea componentelor, iar sincronizarea are loc pentru toate componentele.

Modelul este simplu și destul de abstract, iar măsurile de cost ale unui program pe orice arhitectură sunt reale. Implementările sunt eficiente pe cât de eficient poate fi un program BSP (este posibil să existe pentru aceeași problemă, programe dezvoltate folosind alte modele care să fie mai eficiente).

Implementările curente ale modelului BSP folosesc biblioteci SPMD bazate pe C sau Fortran. În modelul Oxford BSP, se furnizează operații put care pun o dată în memoria

locală a unui alt procesor, operații *get* care preiau o dată din memoria locală a unui alt procesor și operații pentru sincronizare. În continuare, este prezentat un exemplu pentru calculul sumelor prefix:

```
int prefixsums(int x) {
    int i, left, right;
    bsp_pushregister(&left, sizeof(int));
    bsp_sync();
    right = x;
    for(i=1;i < bsp_nprocs();i*= 2) {
        if (bsp_pid()+i < bsp_nprocs())
            bsp_put(bsp_pid()+i,&right, &left, 0, sizeof(int));
        bsp_sync();
        if (bsp_pid() >= i) right = left +right;
    }
    bsp_popregister(&left);
    return right;
}
```

Operațiile `bsp_pushregister` și `bsp_popregister` sunt folosite pentru a da posibilitatea fiecărui proces să refere variabile dintr-un alt proces prin nume, chiar dacă acestea au fost alocate în memoria heap sau pe stivă.

O abordare asemănătoare este LogP [41] care folosește procese similare, cu contexte locale, actualizate de comunicații globale. Nu sunt folosite bariere de sincronizare globale în LogP. Modelul LogP a fost construit ca un model abstract care să capteze realitatea tehnologică a calculului paralel. Se folosesc patru parametri: întârzierea (L), timpul de overhead (o), lărgimea de bandă (g) și numărul de procesoare (P). Cu toate acestea, LogP nu este un model mai puternic decât BSP, care este mult mai simplu.

9.2.4 Mapare explicită

Modelele din această clasă specifică descompunerea programelor în componente și de asemenea și cum sunt asignate aceste componente de calcul pe procesoare, dar furnizează câteva abstractizări referitor la operațiile de comunicație. Partea dificilă a descrierii unei comunicații constă în necesitatea specificării celor două etichete ale capetelor fiecărei comunicații și asigurării potrivirii între aceste specificații. Modelele din această clasă încearcă să simplifice această descriere fie prin decuplarea dintre cele două capete ale fiecărei comunicații, fie prin furnizarea unui nivel înalt de abstractizare dat de șabloane de comunicații, fie prin furnizarea unor modalități mai bune pentru specificarea comunicației.

Modele cu structură dinamică

Limbafele de coordonare simplifică comunicația prin separarea aspectelor ce țin de calcul de cele ce țin de comunicație și prin furnizarea unui limbaj separat pentru specificarea comunicației. Această separare face ca partea de calcul și cea de comunicație să fie ortogonale una față de cealaltă și astfel un anumit stil de coordonare poate fi aplicat la orice limbaj secvențial.

Cel mai cunoscut exemplu este Linda [29] care înlocuiește comunicația punct-la-punct cu un spațiu partajat în care valorile datelor sunt plasate de către procesoare și de unde sunt extrase în mod asociativ. Acest spațiu este numit *spațiu de tuple* ("tuple space"). Modelul de comunicare Linda conține trei operații:

1. *in* – prin care se șterge un tuplu din spațiul de tuple, în funcție de aritate sa și de valorile anumitor câmpuri;
2. *read (rd)* – care este similară cu *in*, doar că se copiază tuplul corespunzător din spațiul de tuple;
3. *out* – prin care se scrie un tuplu în spațiul de tuple.

De exemplu, operația *read*: `rd("Romania", ?X, "Europa")` caută în spațiul de tuple tuplele cu trei elemente dintre care primul este egal cu "Romania", ultimul cu "Europa" și cel din mijloc de același tip cu variabila X. În afara acestor operații, Linda definește și o operație *eval(t)* prin care se creează implicit un nou proces care evaluează tuplul t și îl inserează în spațiul de tuple.

Operațiile limbajului Linda separă părțile de transmisie și recepție a unei comunicații – procesul care "transmite" nu are cunoștința de procesul care "recepționează" și nici nu știe dacă acesta există. Modelul Linda impune gestiunea descompunerii, dar reduce complexitatea comunicației. Din păcate, un spațiu de tuple nu este în mod obligatoriu eficient implementabil și nu se pot furniza măsuri de cost. Chiar mai mult, este posibilă situația de "deadlock" în Linda.

Pentru Linda s-a încercat și dezvoltarea unei metodologii de dezvoltare a softului. Linda Program Builder (LPB) este un mediu de programare de nivel înalt care ajută la proiectarea și dezvoltarea programelor Linda [4]. Acest mediu ghidează programatorul în proiectarea, codificarea, monitorizarea și execuția programelor Linda.

Limbafele cu comunicație nebazată pe mesaje reduc overhead-ul de gestiune al comunicațiilor prin tratarea comunicațiilor în mod mai natural firelor de execuție. De exemplu, ALMS tratează transmiterea de mesaje ca și când canalele de comunicație ar fi mapate în memorie. Referința la anumite variabile mesaj care apar în diferite fire de execuție se comportă ca și un transfer de mesaj de la un fir la cealaltă. PCN și Compositional C++ ascund de asemenea comunicațiile prin folosirea variabilelor de unică folosință. Încercarea de a citi dintr-una din aceste variabile blochează firul dacă nu s-a plasat anterior o valoare în variabilă de către alt fir.

Limbajul PCN este bazat pe două concepte foarte simple: compoziție concurentă și variabile cu o singură atribuire. Aceste variabile se numesc variabile *definiție*. Compoziția concurentă permite execuția paralelă a blocurilor de instrucțiuni specificate, fără a preciza cum vor fi mapate pe procesoare aceste blocuri. Procesele care partajează o variabilă

definiție pot comunica prin intermediul ei. De exemplu, în următoarea compoziție paralelă

{ || producator(X), consumator(X) }

cele două procese `producator` și `consumator` pot folosi variabila `X` pentru a comunica indiferent de locația lor pe calculatorul paralel.

Virtual shared memory este extensia logică a mapării comunicației în memorie. În acest caz se folosește o abstractizare care definește un singur spațiu de adrese partajat.

Limbajele funcționale adnotate permit programatorilor să furnizeze informație în plus despre cele mai potrivite moduri de a descompune calculul în componente și de plasare a lor. În acest caz, sarcina compilatorului este mult ușurată. Se folosesc tot regulile clasice de reducere și astfel comunicația și sincronizarea determinată de mapare decurge în același mod ca și în cazul reducerii de graf pure.

Un exemplu de asemenea limbaj este limbajul funcțional `Paralf`, care se bazează pe evaluare întârziată, la cerere. Totuși limbajul permite utilizatorului să controleze ordinea de evaluare prin adnotări explicite. În `Paralf` comunicația și sincronizarea sunt implicite, dar furnizează o notație de mapare prin care se specifică ce expresii să fie evaluate și pe ce procesor. De exemplu, expresia

$$(f(x) \text{ \$on } (\$self + 1)) * (h(x) \text{ \$on } (\$self))$$

specifică faptul că expresia $f(x)$ se va calcula pe procesorul vecin, în paralel cu calculul expresiei $h(x)$.

Remote Procedure Call (RPC) este mecanism care reprezintă o extensie a clasicului apel de procedură. Un RPC este un apel de procedură între două procese distincte: apelant și receptor. Când un proces apelează o procedură la distanță de pe alt proces, receptorul execută codul corespunzător procedurii și trimite procesului apelant parametrii de ieșire. Ca și conceptul de “rendezvous”, RPC este o formă de cooperare sincronă. În timpul execuției procedurii procesul apelant este blocat și este reactivat doar după primirea rezultatelor. Sincronizarea completă RPC poate duce la limitarea exploatării la un nivel înalt a paralelismului dintre procesele care sunt parte a unui program concurrent. Pentru a micșora acest efect, majoritatea sistemelor bazate pe RPC folosesc fire de execuție. Exemple de limbaje care folosesc RPC sunt: DP, Cedar și Concurrent CLU.

Modele cu structură statică

Limbajele grafice simplifică descrierea comunicațiilor prin faptul că permit ca acestea să fie inserate grafic la un nivel înalt și structurat. De exemplu, limbajul `Enterprise` clasifică unitățile de program pe baza tipului și inserează o structură de comunicație automat bazat pe tip. Limbajul `Parsec` permite unităților de program să fie conectate pe baza unei mulțimi de șabloane de conectare predefinite. Descompunerea în aceste modele este explicită, dar comunicația este mai simplă de descris. Șabloanele de comunicație se aleg în funcție de necesități, mai degrabă decât bazat pe eficiență și astfel nu pot fi garantate implementări eficiente și nici măsuri de cost.

Limbafele de coordonare cu contexte extind ideea folosită de limbajul Linda. Una din slăbiciunile existente în Linda este că se furnizează doar un singur spațiu de tuple global și astfel se exclude dezvoltarea modulară. Limbajul Ease extinde modelul Linda preluând idei de la limbajul Occam. Ease lucrează cu mai multe spații de tuple numite *contexte* și care sunt vizibile doar anumitor fire de execuție. Deoarece firele de execuție care pot folosi un context particular sunt cunoscute, contextele pot prelua anumite proprietăți ale canalelor definite în Occam. Firele de execuție citesc și scriu date în contexte ca și cum ar fi spații de tuple, folosindu-se potrivirea asociativă. Dar se poate folosi și un alt set de primitive prin care se mută date într-un context și se poate renunța la statutul de proprietate asupra datelor, sau se pot extrage date dintr-un context odată cu ștergerea lor. Asemenea operații pot folosi transmiterea prin referință, pentru a se garanta faptul că datele sunt referite doar de un fir de execuție la un moment dat. Limbajul Ease păstrează multe din proprietățile din Linda, dar permite implementări mai eficiente. Descompunerea este de asemenea simplificată prin structurarea proceselor în stil Occam.

Un alt limbaj asemănător este ISETL-Linda care este o extensie a limbajului SETL. Se aseamăna cu un limbaj cu paralelism de date, în care colecțiile sunt un tip de date și potrivirea asociativă este o operație de selecție pe colecții. Astfel ISETL-Linda poate fi considerat ca un limbaj de tip SETL cu un nou tip de date, sau ca o extindere a unui limbaj de tip Linda cu șabloane (“skeletons”).

Opus este un limbaj derivat din Fortran care se bazează atât pe paralelism de date cât și pe paralelism funcțional, dar comunicațiile sunt realizate prin abstractizări de date partajate. Acestea sunt obiecte autonome, vizibile oricărei submulțimi de componente de calcul; doar o componentă din fiecare obiect este activă la un anumit moment. Aceste abstractizări reprezintă un tip de generalizări ale monitoarelor.

Modele cu structură statică și comunicație limitată

Șabloanele de comunicare extind ideea blocurilor prestructurate la comunicație. Un șablon de comunicare reprezintă o întreșere a unor pași de calcul (care constau în calcule locale independente) cu pași de comunicație (care se bazează pe modele de comunicație într-o topologie abstractă). Acest model compune idei preluate din BSP și din modelele bazate pe șabloane algoritmice, precum și concepte cum sunt rutarea adaptivă și broadcast. Pot fi implementate eficient și pot defini măsuri de cost.

9.2.5 Comunicație explicită

Modelele din această clasă explicitează comunicația, dar reduc complicațiile legate de sincronizare. În general aceasta se obține prin folosirea unei semantici asincrone.

Modele cu structură dinamică

Rețelele de procese (“*process nets*”) se aseamăna cu modelele bazate pe flux de date (*dataflow*) prin faptul că operațiile sunt, în cele două cazuri, entități care răspund la venirea datelor prin calcul și eventual prin transmiterea altor date. În cazul rețelelor de

procesele însă operațiile pot decide individual care va fi răspunsul lor la venirea datelor și pot de asemenea să decidă individual schimbarea comportamentului lor. Nu există deci starea globală, care pentru modelele bazate pe flux de date, există cel puțin implicit.

Modelele bazate pe *actori* sunt principalele modele din această clasă. Sistemele actor constau în colecții de obiecte numite actori, fiecare având o coadă de mesaje de intrare. Un actor repetă următoarea secvență de operații: citește următorul mesaj de intrare, trimite mesaje către alți actori ale căror identități le cunoaște și definește o nouă comportare care guvernează răspunsul pentru următorul mesaj. Mesajele se transmit asincron și fără o anumită ordine. Pentru a se putea obține, însă, implementări eficiente ar trebui să se restricționeze comunicația globală, dar acest lucru este dificil datorită naturii distribuite a modelului. Tot datorită acestui lucru cât și a sistemului de transmitere de mesaje, introducerea de măsuri de cost este imposibilă. Modelul actor este de nivel jos, dar este modular și simplu.

Limbajul Darwin, bazat pe *pi*-calcul, folosește alt tip de rețea de procese. Limbajul furnizează o submulțime de configurare, bine fundamentată semantic, pentru specificarea modului de conectare a proceselor ordinare și a modului lor de comunicare. Legătura dintre semantica comunicației și conexiuni este dinamică, spre deosebire de alte limbaje de configurare.

Una dintre slăbiciunile modelelor actor este faptul că actorii își procesează coada de mesaje secvențial și aceasta poate duce la blocări. S-au propus modele de extindere, cum sunt Concurrent Aggregate și ActorSpace, care tratează această problemă. Concurrent Aggregate (CA) este un limbaj orientat-obiect foarte potrivit pentru a trata paralelismul cu granularitate fină pe masive de procesoare. Cu acest limbaj s-a încercat înlăturarea surselor de secvențialitate nenesare. Un agregat în CA este o colecție omogenă de obiecte (numite reprezentanți) care pot fi referite printr-un singur nume. Fiecare agregat poate primi mai multe mesaje simultan. Sunt încorporate și alte caracteristici inovative cum sunt: delegare, adresare intra-agregat, mesaje de primă clasă. Delegarea permite ca și comportamentul unui agregat să poate fi construit incremental din comportamentele altor agregate, iar adresarea intra-agregat permite cooperarea între părți ale aceluiași agregat.

Modelul ActorSpace extinde modelul actor prin eliminarea sincronizărilor care nu sunt necesare. În modelul ActorSpace comunicațiile sunt asincrone și astfel un actor care trimite un mesaj nu trebuie să își blocheze execuția până când receptorul este gata să preia sau să prelucreze mesajul. Prin necrearea dependențelor de date nenesare, abordarea dirijată de mesaje a acestui model permite exploatarea concurenței maxime. Un spațiu actor este o colecție de actori, pasivă din punct de vedere computațional, care acționează ca un context pentru "pattern matching". Mesajele pot fi transmise unui membru arbitrar al grupului sau tuturor membrilor unui grup care corespund unui model ("pattern").

O posibilă abordare este de a extinde limbajele orientate-obiect astfel încât mai multe fire de execuție să fie active la un moment dat. Acest lucru se poate realiza în două moduri. Primul, care a fost numit *orientare-obiect externă*, permite fire de control multiple la cel mai înalt nivel al limbajului. Starea unui obiect poate funcționa în acest caz ca și un mecanism de comunicare, deoarece poate fi modificată de o metodă executată de

un fir de execuție și observată de o metodă executată de un altul. A doua modalitate, numită *orientare-obiect internă*, încapsulează paralelismul în interiorul metodelor unui obiect și astfel la nivel înalt, limbajul apare ca fiind secvențial. Este astfel foarte strâns legat de paralelismul de date.

În cazul modelelor orientate-obiect extern, actorii sunt considerați indiferent dacă se comunică cu ei sau nu. Câteva exemple de asemenea limbaje sunt: ABCL/1, ABCL/R, POOL-T, EPL, Emerald și Concurrent Smalltalk. În aceste limbaje, paralelismul se bazează pe atribuirea unui fir de execuție fiecărui obiect și concurența poate fi mărită prin transmiterea de mesaje asincrone.

În limbajele orientate-obiect extern, paralelismul poate fi exploatat în două moduri principale: folosind obiectele ca unități ale paralelismului prin atribuirea fiecărui obiect unul sau mai multe procesoare, sau prin definirea proceselor ca și componente ale limbajului. Limbajele corespunzătoare primei abordări sunt bazate pe obiecte active. Fiecare proces este legat de un anumit obiect pentru care a fost creat. Folosind cea de-a doua abordare sunt definite două tipuri de entități: obiecte și procese. Un proces nu este legat de un singur obiect, ci este folosit pentru a executa toate operațiile necesare pentru a satisface o acțiune. Prin urmare, un proces se poate executa pentru mai multe obiecte, prin schimbarea spațiului său de adrese atunci când se face o invocare de la alt obiect. Limbajele Argus și Presto folosesc această a doua abordare. Aceste limbaje furnizează mecanisme de creare și controlare a proceselor multiple, externe structurii de obiecte.

Mesaje active reprezintă o abordare care decuplează comunicația cât și sincronizarea prin tratarea mesajelor ca obiecte active în loc de a le trata ca date pasive. În mod esențial un mesaj activ constă din două părți: o parte de date și o parte de cod care se execută pe procesorul receptor când mesajul ajunge. Astfel mesajul se transformă într-un proces când ajunge la destinație. Nu există nici o sincronizare între procese și astfel un mesaj *send* nu are un corespondent *receive*. Această abordare este folosită de sistemul Movie și de mediile de limbaj pentru mașina J.

Modele cu structură statică

Limbajele orientate-obiect intern se încadrează în această categorie. Limbajul de programare Mentat (MPL) este un sistem paralel orientat-obiect proiectat pentru dezvoltarea de aplicații paralele independent de arhitectură. Acest sistem integrează un model de calcul dirijat de date în paradigma orientată-obiect. Modelul de calcul dirijat de date suportă un grad înalt de paralelism, iar orientarea obiect ascunde utilizatorului foarte mult din caracteristicile de paralelism. MPL este o extensie a limbajului C++, care suportă atât paralelism inter cât și intra obiecte. Construcțiile limbajului sunt mapate modelului macro de flux de date care este modelul de calcul care stă la baza sistemului Mentat. Este un model cu granularitate medie, dirijat de date, în care programele sunt reprezentate ca și grafuri orientate. Vârfurile grafurilor sunt elemente de calcul care realizează anumite funcții. Muchiile evidențiază dependențele de date. Compilatorul generează cod pentru a construi și executa aceste grafuri. Paralelismul între obiecte este în general transparent programatorului. În această abordare, programatorul ia deciziile de granularitate și partiționare folosind construcțiile limbajului, iar compilatorul și sistemul de execuție

gestionează comunicațiile și sincronizările.

Modele cu structură statică și comunicație limitată

Reprezentanți ai acestei clase sunt *tablourile sistolice*. Structura și comunicația în asemenea sisteme au fost tratate în Capitolul 1, Secțiunea 1.1.1 și Capitolul 4, Secțiunea 4.8. Un program paralel pentru un tablou sistolic trebuie să specifice cum sunt mapate datele pe elementele de procesare și fluxul de date între elemente.

Sunt necesare modele de programare de nivel înalt pentru a promova folosirea pe scară largă a tablourilor sistolice programabile. Un astfel de exemplu este limbajul Alpha, unde programele sunt exprimate prin ecuații recurente. Acestea sunt transformate în formă sistolică prin considerarea dependențelor de date ca definind un spațiu afin, care poate fi transformat geometric.

9.2.6 Totul explicit

În aceste modele programatorii trebuie să specifice toate detaliile legate de implementare. Este foarte dificil de construit aplicații folosind aceste modele datorită faptului că atât corectitudinea cât și performanța pot fi obținute doar prin tratarea atentă a numeroase detalii.

Majoritatea din modelele de calcul de primă generație sunt de acest tip, fiind proiectate pentru un singur tip de arhitectură gestionată explicit.

Modele cu structură dinamică

Cele mai multe dintre aceste modele se bazează pe o anumită paradigmă pentru tratarea partiționării, mapării și comunicațiilor. Există doar câteva modele care au încercat să furnizeze cadrul pentru abordarea mai multor paradigme. Un asemenea exemplu este limbajul Pi, care furnizează un set de primitive pentru fiecare stil de comunicație. Aceste modele pot fi implementate eficient și dispun de asemenea de măsuri de cost, dar sarcina de construcție a softului este dificilă datorită multitudinii de detalii care trebuiesc precizate pentru fiecare calcul. Un alt set de modele este reprezentat de limbajele de programare Orca și SR. Orca este un limbaj bazat pe obiecte care folosește date de tip obiect partajate pentru comunicația interproces. Sistemul Orca este o mulțime de abstractizări structurată ierarhic. La cel mai de jos nivel operația broadcast este primitiva de bază, astfel încât scrierea într-o structură replicată se poate realiza rapid în sistem. La următorul nivel de abstractizare, datele partajate sunt încapsulate în obiecte pasive care sunt replicate în sistem. Paralelismul se exprimă în Orca prin crearea explicită a proceselor. Un proces nou poate fi creat prin intermediul instrucțiunii `fork`

```
fork proc name(params) [on (cpu_number)]
```

Partea opțională `on` specifică procesorul pe care să se execute procesul fiu. Parametrii specifică obiectele de date partajate care se vor folosi pentru comunicația între părinte și

fiu.

Modelul SR (“Synchronizing Resources”) se bazează pe conceptul de *resursă*. O resursă este un modul care poate conține câteva procese. O resursă poate fi creată dinamic prin comanda `create`, iar procesele sale pot comunica prin folosirea semafoarelor. Procesele care aparțin de resurse diferite comunică folosind o mulțime restrânsă de operații definite explicit de program ca și proceduri.

Există însă mult mai multe modele care se bazează doar pe o singură paradigmă de comunicație. Considerăm următoarele trei paradigme: transmitere de mesaje, memorie partajată și *rendezvous*.

Transmiterea de mesaje reprezintă tehnologia de comunicație de bază pentru arhitecturile de tip MIMD și deci modelele bazate pe transmitere de mesaje sunt disponibile pentru asemenea tipuri de mașini. Interfețele sunt de nivel scăzut și folosesc operații *send* și *receive* pentru a specifica mesajul ce trebuie transmis, indentificatorii de procese și adresele.

Sistemele bazate pe transmitere de mesaje se aseamănă foarte bine cu sistemele folosite pentru arhitecturile cu memorie distribuită. De aceea s-au construit interfețe standard care să îmbunătățească portabilitatea programelor cu transmitere de mesaje. Un exemplu destul de recent și foarte folosit este MPI (“Message Passing Interface”) [179] care furnizează un set bogat de primitive, în care sunt incluse comunicații punct-la-punct, broadcasting, abilitatea de a aduna procese în grupuri și de a comunica doar în interiorul fiecărui grup. MPI a fost definit pentru a deveni un standard pentru interfața de transmitere de mesaje pentru aplicațiile paralele și biblioteci. Comunicațiile punct-la-punct se bazează pe primitivele `send` și `receive`

```
MPI_Send(buf, bufsize, datatype, dest, ...)
MPI_Receive(buf, bufsize, datatype, dest, ...)
```

MPI furnizează și primitive pentru comunicații colective și sincronizări, cum sunt `MPI_Bcast`, `MPI_Gather`, `MPI_Scatter` și `MPI_Barrier`. În prima versiune MPI1 nu existau primitive care să permită crearea dinamică a proceselor, dar în versiunea MPI2 s-a adăugat primitive pentru mesaje active, crearea dinamică a proceselor, pornirea proceselor.

Multe din sistemele independente de arhitectură bazate pe transmiterea de mesaje au fost dezvoltate astfel încât să permită folosirea transparentă a rețelelor de stații de lucru. În principiu, aceste rețele au multă putere de calcul nefolosită, care poate fi exploatată. În practică, întârzierea mare generată de comunicațiile între stațiile de lucru face ca aceste arhitecturi să nu asigure o performanță înaltă. Modelele pentru transmitere de mesaje între stații de lucru includ sisteme cum sunt PVM, Parmacs și p4. Aceste modele sunt la fel ca și sistemele cu transmitere de mesaje inter-multiprocesor, doar că în general procesele au granularitate mai mare pentru a se încerca ascunderea întârzierilor (“latency”) și de asemenea ele trebuie să rezolve heterogenitatea procesoarelor. De exemplu, PVM (“Parallel Virtual Machine”) [180] este foarte mult folosit și este acceptat în general ca fiind instrumentul de programare pentru calcul distribuit heterogen. El furnizează un set de primitive pentru creare de procese și comunicații care pot fi incorporate într-un

limbaj procedural existent, pentru implementarea programelor paralele. În PVM crearea de procese se face prin apelul procedurii `pvm_spawn()`. Instrucțiunea

```
proc_num=pvm_spawn("prog1", NULL, PVMTaskDefault, 0, n_proc)
```

crează `n_proc` copii ale programului `prog1`. Numărul real de procese pornite este dat de `proc_num`. Comunicația între două procese poate fi implementată prin primitivele:

```
pvm_send(proc_id, msg)
pvm_receive(proc_id, msg)
```

Pentru comunicațiile de grup și sincronizări se pot folosi operațiile `pvm_bcast()`, `pvm_mcast()`, `pvm_barrier()`.

Folosind PVM și alte modele similare, programatorii trebuie să precizeze descompunerea, maparea și comunicația explicit. Acest lucru poate fi chiar foarte complicat deoarece se poate lucra cu diferite sisteme de operare. Aceste modele pot deveni mai eficiente prin folosirea în mai mare măsură a interconectării optice pentru legarea stațiilor de lucru.

Comunicația bazată pe *memorie partajată* este o extensie naturală a tehnicilor folosite de sistemele de operare, înlocuindu-se însă multiprogramarea cu multiprocesarea. Prin urmare, modelele care folosesc această paradigmă sunt ușor de înțeles. Sunt totuși anumite aspecte care se schimbă când este vorba de paralelism. Calculatoarele paralele cu memorie partajată folosesc, în general pentru comunicare paradigmele standard cum sunt variabilele partajate și semafoarele. Acest model de calcul este deosebit de atractiv deoarece etapele de descompunere și mapare nu sunt atât de dificile. Totuși, aceste modele sunt legate strâns de un singur tip de arhitecturi și deci programale bazate pe memorie partajată nu sunt portabile.

Un exemplu important de acest tip îl reprezintă Java, care a devenit foarte popular datorită aplicațiilor Web care pot fi construite cu ajutorul lui. Java permite crearea firelor de execuție, care pot comunica și se pot sincroniza. Aceste variabile partajate se pot accesa în interiorul metodelor sau secțiunilor sincronizate. Aceste secțiuni sunt incluse în secțiuni critice care sunt create automat. Secțiunile de acest tip sunt numite monitoare, deși operațiile `notify` și `wait` trebuie să fie invocate explicit în aceste secțiuni și nu asociate automat la intrare și ieșire.

Există însă numeroase alte sisteme bazate pe fire de execuție care se bazează pe comunicație cu memorie partajată.

Modelele de programare bazate pe conceptul de *rendezvous* se bazează pe paradigma memoriei distribuite și folosesc un mecanism de cooperare particular. În modelul de comunicație rendezvous, o interacțiune între două procese A și B are loc atunci când A apelează o *intrare* (*“entry”*) a lui B, iar B execută o operație de acceptare (*“accept”*) pentru aceea intrare. Un apel de intrare este similar cu un apel de procedură, iar o instrucțiune de acceptare a celei intrări conține o listă de instrucțiuni ce trebuie executate atunci când este apelată intrarea. Cele mai cunoscute limbaje de programare bazate pe conceptul de rendezvous sunt Ada și Concurrent C. Ada [124] a fost proiectat pentru Departamentul apărării SUA pentru a permite programarea aplicațiilor în timp real atât

pe calculatoare secvențiale cât și pe cele paralele. Paralelismul în Ada se bazează pe procese numite *taskuri*. Un task poate fi creat dinamic sau poate fi declarat static. În cel de-al doilea caz, taskul este activat atunci când se intră în blocul care conține declarația sa. Taskurile sunt compuse dintr-o parte de specificare și un corp. Declarațiile de intrare *entry* pot fi făcute doar în partea de specificare a unui task, iar instrucțiunile de acceptare pot apare în corpul taskului. De exemplu, următoarea instrucțiune de acceptare execută operația de înmulțire specificată atunci când intrarea **square** este apelată:

```
accept SQUARE(X: INTEGER, Y: out INTEGER) do
    Y := X * X;
end;
```

Ada nu permite specificarea mapării taskurilor pe procesoare și nu furnizează condiții care să poată fi asociate cu declarațiile *entry*.

Modele cu structură statică

Un exemplu de asemenea model este Occam [93], în care structura proceselor este fixă și comunicația are loc folosindu-se canale sincrone. Programele Occam se construiesc dintr-un număr mic de primitive: atribuire, input (?) și output (!). Pentru a se proiecta procese paralele complexe, trebuie să se folosească construcția paralelă **PAR** împreună cu primitivele. Două procese pot fi executate în paralel dacă se specifică

```
PAR
    Proc1
    Proc2
```

construcție care se termină doar după ce toate componentele sale se termină. Construcția **ALT** permite implementarea nedeterminismului. Se așteaptă o intrare de la un număr de canale de comunicație și apoi se execută componenta proces corespunzătoare. De exemplu, prin codul

```
ALT
    request ? data
        DataProc
    exec ? oper
        ExecProc
```

se așteaptă primirea unei date sau a unei operații, iar apoi se va executa procesul corespunzător gării selectate.

Limbajul Occam are un fundament semantic foarte puternic, bazat pe CSP (“Communicating Sequential Programs”) [89] și astfel dezvoltarea softului prin transformări este posibilă. Totuși, este de nivel jos și este practic doar pentru un număr mic de tipuri de aplicații.

Sumar

Analiza realizată de D. Skillicorn și D. Talia se bazează pe structurarea modelelor în funcție de cele șase criterii enunțate la început. Patru dintre aceste criterii se referă la posibilitatea folosirii modelelor pentru dezvoltarea softului paralel, acestea fiind: ușurința programării, existența unei metodologii de construcție corectă a softului, independența de arhitectură și abstractizarea. Celelalte două criterii au vedere execuția modelelor pe mașini paralele reale și se referă la implementare eficientă și existența unor măsuri de cost.

Această analiză scoate în evidență faptul că dezvoltarea modelelor de calcul paralel pleacă de la abordări de nivel jos dar tinde spre abordări mult mai abstracte.

Sunt posibile, de asemenea, și alte clasificări ale modelelor paralele existente, de exemplu, în funcție de paradigma de programare de la care se pleacă: imperativă, funcțională sau logică.

Anexă

Noțiuni de teoria grafurilor

Graf: 1) un **graf neorientat** G este o pereche ordonată de mulțimi (X, U) , unde X este o mulțime finită, numită mulțimea **vârfurilor** sau a **nodurilor**, iar U este formată din perechi neordonate de elemente distincte din X , numite **muchii**. O muchie fiind notată cu $[x, y]$, nodurile x și y se numesc **extremitățile** acestei muchii. Dacă $[x, y] \in U$, se spune că nodurile x și y sunt **adiacente** în graful G , iar nodurile x și y sunt **incidente** cu muchia $[x, y]$.

2) Un **graf orientat** G este o pereche ordonată de mulțimi (X, U) , unde X se numește mulțimea **vârfurilor** sau a **nodurilor**, iar U este formată din perechi ordonate de elemente distincte din X , numite **arce**. Un arc fiind notat cu $u = (x, y)$, nodul x este **extremitatea inițială**, iar nodul y **extremitatea finală** a arcului u , care se spune că este orientat de la x la y . Dacă $(x, y) \in U$, nodurile x și y sunt **adiacente** în G , și amândouă sunt **incidente** cu arcul (x, y) .

Graf parțial al unui graf $G = (X, U)$ este un graf $G_1 = (X, V)$, unde $V \subseteq U$, deci este graful însuși sau se obține din G prin suprimarea unor muchii (arce).

Subgraf al unui graf $G = (X, U)$ este un graf $H = (Y, V)$, unde $Y \subseteq X$, iar muchiile (arcele) din V sunt toate muchii (arce) din U care au ambele extremități în mulțimea de noduri Y .

Grad al unui nod x : 1) pentru un graf neorientat G gradul nodului x , notat cu $d(x)$, este numărul muchiilor incidente cu x ;

2) Pentru un graf orientat G , gradul de intrare al nodului x , notat cu $d^-(x)$, este numărul arcelor care intră în nodul x , de forma (y, x) ; gradul de ieșire al nodului x , notat cu $d^+(x)$, este numărul arcelor de forma (x, y) , care ies din nodul x ; iar gradul nodului este $d(x) = d^-(x) + d^+(x)$.

Nod izolat este un nod de grad zero al unui graf.

Nod terminal este un nod de grad unu al unui graf.

Drum pentru un graf orientat $G = (X, U)$, este un șir de noduri $D = (x_0, x_1, \dots, x_r)$ cu proprietatea că $(x_0, x_1), (x_1, x_2), \dots, (x_{r-1}, x_r)$ sunt arce ale grafului. Nodurile x_0 și x_r se numesc **extremitățile drumului D** . **Lungimea** unui drum este dată de numărul de arce pe care le conține. Dacă nodurile x_0, x_1, \dots, x_r sunt distincte două câte două, atunci drumul D este elementar.

Circuit pentru un graf orientat G este un drum $D = (x_0, \dots, x_r)$ cu proprietatea că $x_0 = x_r$ și toate arcele $(x_0, x_1), (x_1, x_2), \dots, (x_{r-1}, x_r)$ sunt distincte două câte două.

Lanț: 1) pentru un graf neorientat $G = (X, U)$ este un șir de noduri $L = [x_0, x_1, \dots, x_r]$ cu proprietatea că oricare două noduri vecine sunt adiacente, adică $[x_0, x_1], [x_1, x_2], \dots, [x_{r-1}, x_r] \in U$. Nodurile x_0 și x_r se numesc **extremitățile lanțului**, iar r este **lungimea** acestui lanț. Dacă nodurile x_0, x_1, \dots, x_r sunt distincte două câte două, atunci lanțul L este elementar.

2) pentru un graf orientat $G = (X, U)$, un lanț $L = [u_1, \dots, u_p]$ este un șir de arce, cu proprietatea că oricare două arce vecine u_i și u_{i+1} au o extremitate comună pentru orice $1 \leq i < p$. Extremitatea lui u_1 care nu este extremitate și pentru u_2 și extremitatea lui u_p care nu este extremitate și pentru u_{p-1} se numesc **extremitățile lanțului L** .

Ciclu pentru un graf neorientat G este un lanț $L = [x_0, x_1, \dots, x_r]$ cu proprietatea că $x_0 = x_r$ și toate muchiile $[x_0, x_1], [x_1, x_2], \dots, [x_{r-1}, x_r]$ sunt distincte două câte două.

Lanț (drum) hamiltonian este un lanț (drum) elementar al unui graf, care conține toate nodurile grafului.

Ciclu (circuit) eulerian al unui graf G este un ciclu (circuit) elementar care folosește toate muchiile (arcele) grafului G .

Ciclu (circuit) hamiltonian al unui graf G este un ciclu (circuit) elementar care conține toate nodurile grafului.

Graf conex este un graf G cu proprietatea că oricare două noduri sunt extremitățile unui lanț al lui G .

Distanța între nodurile x și y ale unui graf neorientat și conex G se notează cu $d(x, y)$ și reprezintă lungimea minimă a lanțurilor cu extremitățile x și y din G .

Diametrul unui graf conex G este distanța maximă între perechile de noduri ale lui G și se notează cu $d(G)$.

Arbore se numește orice graf neorientat conex și fără cicluri.

Arbore cu rădăcină este un arbore în care unul dintre noduri este evidențiat și se numește rădăcina arborelui, iar între orice nod x și rădăcină există un lanț unic. Într-un

arbore T cu rădăcina r , orice nod y de pe unicul lanț de la r la un nod x , este numit **strămoș** al lui x . Dacă y este un strămoș al lui x , atunci x este un **descendent** al lui y . **Subarboarele cu rădăcină** x este arborele indus de către descendenții lui x și având rădăcina x . Dacă ultima muchie de pe lanțul de la rădăcina r a unui arbore T până la un nod x este (y, x) , atunci y este **părintele** lui x , iar x este un **copil** al lui y . Rădăcina este singurul nod fără părinte. Dacă două noduri au același părinte, atunci ele se numesc **frați**. Un nod fără nici un copil se numește **extern (terminal sau frunză)**. Un nod care nu este frunză se numește **nod intern**. Numărul copiilor unui nod x dintr-un arbore cu rădăcină T se numește **gradul** lui x . Lungimea lanțului de la rădăcina r la un nod x constituie **adâncimea** lui x în T . Cea mai mare adâncime a unui nod constituie **înălțimea** arborelui T . Nodurile cu aceeași adâncime formează un **nivel** al arborelui.

Arbore ordonat este un arbore cu rădăcină în care copiii fiecărui nod sunt ordonați.

Arbore binar este o structură arborescentă definită pe o mulțime finită de noduri care

- nu conține nici un nod, sau
- este constituită din trei mușimi de noduri distincte: un nod **rădăcină**, un arbore binar numit **subarboarele stâng** și un arbore binar numit **subarboarele drept**.

Arbore pozițional este un arbore cu rădăcină în care toți copiii unui nod sunt etichetați cu numere întregi pozitive. Al i -lea copil al unui nod este absent dacă nici un copil al acelui nod nu este etichetat cu numărul i .

Arbore de acoperire (parțial) al unui graf G este un graf parțial al său care este și arbore.

Arbore k -ar este un arbore pozițional în care, pentru fiecare nod, toți copiii cu etichete mai mari decât k lipsesc. Astfel, un arbore binar este un arbore k ar cu $k = 2$.

Arbore k -ar complet: este un arbore k -ar în care toate frunzele au aceeași adâncime și toate nodurile interne au gradul k .

Arbore binar echilibrat este un arbore binar cu proprietatea că înălțimea subarboarelui său stâng nu diferă cu mai mult de ± 1 de înălțimea subarboarelui său drept.

Arbore binar total echilibrat este un arbore binar care are toate nodurile terminale pe ultimele două niveluri, astfel încât, pentru orice nod, numărul nodurilor din subarboarele său stâng diferă cu cel mult 1 de numărul nodurilor din subarboarele său drept.

Bibliografie

- [1] M. Abadi, L. Lamport. Conjoining Specifications. *ACM Transaction on Programming Languages and Systems*, Vol. 17, No. 3, May 1995, pages 507-534.
- [2] K. Abrahamson, N. Dadoun, D.A. Kirkpatrick, T. Przytycka. A simple parallel tree contraction algorithm, In *Proc. 25th ann. Allerton Conf. on Communication, Control and Computing*, 1987, pp. 624-633.
- [3] R.C. Agarwal, F.G. Gustavson, S.M. Balle, M. Joshi, P. Palkar. A High Performance Matrix Multiplication Algorithm for MPPs. In *Proceedings of PARA '95*, pp. 1-7, 1995.
- [4] S. Ahmed, N. Carriero, D. Gelernter. A program building tool for parallel applications. In *DIMACS Workshop on Specification of Parallel Algorithms*, pp. 161-178, Princeton University, USA, 1994.
- [5] A.V. Aho, J.E. Hopcroft, J.D. Ullman. *The Design and Analysis of Computer Algorithms*. Addison-Wesley, 1974.
- [6] A. V. Aho, J.E. Hopcroft, J.D. Ullman. *Data Structures and Algorithms*. Addison-Wesley, 1983.
- [7] S.G. Akl. *Parallel sorting algorithms*, Academic Press, 1985.
- [8] G. Almasi, A. Gottlieb. *Highly parallel computing*. The Benjamin Cummings Publishing Company, Redwood City, 1989.
- [9] G. Amdahl. Validity of the single processor approach of achieving large scale computing capabilities. In *Proceedings of AFIPS Conf.*, 30, 1967, pp. 483-485.
- [10] W. Amsbury. *Data Structures*. Wadsworth Publishing Company, 1985.
- [11] Sara Baase. *Computer Algorithms: Introduction to Design and Analysis*, Addison-Wesley, 1988.
- [12] M. Barr, C. Wells, *Category Theory for Computing Science*. Prentice Hall, 1990.
- [13] R. Barret, M. Berry, T.F. Chan, J. Demmel, J. Donato, J. Dongarra, V. Eijkhout, R. Pozo, C. Romine, H. Van der Vorst. *Templates for the Solution of Linear Systems: Building Blocks for Iterative Methods*. SIAM, 1994.
- [14] K.E. Batcher. Sorting networks and their applications. In *Proceedings AFIPS 1968 Spring Joint Comp. Conf.*, vol. 32, pp. 307-314, 1968.
- [15] G. Bell, The Future of High Performance Computers in Science and Engineering, *Comm. ACM*, Vol. 32, pp. 1091-1101, 1989.
- [16] M. Ben-Ari. *Principles of Concurrent and Distributed Programming*. Prentice Hall 1990.
- [17] A. J. Bernstein. Program Analysis for Parallel Processing. *IEEE Trans. on Electronic Computers*, EC-15, Oct 66, 757-762.

- [18] R. Bird. An Introduction to the Theory of Lists. In M. Broy editor, *Logic of Programming and Calculi of Discret Design*, pp. 3-42. Springer-Verlag, 1987.
- [19] R. Bird. Lectures on Constructive Functional Programming. In M. Broy editor, *Constructive Methods in Computing Science*, NATO ASI Series F: Computer and Systems Sciences, Vol. 55, pp. 151-216. Springer-Verlag, 1988.
- [20] R. Bird. Algebraic Identities for Program Calculation. *The Computer Journal*, 32(2):122-126, February, 1989.
- [21] G. Blelloch, Scans as Primitive Parallel Operations. *Proc. of the International Conference on Parallel Processing August 1987*, pp. 355-362, 1987.
- [22] G. E. Blelloch. Programming Parallel Algorithms. *Communications of ACM*, March 1995/ Vol. 39, No. 3, pp. 85-97, 1995.
- [23] G. E. Blelloch. B. M Maggs. Parallel Algorithms. *ACM Computing Surveys*, Vol. 28, No. 1, March 1996, pp. 51-54.
- [24] G. H. Botorog, H. Kuchen. Efficient High-Level Parallel Programming. *Theoretical Computer Science* 196, pp. 71-107, 1998.
- [25] W.W. Breckner. *Cercetări operaționale*. Universitatea "Babeș-Bolyai", Cluj-Napoca, 1981.
- [26] R.P. Brent. The Parallel Evaluation of General Arithmetic Expressions. *Journal of ACM*, 21 (2):201-206, 1974.
- [27] J. Briat, M. Favre, C. Geyer, J.C. de Kergommeaux. Scheduling of OR-parallel Prolog on a scalable reconfigurable distributed memory multiprocessor. In *Proceedings of PARLE-91, Springer Lecture Notes in Computer Science 506*, pp. 385-402, 1991.
- [28] M. Cannataro, G. Spezzano, D. Talia. A parallel logic system on a multicomputer architecture. In *Future Generation Computer Systems*, Vol. 6, pp. 317-331, 1991.
- [29] N. Carriero, D. Gelernter. Application experience with Linda. In *ACM/SIGPLAN Symposium on Parallel Programming*, vol. 23, pp. 173-187, July 1988.
- [30] M. Cesati, Miriam Di Ianni. Parameterized Parallel Complexity. In *Proceedings of EuroPar'98*, pp. 892-896, 1998.
- [31] K.M. Chandy, J. Misra. *Parallel Program Design: A Foundation*. Addison-Wesley, 1988.
- [32] K.M. Chandy, S. Taylor, *An Introduction to Parallel Programming*, Jones and Bartlett Publishers, 1992.
- [33] M. Chen, Y.I. Choo, J.Li. Crystal: Theory and pragmatics of generating efficient parallel code. In B.K. Szymanski editor, *Parallel Functional Languages and Compilers*, pp. 255-308, ACM Press Frontier Series, 1991.
- [34] Ioana Chiorean. *Calcul Paralel*. Cluj-Napoca, Univ.Babes-Bolyai, 1993.
- [35] M. Cole. *Algorithmic Skeletons: A Structured Approach to the Management of Parallel Computation*. PhD. thesis, University of Edinburgh, 1988.
- [36] M. Cole. Parallel Programming with List Homomorphisms. *Parallel Processing Letters*, 5(2):191-204, 1994.
- [37] Gh. Coman. *Analiză numerică*. Ed. Libris, Cluj-Napoca, 1995.
- [38] Gh. Coman. On Some Parallel Methods in Linear Algebra. *Studia Univ. "Babes-Bolyai", Mathematica*, Vol. XXXVI, No. 3, 1991, pg.17-33.

- [39] T.H. Cormen, C.E. Leiserson, R.R. Rivest. *Introductions to Algorithms*. Massachusetts Institute of Technology, 1990.
- [40] J.S. Conery. *Parallel Execution of Logic Programs*. Kluwer Academic Publishers, 1987.
- [41] D. Culler, R. Karp, D. Patterson, A. Sahay, K.E. Schauser, E. Santos, R. Subramonian, T. von Eicken. LogP: Toward a realistic model of parallel computation. In *ACM SIGPLAN Symposium on Principles and Practice of Parallel Programming*, May 1993.
- [42] O.J. Dahl, E.W. Dijkstra, C.A.R. Hoare. *Structured programming*. Academic Press, 1972.
- [43] M. Danelutto, R. di Meglio, S. Orlando, S. Pelagatti, M. Vanneschi. A methodology for the development and the support of massively parallel programs. *Future Generation Computer Science*, 1992; ap”arut ”si ca “The P^3L language: an introduction”, Hewlwt-Packard report HPL-PSC-91-29, Dec. 1991.
- [44] J. Darlington, A.J.Field, P.G. Harrison, P.H.J. Kelly, Q. Wu, R.L. While. Parallel programming using skeletons functions. In *PARLE’93, Parallel Architectures and Languages Europe*, June 1993.
- [45] J. Darlington, Y. Guo, H.W. To, J. Yang. Functional Skeletons for Parallel Coordination, In *Proceedings of EuroPar’95*, LNCS 966, Springer, 1995.
- [46] T. Delaitre, M.J. Zemerly, P. Vekariya, G.R. Justo, J. Bourgeois, F. Schinkmann, F. Spies, S. Randoux, S.C. Winter. EDPEPPS: A Toolset for the Design and Performance Evaluation of Parallel Applications. In *Proceedings of EuroPar’98*, pp. 113-125, 1998.
- [47] E.W. Dijkstra. Guarded Commands, Nondeterminacy and Formal Derivation of Programs. *Communications of ACM*, 18(1975), no. 8, pp. 453-457.
- [48] E.W. Dijkstra. *A Discipline of Programming*. Prentice Hall, Englewood Cliffs, 1976.
- [49] Gh. Dodescu, M. Toma. *Metode de calcul numeric*. Ed. Didactică și pedagogică, București, 1976.
- [50] Gh. Dodescu. *Metode numerice în algebră*. Ed. Tehnică, București, 1979.
- [51] B. Dumitrescu. *Algoritmi de calcul paralel*, <http://www.schur.pub.ro/download/ps/cursPS-5.3.ps>, 2001.
- [52] Eisenbiegler, W. Lowe, W. Zimmermann. BSP, LogP, and Oblivious Programs. In *Proceedings of EuroPar’98*, pp. 865-874, 1998.
- [53] K. Ekanadham. A perspective on Id. In B.K. Szymanski ed., *Parallel Functional Languages and Compilers*, pp. 197-254, ACM Press, 1991.
- [54] J. Dana Eckart. Cellang 2.0: Reference manual. *ACM Sigplan Notices*, 27, No.8:107-112, 1992.
- [55] P. Eleș, H. Ciocârlie. *Programare concurentă în limbaje de nivel înalt*. Ed Științifică, București, 1991.
- [56] T. Elrad, N. Frances. Decomposition of Distributed Programs into Communications Closed Layers. *Science of Computer Programming* (2):155-173, 1982.
- [57] B.S. Fagin, A.M. Despain. The performance of parallel Prolog prgrams. *IEEE Transactions on Computers*, C-39, No. 12:1434-1445, 1990.
- [58] F.E. Fich. New bounds for parallel prefix circuits. In *Proceedings of ACM Symposium on Theory of Computing*, pp 100-109, April 1983.

- [59] G.C. Fox, S.W. Otto, J.G. Hey. Matrix Algorithms on a HipercubeI: Matrix Multiplication. *Parallel Computing* 4:17-31, 1987.
- [60] I. Foster, S. Taylor. *Strand: New Concepts in Parallel Programming*. Prentice-Hall, Englewood Cliffs, N.J., 1990.
- [61] M. Flynn. Some Computers Organisations and their Effectiveness. *IEEE Transactions on Computers*, C-21(9), 1972, pp. 948-960.
- [62] I. Foster. *Designing and Building Parallel Programs*. Addison-Wesley, 1995.
- [63] G. Fox. Parallel Computing Comes of Age: Supercomputer Level Parallel Computations at Caltech. *Concurrency: Practice and Experience*, vol. 1(1), pg 63-103, 1989.
- [64] A. Geser, S. Gorlatch. Parallelizing Functional Programs by Generalization. *Journal of Functional Programming*, în apariție.
- [65] J. Gibbson. The Third Homomorphism Theorem. *Journal of Functional Programming*, 6(4):657-665, 1996.
- [66] J. Goguen, C. Kirchner, H. Kirchner, A. Megrelis, J. Mesenguer, T. Winkler. An introduction to OBJ3. In *Lecture Notes in Computer Science*, vol 308, pp. 258-263.
- [67] L. Goldschlager. The monotone and planar circuit value problems are log space complete for P. *SIGACT News*, 9(2):25-29, 1977.
- [68] S. Gorlatch. Extracting and Implementing List Homomorphisms in Parallel Programs Development. *Science of Computer Programming*, Vol. 33, no. 1, pp. 1-27, 1999.
- [69] S. Gorlatch. *Optimizing Compositions of Scans and Reductions in Parallel Program Derivation*. Preprint Universitat Passau, April 1997.
- [70] S. Gorlatch. *Abstraction and Performance in the Design of Parallel Programs*. Universitat Passau, MIP-9802, Januar, 1998.
- [71] S. Gorlatch, C. Lengauer. Parallelization of Divide-and-Conquer in the Bird-Meertens Formalism. *Formal Aspects of Computing* 3, pp. 663-682, 1995.
- [72] S. Gorlatch. Stages and Transformations in Parallel Programming. *Abstract Machine Models For Parallel and Distributed Programming*, Amsterdam, IOS Press pp. 147-162, 1996.
- [73] S. Gorlatch. *Constructing List Homomorphisms for Parallelism*. Technical Report MIP-9512, Universitat Passau, 1995.
- [74] S. Gregory. *Parallel Logic Programming in PARLOG*. Addison-Wesley, 1987.
- [75] G. Grigoraș. *Programarea Calculatoarelor - Fundamente*, Editura "Spiru Haret", 1999.
- [76] D. Grigoraș. *Calculul Paralel. De la sisteme la programarea aplicațiilor*. Computer Libris Agora, 2000.
- [77] R.D. Gumb. *Programming Logics*. John Wiley & Sons, 1989.
- [78] J.A. Gunnels, D.A. Katz. *Fault-Tolerant High-Performance Matrix Multiplication*. Report of University of Texas, Austin, 2000.
- [79] J.A. Gunnels, G.H. Henry, R.A. van de Geijn. *High-Performance Matrix Multiplication Algorithms for Architectures with Hierarchical Memories*. Report of University of Texas, Austin, 2001.
- [80] J.A. Gunnels. *A Systematic Approach to the Design and Analysis of Linear Algebra Algorithms*. PhD. Thesis, University of Texas, Austin, 2001.

- [81] A. Gupta, M. Joshi, V. Kumar. WSSMP: A High-Performance Serial and Parallel Symmetric Sparse Linear Solver. In *Proceedings of PARA '98*, pp. 182-194, 1998.
- [82] R.H. Halstead Jr. Parallel Symbolic Computing. *IEEE Computer*, 19, No.8, 1986.
- [83] W. Handler, *Innovative computer architecture – how to increase parallelism but not complexity*, In *Parallel Processing Systems, An Advanced course*, Evans DJ ed., Cambridge Univ. Press, 1982, pp. 1-41.
- [84] P.B. Hansen. Model Programs for Computational Science: A Programming Methodology for Multicomputers. *Concurrency: Practice and Experience*, vol. 5 (5), pp. 407-423, 1993.
- [85] G. Henry. *Flexible High-Performance Matrix Multiply via a Self-Modifying Runtime Code*. Technical Report, Intel Corp. Computational Software Laboratory, 2001.
- [86] P. van Hentenryck. Parallel constraint satisfaction in logic programming: Preliminary results of CHIP within PEPSys. In *Proceedings of the 6th International Congress on Logic programming*, pp. 165-180, Cambridge 1989.
- [87] J. Herath, T. Yuba, N. Saito. Dataflow Computing. In *Parallel Algorithms and Architectures*, Springer Lecture Notes in Computer Science 269, pp. 25-36, MAY 1987.
- [88] High Performance Fortran language specification. titan.rice.cs.edu, January 1993.
- [89] C.A.R. Hoare. *Communicating Sequential Processes*. Prentice-Hall International Series in Computer Science, 1985.
- [90] R. Hockney, C. Jesshope. *Calculatoare paralele. Arhitectura, programare, algoritmi*. Editura Tehnică, București, 1991.
- [91] K.E. Iverson. *A programming Language*. Wiley, New-York, 1962.
- [92] J. Jaffar, J.L. Lassez. Constraint Logic Programming. In *ACM Symposium on Principles of Programming Languages*, pg.111-119, ACM Press, 1987.
- [93] G. Jones, M. Goldsmith. *Programming in Occam2*. Prentice Hall, 1988.
- [94] L.V. Kale. The REDUCE-OR process model for parallel evaluation of logic programs. In *Proceedings of the 4th International Conference on Logic Programming*, pp. 616-632, Melbourne, Australia, 1987.
- [95] A. Kiper. An Efficient Parallel Triangular Inversion by Gauss Elimination with Sweeping. *Proceedings of EuroPar'98*, pp. 793-797, 1995.
- [96] Knuth, D.E., *The Art of Computer Programming. Vol. 3 Sorting and Searching*, Addison-Wesley, 1973.
- [97] D.E. Knuth. *The Art of Computer Programming, Vol. 2, Seminumerical algorithms*. Addison Wesley, 1979.
- [98] J. Kornerup. *Mapping PowerLists onto Hypercubes*. *Information Processing Letters*, 53:153-158, 1995.
- [99] J. Kornerup. *Data structures for Parallel Recursion* PhD thesis, University of Texas at Austin, 1997.
- [100] J. Kornerup. Plist: Taking PowerLists Beyond Base Two. *CMPP'98 First International WorkShop on Constructive Methods for Parallel Programming*, MIP-9805 May 1998.
- [101] S.R. Kosaraju, A.L. Delcher, Optimal parallel evaluation of tree-structured computation by ranking, In *VLSI Algorithms and Architectures, Proc. 3rd Aegean Workshop on Computing*, Lecture Notes in Computer Science, Vol 319, 1988, pp. 101-110.

- [102] A. R. Krommer. Parallel Sparse Matrix Computations Using the PINEAPL Library: A Performance Study. In *Proceedings of EuroPar'98*, pp. 804-811, 1998.
- [103] R.E. Ladner, M.J. Fisher. Parallel prefix computation. *Journal of the ACM*, 27(4):831-838, October 1980.
- [104] L. Lamport, How to Make a Multiprocessor Computer that Correctly Executes Multiprocess Programs, *IEEE Trans. on Computers*, vol. C.-28, no. 9, pp. 690-691, 1979.
- [105] L. Lamport, On Interprocess Communication. Parts I and II, *Distributed Computing*, vol. 1, no. 2 (1986), pp. 77-101.
- [106] Lan Yang, Lan Jin. *Integrating Parallel Algorithm Design with Parallel Machine Models* ACM, pp. 131-135, 1995.
- [107] R. Lee. Empirical Results on the Speed, Efficiency, Redundancy and Quality of Parallel Computations. *Int. Conf. on Parallel Processing*, 1980, pp. 91-100.
- [108] T.G. Lewis. *Foundations of Parallel Programming. A Machine Independent Approach*. IEEE Computer Society Press, 1993.
- [109] P. Lincoln, N. Marti-Oillet, J. Mesengue. Specification, transformation, and programming of concurrent Systems in rewriting logic. Technical report SRI-CSL-94-11, SRI, May 1994.
- [110] Barbara Liskov, J. Guttag. *Abstractions and Specification in Program Development* Massachusetts Institute of Technology, 1986.
- [111] L.D.J.C. Loyens. *A Design Method for Parallel Programs*. Technische Univ. Eindhoven, Proefschrift, 1992.
- [112] L.D.J.C. Loyens, R.H. Biesseling. The formal construction of a parallel triangular system solver. In *LNCS, Mathematics of Program Construction*, 375 pg.325-34, 1989.
- [113] B.D. Lubacevsky, A. G. Greenbers. Simple, efficient asynchronous parallel prefix algorithms. In *Proceedings of International Conference on Parallel Processing*, pp. 66-69, August 1987.
- [114] G.A. Mago. A network of computers to execute reduction languages. *International Journal of Computer and Information Sciences*, 1979.
- [115] O. Maslennikov, J. Kaniewski, R. Wyrzykowski. *Fault Tolerant QR-Decomposition Algorithm and its Parallel Implementation* Proceedings of EuroPar'98, pp. 798-803, 1998.
- [116] J. McGraw. Parallel functional programming in Sisal: Fictions, facts, and future. In *Advanced Workshop, Programming Tools for Parallel Machines*, June 1993.
- [117] J. Mesenguer, T. Winkler. Parallel Programming in Maude. In J.P. Banatre, D, Le Metayer, editors, *Research Directions in High-level Parallel Programming Languages*, pp. 253-293, Springer Lecture Notes in Computer Science 574, June 1991.
- [118] C. Mihiu. *Sisteme de ecuații liniare și forme pătratice* Ed. Tehnică, București ,1985.
- [119] M. Marin. *Asynchronous (Time-Wrap) Versus Synchronous (Event-Horizon) Simulation Time Advance in BSP*. Proceedings of EuroPar'98, pp. 897-905, 1998.
- [120] G.L. Miller, J.H. Reif, Parallel tree contraction and its application, In *Proceedings of 26th Ann. IEEE Symp. on Foundations of Computer Science*, 1985, pp. 478-489.
- [121] J. Misra. PowerList: A structure for parallel recursion. *ACM Transactions on Programming Languages and Systems*, 16(6):1737-1767, November 1994.

- [122] B. Monien, H. Sudborough. Embedding One Interconnection Network in Another. *Computing Suppl.* 7:257-282, 1990.
- [123] Carroll Morgan. *Programming from Specification*. Prentice Hall, 1990.
- [124] D.A. Mundie, D.A. Fisher. Parallel Processing in Ada. *IEEE Computer*, C-19 No.8:20-25, 1986.
- [125] J. Nash. Scalable Sharing Methods Can Support a Simple Performance Model. *Proceedings of EuroPar'98*, pp. 906-915, 1998.
- [126] P.A. Nelson, L. Snyder, Programming Paradigms for Non-Shared Memory Parallel Computers, In L.H.Jamieson, D. Gannon, R. Douglass (Eds.), *The Characteristics of Parallel Algorithms*, MIT Press, Cambridge, 1988.
- [127] V. Niculescu. A Design Method for Parallel Programs. Applications. *Seminar on Numerical and Statistic Calculus*, Preprint no.1, 1996, pp. 61-77.
- [128] V. Niculescu, Data Distributions for Parallel Programs. *Studia Universitatis, "Babeş-Bolyai", Informatica*, vol XLIII, No. 2, 1998, pp. 64-72.
- [129] V. Niculescu. Parallel Programs Description with PowerList, ParList and Plist. *Studia Universitatis "Babeş-Bolyai", Informatica*, vol XLIV, No. 1, 1999, pp. 41-50.
- [130] V. Niculescu. Boolean Matrices Multiplication. *Seminar of Numerical and Statistic Calculus*, Preprint no.1, 1999, pp. 89-96.
- [131] V. Niculescu. Multidimensional Data Structures for Parallel Programs Description. *Journal of P.U.M.A.* Vol. 11, No. 2, 2000, pp. 351-360.
- [132] V. Niculescu. Some Nondeterministic Parallel Programs. *Studia Universitatis, "Babeş-Bolyai", Informatica*, Vol. XLV, No. 2 , 2000, pp. 51-59.
- [133] V. Niculescu. Parallel Programs Development. *Proceedings of International Conference on Parallel and Distributed Processing Techniques and Applications (PDPTA'2001)*, Las Vegas, Nevada, USA, June 25-28, 2001, CSREA Press, pp. 94-100.
- [134] V. Niculescu, Parallel Algorithms for Fast Fourier Transformation using PowerList, ParList and PList Theories, *Proceedings of International Conference EuroPar'2002*, Paderborn, Germany, August 2002, Springer-Verlag, pp. 400-404
- [135] V. Niculescu. A Model for Construction of Parallel Programs, *Proceedings of International Symposium SYNASC'02*, Timisoara, Romania, Oct. 9-12 , 2002, pp.215-232
- [136] V. Niculescu, On Data Distribution in the Construction of Parallel Programs, *The Journal of Supercomputing*, 29(1): 5-25, July 2004, Kluwer Academic Publishers, 2004.
- [137] V. Niculescu, Unbounded and Bounded Parallelism in BMF. Case Study: Rank Sorting, *Studia Universitatis "Babeş-Bolyai", Informatica*, Vol XLIX, No. 1, 2004, pp. 91-98.
- [138] V. Niculescu, Formal Derivation Based on Set-Distribution of a Parallel Program for Hermite Interpolation, *Proceedings of International Symposium SYNASC'04*, Timisoara, Romania, Sept. 26 -30 , 2004, pp.250-258
- [139] T. Nodera, N. Tsuno. *The Parallelisation of the Incomplete LU Factorisation on AP1000*. Proceedings of EuroPar'98, pp. 788-792, 1998.
- [140] L.S. Nyland, J.F. Prins, A. Goldberg, P.H. Mills. *A Design Methodology for Data-Parallel Applications*. IEEE Transactions on Software Engineering, Vol. 26, No. 4, April 2000.
- [141] K. Ogata, H. Hirata, S. Ioroi, K. Futatsugi. *Experimental Implementation of Parallel TRAM on Massively Parallel Computer*. Proceedings of EuroPar'98, pp.847-851, 1998.

- [142] E. Pap, P. Szlavai, L. Zsako. *Joining Programming Theorems - a practical Approach to Program Building*. Proceeding of Forth Symposium on Programming Languages and Software Tools, Visegrad, Hungary, June 9-10, 1995.
- [143] L.M. Pereira, R. Nasr. Delta-Prolog: A distributed logic programming language. In *Proceedings of the International Conference on Fifth Generation Computer Systems*, pp. 283-291, Tokyo, 1984.
- [144] D. Petcu, *Calcul Paralel*. Universitatea de Vest, Timisoara, 1993
- [145] S.L. Peyton-Jones, C. Lester. *Implementing Functional Programming Languages.*, Prentice-Hall International Series in Computer Science, 1992.
- [146] M. Popa. *Introducere în arhitecturi paralele și neconvenționale*. Editura Computer-Press, Timișoara, 1992
- [147] D. Pritchard. Mathematical Models of Distributed Computation. In *Proceedings of OUG-7, Parallel Programming on Transputer Based Machines*, IOS Press, pp. 25-36, 1988.
- [148] T. Rauber, Gudula Runger. *A Transformation Approach to Derive Efficient Parallel Implementations*. IEEE Transactions on Software Engineering, Vol. 26, No. 4, April 2000.
- [149] M.A. Reniers. *Message Sequence Chart - Syntax and Semantics*. Technische Univ. Eindhoven, Proefschrift, 1999.
- [150] V.A. Saraswat, M. Rinard, P. Panangaden. Semantic foundations of concurrent constraint programming. In *Proceedings of the POPL'91 Conference*, pp. 333-352, ACM Press, 1991.
- [151] J.T. Schwartz. *Ultracomputers*. ACM Transactions on Programming, Languages and Systems, 2(4), pp. 484-521.
- [152] E. Shapiro. Concurrent Prolog: A progress report. *IEEE Computer*, 19:44-58, 1986.
- [153] C. L. Seitz. The Cosmic Cube. *Communication of The ACM* 28(1):22-23, JaJanuary 1985.
- [154] F. Seutter. CEPROL, a cellular programming language. *Parallel Computing*, 2:327-333, 1985.
- [155] D.B. Skillicorn. *Foundations of Parallel Programming*. Cambridge University Press, 1994.
- [156] D.B. Skillicorn, D. Talia. *Models and Languages for Parallel Computation*. ACM Computer Surveys, Vol. 30, No. 2 June 1998, pg.123-136
- [157] J.R. Smith. *The Design and Analysis of Parallel Algorithms*. Oxford University Press, 1993.
- [158] B. Smyth, G.D. Plotkin. *The Category Theoretic Solution of Recursive Equations*. SIAM Journal of Computing, 11(4):761-783, 1982.
- [159] G. Spezzano, D. Talia. CARPET: A programming language for parallel cellular processing. In *Proceedings European School on Paralle Programming Environments 96*, Alpe d'Huez, France, April 1996.
- [160] H.S. Stone. Parallel Processing with the perfect shuffle. *IEEE Transactions on Computers*, C-20(2):153-161, 1971.
- [161] P. Stpinczynski. *Parallel Algoritms for Solving Linear Reccurence Systems*. Proceedins of CONPAR'92, pp. 343-348, 1992.
- [162] D. Talia. *Parallel Computation Still Not Ready for the Mainstream*. Communications of ACM, July 1997, Vol. 40, No. 7, pp. 98-99.

- [163] S. Thompson. *Haskell - The Craft of Functional Programming*. Addison-Wesley, 2001.
- [164] P.W. Trinder, K. Hammond, H. W. Loidl, J. Peyton. *Algorithm + Strategy = Parallelism*. Journal of Functional Programming 1, January 1993.
- [165] K. Ueda. Guarded Horn clauses. Technical report TR-103, ICOT, Tokyo, 1985.
- [166] V. Valiant. A bridging model for parallel computation. *Communications of ACM*, 33(8):103-111, August 1990.
- [167] E.F. Van de Velde. *Concurrent Scientific Computing*. Springer-Verlag, New-York Inc. 1994.
- [168] U. Viskin. *Implementation of Simultaneous Memory Address Access in Models that Forbid it*. Journal of Algorithms, 4(1):45-50, 1983.
- [169] B. Wagar. Hyperquicksort. In *Hypercube Multiprocessor 1987, Greece*, pp.292-299. SIAM, 1987.
- [170] J. Wasniewski, B.S. Andersen, F. Gustavson. *Recursive Formulation of Cholesky Algorithm in Fortran 90*. Proceedings of CONPAR'98, pp. 574-578, 1992.
- [171] C. Wedler, C. Lengauer. *Parallel Implementations of Combinations of Broadcast, Reduction and Scan*. PDSE'97, 1997.
- [172] H.S. Wilf. *Algoritmes et complexite*. Mason & Prentice Hall, 1985.
- [173] Wilkinson, B., Allen, M., *Parallel Programming Techniques and Applications Using Networked Workstations and Parallel Computers*, Prentice Hall, 2002.
- [174] G. Wilson *Parallel Programming for Scientists and Engineers*. MIT Press, Cambdrige, MA, 1995.
- [175] J.C. Wyllie. *The Complexity of Parallel Computations*. Technical Report TR-79-387, Department of Computer-Science, Cornell University, Ithaca, NY, August 1979.
- [176] Zhenjiang Hu, Hideya Iwasaki, Masato Takechi. *Formal Derivation of Efficient Parallel Programs by Construction of List Homomorfisms*. ACM Transaction on Programming Language and Systems, Vol. 19, No.3, May 1997, pp. 444-461.
- [177] Z. Zlatev. *Computational Methods for General Sparse Matrices*. Kluwer Academic Publishers, 1991.
- [178] J. Zwiers. *Compositionaly, Concurency and Partial Correctness: Proof Theories for Networks of Processes and their Connection*. Eindhoven, Proefschrift, 1988.
- [179] The Message Passing Interface (MPI) standard, [<http://www-unix.mcs.anl.gov/mpi/>], 2000.
- [180] PVM: Parallel Virtual Machine . A Users Guide and Tutorial for Networked Parallel Computing, MIT Press, 1994.

Glosar

- abstractizare, 256
- acelerația, 28
- actor, 280
- Ada, 284
- aglomerare, 44
- aproape-omeomorfisme, 201
- asincron, 20, 22, 44, 118

- BSP, 274

- clasificare, 3
 - Bell, 10
 - Flynn, 3
 - Handler, 9
 - Hockney, 10
 - Lewis, 11
 - Schwartz, 8
- complexitate-timp, 28
- comunicație, 19, 43
- cost, 32
- criterii de performanță, 11

- dataflow, 271
- descompunere
 - domeniu de date, 42
 - funcțională, 43, 55
 - geometrică, 55
 - iterativă, 55
 - recursivă, 55
 - speculativă, 55
- distribuții de date, 168
 - carteziene, 171
 - multivoce, 175
- divide&impera, 54, 75, 213

- eficiența, 32
- Evaluarea expresiilor aritmetice, 69

- gradul de paralelism, 23
- granularitate, 23
- granulație
 - algoritm, 23
 - calculatoare, 8

- independența de arhitectură, 258
- înmulțire matrice, 87, 112, 172, 174, 177, 182, 247
 - booleene, 144
- întrețesere, 125, 267
- invariant, 132, 156

- limbaje cu comunicație nebazată pe mesaje, 277
- limbaje de coordonare, 277
- limbaje de coordonare cu contexte, 278
- limbaje de procesare celulară, 270
- limbaje grafice, 278
- Linda, 277
- localitate, 47
- LogP, 276

- măsurile performanței, 27
- măsurile de cost, 259
- mapare, 47
- master/slave, 51
- matrice rare, 149
- memorie distribuită, 115
- memorie partajată, 120, 284
- mesaje active, 281
- metodologie de dezvoltarea a softului, 256
- MIMD, 6, 259
- MISD, 5
- model de calcul paralel, 255
- MPI, 283

- niveluri ale paralelismului, 20

- occam, 285
- omeomorfisme, 198
- orientare-obiect, 280, 284
- overhead, 32

- paradigme, 51
- paralelism
 - explicit, 39
 - implicit, 39, 263
 - limitat, 33
 - nelimitat, 33
- paralelism de date, 273
- ParList, 222
- partiționare, 41
- pipeline, 54, 82
- PList, 230
- postcondiție, 153
- PowerArray, 241
- PowerList, 214
- PRAM, 24
- precondiție, 153
- prefix paralel, 94, 179, 201, 276
- proces parametrizat, 153
- process nets, 279
- programare funcțională, 195, 263, 273, 278
- programare logică, 268, 272
- PVM, 283

- quicksort, 105

- rețea de calcul, 34
- rețele de interconectare, 12
 - amestecare perfectă, 16
 - arbore binar, 14
 - fluture, 14
 - grila, 14
 - hipercub, 15
 - incluere, 17
 - liniară și ciclică, 13
- relații de recurență, 63, 72, 248
- Remote Procedure Call, 278
- rendezvous, 284
- rescrierea concurentă, 266

- sabloane, 269, 270, 279
- scalabilitate, 23
- segment de sumă maximă, 201
- SIMD, 4, 259
- sincron, 22, 44, 118
 - bariera de sincronizare, 118
- SISD, 3
- skeletons, 107, 269, 270, 279
- sortare, 128
 - bitonica, 108
 - insertie, 85
 - interclasare par-impar, 91
 - interschimbare, 75
 - par-impar, 89
 - par-impar cu subsecvențe, 103
 - prin numarare, 204
 - quicksort, 77, 104
- specificații formale, 155
- suma, 36, 62, 76, 80, 84, 164

- tablouri sistolice, 282
- tehnici, 57
 - “Compute-Aggregate-Broadcast”, 64
 - “pointer jumping”, 66
 - reducere ciclică par-impar, 72
 - algoritmi generici, 78
 - arbore binar, 62
 - Branch-and-Bound, 100
 - calcul sistolic, 82
 - contractia arborescentă, 67
 - divide&impera, 75
 - dublare recursivă, 64
 - par-impar, 89
 - paralelizare directă, 59
 - prefix paralel, 94
- Teorema lui Brent, 34
- transformarea Fourier rapidă, 235
- transmitere de mesaje, 118, 283
- transpusa unei matrice, 246

- UNITY, 125, 267

- volum de lucru, 32

- work pool, 53